高级计量经济学

作者：徐秋华

单位：西南财经大学金融学院

时间：January 1, 2023

版本：0.4

联系方式：xuqh@swufe.edu.cn

All men by nature desire to know. -- Aristotle

前言

徐秋华

于成都 · 西财柳林校区

2022 年 9 月

目录

前言 i

第一部分 计量经济学基础 1

1 条件期望、条件方差和线性投影 2

1.1 条件期望 2
1.2 条件方差 5
1.3 线性投影 7
1.4 饱和回归模型 10
1.5 总结 12
第 一 章 习题 12

2 多元线性回归 14

2.1 古典线性回归模型 15
2.2 拟合优度与小样本性质 23
2.3 古典模型的假设检验 28
2.4 多重共线性 39
2.5 广义最小二乘 41
2.6 大样本性质及假设检验 47
2.7 总结 57
第 二 章 习题 57

3 非球形扰动与标准误的计算 59

3.1 异方差检验 59
3.2 自相关检验 62
3.3 异方差稳健标准误 68
3.4 异方差自相关稳健标准误 69
3.5 聚类标准误 72
3.6 重抽样方法 75
3.7 总结 98
附录 1：定理 3.4 的证明 99
附录 2：杠杆值与残差 100
第 三 章 习题 103

4 内生性和工具变量 105

4.1 内生性 105
4.2 工具变量的历史 105

4.3 两阶段最小二乘 105
4.4 弱工具变量 105
4.5 总结 105

5 静态面板数据模型 106
5.1 固定效应模型 106
5.2 随机效应模型 106
5.3 双向固定效应模型 106
5.4 双重差分 106
5.5 总结 106

第二部分 常用估计方法 107

6 广义矩估计 108
6.1 线性广义矩估计 108
6.2 实例 1：动态面板数据模型 108
6.3 非线性广义矩估计 108
6.4 实例 2：资产定价模型的参数估计 108
6.5 总结 108

7 极大似然与拟极大似然估计 109
7.1 极大似然估计 109
7.2 极大似然估计的信息论视角 110
7.3 极大似然估计的理论性质 112
7.4 三大统计检验 116
7.5 实例 1：线性回归及模型选择 119
7.6 实例 2：二项选择模型 124
7.7 拟极大似然估计 * 127
7.8 总结 130
附录：本章定理的证明 130
第 七 章 习题 133

第三部分 微观计量方法 134

8 离散选择模型 135

9 因果推断 136

参考文献 137

附录 141

A 矩阵代数 **142**
A.1 向量 142
A.2 向量范数和内积 144
A.3 正交与正交补 145
A.4 矩阵 146
A.5 具有特殊结构的矩阵 148
A.6 矩阵范数 149
A.7 行列式、特征值和特征向量 152
A.8 矩阵的逆 154
A.9 分块矩阵及其逆矩阵公式 155
A.10 相似矩阵 157
A.11 对称矩阵的性质 158
A.12 正定和半正定矩阵 159
A.13 矩阵分解 160
A.14 矩阵的广义逆 164
A.15 Kronecker 积与向量化算子 165
A.16 矩阵求导 166
A.17 其他重要结论 168

B 概率论与数理统计 **170**
B.1 矩生成函数 170
B.2 变换 171
B.3 随机向量和随机矩阵 172
B.4 渐近理论 173
B.5 Bootstrap 的渐近理论 179
B.6 多元正态分布及其性质 180
B.7 常用不等式 182

C 凸优化基础 **183**
C.1 凸集与凸函数 183
C.2 凸优化问题 184

参考文献 **186**

索　　引 **190**

第一部分 计量经济学基础

第一章 条件期望、条件方差和线性投影

内容提要

- 条件期望 1.1
- 简单迭代期望律 1.1
- 迭代期望律 1.2
- 条件方差 1.2
- 方差分解 1.4
- 线性投影 1.3

条件期望在计量经济学中扮演着重要的角色，古典线性回归模型的核心估计方法最小二乘（Least squares）本质上是在估计以解释变量 $\mathbf{x}$ 为条件被解释变量 y 的条件期望。而且，根据 $\mathbf{x}$ 提供的信息，关于 y 的最好（最小化均方误差）的预测也正是条件期望 $\mathbb{E}(\mathrm{y}|\mathbf{x})$。因此，本章将对条件期望的定义及其性质做一个较为完整的梳理。同时，本章还将讨论条件方差以及条件期望的最优线性近似（也就是：线性投影）的定义和性质。想深入了解本章内容可以进一步参考 Angrist et al. (2008); Hansen (2022a); Wooldridge (2010)。

1.1 条件期望

定义 1.1. 条件期望

令 $\mathbf{x}$ 为 K 维随机向量，y 为一元随机变量。以 $\mathbf{x}$ 为条件，y 的条件期望函数（Conditional Expectation Function, CEF）定义如下：

$$\mu(\mathbf{x}) = \mathbb{E}(\mathrm{y}|\mathbf{x}) = \begin{cases} \int_{\mathrm{y}} y \cdot f(y|\mathbf{x})dy, & \mathrm{y}\ \text{连续}, \\ \sum_{\mathrm{y}} y \cdot \mathbb{P}_{\mathrm{y}|\mathbf{x}}(y|\mathbf{x}), & \mathrm{y}\ \text{离散}, \end{cases}$$

其中，$f(y|\mathbf{x})$ 是以 $\mathbf{x}$ 为条件 $\mathrm{y} = y$ 的条件概率密度函数，$\mathbb{P}_{\mathrm{y}|\mathbf{x}}(y|\mathbf{x})$ 是以 $\mathbf{x}$ 为条件 $\mathrm{y} = y$ 的条件概率。 ♣

在定义1.1中，条件期望函数被记为 $\mu(\mathbf{x})$，这表明 CEF 是随机向量 $\mathbf{x}$ 的函数，与随机变量 y 的具体实现值无关。关于条件期望，我们有如下一些重要的结论：

定理 1.1. 简单迭代期望律（Simple Law of Iterated Expectations, SLIE）

若 $\mathbb{E}|\mathrm{y}| < \infty$，则对任意的随机向量 $\mathbf{x}$，我们有：

$$\mathbb{E}_{\mathbf{x}}[\mathbb{E}[\mathrm{y}|\mathbf{x}]] = \mathbb{E}[\mathrm{y}],$$

其中，符号 $\mathbb{E}_{\mathbf{x}}[\cdot]$ 表示相对于随机向量 $\mathbf{x}$ 求期望。 ♡

证明 假设 y 和 $\mathbf{x}$ 的联合概率密度函数为 $f(y, \boldsymbol{x})$，因为 $\mathbb{E}[\mathrm{y}|\mathbf{x}]$ 是 $\mathbf{x}$ 的函数，我们有：

$$\mathbb{E}[\mathbb{E}[\mathrm{y}|\mathbf{x}]] = \int_{\mathbb{R}^k} \mathbb{E}[\mathrm{y}|\boldsymbol{x}] f_{\mathbf{x}}(\boldsymbol{x}) d\boldsymbol{x}.$$

将 y 为连续随机变量情况下条件期望的定义1.1代入上式得到：

$$\int_{\mathbb{R}^k} \left(\int_{\mathbb{R}} y f(y|\boldsymbol{x}) dy \right) f_{\mathbf{x}}(\boldsymbol{x}) d\boldsymbol{x} = \int_{\mathbb{R}^k} \int_{\mathbb{R}} y f(y, \boldsymbol{x}) dy d\boldsymbol{x} = \int_{\mathbb{R}} y f(y) dy = \mathbb{E}[\mathrm{y}],$$

其中，第一个等号成立是因为 $f(y|\boldsymbol{x})f_{\mathbf{x}}(\boldsymbol{x}) = f(y,\boldsymbol{x})$；第二个等号成立是因为联合分布和边缘分布之间存在如下关系：$\int_{\mathbb{R}^k} f(y,\boldsymbol{x})d\boldsymbol{x} = f(y)$。 □

为了更好地理解定理 1.1，我们假设 $\mathbf{x}$ 是离散随机变量，则有：

$$\mathbb{E}[\mathbb{E}[\mathrm{y}|\mathbf{x}]] = \sum_{j=1}^{\infty} \mathbb{E}\left[\mathrm{y}|\mathbf{x}=\boldsymbol{x}_j\right]\mathbb{P}\left[\mathbf{x}=\boldsymbol{x}_j\right].$$

如果我们将求期望理解为求平均，那么条件均值的加权（以 $\mathbf{x}$ 取不同值的概率作为权重）平均是无条件均值。例如，令 $\mathbf{x}$ 代表性别，y 代表身高，

$$\mathbb{E}[\text{身高} \mid \text{性别}=\text{女}]\mathbb{P}\left[\text{性别}=\text{女}\right] + \mathbb{E}[\text{身高} \mid \text{性别}=\text{男}]\mathbb{P}\left[\text{性别}=\text{男}\right] = \mathbb{E}[\text{身高}].$$

所以，如果我们想得到一个人口样本的平均身高，可以直接求平均身高，也可以分别先求得女性和男性的平均身高再以各个性别所占的比例作为权重取加权平均。

定理 1.2. 迭代期望律（Law of Iterated Expectations, LIE）

若 $\mathbb{E}|\mathrm{y}| < \infty$，则对任意的随机向量 $\mathbf{x}_1$ 和 $\mathbf{x}_2$，我们有：

$$\mathbb{E}_{\mathbf{x}_1}[\mathbb{E}[\mathrm{y}|\mathbf{x}_1,\mathbf{x}_2]|\mathbf{x}_1] = \mathbb{E}[\mathrm{y}|\mathbf{x}_1].$$

♡

证明 为了简化证明，这里假设定理中所涉及的随机变量具有联合密度函数。注意到

$$f\left(y \mid \boldsymbol{x}_1,\boldsymbol{x}_2\right) f\left(\boldsymbol{x}_2 \mid \boldsymbol{x}_1\right) = \frac{f\left(y,\boldsymbol{x}_1,\boldsymbol{x}_2\right)}{f\left(\boldsymbol{x}_1,\boldsymbol{x}_2\right)}\frac{f\left(\boldsymbol{x}_1,\boldsymbol{x}_2\right)}{f\left(\boldsymbol{x}_1\right)} = f\left(y,\boldsymbol{x}_2 \mid \boldsymbol{x}_1\right), \tag{1.1}$$

以及，

$$\mathbb{E}[\mathrm{y}|\mathbf{x}_1=\boldsymbol{x}_1,\mathbf{x}_2=\boldsymbol{x}_2] = \int_{\mathbb{R}} y f(y \mid \boldsymbol{x}_1,\boldsymbol{x}_2)dy. \tag{1.2}$$

令随机向量 $\mathbf{x}_2$ 的维度为 k_2，于是，我们有：

$$\begin{aligned}
\mathbb{E}[\mathbb{E}[\mathrm{y}|\mathbf{x}_1,\mathbf{x}_2]|\mathbf{x}_1=\boldsymbol{x}_1] &= \int_{\mathbb{R}^{k_2}} \mathbb{E}[\mathrm{y}|\mathbf{x}_1=\boldsymbol{x}_1,\mathbf{x}_2=\boldsymbol{x}_2]f(\boldsymbol{x}_2 \mid \boldsymbol{x}_1)d\boldsymbol{x}_2 \\
&= \int_{\mathbb{R}^{k_2}} \left(\int_{\mathbb{R}} y f(y \mid \boldsymbol{x}_1,\boldsymbol{x}_2)dy\right) f(\boldsymbol{x}_2 \mid \boldsymbol{x}_1)d\boldsymbol{x}_2 \\
&= \int_{\mathbb{R}^{k_2}} \int_{\mathbb{R}} y f(y \mid \boldsymbol{x}_1,\boldsymbol{x}_2) f(\boldsymbol{x}_2 \mid \boldsymbol{x}_1)dyd\boldsymbol{x}_2 \\
&= \int_{\mathbb{R}^{k_2}} \int_{\mathbb{R}} y f\left(y,\boldsymbol{x}_2 \mid \boldsymbol{x}_1\right)dyd\boldsymbol{x}_2 \\
&= \mathbb{E}[\mathrm{y}|\mathbf{x}_1=\boldsymbol{x}_1],
\end{aligned}$$

其中，第二个等式用到了式 (1.2)；第四个等式用到了式 (1.1)。

由上式易知，$\mathbb{E}[\mathbb{E}[\mathrm{y}|\mathbf{x}_1,\mathbf{x}_2]|\mathbf{x}_1] = \mathbb{E}[\mathrm{y}|\mathbf{x}_1]$。 □

为了便于记住定理 1.2，我们可以把此性质总结为“小信息集占优”。此定理在时间序列分析中有广泛的应用，例如，令 $\mathscr{F}_t$ 表示 t 时刻所能获得的信息，我们有：若 $s < t$，$\mathbb{E}\{\mathbb{E}[\mathrm{y}_{t+h}|\mathscr{F}_t]|\mathscr{F}_s\} = \mathbb{E}[\mathrm{y}_{t+h}|\mathscr{F}_s]$。实际上，可以证明如下更一般形式的迭代期望律：令 $\mathbf{w}$ 为随机向量，$\mathbf{x}$ 是随机向量且满足 $\mathbf{x} = \mathbf{g}(\mathbf{w})$[1]。一般形式的 LIE 可表示为：

$$\mathbb{E}[\mathrm{y}|\mathbf{x}] = \mathbb{E}\left[\mathbb{E}(\mathrm{y}|\mathbf{w})|\mathbf{x}\right].$$

[1] 如果已知 $\mathbf{w}$ 的实现值，$\mathbf{x}$ 的实现值便是已知的。

定理 1.3. 条件化定理（Conditioning Theorem, CT）

若 $\mathbb{E}|\mathrm{y}| < \infty$，则，

$$\mathbb{E}[g(\mathbf{x}) \cdot \mathrm{y}|\mathbf{x}] = g(\mathbf{x}) \cdot \mathbb{E}[\mathrm{y}|\mathbf{x}].$$

若再假设 $\mathbb{E}|g(\mathbf{x})| < \infty$，则，

$$\mathbb{E}[g(\mathbf{x}) \cdot \mathrm{y}] = \mathbb{E}[g(\mathbf{x}) \cdot \mathbb{E}[\mathrm{y}|\mathbf{x}]].$$

♡

证明 给定 $\mathbf{x} = \boldsymbol{x}$，我们有：

$$\mathbb{E}[g(\mathbf{x}) \cdot \mathrm{y}|\mathbf{x} = \boldsymbol{x}] = \int_{\mathbb{R}} g(\boldsymbol{x}) y f(y|\boldsymbol{x}) dy = g(\boldsymbol{x}) \int_{\mathbb{R}} y f(y|\boldsymbol{x}) dy = g(\boldsymbol{x}) \mathbb{E}(\mathrm{y}|\mathbf{x} = \boldsymbol{x}).$$

因此，$\mathbb{E}[g(\mathbf{x}) \cdot \mathrm{y}|\mathbf{x}] = g(\mathbf{x}) \cdot \mathbb{E}[\mathrm{y}|\mathbf{x}]$。由定理 1.1，本定理中的第二个式子容易验证。 □

下面我们给出关于条件期望函数的两个重要性质：

性质 （CEF 分解性质）对任意的随机变量 y，有如下性质成立：

$$\mathrm{y} = \mathbb{E}[\mathrm{y}|\mathbf{x}] + \varepsilon, \tag{1.3}$$

其中，

(a) ε 均值独立于 $\mathbf{x}$，即，$\mathbb{E}[\varepsilon|\mathbf{x}] = 0$；

(b) ε 与 $\mathbf{x}$ 的任意函数都不相关。

证明 首先证明 (a)，

$$\mathbb{E}[\varepsilon|\mathbf{x}] = \mathbb{E}\{\mathrm{y} - \mathbb{E}[\mathrm{y}|\mathbf{x}]|\mathbf{x}\} = \mathbb{E}[\mathrm{y}|\mathbf{x}] - \mathbb{E}[\mathrm{y}|\mathbf{x}] = 0.$$

其次证明 (b)，假设 $h(\mathbf{x})$ 是 $\mathbf{x}$ 的任意函数，我们有：

$$\begin{aligned}
\mathrm{Cov}[\varepsilon, h(\mathbf{x})] &= \mathbb{E}[\varepsilon \cdot h(\mathbf{x})] - \mathbb{E}(\varepsilon)\mathbb{E}[h(\mathbf{x})] \\
&= \mathbb{E}\{\mathbb{E}[\varepsilon \cdot h(\mathbf{x})|\mathbf{x}]\} - 0 \cdot \mathbb{E}[h(\mathbf{x})] && \text{（这里使用了两次定理 1.1）} \\
&= \mathbb{E}\{h(\mathbf{x})\mathbb{E}[\varepsilon|\mathbf{x}]\} && \text{（这里使用了定理 1.3）} \\
&= 0. && \text{（这里使用了 (a) 的结论）}
\end{aligned}$$

□

性质 （CEF 预测性质）假设 $\mathbb{E}(\mathrm{y}^2) < \infty$，记 $\mu(\mathbf{x}) \equiv \mathbb{E}(\mathrm{y}|\mathbf{x})$，则 μ 是如下优化问题的解：

$$\min_{m \in \mathscr{M}} \mathbb{E}[(\mathrm{y} - m(\mathbf{x}))^2],$$

其中，$\mathscr{M}$ 是函数类，$m : \mathbb{R}^K \to \mathbb{R}$ 满足 $\mathbb{E}[m(\mathbf{x})^2] < \infty$。

证明 首先，我们对优化的目标函数进行分解：

$$\begin{aligned}
& \mathbb{E}[(\mathrm{y} - m(\mathbf{x}))^2] \\
= \ & \mathbb{E}[(\mathrm{y} - \mu(\mathbf{x}) + \mu(\mathbf{x}) - m(\mathbf{x}))^2] \\
= \ & \mathbb{E}[(\mathrm{y} - \mu(\mathbf{x}))^2] + \mathbb{E}[(\mu(\mathbf{x}) - m(\mathbf{x}))^2] + 2 \cdot \mathbb{E}\{[\mathrm{y} - \mu(\mathbf{x})] \cdot [\mu(\mathbf{x}) - m(\mathbf{x})]\}.
\end{aligned}$$

注意到，我们需要从函数类 $\mathscr{M}$ 中选择函数 m 使目标函数最小化，上述分解中的第一项与 m 的选择无关，第二项在 $m(\mathbf{x}) = \mu(\mathbf{x})$ 时取到最小值 0，我们只需证明第三项的取值与 m 的选择无关，实际上，

$$\mathbb{E}\{[\mathrm{y} - \mu(\mathbf{x})] \cdot [\mu(\mathbf{x}) - m(\mathbf{x})]\} = \mathbb{E}\{\varepsilon \cdot [\mu(\mathbf{x}) - m(\mathbf{x})]\} = 0,$$

其中，第二个等号成立是因为 $\mu(\mathbf{x})-m(\mathbf{x})$ 是 $\mathbf{x}$ 的函数，利用 CEF 分解性质 (b) 即可。

于是，目标函数的最小值在 $m(\mathbf{x})=\mu(\mathbf{x})$ 时取到，此性质得证。 □

对 $\mathbf{x}$ 任意的函数 $m(\mathbf{x})$，定义其预测 y 得到的均方误差（mean squared error, MSE）为

$$\mathrm{MSE}(\mathrm{y};m)\equiv\mathbb{E}[(\mathrm{y}-m(\mathbf{x}))^2],$$

CEF 的分解性质表明：对任意的随机变量 y 和随机向量 $\mathbf{x}$，y 总是可以分解为 $\mathbf{x}$ 可以解释的部分 $\mathbb{E}[\mathrm{y}|\mathbf{x}]$ 和与 $\mathbf{x}$ 不相关的部分 ε。对于 $\mathbf{x}$ 可以解释的部分 $\mathbb{E}[\mathrm{y}|\mathbf{x}]$，CEF 的预测性质指出它是关于 y 的最小化均方误差的预测。计量经济学的重要任务之一就是研究如何基于已有的信息对感兴趣的变量进行预测，因此，条件期望是计量经济学重要的研究对象。值得一提的是，传统的计量方法通常假设条件期望函数具有线性函数形式，但实际上 $\mathbb{E}[\mathrm{y}|\mathbf{x}]$ 可以是 $\mathbf{x}$ 的非线性函数。为此，计量经济学也发展出诸如参数非线性模型、非参数或半参数模型、神经网络模型等一系列非线性模型。另外，计量经济学还包括公司金融等微观实证研究使用的计量方法，特别是关于因果推断或政策评估的计量方法，这些方法关注的重点不是条件期望，而是一些因果效应参数的估计。

1.2 条件方差

定义 1.2. 条件方差

令 $\mathbf{x}$ 为随机向量，y 为一元随机变量。如果 $\mathbb{E}[\mathrm{y}^2]<\infty$，以 $\mathbf{x}=\boldsymbol{x}$ 为条件，y 的条件方差（Conditional Variance）定义如下：

$$\sigma^2(\boldsymbol{x})=\mathrm{Var}[\mathrm{y}|\mathbf{x}=\boldsymbol{x}]=\mathbb{E}\left[(\mathrm{y}-\mathbb{E}[\mathrm{y}|\mathbf{x}=\boldsymbol{x}])^2\,|\mathbf{x}=\boldsymbol{x}\right].$$

条件方差作为随机变量 $\mathbf{x}$ 的函数可记为 $\sigma^2(\mathbf{x})$。 ♣

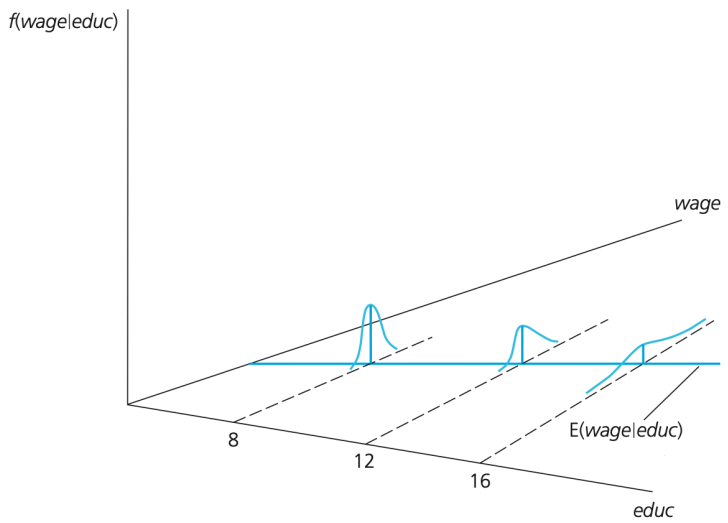

图 1.1: 条件期望与条件方差（图片来源：Wooldridge (2019) 中图 2.9）

由条件方差的定义可知条件方差也是随机变量 $\mathbf{x}$ 的函数。给定 $\mathbf{x}$ 的具体实现值 $\boldsymbol{x}$，条件期望 $\mathbb{E}[\mathrm{y}|\mathbf{x}=\boldsymbol{x}]$ 计算的是 y 的条件均值，而条件方差 $\mathrm{Var}[\mathrm{y}|\mathbf{x}=\boldsymbol{x}]$ 度量的是 y 的条件分布与其条件均值之间的偏离程度。对于对称的条件分布，条件期望给出了条件分布

的中心位置，条件方差刻画的是条件分布偏离中心位置的程度。在图 1.1 中，$\mathbf{x}$ 表示受教育年限 $educ$，y 表示工资收入 $wage$，图中分别给出了受教育年限等于 8、12 和 16 年的条件下，工资收入条件分布的均值位置（三条虚线和条件均值曲线 $\mathbb{E}[wage|educ]$ 的交点）以及条件分布的密度函数。我们发现，受教育年限越高，工资收入偏离平均工资收入的程度越大，这种现象在计量经济学中被称为条件异方差（Conditional Heteroskedasticity）。

下面我们给出一些关于条件方差的重要结论：

定理 1.4. 方差分解（Decomposition of Variance, DV）

若 $\mathbb{E}[\mathrm{y}^2] < \infty$，则有：

$$\mathrm{Var}[\mathrm{y}] = \mathbb{E}\left[\mathrm{Var}\left[\mathrm{y}|\mathbf{x}\right]\right] + \mathrm{Var}\left[\mathbb{E}\left[\mathrm{y}|\mathbf{x}\right]\right].$$

♡

证明 根据 CEF 分解性质，我们有：

$$\begin{aligned}
\mathrm{Var}[\mathrm{y}] &= \mathrm{Var}\left\{\mathbb{E}\left[\mathrm{y}|\mathbf{x}\right] + \varepsilon\right\} \\
&= \mathrm{Var}[\mathbb{E}\left[\mathrm{y}|\mathbf{x}\right]] + \mathrm{Var}(\varepsilon) && (\varepsilon \text{ 和 } \mathbb{E}[\mathrm{y}|\mathbf{x}] \text{ 不相关}) \\
&= \mathrm{Var}[\mathbb{E}\left[\mathrm{y}|\mathbf{x}\right]] + \mathbb{E}(\varepsilon^2) && (\mathbb{E}(\varepsilon) = 0) \\
&= \mathrm{Var}[\mathbb{E}\left[\mathrm{y}|\mathbf{x}\right]] + \mathbb{E}[\mathbb{E}[\varepsilon^2|\mathbf{x}]] && (\text{由 SLIE}) \\
&= \mathrm{Var}[\mathbb{E}\left[\mathrm{y}|\mathbf{x}\right]] + \mathbb{E}\left[\mathbb{E}\left[\left[\mathrm{y} - \mathbb{E}\left[\mathrm{y}|\mathbf{x}\right]\right]^2|\mathbf{x}\right]\right] && (\varepsilon = \mathrm{y} - \mathbb{E}[\mathrm{y}|\mathbf{x}]) \\
&= \mathrm{Var}[\mathbb{E}\left[\mathrm{y}|\mathbf{x}\right]] + \mathbb{E}\left[\mathrm{Var}\left[\mathrm{y}|\mathbf{x}\right]\right]. && (\text{根据条件方差的定义})
\end{aligned}$$

□

方差分解定理表明 y 的方差可以分解成 $\mathbb{E}[\mathrm{y}|\mathbf{x}]$ 的方差与 ε 的方差之和，前者是可由 $\mathbf{x}$ 解释的部分，后者是与 $\mathbf{x}$ 无关的部分。方差分解定理可以推广到 y 的条件方差，我们有如下结论：

定理 1.5. 条件方差分解（Decomposition of Conditional Variance, DCV）

若 $\mathbb{E}[\mathrm{y}^2] < \infty$，则有：

$$\mathrm{Var}(\mathrm{y}|\mathbf{x}) = \mathbb{E}[\mathrm{Var}(\mathrm{y}|\mathbf{x},\mathbf{z})|\mathbf{x}] + \mathrm{Var}[\mathbb{E}(\mathrm{y}|\mathbf{x},\mathbf{z})|\mathbf{x}].$$

♡

证明 首先，我们对 $\mathrm{Var}(\mathrm{y}|\mathbf{x})$ 进行分解：

$$\begin{aligned}
\mathrm{Var}(\mathrm{y}|\mathbf{x}) &\equiv \mathbb{E}\left\{[\mathrm{y} - \mathbb{E}(\mathrm{y}|\mathbf{x})]^2|\mathbf{x}\right\} \\
&= \mathbb{E}\left\{[\mathrm{y} - \mathbb{E}(\mathrm{y}|\mathbf{x},\mathbf{z}) + \mathbb{E}(\mathrm{y}|\mathbf{x},\mathbf{z}) - \mathbb{E}(\mathrm{y}|\mathbf{x})]^2|\mathbf{x}\right\} \\
&= \mathbb{E}\left\{[\mathrm{y} - \mathbb{E}(\mathrm{y}|\mathbf{x},\mathbf{z})]^2|\mathbf{x}\right\} + \mathbb{E}\left\{[\mathbb{E}(\mathrm{y}|\mathbf{x},\mathbf{z}) - \mathbb{E}(\mathrm{y}|\mathbf{x})]^2|\mathbf{x}\right\} \\
&\quad + 2\underbrace{\mathbb{E}\left\{[\mathrm{y} - \mathbb{E}(\mathrm{y}|\mathbf{x},\mathbf{z})] \cdot [\mathbb{E}(\mathrm{y}|\mathbf{x},\mathbf{z}) - \mathbb{E}(\mathrm{y}|\mathbf{x})]|\mathbf{x}\right\}}_{=0}.
\end{aligned}$$

由 LIE 和条件方差的定义，该分解中的第一项可表示为：

$$\mathbb{E}\left\{[\mathrm{y} - \mathbb{E}(\mathrm{y}|\mathbf{x},\mathbf{z})]^2|\mathbf{x}\right\} = \mathbb{E}\left\{\mathbb{E}\left\{[\mathrm{y} - \mathbb{E}(\mathrm{y}|\mathbf{x},\mathbf{z})]^2|\mathbf{x},\mathbf{z}\right\}|\mathbf{x}\right\} = \mathbb{E}[\mathrm{Var}(\mathrm{y}|\mathbf{x},\mathbf{z})|\mathbf{x}].$$

同理，第二项可表示为：

$$\mathbb{E}\left\{[\mathbb{E}(\mathrm{y}|\mathbf{x},\mathbf{z}) - \mathbb{E}(\mathrm{y}|\mathbf{x})]^2|\mathbf{x}\right\} = \mathbb{E}\left\{[\mathbb{E}(\mathrm{y}|\mathbf{x},\mathbf{z}) - \mathbb{E}(\mathbb{E}(\mathrm{y}|\mathbf{x},\mathbf{z})|\mathbf{x})]^2|\mathbf{x}\right\} = \mathrm{Var}[\mathbb{E}(\mathrm{y}|\mathbf{x},\mathbf{z})|\mathbf{x}].$$

第三项为 0 的推导留作习题，见习题 1.。 □

我们已经知道 CEF 是关于 y 的最小化均方误差的预测，若预测时我们使用更多的信息 $(\mathbf{x}, \mathbf{z})$，相比于 $\mathbb{E}[\mathrm{y}|\mathbf{x}]$，$\mathbb{E}[\mathrm{y}|\mathbf{x}, \mathbf{z}]$ 是否是关于 y 的更好的预测呢？由定理 1.5，我们容易得到：

$$\mathbb{E}[\mathrm{Var}(\mathrm{y}|\mathbf{x})] \geqslant \mathbb{E}[\mathrm{Var}(\mathrm{y}|\mathbf{x}, \mathbf{z})],$$

其中，

$$\mathbb{E}[\mathrm{Var}(\mathrm{y}|\mathbf{x})] = \mathbb{E}\left[\mathbb{E}\left[(\mathrm{y} - \mathbb{E}[\mathrm{y}|\mathbf{x}])^2 |\mathbf{x}\right]\right] = \mathbb{E}\left[(\mathrm{y} - \mathbb{E}[\mathrm{y}|\mathbf{x}])^2\right] = \mathrm{MSE}(\mathrm{y}; \mathbb{E}[\mathrm{y}|\mathbf{x}]),$$

同理，

$$\mathbb{E}[\mathrm{Var}(\mathrm{y}|\mathbf{x}, \mathbf{z})] = \mathrm{MSE}(\mathrm{y}; \mathbb{E}[\mathrm{y}|\mathbf{x}, \mathbf{z}]).$$

于是，我们有：

$$\mathrm{MSE}(\mathrm{y}; \mathbb{E}[\mathrm{y}|\mathbf{x}]) \geqslant \mathrm{MSE}(\mathrm{y}; \mathbb{E}[\mathrm{y}|\mathbf{x}, \mathbf{z}]).$$

从上述分析我们得到 $\mathbb{E}[\mathrm{y}|\mathbf{x}, \mathbf{z}]$ 的 MSE 不大于 $\mathbb{E}[\mathrm{y}|\mathbf{x}]$ 的 MSE，也就是说，从总体（population）的角度讲，基于更多的信息对 y 进行预测有助于减少预测的均方误差。除此之外，上述分析与如下定理的结论等价：

定理 1.6. 方差缩减定理（Variance Reduction Theorem, VRT）

若 $\mathbb{E}[\mathrm{y}^2] < \infty$，则有：

$$\mathrm{Var}[\mathrm{y}] \geqslant \mathrm{Var}[\mathrm{y} - \mathbb{E}[\mathrm{y}|\mathbf{x}]] \geqslant \mathrm{Var}[\mathrm{y} - \mathbb{E}[\mathrm{y}|\mathbf{x}, \mathbf{z}]].$$

♡

证明 记 $\varepsilon = \mathrm{y} - \mathbb{E}[\mathrm{y}|\mathbf{x}]$，则有：

$$\mathrm{Var}[\mathrm{y} - \mathbb{E}[\mathrm{y}|\mathbf{x}]] = \mathrm{Var}(\varepsilon) = \mathbb{E}(\varepsilon^2) = \mathrm{MSE}(\mathrm{y}; \mathbb{E}[\mathrm{y}|\mathbf{x}]).$$

同理，

$$\mathrm{Var}[\mathrm{y} - \mathbb{E}[\mathrm{y}|\mathbf{x}, \mathbf{z}]] = \mathrm{MSE}(\mathrm{y}; \mathbb{E}[\mathrm{y}|\mathbf{x}, \mathbf{z}]).$$

因此，第二个“$\geqslant$”得证。由定理 1.4 的证明易知 $\mathrm{Var}(\mathrm{y}) \geqslant \mathrm{Var}(\varepsilon)$，第一个“$\geqslant$”得证。□

此定理的结论实际上与我们在下一章定义的拟合优度和 R^2 的概念相对应，不同的是我们这里讨论的是总体的性质，下一章讨论的是样本的性质。

1.3 线性投影

虽然条件期望 $\mu(\mathbf{x})$ 提供了 y 的最优预测，但是 $\mu(\mathbf{x})$ 的函数形式通常是未知的。在实证分析时，一般假设 CEF 具有线性形式，但是这种假设往往不切实际。更准确的做法是将线性形式的函数设定看作是关于 CEF 的近似。为此，我们研究 CEF 的最优线性近似，即，具有最小均方误差的线性近似。

定义 1.3. 线性投影

给定 $\mathbf{x}$，y 的最优线性预测，也称为线性投影，被定义为：

$$\mathscr{P}(\mathrm{y}|\mathbf{x}) = \mathbf{x}'\boldsymbol{\beta},$$

其中，$\boldsymbol{\beta}$ 被称为线性投影系数，它最小化如下均方预测误差：

$$S(\boldsymbol{b}) = \mathbb{E}\left((\mathrm{y} - \mathbf{x}'\boldsymbol{b})^2\right).$$

即，

$$\boldsymbol{\beta} = \arg\min_{\boldsymbol{b}\in\mathbb{R}^K} S(\boldsymbol{b}).$$

♣

为了推导 $\boldsymbol{\beta}$ 的解析表达式，需要施加如下假设：

假设 1.1.

(a) $\mathbb{E}[\mathrm{y}^2] < \infty$；

(b) $\mathbb{E}\|\mathbf{x}\|^2 < \infty$；

(c) $\boldsymbol{Q}_{\mathbf{xx}} = \mathbb{E}[\mathbf{x}\mathbf{x}']$ 是正定矩阵。

定理 1.7. 线性投影的性质

(1) 线性投影系数 $\boldsymbol{\beta}$ 存在且唯一，其表达式为：

$$\boldsymbol{\beta} = (\mathbb{E}[\mathbf{x}\mathbf{x}'])^{-1}\mathbb{E}[\mathbf{x}\mathrm{y}].$$

(2) $\mathscr{P}(\mathrm{y}|\mathbf{x}) = \mathbf{x}'(\mathbb{E}[\mathbf{x}\mathbf{x}'])^{-1}\mathbb{E}[\mathbf{x}\mathrm{y}]$.

(3) 投影误差 $e = \mathrm{y} - \mathbf{x}'\boldsymbol{\beta}$ 存在，并且满足 $\mathbb{E}[e^2] < \infty$ 和 $\mathbb{E}[\mathbf{x}e] = \mathbf{0}$。特别地，若 $\mathbf{x}$ 中含有常数项，则 $\mathbb{E}(e) = 0$。

♡

证明 首先，将 $S(\boldsymbol{b})$ 进行分解：

$$S(\boldsymbol{b}) = \mathbb{E}[\mathrm{y}^2] + \boldsymbol{b}'\mathbb{E}[\mathbf{x}\mathbf{x}']\boldsymbol{b} - 2\boldsymbol{b}'\mathbb{E}[\mathbf{x}\mathrm{y}].$$

对上式两端取偏导，由最优化的一阶条件，我们有：

$$\mathbf{0} = \frac{\partial S(\boldsymbol{b})}{\partial \boldsymbol{b}}\Big|_{\boldsymbol{b}=\boldsymbol{\beta}} = -2\mathbb{E}[\mathbf{x}\mathrm{y}] + 2\mathbb{E}[\mathbf{x}\mathbf{x}']\boldsymbol{\beta}.$$

移项整理得：

$$\mathbb{E}[\mathbf{x}\mathbf{x}']\boldsymbol{\beta} = \mathbb{E}[\mathbf{x}\mathrm{y}]. \tag{1.4}$$

由期望不等式 (B.17)、Frobenius 范数定义 (A.5) 和假设 1.1 (b)，我们有：

$$\|\mathbb{E}[\mathbf{x}\mathbf{x}']\| \leqslant \mathbb{E}\|\mathbf{x}\mathbf{x}'\| = \mathbb{E}\|\mathbf{x}\|^2 < \infty.$$

同理，由期望不等式 (B.16)、柯西-施瓦茨不等式 (A.1) 和假设 1.1，我们有：

$$\|\mathbb{E}[\mathbf{x}\mathrm{y}]\| \leqslant \mathbb{E}\|\mathbf{x}\mathrm{y}\| \leqslant \left(\mathbb{E}\|\mathbf{x}\|^2\right)^{\frac{1}{2}}\left(\mathbb{E}[\mathrm{y}^2]\right)^{\frac{1}{2}} < \infty.$$

因此，$\mathbb{E}[\mathbf{x}\mathbf{x}']$ 和 $\mathbb{E}[\mathbf{x}\mathrm{y}]$ 是良定义的（well defined）。再由假设 1.1 (c) 知，$\mathbb{E}[\mathbf{x}\mathbf{x}']$ 可逆，则有：

$$\boldsymbol{\beta} = (\mathbb{E}[\mathbf{x}\mathbf{x}'])^{-1}\mathbb{E}[\mathbf{x}\mathrm{y}]. \tag{1.5}$$

由定义1.3，(2) 显然成立。

最后，我们证明 (3)：

$$
\begin{aligned}
\mathbb{E}(e^2) &= \mathbb{E}\left[\left(\mathrm{y}-\mathbf{x}'\boldsymbol{\beta}\right)^2\right] \\
&= \mathbb{E}[\mathrm{y}^2] - 2\mathbb{E}[\mathrm{y}\mathbf{x}']\boldsymbol{\beta} + \boldsymbol{\beta}'\mathbb{E}[\mathbf{x}\mathbf{x}']\boldsymbol{\beta} \\
&= \mathbb{E}[\mathrm{y}^2] - \mathbb{E}[\mathrm{y}\mathbf{x}'](\mathbb{E}[\mathbf{x}\mathbf{x}'])^{-1}\mathbb{E}[\mathbf{x}\mathrm{y}] && \text{(将式 (1.5) 的结论代入)} \\
&\leqslant \mathbb{E}[\mathrm{y}^2] < \infty. && \text{($(\mathbb{E}[\mathbf{x}\mathbf{x}'])^{-1}$ 半正定)}
\end{aligned}
$$

由式 (1.4)，我们有：

$$
\mathbf{0} = \mathbb{E}[\mathbf{x}\mathrm{y}] - \mathbb{E}[\mathbf{x}\mathbf{x}']\boldsymbol{\beta} = \mathbb{E}\left[\mathbf{x}\left(\mathrm{y}-\mathbf{x}'\boldsymbol{\beta}\right)\right] = \mathbb{E}\left[\mathbf{x}e\right].
$$

□

定理 1.7 给出了线性投影系数 $\boldsymbol{\beta}$ 的一般表达式，接下来我们考虑两种特殊情况：

- $\mathbf{x} = (1, \mathrm{x}_1)'$，在此种情况下，我们有：

$$
\mathrm{y} = \alpha + \beta_1 \mathrm{x}_1 + e,
$$

其中，α 和 β_1 分别是常数项 1 和 x_1 对应的线性投影系数。容易证明：

$$
\beta_1 = \frac{\mathrm{Cov}(\mathrm{y}, \mathrm{x}_1)}{\mathrm{Var}(\mathrm{x}_1)}, \quad \alpha = \mathbb{E}(\mathrm{y}) - \beta_1 \mathbb{E}(\mathrm{x}_1). \tag{1.6}
$$

- $\mathbf{x} = (1, \mathrm{x}_1, \mathrm{x}_2, \ldots, \mathrm{x}_K)'$，$K > 1$，在此种情况下，我们有：

$$
\beta_k = \frac{\mathrm{Cov}(\mathrm{y}, \tilde{\mathrm{x}}_k)}{\mathrm{Var}(\tilde{\mathrm{x}}_k)}, \tag{1.7}
$$

其中，β_k 是 x_k 对应的线性投影系数，$\tilde{\mathrm{x}}_k$ 是 x_k 对所有其他协变量投影得到的投影误差。下面我们对式 (1.7) 进行证明。

证明 首先，将 y 写成线性投影加投影误差的形式：

$$
\mathrm{y} = \alpha + \beta_1 \mathrm{x}_1 + \cdots + \beta_k \mathrm{x}_k + \cdots + \beta_K \mathrm{x}_K + e.
$$

将上式代入 $\mathrm{Cov}(\mathrm{y}, \tilde{\mathrm{x}}_k)$，注意到，由习题 4.，我们有：

- $\mathrm{Cov}(\tilde{\mathrm{x}}_k, e) = 0$，因为 $\tilde{\mathrm{x}}_k$ 是 $\mathbf{x}$ 各个分量的线性组合，e 与 $\mathbf{x}$ 不相关；
- $\mathrm{Cov}(\tilde{\mathrm{x}}_k, \mathrm{x}_j) = 0$, $j \neq k$，因为 $\tilde{\mathrm{x}}_k$ 是线性投影误差，与 x_j 不相关；
- $\mathrm{Cov}(\tilde{\mathrm{x}}_k, \mathrm{x}_k) = \mathrm{Cov}(\tilde{\mathrm{x}}_k, \tilde{\mathrm{x}}_k + \mathbf{x}_{-k}'\boldsymbol{\beta}_{-k}) = \mathrm{Var}(\tilde{\mathrm{x}}_k)$，其中，$\mathbf{x}_{-k}$ 表示除 x_k 之外的所有协变量构成的向量，即，$\mathbf{x}_{-k} = (1, \mathrm{x}_1, \ldots, \mathrm{x}_{k-1}, \mathrm{x}_{k+1}, \ldots, \mathrm{x}_K)'$，$\boldsymbol{\beta}_{-k}$ 是 x_k 对 $\mathbf{x}_{-k}$ 进行投影得到的线性投影系数。

于是，

$$
\frac{\mathrm{Cov}(\mathrm{y}, \tilde{\mathrm{x}}_k)}{\mathrm{Var}(\tilde{\mathrm{x}}_k)} = \frac{\beta_k \mathrm{Var}(\tilde{\mathrm{x}}_k)}{\mathrm{Var}(\tilde{\mathrm{x}}_k)} = \beta_k.
$$

□

我们把第一种情况称为一元线性投影或简单线性投影，把第二种情况称为多元线性投影。由定理 1.7 中 (3) 的结论，线性投影误差 $\tilde{\mathrm{x}}_k$ 与 $\mathbf{x}_{-k}$ 正交，即，$\mathbb{E}[\mathbf{x}_{-k}\tilde{\mathrm{x}}_k] = \mathbf{0}$。式 (1.7) 说明多元线性投影中 x_k 的线性投影系数可以通过如下方式得到：首先，将 x_k 对 $\mathbf{x}_{-k}$ 做投影并保留误差 $\tilde{\mathrm{x}}_k$，目的是从 x_k 中剔除所有其他协变量的影响；然后，将 y 对误差 $\tilde{\mathrm{x}}_k$ 和常数项 1 做简单线性投影得到系数 β_k。

计量分析（特别是应用于公司金融等实证方向的微观计量分析）的主要目的之一是

推断变量之间的因果关系。建立因果关系的核心是“控制其他所有相关因素不变”，拉丁语为 ceteris paribus。我们将在下一章多元线性回归中看到“控制其他所有相关因素不变”和“剔除所有其他因素的影响”是一致的。式 (1.7) 是从总体的角度讨论线性投影系数，下一章将从样本的角度讨论线性投影系数的估计。式 (1.7) 对应着多元线性回归的 Frisch-Waugh 定理。

关于线性投影，我们还有如下重要的结论：

定理 1.8. 线性投影与 CEF

(1) 假设 CEF 是 $\mathbf{x}$ 的线性函数，则 $\mu(\mathbf{x}) = \mathscr{P}(\mathrm{y}|\mathbf{x})$.

(2) 给定 $\mathbf{x}$，$\mathscr{P}(\mathrm{y}|\mathbf{x})$ 是关于 y 的最小化 MSE 的最优线性预测。

(3) $\mathscr{P}(\mathrm{y}|\mathbf{x})$ 是 $\mathbb{E}[\mathrm{y}|\mathbf{x}]$ 的最优（最小化 MSE）线性近似，即，

$$\boldsymbol{\beta} = \arg\min_{\boldsymbol{b}} \mathbb{E}\left\{\left(\mathbb{E}\left[\mathrm{y}|\mathbf{x}\right] - \mathbf{x}'\boldsymbol{b}\right)^2\right\}.$$

♡

证明 首先，证明 (1)，假设 $\mu(\mathbf{x}) = \mathbf{x}'\boldsymbol{\beta}^*$，由 CEF 分解性质，$\mathbb{E}[\mathbf{x}(\mathrm{y} - \mathbb{E}[\mathrm{y}|\mathbf{x}])] = \mathbf{0}$，将 $\mu(\mathbf{x}) = \mathbf{x}'\boldsymbol{\beta}^*$ 代入并将 $\boldsymbol{\beta}^*$ 解出，得到 $\boldsymbol{\beta}^* = \boldsymbol{\beta}$。

由定义1.3知 (2) 显然成立。最后，我们证明 (3)，注意到：

$$\begin{aligned}(\mathrm{y} - \mathbf{x}'\boldsymbol{b})^2 &= \left\{(\mathrm{y} - \mathbb{E}[\mathrm{y}|\mathbf{x}]) + (\mathbb{E}[\mathrm{y}|\mathbf{x}] - \mathbf{x}'\boldsymbol{b})\right\}^2 \\ &= (\mathrm{y} - \mathbb{E}\left[\mathrm{y}|\mathbf{x}\right])^2 + \left(\mathbb{E}[\mathrm{y}|\mathbf{x}] - \mathbf{x}'\boldsymbol{b}\right)^2 + 2\left(\mathrm{y} - \mathbb{E}[\mathrm{y}|\mathbf{x}]\right)\cdot\left(\mathbb{E}[\mathrm{y}|\mathbf{x}] - \mathbf{x}'\boldsymbol{b}\right).\end{aligned}$$

所以，最小化 $\mathbb{E}\left\{\left(\mathbb{E}\left[\mathrm{y}|\mathbf{x}\right] - \mathbf{x}'\boldsymbol{b}\right)^2\right\}$ 等价于最小化 $\mathbb{E}\left\{(\mathrm{y} - \mathbf{x}'\boldsymbol{b})^2\right\}$，由 (2) 知，(3) 成立。□

我们在前文中多次提到 CEF 提供了关于 y 的最优预测，而定理 1.8 的结论 (2) 说明线性投影提供了关于 y 的最优线性预测。除此之外，由于 CEF 的形式是未知的，我们一般假设其具有线性的形式，从定理 1.8 的结论 (3) 中可以看出这种假设具有一定的合理性。线性投影系数 $\boldsymbol{\beta}$ 也被称为总体回归系数（population regression coefficient），这是因为线性回归和线性投影具有密不可分的关系。实际上，线性回归是利用样本估计线性投影系数。

1.4 饱和回归模型

饱和回归模型是具有离散解释变量的回归模型，对解释变量取值的每一个可能组合，饱和回归模型都为该组合对应的条件期望引入一个额外的参数。我们将要看到饱和回归模型具有线性的 CEF。定理 1.8 的结论 (1) 表明：如果 CEF 具有线性形式，则 CEF 等价于线性投影。因此，对于饱和回归模型，我们有：$\mu(\mathbf{x}) = \mathscr{P}(\mathrm{y}|\mathbf{x})$。

首先，我们考虑只含有一个二值（binary）解释变量的情况，二值变量又被称为虚拟（dummy）变量。假设二值变量 x 代表性别，CEF 只能有两个不同的取值：

$$\mathbb{E}[\,\mathrm{y}\mid \text{性别}\,] = \begin{cases} \mu_0 & \text{如果} \quad \text{性别} = \text{男性}, \\ \mu_1 & \text{如果} \quad \text{性别} = \text{女性}. \end{cases}$$

为了便于数学上的处理，我们引入虚拟变量 x_1，满足：

$$\mathrm{x}_1 = \begin{cases} 0 & \text{如果} \quad \text{性别} = \text{男性}, \\ 1 & \text{如果} \quad \text{性别} = \text{女性}. \end{cases}$$

于是，$\mathbb{E}[\mathrm{y}|\mathrm{x}_1] = \beta_0 + \beta_1 \mathrm{x}_1$，其中，$\beta_0 = \mu_0$，$\beta_1 = \mu_1 - \mu_0$。此时，饱和回归模型可以表示为：

$$\mathrm{y} = \beta_0 + \beta_1 \mathrm{x}_1 + \varepsilon.$$

我们通常称 β_0 为截距，它表示男性总体 y 的期望；称 β_1 为斜率，它表示女性总体和男性总体 y 的期望之差。

类似地，若解释变量是多值离散变量 $\mathrm{x}_1 \in \{0, 1, 2, \ldots, \tau\}$，关于 x_1 的饱和回归模型可以表示为：

$$\mathrm{y} = \beta_0 + \beta_1 \mathrm{d}_{11} + \beta_2 \mathrm{d}_{12} + \cdots + \beta_\tau \mathrm{d}_{1\tau} + \varepsilon,$$

其中，$\mathrm{d}_{1j} = \mathbf{1}[\mathrm{x}_1 = j]$，$j = 1, 2, \ldots, \tau$，$\mathbf{1}[A]$ 是示性函数，条件 A 成立时取值为 1，否则取值为 0。由上式容易验证：

$$\beta_0 = \mathbb{E}[\mathrm{y}|\mathrm{x}_1 = 0], \quad \beta_j = \mathbb{E}[\mathrm{y}|\mathrm{x}_1 = j] - \mathbb{E}[\mathrm{y}|\mathrm{x}_1 = 0].$$

接下来，我们考虑含有两个虚拟解释变量的情况。假设虚拟变量 x_2 满足：

$$\mathrm{x}_2 = \begin{cases} 1 & \text{如果} \quad \text{具有大学学历}, \\ 0 & \text{如果} \quad \text{没有大学学历}. \end{cases}$$

以 x_1 和 x_2 为条件的条件期望函数有四种可能的取值：

$$\mathbb{E}[\mathrm{y}|\mathrm{x}_1, \mathrm{x}_2] = \begin{cases} \mu_{00} & \text{如果} \quad \mathrm{x}_1 = 0, \mathrm{x}_2 = 0 \\ \mu_{01} & \text{如果} \quad \mathrm{x}_1 = 0, \mathrm{x}_2 = 1 \\ \mu_{10} & \text{如果} \quad \mathrm{x}_1 = 1, \mathrm{x}_2 = 0 \\ \mu_{11} & \text{如果} \quad \mathrm{x}_1 = 1, \mathrm{x}_2 = 1. \end{cases}$$

此条件期望函数可以写成 $(\mathrm{x}_1, \mathrm{x}_2, \mathrm{x}_1\mathrm{x}_2)'$ 的线性函数：

$$\mathbb{E}[\mathrm{y}|\mathrm{x}_1, \mathrm{x}_2] = \beta_0 + \beta_1 \mathrm{x}_1 + \beta_2 \mathrm{x}_2 + \beta_3 \mathrm{x}_1 \mathrm{x}_2,$$

其中，$\beta_0 = \mu_{00}$，$\beta_1 = \mu_{10} - \mu_{00}$，$\beta_2 = \mu_{01} - \mu_{00}$，$\beta_3 = \mu_{11} - \mu_{10} - \mu_{01} + \mu_{00}$。相应的饱和回归模型可以表示为：

$$\mathrm{y} = \beta_0 + \beta_1 \mathrm{x}_1 + \beta_2 \mathrm{x}_2 + \beta_3 \mathrm{x}_1 \mathrm{x}_2 + \varepsilon.$$

在上式中，x_1 和 x_2 被称为主项，$\mathrm{x}_1\mathrm{x}_2$ 被称为交互项。假设变量 y 表示工资，则 β_0 表示没有大学学历的男性的期望工资；β_1 衡量没有大学学历的女性与男性的期望工资的差异；β_2 衡量大学学历对男性期望工资的影响；$\beta_3 = (\mu_{11} - \mu_{10}) - (\mu_{01} - \mu_{00})$ 衡量的是大学学历对女性期望工资的影响与大学学历对男性期望工资的影响之间的差异。

最后，我们考虑二值虚拟变量和多值离散变量构成的饱和回归模型。假设 x_1 依然是表示性别的虚拟变量；x_2 表示受教育年限，值域为 $\{0, 1, 2, \ldots, \tau\}$。相对于 x_1 和 x_2 的饱

和模型可以表示为：

$$\mathrm{y} = \beta_0 + \sum_{j=1}^{\tau} \beta_j \mathrm{d}_{2j} + \gamma \mathrm{x}_1 + \sum_{j=1}^{\tau} \delta_j (\mathrm{d}_{2j} \mathrm{x}_1) + \varepsilon,$$

其中，$\mathrm{d}_{2j} = \mathbf{1}[\mathrm{x}_2 = j]$，$j = 1, 2, \ldots, \tau$。通常，在回归分析中，若线性模型中含有交互项，则相应的主项也应该出现在回归模型中。考虑如下去掉受教育年限主项的回归模型：

$$\mathrm{y} = \beta_0 + \gamma \mathrm{x}_1 + \sum_{j=1}^{\tau} \delta_j (\mathrm{d}_{2j} \mathrm{x}_1) + \varepsilon,$$

若 y 表示工资，这一模型只允许女性通过改变受教育年限影响工资收入，男性的工资收入和受教育年限无关，这与实际情况不符。

1.5 总结

本章详细介绍了条件期望、条件方差和线性投影的定义和主要性质，为后续计量经济学知识的学习奠定理论基础。通过本章的学习读者应该理解为什么条件期望是计量经济学研究的核心对象之一，这涉及到 CEF 的分解性质和预测性质。此外，迭代期望律在计量方法理论性质的推导中经常被使用，本章给出了（简单）迭代期望律的详细证明，并在其他定理和性质的证明过程中反复使用此定律，希望读者能够掌握此定律并熟练使用。

本章的另外一个重要内容是线性投影。线性投影是条件期望函数的最优线性近似，对变量 $\mathbf{x}$ 做投影得到的误差 e 与 $\mathbf{x}$ 正交，即，$\mathbb{E}[\mathbf{x}e] = \mathbf{0}$。我们在下一章将会看到最小二乘估计量满足的正则方程（normal equation）实际上是此正交条件的样本形式。因此，最小二乘估计量实际上估计的是线性投影系数，对线性投影系数的理解有助于读者深入理解线性回归。这里读者应该注意区分 CEF 的分解性质中出现的 ε 和线性投影误差 e，前者满足 $\mathbb{E}[\varepsilon|\mathbf{x}] = 0$；但是，通常情况下，$\mathbb{E}[e|\mathbf{x}] = 0$ 并不成立，除非 CEF 为线性形式。

本章的写作借鉴了如下优秀计量教材的相关章节：Angrist 和 Pischke 两位教授合著的 *Mostly Harmless Econometrics: An Empiricist's Companion* 的第三章；Hansen 教授的线上教材手稿 *Econometrics* 的第二章；Wooldridge 教授的 *Econometric Analysis of Cross Section and Panel Data* 的第二章。推荐想进一步深入学习本章内容的读者阅读。

这里借用 *Mostly Harmless Econometrics: An Empiricist's Companion* 第三章的标题 "Making Regression Make Sense" 来说明本章的目的：我们通过对总体性质的讨论，厘清回归分析感兴趣的参数，在利用具体的样本对这些参数进行估计之前，先明确在总体中这些参数的具体含义。

第一章习题

1. 证明：定理 1.5 的证明过程中关于 $\mathrm{Var}(\mathrm{y}|\mathbf{x})$ 的分解表达式的第三项为 0。
2. 试用 CEF 的分解性质证明定理 1.6。
3. 证明：在假设 1.1 成立的条件下，定理 1.7 中定义的投影误差 e 满足 $\mathbb{E}[\mathbf{x}e] \prec \infty$。[2]
4. 证明：在定理 1.7 中，若 $\mathbf{x}$ 中含有常数项，则 $\mathbf{x}$ 与 e 不相关。

[2] 不能利用 $\mathbb{E}[\mathbf{x}e] = \mathbf{0}$ 的结论。

5. 证明：利用定理 1.7 中 (1) 的结论证明式 (1.6) 成立。

第二章 多元线性回归

内容提要

- 古典线性回归模型 2.1
- 普通最小二乘法 2.2
- Frisch-Waugh 定理 2.1
- 非中心化 R^2 2.3
- 中心化 R^2 2.4
- 无偏性 2.2
- Gauss-Markov 定理 2.2
- t 统计量 2.5
- F 统计量 2.6
- 多重共线性 2.4
- 广义最小二乘 2.8
- 一致性 2.6
- 渐近正态性 2.6
- 稳健 t 统计量 2.6

多元线性回归是计量经济学中最常用的计量模型之一，本章第一节将介绍古典线性回归模型（Classical Linear Regression Model, CLRM）的假设条件以及估计此模型的普通最小二乘法（Ordinary Least Squares, OLS）；第二节讨论线性回归模型的拟合优度并推导古典假设下最小二乘估计量的有限样本性质（或称为小样本性质）；第三节介绍古典线性回归模型的假设检验问题；第四节讨论多重共线性问题；在第五节中，我们放松球形扰动假设并讨论广义最小二乘；在第六节中，我们建立最小二乘估计量的大样本性质和大样本统计推断理论。想深入了解本章内容可以进一步参考 Hansen (2022a) 和 Hayashi (2000)。

计量实证分析常见的数据结构有：横截面（cross-sectional）数据、时间序列（time series）数据、混合（pooled）横截面数据和面板（panel）数据。横截面数据是指在给定的时间点上由不同个体的各个变量的样本观测值构成的数据，例如，2022 年上半年我国各个省份的人均 GDP、平均工资水平和就业率构成的数据集便是横截面数据。这里需要注意的是，即使收集各省数据时存在时间上的差别（如，2022 年上半年的不同星期或月份），我们仍然可以将其看作是横截面数据。时间序列数据是指由同一个体的各个变量在时间维度上的观测值构成的数据，例如，贵州茅台 2022 年上半年的日开盘价、日收盘价和日成交量构成的数据集是时间序列数据。在记录横截面数据时，不同个体的记录顺序是无关紧要的，但是，时间序列数据要按照时间的先后顺序进行记录。将不同时间点的相同变量的横截面数据按时间顺序混合在一起便得到混合横截面数据。在此类数据中，不同时间点的横截面个体可以不同。面板数据是由每一横截面个体在相同时间点上的时间序列构成的数据。面板数据不同于混合横截面数据，面板数据不同时间点的横截面个体是相同的。例如，我国各省份 2012-2021 年的人均 GDP、平均工资水平和就业率构成的数据是面板数据。

本章介绍的小样本性质适用于横截面数据。通常横截面数据假设横截面个体之间是独立同分布的，但是，我们在推导小样本性质时没有施加此假设。此外，本章介绍的大样本性质适用于横截面数据和时间序列数据。关于（静态）面板数据的详细讨论见本书第 5 章。

2.1 古典线性回归模型

本章主要讨论多元线性回归模型中的参数的估计和假设检验问题，为此，我们假设有样本量为 n 的样本 $(y_i, \mathbf{x}_i)_{i=1}^n$，其中，$\mathbf{x}_i$ 为 K 维列向量。计量经济学中所指的模型是对解释变量 $\mathbf{x}_i$ 和被解释变量 y_i 的联合分布施加的一组假设。古典线性回归模型满足的假设由下面定义给出：

定义 2.1. 古典线性回归模型（Classical Linear Regression Model, CLRM）

古典线性回归模型满足如下假设：

假设 2.1：（线性假设）

$$y_i = \beta_1 x_{i1} + \beta_2 x_{i2} + \cdots + \beta_K x_{iK} + \varepsilon_i = \mathbf{x}_i'\boldsymbol{\beta} + \varepsilon_i, \quad (i = 1, 2, \ldots, n), \tag{2.1}$$

其中，$\mathbf{x}_i = (x_{i1}, \ldots, x_{iK})'$；$\boldsymbol{\beta} = (\beta_1, \ldots, \beta_K)'$ 是待估计的未知参数；ε_i 是不可观测的误差项；在含有常数项的回归模型中，$x_{i1} = 1$。若再定义：

$$\mathbf{y} = \begin{bmatrix} y_1 \\ y_2 \\ \vdots \\ y_n \end{bmatrix}, \quad \boldsymbol{\varepsilon} = \begin{bmatrix} \varepsilon_1 \\ \varepsilon_2 \\ \vdots \\ \varepsilon_n \end{bmatrix}, \quad \mathbf{X} = \begin{bmatrix} \mathbf{x}_1' \\ \mathbf{x}_2' \\ \vdots \\ \mathbf{x}_n' \end{bmatrix} = \begin{bmatrix} x_{11} & \cdots & x_{1K} \\ x_{21} & \cdots & x_{2K} \\ \vdots & \cdots & \vdots \\ x_{n1} & \cdots & x_{nK} \end{bmatrix},$$

则有：

$$\mathbf{y} = \mathbf{X}\boldsymbol{\beta} + \boldsymbol{\varepsilon}.$$

假设 2.2：（严格外生性）

$$\mathbb{E}(\varepsilon_i|\mathbf{X}) = 0, \quad (i = 1, 2, \ldots, n). \tag{2.2}$$

假设 2.3：（无完全共线性）

$$\text{矩阵 } \mathbf{X} \text{ 列满秩，即，} \operatorname{rank}(\mathbf{X}) = K. \tag{2.3}$$

假设 2.4：（球形扰动）

$$\mathbb{E}(\varepsilon_i^2|\mathbf{X}) = \sigma^2 > 0, \quad (i = 1, 2, \ldots, n) \tag{2.4}$$

$$\mathbb{E}(\varepsilon_i\varepsilon_j|\mathbf{X}) = 0, \quad (i, j = 1, 2, \ldots, n;\ i \neq j). \tag{2.5}$$

上述两个条件可以统一记为：

$$\mathbb{E}(\boldsymbol{\varepsilon}\boldsymbol{\varepsilon}'|\mathbf{X}) = \operatorname{Var}(\boldsymbol{\varepsilon}|\mathbf{X}) = \sigma^2\mathbf{I}_n, \tag{2.6}$$

其中，$\mathbf{I}_n$ 为 $n \times n$ 的单位阵。 ♣

关于假设的说明

在式 (2.1) 中，$\beta_1 x_{i1} + \beta_2 x_{i2} + \cdots + \beta_K x_{iK}$ 称为总体回归函数，$\boldsymbol{\beta}$ 称为回归系数。假设 2.1 的线性假设实际上要求总体回归函数关于回归系数 $\boldsymbol{\beta}$ 是线性的。考虑如下方程：

$$y_i = \beta_1 x_{i1} + \beta_2 x_{i2} + \beta_3 x_{i2}^2 + \varepsilon_i.$$

虽然此方程是变量 x_{i2} 的非线性函数，但是我们可以定义 $x_{i3} = x_{i2}^2$，将上述方程改写为：

$$y_i = \beta_1 x_{i1} + \beta_2 x_{i2} + \beta_3 x_{i3} + \varepsilon_i.$$

改写后的新方程关于 $\boldsymbol{\beta}$ 是线性的，满足假设 2.1。由于 x_{i2} 是可观测的，x_{i3} 可由观测值计算得出，所以 $\boldsymbol{\beta}$ 的估计不受影响。再考虑如下方程：

$$y_i = \beta_1 x_{i1} + \frac{\beta_2}{\beta_3} x_{i2} + \varepsilon_i.$$

此方程不满足假设 2.1，无法基于样本数据估计 β_2 和 β_3。

在总体回归函数中，对于 $k \in \{1, 2, \ldots, K\}$，$x_{ik}$ 的系数 β_k 衡量的是 x_{ik} 对 y_i 的偏效应（partial effect），即，在保持其他解释变量不变的情况下，x_{ik} 变化一个单位引起的 y_i 的变化，利用微积分中偏导数的记号可以记为 $\partial y_i / \partial x_{ik} = \beta_k$。在实证研究中，我们经常会对解释变量或被解释变量取对数，此时回归系数的解释要做相应的调整。考虑如下简单线性回归：[1]

$$\log(wage)_i = \alpha + \beta_1 educ_i + \varepsilon_i,$$

其中，$\log(wage)_i$ 表示对数工资，$educ_i$ 表示受教育年限。因为此模型里只有被解释变量取了对数，所以它被称为“对数-水平（log-level）”模型。注意到：

$$\frac{d(\log(wage)_i)}{d(educ_i)} = \frac{d(wage_i)/wage_i}{d(educ_i)} = \beta_1.$$

于是，受教育年限增加一年导致的工资百分比变化为 $100 \cdot \beta_1\%$，$100 \cdot \beta_1$ 称为工资相对于受教育年限的半弹性。例如，若 $\beta_1 = 0.067$，则增加一年的教育会使工资增加 6.7%。

除“对数-水平”模型外，常见的还有“对数-对数（log-log）”模型。考虑如下模型：

$$\log(salary)_i = \alpha + \beta_1 \log(sale)_i + \varepsilon_i,$$

其中，$\log(salary)_i$ 表示公司高管薪酬对数，$\log(sale)_i$ 表示公司销售收入对数。因为

$$\frac{d(\log(salary)_i)}{d(\log(sale)_i)} = \frac{d(salary_i)/salary_i}{d(sale_i)/sale_i} = \beta_1,$$

所以，这里的 β_1 具有弹性的解释，即，销售收入增加 1%，高管薪酬变化 $\beta_1\%$。例如，若 $\beta_1 = 0.2$，则销售收入增加 1% 会使高管薪酬增加 0.2%。

假设 2.2 也可以表示为

$$\mathbb{E}(\varepsilon_i \mid \mathbf{x}_1, \ldots, \mathbf{x}_n) = 0, \quad (i = 1, 2, \ldots, n),$$

即，以所有的观测变量 $\mathbf{x}_1, \ldots, \mathbf{x}_n$ 为条件，ε_i 的条件期望为 0。由此假设出发，我们可以推导出如下重要结论：

- 误差项的无条件期望是 0：$\mathbb{E}(\varepsilon_i) = 0$，$i = 1, 2, \ldots, n$；

  证明 由 SLIE，$\mathbb{E}[\mathbb{E}(\varepsilon_i|\mathbf{X})] = \mathbb{E}(\varepsilon_i) = 0$。 □

- 解释变量与误差项正交：$\mathbb{E}(x_{jk}\varepsilon_i) = 0$，$i, j = 1, 2, \ldots, n$; $k = 1, \ldots, K$；

  证明 首先，由 LIE，假设 2.2 可以推出

$$\mathbb{E}(\varepsilon_i|x_{jk}) = \mathbb{E}[\mathbb{E}(\varepsilon_i|\mathbf{X})|x_{jk}] = 0.$$

[1] 总体回归函数中只含有常数项和一个解释变量的线性回归模型称为简单线性回归模型，也称为一元线性回归模型。

因此，我们有：

$$\begin{aligned}\mathbb{E}(x_{jk}\varepsilon_i) &= \mathbb{E}[\mathbb{E}(x_{jk}\varepsilon_i|x_{jk})] && \text{(由 SLIE)}\\ &= \mathbb{E}[x_{jk}\mathbb{E}(\varepsilon_i|x_{jk})] && \text{(由定理 1.3)}\\ &= 0.\end{aligned}$$

□

- 解释变量与误差项不相关：$\mathrm{Cov}(\varepsilon_i, x_{jk}) = 0$，$i, j = 1, 2, \ldots, n$; $k = 1, \ldots, K$。

证明

$$\begin{aligned}\mathrm{Cov}(\varepsilon_i, x_{jk}) &= \mathbb{E}(x_{jk}\varepsilon_i) - \mathbb{E}(x_{jk})\mathbb{E}(\varepsilon_i) && \text{(协方差计算公式)}\\ &= \mathbb{E}(x_{jk}\varepsilon_i) && \text{(因为 } \mathbb{E}(\varepsilon_i) = 0\text{)}\\ &= 0.\end{aligned}$$

□

从上述结论中我们可以看到严格外生性不仅要求同一观测的解释变量和误差项彼此正交（$\mathbb{E}(x_{ik}\varepsilon_i) = 0$），还要求来自不同观测的解释变量和误差项彼此正交（对所有的 $j \neq i$，$\mathbb{E}(x_{jk}\varepsilon_i) = 0$）。这一点对于时间序列模型来说是无法满足的，例如考虑如下一阶自回归模型（First-order Autoregressive Model, AR(1)）：

$$y_i = \beta_0 + \beta_1 y_{i-1} + \varepsilon_i.$$

在此模型中，我们假设解释变量 y_{i-1} 和误差项正交：$\mathbb{E}(y_{i-1}\varepsilon_i) = 0$，以及 $\mathbb{E}(\varepsilon_i) = 0$，则有：

$$\begin{aligned}\mathbb{E}(y_i\varepsilon_i) &= \mathbb{E}[(\beta_0 + \beta_1 y_{i-1} + \varepsilon_i)\varepsilon_i]\\ &= \beta_0\mathbb{E}(\varepsilon_i) + \beta_1\mathbb{E}(y_{i-1}\varepsilon_i) + \mathbb{E}(\varepsilon_i^2)\\ &= \mathbb{E}(\varepsilon_i^2).\end{aligned}$$

除非误差项为 0，否则上式将不为 0。如果我们把变量的下标理解成时间，相对于 ε_i，y_i 是下一期的解释变量。因此，解释变量与过去期的误差项不满足正交条件，严格外生性不成立。在本章第四节中我们会放松严格外生假设使其适用于时间序列模型。

实际上，只要 $\mathbb{E}(\varepsilon_i \mid \mathbf{x}_1, \ldots, \mathbf{x}_n) = c$，其中，$c$ 为某一常数，解释变量就与误差项不相关。在含有常数项的多元回归模型中，假设 2.2 要求 $c = 0$ 并不是一个过于强的假设。因为，若 $c \neq 0$，我们可以重新定义常数项和误差项，从而使假设 2.2 成立。具体地，

$$\begin{aligned}y_i &= \beta_1 + \beta_2 x_{i2} + \cdots + \beta_K x_{iK} + \varepsilon_i\\ &= (\beta_1 + c) + \beta_2 x_{i2} + \cdots + \beta_K x_{iK} + (\varepsilon_i - c)\\ &= \beta_1^* + \beta_2 x_{i2} + \cdots + \beta_K x_{iK} + \varepsilon_i^*,\end{aligned}$$

其中，$\beta_1^* = \beta_1 + c$，$\varepsilon_i^* = \varepsilon_i - c$。重新定义的误差项 ε_i^* 满足假设 2.2。

此外，在假设 2.2 成立的情况下，容易验证：

$$\mathbb{E}(y_i|\mathbf{x}_i) = \mathbf{x}_i'\boldsymbol{\beta}.$$

于是，CEF 具有线性形式，由定理 1.8，$\boldsymbol{\beta}$ 为 y_i 对 $\mathbf{x}_i$ 做投影的线性投影系数。我们已经

知道投影误差正交于 $\mathbf{x}_i$，而 $\mathbf{x}_i$ 与回归模型的误差项 ε_i 正交是由假设 2.2 推出的，严格外生性比正交条件的约束更强。

假设 2.3 要求 $\mathbf{X}$ 列满秩，即，$\mathbf{X}$ 的任何一列都不能表示成其他列的线性组合。此外，因为 $\mathbf{X}$ 是 $n \times K$ 维矩阵，假设 2.3 成立需要 $n \geqslant K$。若此假设不满足，我们称解释变量出现完全共线性问题，此时最小二乘估计量无法计算。对于简单线性回归模型来说，假设 2.3 要求解释变量的数据不是常数，否则解释变量和回归中的常数项成比例导致数据矩阵 $\mathbf{X}$ 不列满秩。

“虚拟变量陷阱”也是导致完全共线性问题的常见例子，考虑如下模型：

$$y_i = \beta_0 + \beta_1 x_{i1} + \beta_2 x_{i2} + \varepsilon_i,$$

其中，

$$x_{i1} = \begin{cases} 0 & \text{如果} \quad \text{性别 = 男性}, \\ 1 & \text{如果} \quad \text{性别 = 女性}. \end{cases} \qquad x_{i2} = \begin{cases} 1 & \text{如果} \quad \text{性别 = 男性}, \\ 0 & \text{如果} \quad \text{性别 = 女性}. \end{cases}$$

因为，对任意观测 i，$x_{i1} + x_{i2} = 1$，所以回归中的常数项可以表示为 x_{i1} 和 x_{i2} 的线性组合。一般地，若某一类别变量有 m 个不同的取值，将此变量加入回归中应该引入 $m-1$ 个虚拟变量；若引入 m 个虚拟变量，常数项可以表示成这些虚拟变量的和，从而导致假设 2.3 不成立。

Stata 会自动检测完全共线性问题，若问题存在，共线性的变量中的一个会被自动剔除。然而，在实证分析中，值得讨论的并不是完全共线性问题。假设 2.3 排除了解释变量间的完全的线性关系，但是解释变量间可能存在高度的（不完全的）线性相关性，这种相关性可能会导致最小二乘估计量的方差无限放大。我们将因为解释变量高度线性相关影响回归系数估计准确性的问题称为多重共线性（multicollinearity）问题。在本章2.2节我们会进一步讨论多重共线性问题。

式 (2.6) 假设 $\boldsymbol{\varepsilon}$ 的条件方差和单位阵 $\mathbf{I}_n$ 成正比，因此假设 2.4 被称为球形扰动假设。由严格外生性假设，我们有：

$$\begin{aligned} \mathrm{Var}(\varepsilon_i|\mathbf{X}) &= \mathbb{E}(\varepsilon_i^2|\mathbf{X}) - \mathbb{E}(\varepsilon_i|\mathbf{X})^2 \\ &= \mathbb{E}(\varepsilon_i^2|\mathbf{X}). \end{aligned}$$

因此，式 (2.4) 说明误差项满足条件同方差（conditional homoskedasticity）。同理，

$$\mathrm{Cov}(\varepsilon_i, \varepsilon_j|\mathbf{X}) = \mathbb{E}(\varepsilon_i\varepsilon_j|\mathbf{X}) = 0, \quad (i, j = 1, 2, \ldots, n;\ i \neq j).$$

因此，式 (2.5) 说明不同观测误差之间满足条件不相关。在时间序列模型中，上式表示不同时刻的误差项之间不存在条件相关性，这种情况被称为误差项无自相关（serial correlation）。

事实上，条件同方差是一个很强的假设，在很多情况下并不满足。例如，由定理 1.8，我们知道总体回归函数是对 CEF 的最优线性近似，即使数据真的是同方差，但 CEF 是非线性的，回归模型的误差项也将是异方差的。具体地，

$$\begin{aligned} \mathbb{E}(\varepsilon_i^2 \mid \mathbf{x}_i) &= \mathbb{E}[(y_i - \mathbf{x}_i'\boldsymbol{\beta})^2 \mid \mathbf{x}_i] \\ &= \mathbb{E}\left\{\left[y_i - \mathbb{E}(y_i \mid \mathbf{x}_i) + \mathbb{E}(y_i \mid \mathbf{x}_i) - \mathbf{x}_i'\boldsymbol{\beta}\right]^2 \mid \mathbf{x}_i\right\} \end{aligned}$$

$$= \quad \mathrm{Var}(y_i \mid \mathbf{x}_i) + \left[\mathbb{E}(y_i \mid \mathbf{x}_i) - \mathbf{x}_i'\boldsymbol{\beta}\right]^2.$$

即使 $\mathrm{Var}(y_i \mid \mathbf{x}_i) = \sigma^2$，如果 CEF 是非线性的，第二项将不等于 0，而是 $\mathbf{x}_i$ 的函数。

在 CEF 是线性的情况下，误差项也可能是异方差的。例如，考虑线性概率模型：

$$y_i = \alpha + \mathbf{x}_i'\boldsymbol{\beta} + \varepsilon_i, \quad \mathbb{E}(\varepsilon_i \mid \mathbf{x}_i) = 0,$$

其中，y_i 是二值的。此模型的误差项是异方差的：

$$\begin{aligned}
\mathbb{E}(\varepsilon_i^2 \mid \mathbf{x}_i) &= \mathbb{E}\left\{[y_i - \mathbb{E}(y_i \mid \mathbf{x}_i)]^2 \mid \mathbf{x}_i\right\} \\
&= \mathbb{E}\left\{[y_i - \mathbb{P}(y_i = 1 \mid \mathbf{x}_i)]^2 \mid \mathbf{x}_i\right\} \\
&= [1 - \mathbb{P}(y_i = 1 \mid \mathbf{x}_i)]^2\, \mathbb{P}(y_i = 1 \mid \mathbf{x}_i) + [\mathbb{P}(y_i = 1 \mid \mathbf{x}_i)]^2\, [1 - \mathbb{P}(y_i = 1 \mid \mathbf{x}_i)] \\
&= \mathbb{P}(y_i = 1 \mid \mathbf{x}_i)\, [1 - \mathbb{P}(y_i = 1 \mid \mathbf{x}_i)],
\end{aligned}$$

其中，第三个等号利用了离散随机变量条件期望的定义。我们将在本章第四节放松同方差假设进而讨论最小二乘估计量的大样本性质。

最小二乘估计

接下来我们讨论回归系数 $\boldsymbol{\beta}$ 的估计问题。由假设 2.1 和 2.2，我们知道总体回归函数与线性投影等价，估计 $\boldsymbol{\beta}$，实际上是对线性投影系数进行估计。由定义1.3，线性投影系数最小化如下均方预测误差：

$$S(\boldsymbol{b}) = \mathbb{E}\left((\mathrm{y} - \mathbf{x}'\boldsymbol{b})^2\right).$$

因此，给定样本 $(y_i, \mathbf{x}_i)_{i=1}^n$，我们定义第 i 个观测值的残差（residual）：

$$y_i - \mathbf{x}_i'\boldsymbol{b},$$

$\boldsymbol{\beta}$ 的估计量可以通过最小化残差平方和（residual sum of squares, RSS）得到。这实际上利用了数理统计中的矩估计思想，即，利用一阶样本矩（样本均值）来估计总体期望中相应的参数。因为样本量 n 固定，最小化残差平方的样本均值等价于最小化残差平方和。

定义 2.2. 普通最小二乘法（Ordinary Least Squares, OLS）

给定样本 $(y_i, \mathbf{x}_i)_{i=1}^n$，最小二乘法通过最小化如下残差平方和估计多元线性回归模型的系数 $\boldsymbol{\beta}$：

$$RSS(\boldsymbol{b}) \equiv \sum_{i=1}^n (y_i - \mathbf{x}_i'\boldsymbol{b})^2 = (\mathbf{y} - \mathbf{X}\boldsymbol{b})'(\mathbf{y} - \mathbf{X}\boldsymbol{b}).$$

记 $\boldsymbol{\beta}$ 的最小二乘估计量为 $\hat{\boldsymbol{\beta}}_{ols}$，我们有：

$$\hat{\boldsymbol{\beta}}_{ols} = \underset{\boldsymbol{b} \in \mathbb{R}^K}{\arg\min}\, RSS(\boldsymbol{b}).$$

♣

定义2.2中 $\boldsymbol{b}$，$\boldsymbol{\beta}$ 和 $\hat{\boldsymbol{\beta}}_{ols}$ 之间的关系见图 2.1。最小二乘估计量的解析解可以通过最优化的一阶条件 $\partial RSS(\boldsymbol{b})/\partial \boldsymbol{b} = \mathbf{0}$ 求得。注意到：

$$\begin{aligned}
RSS(\boldsymbol{b}) &= (\mathbf{y} - \mathbf{X}\boldsymbol{b})'(\mathbf{y} - \mathbf{X}\boldsymbol{b}) = (\mathbf{y}' - \boldsymbol{b}'\mathbf{X}')(\mathbf{y} - \mathbf{X}\boldsymbol{b}) \\
&= \mathbf{y}'\mathbf{y} - 2\mathbf{y}'\mathbf{X}\boldsymbol{b} + \boldsymbol{b}'\mathbf{X}'\mathbf{X}\boldsymbol{b} \qquad \text{（因为标量 } \mathbf{y}'\mathbf{X}\boldsymbol{b} \text{ 等于 } \boldsymbol{b}'\mathbf{X}'\mathbf{y}\text{）}
\end{aligned}$$

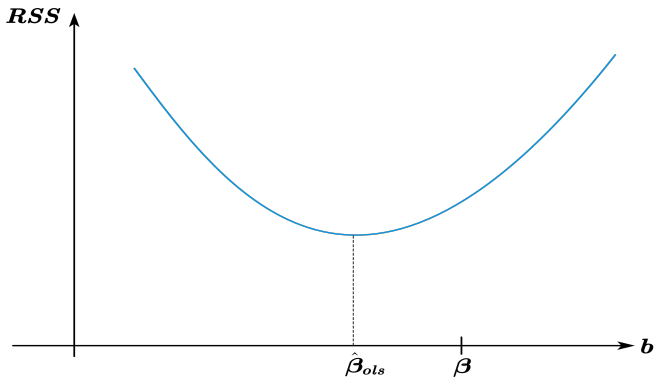

图 2.1: 最小二乘估计

$$\equiv \mathbf{y}'\mathbf{y} - 2\boldsymbol{a}'\boldsymbol{b} + \boldsymbol{b}'\mathbf{A}\boldsymbol{b}. \qquad (\text{定义 } a = \mathbf{X}'\mathbf{y},\ \mathbf{A} = \mathbf{X}'\mathbf{X})$$

因此，由 (C.5)，一阶条件可以表示为：

$$\frac{\partial RSS(\boldsymbol{b})}{\partial \boldsymbol{b}}\Big|_{\boldsymbol{b}=\hat{\boldsymbol{\beta}}_{ols}} = -2\boldsymbol{a} + 2\mathbf{A}\hat{\boldsymbol{\beta}}_{ols} = \mathbf{0}.$$

上式经过整理可得到最小二乘估计量满足的正则方程：

$$\mathbf{X}'\mathbf{X}\hat{\boldsymbol{\beta}}_{ols} = \mathbf{X}'\mathbf{y}. \tag{2.7}$$

由假设 2.3，$\mathbf{X}'\mathbf{X}$ 是正定阵并且可逆[2]，于是，我们有：

$$\hat{\boldsymbol{\beta}}_{ols} = \left(\mathbf{X}'\mathbf{X}\right)^{-1}\mathbf{X}'\mathbf{y}. \tag{2.8}$$

用最小二乘估计量 $\hat{\boldsymbol{\beta}}_{ols}$ 替换总体回归函数中的真实参数 $\boldsymbol{\beta}$ 便得到样本回归函数，第 i 个观测的样本回归函数的取值为 $\mathbf{x}_i'\hat{\boldsymbol{\beta}}_{ols}$，我们将其称为观测 i 的拟合值（fitted value）并记为 $\hat{y}_i$。所有样本观测的拟合值构成的向量为：

$$\hat{\mathbf{y}} \equiv \mathbf{X}\hat{\boldsymbol{\beta}}_{ols} = \mathbf{X}\left(\mathbf{X}'\mathbf{X}\right)^{-1}\mathbf{X}'\mathbf{y}.$$

由正则方程 (2.7) 有：

$$\mathbf{X}'(\mathbf{y} - \mathbf{X}\hat{\boldsymbol{\beta}}_{ols}) = \mathbf{X}'\boldsymbol{e} = \mathbf{0}, \tag{2.9}$$

其中，$\boldsymbol{e} = (e_1, \ldots, e_n)' = \mathbf{y} - \mathbf{X}\hat{\boldsymbol{\beta}}_{ols} = \mathbf{y} - \hat{\mathbf{y}}$，称为残差。若回归中含有常数项，则 $\mathbf{X}'$ 的第一行是 n 个 1 构成的行向量。因此，由式 (2.9)，含有常数项的回归满足 $\sum_{i=1}^n e_i = 0$。由 $\mathbf{X}$ 的定义，式 (2.9) 可以等价地写成均值形式：

$$\frac{1}{n}\sum_{i=1}^n \mathbf{x}_i e_i = \mathbf{0}. \tag{2.10}$$

在定理 1.7 中，线性投影误差 e 满足 $\mathbb{E}(\mathbf{x}e) = \mathbf{0}$，式 (2.10) 是此正交性质的样本形式。我们把 (2.9) 式称为残差与解释变量正交。

图 2.2 说明了最小二乘法的几何意义。此图中有两个解释变量 $\mathbf{x}_1$ 和 $\mathbf{x}_2$，$\mathbf{y}$ 对这两个变量做回归的几何意义是 $\mathbf{y}$ 对由这两个变量张成的平面做投影，落在平面上的投影部分

[2] 因为 $\mathbf{X}'\mathbf{X}$ 正定，所以目标函数的二阶海塞矩阵正定，所以 $\hat{\boldsymbol{\beta}}_{ols}$ 是最小化的解。

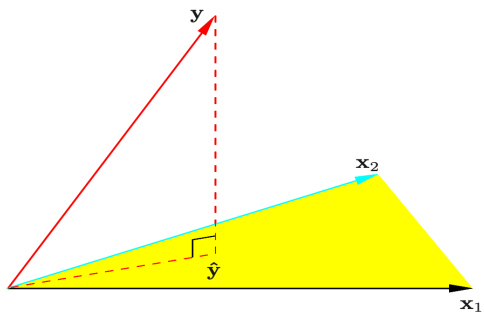

图 2.2: 最小二乘法的几何意义（图片来源：Hastie et al. (2016) 中图 3.2）

即为拟合值 $\hat{\mathbf{y}}$，$\mathbf{y}$ 到平面的垂线即为残差 $\boldsymbol{e}$。因为：

$$\hat{\mathbf{y}} = \mathbf{X}\left(\mathbf{X}'\mathbf{X}\right)^{-1}\mathbf{X}'\mathbf{y},$$

所以，左乘矩阵 $\mathbf{X}\left(\mathbf{X}'\mathbf{X}\right)^{-1}\mathbf{X}'$ 起到对 $\mathbf{X}$ 的平面做投影的作用，我们将其记为 $\mathbf{P_X}$ 并称为投影矩阵。类似地，对于残差向量 $\boldsymbol{e}$，我们有：

$$\boldsymbol{e} = \mathbf{y} - \hat{\mathbf{y}} = \mathbf{y} - \mathbf{P_X}\cdot\mathbf{y} = \left(\mathbf{I}_n - \mathbf{P_X}\right)\mathbf{y}.$$

左乘矩阵 $\mathbf{I}_n - \mathbf{P_X}$ 的作用是得到对 $\mathbf{X}$ 的平面做投影的残差，我们将其记为 $\mathbf{M_X}$ 并称为消灭矩阵（annihilator）。容易验证 $\mathbf{P_X}$ 和 $\mathbf{M_X}$ 都是对称幂等阵，并且根据两个矩阵的几何意义容易知道：

$$\mathbf{P_X}\mathbf{X} = \mathbf{X}, \quad \mathbf{M_X}\mathbf{X} = \mathbf{0}.$$

另外，利用上面两个矩阵的性质，我们可以得到式 (1.7) 的样本对应形式，即，Frisch-Waugh 定理：

定理 2.1. Frisch-Waugh 定理

考虑如下回归形式：

$$\mathbf{y} = \begin{bmatrix} \mathbf{X}_r & \mathbf{X}_s \end{bmatrix}\begin{bmatrix} \boldsymbol{\beta}_r \\ \boldsymbol{\beta}_s \end{bmatrix} + \boldsymbol{\varepsilon},$$

其中，数据矩阵 $\mathbf{X}$ 被分解成 $\begin{bmatrix} \mathbf{X}_r & \mathbf{X}_s \end{bmatrix}$，回归系数 $\boldsymbol{\beta}$ 也做相应的分解。为了分别得到 $\boldsymbol{\beta}_r$ 和 $\boldsymbol{\beta}_s$ 的估计量，可以按照以下步骤操作：

1. 将 $\mathbf{y}$ 对 $\mathbf{X}_r$ 回归，得到残差向量 $\mathbf{y}^*$；
2. 将 $\mathbf{X}_s$ 的每列分别对 $\mathbf{X}_r$ 回归，所得残差向量组成矩阵 $\mathbf{X}_s^*$；
3. $\mathbf{y}^*$ 对 $\mathbf{X}_s^*$ 回归，得到 $\boldsymbol{\beta}_s$ 的 OLS 估计量 $\hat{\boldsymbol{\beta}}_s$；
4. 以 $\mathbf{y} - \mathbf{X}_s\hat{\boldsymbol{\beta}}_s$ 为被解释变量对 $\mathbf{X}_r$ 进行回归，得到 $\boldsymbol{\beta}_r$ 的 OLS 估计量 $\hat{\boldsymbol{\beta}}_r$。 ♡

证明 由最小二乘公式 (2.8) 和分块矩阵求逆公式（见式 (A.13)），我们有：

$$\begin{aligned}
\begin{bmatrix} \hat{\boldsymbol{\beta}}_r \\ \hat{\boldsymbol{\beta}}_s \end{bmatrix} &= \begin{bmatrix} \mathbf{X}_r'\mathbf{X}_r & \mathbf{X}_r'\mathbf{X}_s \\ \mathbf{X}_s'\mathbf{X}_r & \mathbf{X}_s'\mathbf{X}_s \end{bmatrix}^{-1}\begin{bmatrix} \mathbf{X}_r' \\ \mathbf{X}_s' \end{bmatrix}\mathbf{y} \\
&= \begin{bmatrix} \boldsymbol{A}_{11}^{-1} + \boldsymbol{A}_{11}^{-1}\boldsymbol{A}_{12}\boldsymbol{F}_2\boldsymbol{A}_{21}\boldsymbol{A}_{11}^{-1} & -\boldsymbol{A}_{11}^{-1}\boldsymbol{A}_{12}\boldsymbol{F}_2 \\ -\boldsymbol{F}_2\boldsymbol{A}_{21}\boldsymbol{A}_{11}^{-1} & \boldsymbol{F}_2 \end{bmatrix}\begin{bmatrix} \mathbf{X}_r'\mathbf{y} \\ \mathbf{X}_s'\mathbf{y} \end{bmatrix}
\end{aligned}$$

其中，

$$\begin{aligned}
\boldsymbol{A}_{11} &= \mathbf{X}_r'\mathbf{X}_r, \quad \boldsymbol{A}_{12} = \mathbf{X}_r'\mathbf{X}_s, \quad \boldsymbol{A}_{21} = \mathbf{X}_s'\mathbf{X}_r, \quad \boldsymbol{A}_{22} = \mathbf{X}_s'\mathbf{X}_s, \\
\boldsymbol{F}_2 &= \left(\boldsymbol{A}_{22} - \boldsymbol{A}_{21}\boldsymbol{A}_{11}^{-1}\boldsymbol{A}_{12}\right)^{-1} = \left(\mathbf{X}_s'\mathbf{M}_r\mathbf{X}_s\right)^{-1}, \quad (\mathbf{M}_r \equiv \mathbf{X}_r(\mathbf{X}_r'\mathbf{X}_r)^{-1}\mathbf{X}_r')
\end{aligned}$$

于是，

$$\begin{aligned}
\hat{\boldsymbol{\beta}}_s &= -\boldsymbol{F}_2\boldsymbol{A}_{21}\boldsymbol{A}_{11}^{-1}\mathbf{X}_r'\mathbf{y} + \boldsymbol{F}_2\mathbf{X}_s'\mathbf{y} = \boldsymbol{F}_2\mathbf{X}_s'\mathbf{M}_r\mathbf{y} \\
&= \left(\mathbf{X}_s'\mathbf{M}_r\mathbf{X}_s\right)^{-1}\mathbf{X}_s'\mathbf{M}_r\mathbf{y} = \left[(\mathbf{M}_r\mathbf{X}_s)'(\mathbf{M}_r\mathbf{X}_s)\right]^{-1}(\mathbf{M}_r\mathbf{X}_s)'(\mathbf{M}_r\mathbf{y}),
\end{aligned}$$

其中，最后一个等号我们利用了 $\mathbf{M}_r$ 的幂等性质。由 $\mathbf{M}_r$ 的定义，我们知道 $\mathbf{M}_r\mathbf{X}_s = \mathbf{X}_s^*$，$\mathbf{M}_r\mathbf{y} = \mathbf{y}^*$。于是，

$$\hat{\boldsymbol{\beta}}_s = \left(\mathbf{X}_s^{*\prime}\mathbf{X}_s^*\right)^{-1}\mathbf{X}_s^{*\prime}\mathbf{y}^*.$$

定理的步骤 1-3 得证。事实上，由 $\mathbf{M}_r$ 的幂等性，可以直接用 $\mathbf{y}$ 对 $\mathbf{X}_s^*$ 回归得到 $\hat{\boldsymbol{\beta}}_s$。另一方面，由式 (2.7)，

$$\mathbf{X}_r'\mathbf{X}_r\hat{\boldsymbol{\beta}}_r + \mathbf{X}_r'\mathbf{X}_s\hat{\boldsymbol{\beta}}_s = \mathbf{X}_r'\mathbf{y} \quad \Rightarrow \quad \hat{\boldsymbol{\beta}}_r = \left(\mathbf{X}_r'\mathbf{X}_r\right)^{-1}\mathbf{X}_r(\mathbf{y} - \mathbf{X}_s\hat{\boldsymbol{\beta}}_s).$$

□

图 2.3 说明了 Frisch-Waugh 定理的几何意义。在图中，$\mathbf{x}_2$ 对 $\mathbf{x}_1$ 做回归得到残差 $\mathbf{z}$，$\mathbf{y}$ 对 $\mathbf{z}$ 回归可以得到 $\mathbf{x}_2$ 在如下多元线性回归中的系数 β_2 的估计量：

$$\mathbf{y} = \beta_1\mathbf{x}_1 + \beta_2\mathbf{x}_2 + \varepsilon.$$

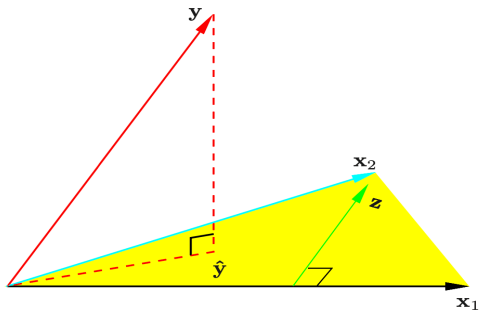

图 2.3: Frisch-Waugh 定理（图片来源：Hastie et al. (2016) 中图 3.4）

基于公式 (2.8) 和 Frisch-Waugh 定理，我们可以推导出如下常见回归的系数表达式：

- 只含有常数项的线性回归：$y_i = \beta_0 + \varepsilon_i$，$i = 1, 2, \ldots, n$，

$$\hat{\beta}_{0,ols} = \bar{y}, \quad \bar{y} = \frac{1}{n}\sum_{i=1}^{n} y_i. \tag{2.11}$$

- 简单线性回归：$y_i = \beta_0 + \beta_1 x_i + \varepsilon_i$，$i = 1, 2, \ldots, n$，

$$\hat{\beta}_{1,ols} = \frac{\sum_{i=1}^{n}(x_i - \bar{x})(y_i - \bar{y})}{\sum_{i=1}^{n}(x_i - \bar{x})^2}, \quad \hat{\beta}_{0,ols} = \bar{y} - \hat{\beta}_{1,ols}\bar{x}, \quad \bar{x} = \frac{1}{n}\sum_{i=1}^{n} x_i. \tag{2.12}$$

  简单线性回归的系数估计量实际上是式 (1.6) 的样本形式。

- 含两个解释变量的线性回归：$y_i = \beta_0 + \beta_1 x_{i1} + \beta_2 x_{i2} + \varepsilon_i$，$i = 1, 2, \ldots, n$，

$$\hat{\beta}_{1,ols} = \frac{\sum_{i=1}^{n}\hat{r}_{i1}y_i}{\sum_{i=1}^{n}\hat{r}_{i1}^2}, \tag{2.13}$$

其中，$\hat{r}_{i1}$ 是 x_{i1} 对 x_{i2} 和常数项做回归得到的残差。

Stata 的非官方命令 reganat 提供了 Frisch-Waugh 定理的可视化功能，可以使用如下命令安装：

```
. ssc install reganat, replace
```

2.2 拟合优度与小样本性质

拟合优度

在本节中，我们首先讨论线性回归模型的拟合优度（goodness of fit）问题。所谓拟合优度是指样本回归函数对样本观测值的拟合程度。

第一种可以用来衡量拟合优度的指标是非中心化 R^2，定义如下：

定义 2.3. 非中心化 R^2

非中心化 R^2 的定义为：

$$R^2_{uc} \equiv 1 - \frac{\boldsymbol{e}'\boldsymbol{e}}{\mathbf{y}'\mathbf{y}}.$$

它衡量的是被解释变量的变化由解释变量解释的比例。 ♣

被解释变量 $\mathbf{y}$ 的变化可以用 $\sum_{i=1}^n y_i^2 = \mathbf{y}'\mathbf{y}$ 度量。根据 $\boldsymbol{e} = \mathbf{y} - \hat{\mathbf{y}}$，容易证明：

$$\begin{aligned}
\mathbf{y}'\mathbf{y} &= (\hat{\mathbf{y}} + \boldsymbol{e})'(\hat{\mathbf{y}} + \boldsymbol{e}) = \hat{\mathbf{y}}'\hat{\mathbf{y}} + 2\hat{\mathbf{y}}'\boldsymbol{e} + \boldsymbol{e}'\boldsymbol{e} && (\hat{\mathbf{y}}'\boldsymbol{e} \text{ 和 } \boldsymbol{e}'\hat{\mathbf{y}} \text{ 是标量}) \\
&= \hat{\mathbf{y}}'\hat{\mathbf{y}} + 2\hat{\boldsymbol{\beta}}_{ols}'\mathbf{X}'\boldsymbol{e} + \boldsymbol{e}'\boldsymbol{e} && (\hat{\mathbf{y}} = \mathbf{X}\hat{\boldsymbol{\beta}}_{ols}) \\
&= \hat{\mathbf{y}}'\hat{\mathbf{y}} + \boldsymbol{e}'\boldsymbol{e}. && (\mathbf{X}'\boldsymbol{e} = \mathbf{0})
\end{aligned}$$

所以，

$$R^2_{uc} = \frac{\hat{\mathbf{y}}'\hat{\mathbf{y}}}{\mathbf{y}'\mathbf{y}}.$$

上式分子衡量的是拟合值的变化，是 $\mathbf{y}$ 的变化中可以由解释变量解释的部分。

非中心化 R^2 关注的是所有解释变量对 $\mathbf{y}$ 的解释能力，这其中也包含常数项。但是，线性回归中通常都要包含常数项。所以，我们更关注除常数项之外的解释变量对 $\mathbf{y}$ 的解释能力。为此，我们定义第二种衡量拟合优度的指标：（中心化）R^2，也称为可决系数（coefficient of determination）。

定义 2.4. （中心化）R^2

（中心化）R^2，也称为可决系数，衡量的是除常数项之外的解释变量对 $\mathbf{y}$ 的解释能力，其定义如下：

$$R^2 \equiv 1 - \frac{\sum_{i=1}^n e_i^2}{\sum_{i=1}^n (y_i - \bar{y})^2}. \tag{2.14}$$

♣

为了更好地理解 R^2 的定义，我们首先证明：如果线性回归中含有常数项，则有：

$$\sum_{i=1}^{n}(y_i-\bar{y})^2=\sum_{i=1}^{n}(\hat{y}_i-\bar{y})^2+\sum_{i=1}^{n}e_i^2. \tag{2.15}$$

证明 将等式左边写成向量内积形式：

$$\sum_{i=1}^{n}(y_i-\bar{y})^2=(\mathbf{y}-\mathbf{1}_n\bar{y})'(\mathbf{y}-\mathbf{1}_n\bar{y}),$$

其中，$\mathbf{1}_n$ 表示 $n\times 1$ 维由 1 构成的列向量。注意到：

$$\begin{aligned}
&(\mathbf{y}-\mathbf{1}_n\bar{y})'(\mathbf{y}-\mathbf{1}_n\bar{y})\\
=\ &(\mathbf{y}-\hat{\mathbf{y}}+\hat{\mathbf{y}}-\mathbf{1}_n\bar{y})'(\mathbf{y}-\hat{\mathbf{y}}+\hat{\mathbf{y}}-\mathbf{1}_n\bar{y})\\
=\ &(\hat{\mathbf{y}}-\mathbf{1}_n\bar{y})'(\hat{\mathbf{y}}-\mathbf{1}_n\bar{y})+(\mathbf{y}-\hat{\mathbf{y}})'(\mathbf{y}-\hat{\mathbf{y}})+2(\hat{\mathbf{y}}-\mathbf{1}_n\bar{y})'\underbrace{(\mathbf{y}-\hat{\mathbf{y}})}_{\boldsymbol{e}}.
\end{aligned}$$

若回归中含有常数项，根据式 (2.9)，则有：$\mathbf{1}_n'\boldsymbol{e}=0$，$\hat{\mathbf{y}}'\boldsymbol{e}=\hat{\boldsymbol{\beta}}_{ols}'\mathbf{X}'\boldsymbol{e}=0$，式 (2.15) 得证。 □

在式 (2.15) 中，$\sum_{i=1}^{n}(y_i-\bar{y})^2$ 称为总平方和（total sum of squares, TSS），$\sum_{i=1}^{n}(\hat{y}_i-\bar{y})^2$ 称为回归平方和（explained sum of squares, ESS）。因此，式 (2.15) 的结论也可以表示为：TSS = ESS + RSS。由式 (2.15)，R^2 可以表示成：

$$R^2=\frac{\sum_{i=1}^{n}(\hat{y}_i-\bar{y})^2}{\sum_{i=1}^{n}(y_i-\bar{y})^2}.$$

根据式 (2.11)，$\bar{y}$ 是只含有常数项的线性回归的拟合值，因此，R^2 衡量的是除常数项之外的解释变量对 $\mathbf{y}$ 的解释能力。若回归中不含常数项，使用式 (2.14) 计算 R^2 可能会得到取值为负的结果。事实上，

$$1-\frac{\sum_{i=1}^{n}e_i^2}{\sum_{i=1}^{n}(y_i-\bar{y})^2}<0$$

可以推出

$$\sum_{i=1}^{n}e_i^2>\sum_{i=1}^{n}(y_i-\bar{y})^2.$$

这表明具有负值 R^2 的回归的解释变量对 $\mathbf{y}$ 的拟合能力不及样本均值对 $\mathbf{y}$ 的拟合能力。在线性回归模型中不包含常数项的情况下，Stata 会汇报非中心化 R^2。

R^2 的一个重要性质是如果总体回归函数中增加解释变量，即使增加的解释变量与被解释变量无关，R^2 也只增不减。Greene (2018) 中的定理 3.6 给出了此性质的详细证明。我们也可以从最小二乘估计的原理出发来理解这一性质。考虑如下两个回归：

$$\begin{aligned}
y_i &= \beta_0+\beta_1x_{i1}+\varepsilon_i,\\
y_i &= \beta_0+\beta_1x_{i1}+\beta_2x_{i2}+\varepsilon_i.
\end{aligned}$$

第一个回归可以看成是第二个回归的约束形式，即，施加了约束 $\beta_2=0$。由定义2.2，第一个回归的残差平方和是通过一个有约束的最小化问题得到的，其结果一定不小于第二个回归的残差平方和。因此，由 R^2 的定义，第二个回归的 R^2 不小于第一个回归的 R^2。如果用 R^2 作为模型选择的标准，它只会选择最复杂的模型。但是建模的原则是：在保证

模型能完成其既定任务的前提下，模型要尽可能的简洁。因此，我们有如下考虑了模型复杂度的拟合优度指标：[3]

定义 2.5. 调整的 R^2（adjusted R^2）

调整的 R^2 定义如下：

$$\bar{R}^2 \equiv 1 - \frac{\sum_{i=1}^n e_i^2/(n-K)}{\sum_{i=1}^n (y_i - \bar{y})^2/(n-1)}. \tag{2.16}$$

调整的 R^2 通常也记为 $adj\text{-}R^2$。 ♣

$adj\text{-}R^2$ 的调整实际上是对模型自由度的调整，是对增加解释变量施加了惩罚。模型复杂度越高，解释变量个数越多，在样本量固定的情况下，必然引起模型自由度的减少。$adj\text{-}R^2$ 将 RSS 和 TSS 分别除以各自的自由度 $n-K$ 和 $n-1$，可能使得具有更多的解释变量的模型的 $adj\text{-}R^2$ 减小。$adj\text{-}R^2$ 的一个缺点是它的取值可能为负。

虽然上面定义的几种拟合优度指标衡量了解释变量的拟合能力，但是，若回归分析的目的是为了揭示解释变量和被解释变量之间的因果关系，则我们不用过度关注拟合优度。具有很低的 R^2 的线性回归模型中的系数估计量依然可能是解释变量对被解释变量因果效应的合理估计。这一点我们在第 **??** 章中再进一步说明。

小样本性质

接下来，我们分析最小二乘估计量的有限样本性质。有限样本性质是指对任意给定的 n $(\geqslant K)$ 都成立的性质。这些性质的成立是因为我们施加了诸如严格外生和球形扰动等较强的假设。

定理 2.2. 最小二乘估计量的小样本性质

(a) （无偏性）若假设 2.1-2.3 成立，则：$\mathbb{E}(\hat{\boldsymbol{\beta}}_{ols} \mid \mathbf{X}) = \boldsymbol{\beta}$；

(b) 若假设 2.1-2.4 成立，则：$\mathrm{Var}(\hat{\boldsymbol{\beta}}_{ols} \mid \mathbf{X}) = \sigma^2 \cdot (\mathbf{X}'\mathbf{X})^{-1}$；

(c) （Gauss-Markov 定理）若假设 2.1-2.4 成立，则：最小二乘估计量是所有线性无偏估计量中最有效的，即，对任意的关于 $\mathbf{y}$ 线性并且无偏的估计量 $\hat{\boldsymbol{\beta}}$，$\mathrm{Var}(\hat{\boldsymbol{\beta}} \mid \mathbf{X}) - \mathrm{Var}(\hat{\boldsymbol{\beta}}_{ols} \mid \mathbf{X}) \succeq \mathbf{0}$；[a]

(d) 若假设 2.1-2.4 成立，$\mathrm{Cov}(\hat{\boldsymbol{\beta}}_{ols}, \boldsymbol{e} \mid \mathbf{X}) = \mathbf{0}$，其中 $\boldsymbol{e} \equiv \mathbf{y} - \mathbf{X}\hat{\boldsymbol{\beta}}_{ols}$。

[a] 因此，最小二乘估计量被称为最优线性无偏估计量（Best Linear Unbiased Estimator, BLUE）。 ♡

证明 (a) 我们证明 $\mathbb{E}(\hat{\boldsymbol{\beta}}_{ols} - \boldsymbol{\beta} \mid \mathbf{X}) = \mathbf{0}$。注意到：

$$\hat{\boldsymbol{\beta}}_{ols} - \boldsymbol{\beta} = (\mathbf{X}'\mathbf{X})^{-1}\mathbf{X}'\boldsymbol{\varepsilon} \equiv \mathbf{A}\boldsymbol{\varepsilon}. \quad (\mathbf{A} = (\mathbf{X}'\mathbf{X})^{-1}\mathbf{X}') \tag{2.17}$$

因此，

$$\mathbb{E}(\hat{\boldsymbol{\beta}}_{ols} - \boldsymbol{\beta} \mid \mathbf{X}) = \mathbb{E}(\mathbf{A}\boldsymbol{\varepsilon}|\mathbf{X}) = \mathbf{A}\mathbb{E}(\boldsymbol{\varepsilon}|\mathbf{X}) = \mathbf{0}.$$

(b) 对于条件方差，我们有：

$\mathrm{Var}(\hat{\boldsymbol{\beta}}_{ols} \mid \mathbf{X}) = \mathrm{Var}(\hat{\boldsymbol{\beta}}_{ols} - \boldsymbol{\beta} \mid \mathbf{X})$

[3] Greene (2018) 中的定理 3.7 详细讨论了调整的 R^2 的性质。

$$
\begin{aligned}
&= \mathrm{Var}(\mathbf{A}\boldsymbol{\varepsilon}|\mathbf{X}) && (\text{由 (a) 中 } \hat{\boldsymbol{\beta}}_{ols}-\boldsymbol{\beta} \text{ 的表达式}) \\
&= \mathbf{A}\mathbb{E}(\boldsymbol{\varepsilon}\boldsymbol{\varepsilon}'|\mathbf{X})\mathbf{A}' && (\text{由 (B.6) 和式 (2.6)}) \\
&= \sigma^2\mathbf{A}\mathbf{A}' && (\text{由式 (2.6)}) \\
&= \sigma^2\cdot(\mathbf{X}'\mathbf{X})^{-1}. && (\text{将 } \mathbf{A}=(\mathbf{X}'\mathbf{X})^{-1}\mathbf{X}' \text{ 代入})
\end{aligned}
$$

(c) 因为 $\hat{\boldsymbol{\beta}}$ 关于 $\mathbf{y}$ 是线性的，它可以记成 $\hat{\boldsymbol{\beta}}=\mathbf{C}\mathbf{y}$，其中 $\mathbf{C}$ 是某一由 $\mathbf{X}$ 确定的矩阵。令 $\mathbf{D}\equiv\mathbf{C}-\mathbf{A}$，其中 $\mathbf{A}\equiv(\mathbf{X}'\mathbf{X})^{-1}\mathbf{X}'$，则有：

$$
\hat{\boldsymbol{\beta}}=(\mathbf{D}+\mathbf{A})\mathbf{y}=\mathbf{D}\mathbf{X}\boldsymbol{\beta}+\mathbf{D}\boldsymbol{\varepsilon}+\hat{\boldsymbol{\beta}}_{ols}.
$$

上式两端同时取条件期望得到：

$$
\underbrace{\mathbb{E}(\hat{\boldsymbol{\beta}}|\mathbf{X})}_{\boldsymbol{\beta}}=\mathbf{D}\mathbf{X}\boldsymbol{\beta}+\underbrace{\mathbb{E}(\mathbf{D}\boldsymbol{\varepsilon}|\mathbf{X})}_{\mathbf{0}}+\underbrace{\mathbb{E}(\hat{\boldsymbol{\beta}}_{ols}|\mathbf{X})}_{\boldsymbol{\beta}}.
$$

因此，$\mathbf{D}\mathbf{X}\boldsymbol{\beta}=\mathbf{0}$。若对任意的 $\boldsymbol{\beta}$ 此结论都成立，必有 $\mathbf{D}\mathbf{X}=\mathbf{0}$。于是，$\hat{\boldsymbol{\beta}}=\mathbf{D}\boldsymbol{\varepsilon}+\hat{\boldsymbol{\beta}}_{ols}$，并且

$$
\hat{\boldsymbol{\beta}}-\boldsymbol{\beta}=\mathbf{D}\boldsymbol{\varepsilon}+(\hat{\boldsymbol{\beta}}_{ols}-\boldsymbol{\beta})=(\mathbf{D}+\mathbf{A})\boldsymbol{\varepsilon}.
$$

因此，

$$
\begin{aligned}
\mathrm{Var}(\hat{\boldsymbol{\beta}}\mid\mathbf{X}) &= \mathrm{Var}(\hat{\boldsymbol{\beta}}-\boldsymbol{\beta}\mid\mathbf{X}) \\
&= \mathrm{Var}\left[(\mathbf{D}+\mathbf{A})\boldsymbol{\varepsilon}\mid\mathbf{X}\right] \\
&= (\mathbf{D}+\mathbf{A})\mathbb{E}(\boldsymbol{\varepsilon}\boldsymbol{\varepsilon}'|\mathbf{X})(\mathbf{D}'+\mathbf{A}') \\
&= \sigma^2\cdot(\mathbf{D}\mathbf{D}'+\mathbf{A}\mathbf{D}'+\mathbf{D}\mathbf{A}'+\mathbf{A}\mathbf{A}') \\
&= \sigma^2\cdot(\mathbf{D}\mathbf{D}'+\mathbf{A}\mathbf{A}') \\
&\geqslant \sigma^2\cdot(\mathbf{X}'\mathbf{X})^{-1}=\mathrm{Var}(\hat{\boldsymbol{\beta}}_{ols}\mid\mathbf{X}),
\end{aligned}
$$

其中，第四个等号成立是根据球形扰动假设；第五个等号用到了 $\mathbf{D}\mathbf{A}'=\mathbf{D}\mathbf{X}(\mathbf{X}'\mathbf{X})^{-1}=\mathbf{0}$，同理，$\mathbf{A}\mathbf{D}'=\mathbf{0}$；不等号成立是由于 $\mathbf{D}\mathbf{D}'$ 半正定。

(d) 首先，注意到残差向量 $\boldsymbol{e}$ 可表示为

$$
\boldsymbol{e}=\mathbf{M}_{\mathbf{X}}\cdot\mathbf{y}=\mathbf{M}_{\mathbf{X}}\cdot(\mathbf{X}\boldsymbol{\beta}+\boldsymbol{\varepsilon})=\mathbf{M}_{\mathbf{X}}\mathbf{X}\boldsymbol{\beta}+\mathbf{M}_{\mathbf{X}}\boldsymbol{\varepsilon}=\mathbf{M}_{\mathbf{X}}\boldsymbol{\varepsilon}. \tag{2.18}
$$

同时，我们有：$\mathbb{E}(\boldsymbol{e}\mid\mathbf{X})=\mathbb{E}(\mathbf{M}_{\mathbf{X}}\boldsymbol{\varepsilon}\mid\mathbf{X})=\mathbf{M}_{\mathbf{X}}\mathbb{E}(\boldsymbol{\varepsilon}\mid\mathbf{X})=\mathbf{0}$。

$$
\begin{aligned}
\mathrm{Cov}(\hat{\boldsymbol{\beta}}_{ols},\boldsymbol{e}\mid\mathbf{X}) &\equiv \mathbb{E}\left\{\left[\hat{\boldsymbol{\beta}}_{ols}-\mathbb{E}(\hat{\boldsymbol{\beta}}_{ols}\mid\mathbf{X})\right]\cdot[\boldsymbol{e}-\mathbb{E}(\boldsymbol{e}\mid\mathbf{X})]'\mid\mathbf{X}\right\} \\
&= \mathbb{E}\left\{\left[\hat{\boldsymbol{\beta}}_{ols}-\boldsymbol{\beta}\right]\cdot[\mathbf{M}_{\mathbf{X}}\boldsymbol{\varepsilon}]'\mid\mathbf{X}\right\} \\
&= \mathbb{E}\left\{\mathbf{A}\boldsymbol{\varepsilon}\boldsymbol{\varepsilon}'\mathbf{M}_{\mathbf{X}}\mid\mathbf{X}\right\} \\
&= \mathbf{A}\mathbb{E}(\boldsymbol{\varepsilon}\boldsymbol{\varepsilon}'\mid\mathbf{X})\mathbf{M}_{\mathbf{X}} \\
&= \sigma^2\mathbf{A}\mathbf{M}_{\mathbf{X}} \\
&= \mathbf{0},
\end{aligned}
$$

其中，最后一个等号用到 $\mathbf{A}\mathbf{M}_{\mathbf{X}}=(\mathbf{X}'\mathbf{X})^{-1}\mathbf{X}'\mathbf{M}_{\mathbf{X}}=\mathbf{0}$。 □

Gauss-Markov 定理的结论是 $\mathrm{Var}(\hat{\boldsymbol{\beta}}\mid\mathbf{X})-\mathrm{Var}(\hat{\boldsymbol{\beta}}_{ols}\mid\mathbf{X})\succeq\mathbf{0}$，即，$\mathrm{Var}(\hat{\boldsymbol{\beta}}\mid\mathbf{X})-$

$\mathrm{Var}(\hat{\boldsymbol{\beta}}_{ols} \mid \mathbf{X})$ 是半正定矩阵。为了理解此结论，我们令 $\boldsymbol{a}_k$ 表示 $K \times 1$ 维的列向量，它的第 k 行元素为 1，其余行的元素为 0。由 Gauss-Markov 定理的结论，我们有：

$$\begin{aligned} & \boldsymbol{a}_k' \left\{ \mathrm{Var}(\hat{\boldsymbol{\beta}} \mid \mathbf{X}) - \mathrm{Var}(\hat{\boldsymbol{\beta}}_{ols} \mid \mathbf{X}) \right\} \boldsymbol{a}_k \\ = \; & \boldsymbol{a}_k' \mathrm{Var}(\hat{\boldsymbol{\beta}} \mid \mathbf{X}) \boldsymbol{a}_k - \boldsymbol{a}_k' \mathrm{Var}(\hat{\boldsymbol{\beta}}_{ols} \mid \mathbf{X}) \boldsymbol{a}_k \\ \geqslant \; & 0. \end{aligned}$$

因为，一个矩阵左乘 $\boldsymbol{a}_k'$ 的同时再右乘 $\boldsymbol{a}_k$ 的作用是取出其主对角线上的第 k 个元素，所以，$\hat{\boldsymbol{\beta}}_k$ 的方差不小于 $\hat{\boldsymbol{\beta}}_{k,ols}$ 的方差。

单个回归系数估计量的方差

定理 2.2 中结论 (b) 给出了最小二乘估计量的条件方差，单个系数估计量的条件方差是矩阵 $\sigma^2 \cdot (\mathbf{X}'\mathbf{X})^{-1}$ 主对角线上的元素。然而，推导单个系数估计量的条件方差的解析式对于深入理解最小二乘估计量的条件方差具有重要的作用。

我们考虑如下回归中系数 β_1 的最小二乘估计量的条件方差：

$$y_i = \beta_0 + \beta_1 x_{i1} + \cdots + \beta_K x_{iK} + \varepsilon_i.$$

事实上，由 Frisch-Waugh 定理，式 (2.13) 可以推广为上式中 β_1 的最小二乘估计量表达式：

$$\hat{\beta}_{1,ols} = \frac{\sum_{i=1}^n \hat{r}_{i1} y_i}{\sum_{i=1}^n \hat{r}_{i1}^2}, \tag{2.19}$$

其中，$\hat{r}_{i1}$ 是 x_{i1} 对 $x_{i2}, \ldots, x_{iK}$ 和常数项做回归得到的残差。基于上式，我们有如下定理：

定理 2.3. 单个系数估计量的方差

若假设 2.1-2.4 成立，我们有：

$$\mathrm{Var}(\hat{\beta}_{j,ols} \mid \mathbf{X}) = \frac{\sigma^2}{TSS_j(1 - R_j^2)}, \quad j = 1, \ldots, K, \tag{2.20}$$

其中，$TSS_j = \sum_{i=1}^n (x_{ij} - \bar{x}_j)^2$，$\bar{x}_j = \sum_{i=1}^n x_{ij}/n$，$R_j^2$ 是 x_{ij} 对所有其他解释变量和常数项做回归得到的（中心化）R^2。

证明 不失一般性，我们对 $j = 1$ 的情况进行证明。由式 (2.19)，我们有：

$$\begin{aligned} \hat{\beta}_{1,ols} &= \frac{\sum_{i=1}^n \hat{r}_{i1} y_i}{\sum_{i=1}^n \hat{r}_{i1}^2} \\ &= \frac{\sum_{i=1}^n \hat{r}_{i1} (\beta_0 + \beta_1 x_{i1} + \cdots + \beta_K x_{iK} + \varepsilon_i)}{\sum_{i=1}^n \hat{r}_{i1}^2} \\ &= \beta_1 \frac{\sum_{i=1}^n \hat{r}_{i1} x_{i1}}{\sum_{i=1}^n \hat{r}_{i1}^2} + \frac{\sum_{i=1}^n \hat{r}_{i1} \varepsilon_i}{\sum_{i=1}^n \hat{r}_{i1}^2} \\ &= \beta_1 + \frac{\sum_{i=1}^n \hat{r}_{i1} \varepsilon_i}{\sum_{i=1}^n \hat{r}_{i1}^2}, \end{aligned}$$

其中，第三个等号成立用到了残差与回归解释变量正交；第四个等号成立是因为

$$\sum_{i=1}^n \hat{r}_{i1} x_{i1} = \sum_{i=1}^n \hat{r}_{i1} (\hat{x}_{i1} + \hat{r}_{i1}) = \sum_{i=1}^n \hat{r}_{i1}^2,$$

其中，$\hat{x}_{i1}$ 是 x_{i1} 对所有其他解释变量和常数项做回归得到的拟合值，此拟合值与残差 $\hat{r}_{i1}$

正交。

因此，我们有：

$$
\begin{aligned}
\mathrm{Var}(\hat{\beta}_{1,ols} \mid \mathbf{X}) &= \mathrm{Var}(\hat{\beta}_{1,ols} - \beta_1 \mid \mathbf{X}) \\
&= \mathrm{Var}\left(\frac{\sum_{i=1}^n \hat{r}_{i1}\varepsilon_i}{\sum_{i=1}^n \hat{r}_{i1}^2} \,\middle|\, \mathbf{X} \right) \\
&= \frac{1}{(\sum_{i=1}^n \hat{r}_{i1}^2)^2} \sum_{i=1}^n \hat{r}_{i1}^2 \mathrm{Var}(\varepsilon_i \mid \mathbf{X}) && \text{（以 } \mathbf{X} \text{ 为条件 } \hat{r}_{i1} \text{ 可认为非随机）} \\
&= \frac{\sigma^2}{\sum_{i=1}^n \hat{r}_{i1}^2}. && \text{（由同方差假设）}
\end{aligned}
$$

同时，注意到 $\sum_{i=1}^n \hat{r}_{i1}^2$ 为 x_{i1} 对所有其他解释变量和常数项做回归得到的残差平方和，由式 (2.14)，$\sum_{i=1}^n \hat{r}_{i1}^2 = (1 - R_1^2)TSS_1$。 □

2.3 古典模型的假设检验

本节讨论小样本情形下的多元线性回归模型的假设检验问题。假设检验在计量实证分析中具有广泛的应用。例如，资本资产定价模型（Capital Asset Pricing Model, CAPM）是金融经济学中的重要模型，该模型指出：

$$\mathbb{E}\left[r_{jt} - r_f\right] = \beta_j \mathbb{E}\left[r_{mt} - r_f\right], \tag{2.21}$$

其中，r_{jt} 是 t 时刻风险资产 j 的收益率，r_{mt} 是 t 时刻市场组合的收益率，r_f 表示无风险资产的收益率。系统性风险（systematic risk）测度 β_j 满足：

$$\beta_j = \frac{\mathrm{Cov}(r_{jt}, r_{mt})}{\mathrm{Var}(r_{mt})}.$$

注意到 β_j 具有线性投影系数 (1.6) 的形式，因此可以用最小二乘法进行估计。为此，定义

$$u_{jt} = r_{jt} - \mathbb{E}(r_{jt}), \quad u_{mt} = r_{mt} - \mathbb{E}(r_{mt}).$$

于是，式 (2.21) 可以表示为：

$$r_{jt} - r_f = \beta_j(r_{mt} - r_f) + \varepsilon_{jt}, \quad \varepsilon_{jt} = u_{jt} - \beta_j u_{mt}.$$

我们考虑如下回归：

$$r_{jt} - r_f = \alpha_j + \beta_j(r_{mt} - r_f) + \varepsilon_{jt}, \quad \varepsilon_{jt} = u_{jt} - \beta_j u_{mt}.$$

若 CAPM 对资产 j 有效，则有 $\alpha_j = 0$，此条件是否成立可以通过假设[4]检验来分析。我们将想要检验的假设称为原假设（null hypothesis），通常记为 $\mathbb{H}_0$。在上述例子中，原假设为：

$$\mathbb{H}_0: \ \alpha_j = 0.$$

等式约束的 $\mathbb{H}_0$ 的否命题称为双边备择假设（alternative hypothesis），备择假设通常记为 $\mathbb{H}_1$。

[4] 一般地，“假设”是对模型参数或其函数的具体取值所作的陈述。

在 2.1 节的开始我们提到“模型”是对解释变量和被解释变量的联合分布施加的一组假设，这组假设通常被称为保留假设（maintained hypothesis）。假设检验需要在保留假设和原假设同时成立的情况下构造检验统计量并推导出它的理论分布。在多元线性回归的小样本假设检验中，保留假设是由 CLRM 的四条假设和 ε 的条件正态假设组成的。如果保留假设成立，我们称模型是正确设定的。即使原假设为真，也可能出现由于模型误设导致检验统计量不服从理论分布的情况。

为了推导小样本下的假设检验理论，我们施加如下正态假设：

假设 2.5：（误差项正态假设）

$$\varepsilon \mid \mathbf{X} \sim \mathcal{N}(\mathbf{0}, \sigma^2 \mathbf{I}_n),$$

即，以 $\mathbf{X}$ 为条件，ε 服从联合正态分布。

正态分布的密度函数只和分布的期望和方差有关，一般地，以 $\mathbf{X}$ 为条件的条件正态分布的期望和方差都是 $\mathbf{X}$ 的函数。但是，假设 2.5 要求 ε 的条件正态分布的期望和方差都与 $\mathbf{X}$ 无关，因此，ε 的无条件分布也是 $\mathcal{N}(\mathbf{0}, \sigma^2 \mathbf{I}_n)$，并且 ε 与 $\mathbf{X}$ 相互独立。正态分布有一些良好的性质对于条件正态分布依然成立：

- 若两个随机变量以 $\mathbf{X}$ 为条件服从联合正态且不相关，则两个随机变量以 $\mathbf{X}$ 为条件相互独立；
- 若 ε 以 $\mathbf{X}$ 为条件服从正态分布，则 $\mathbf{A}\varepsilon$ 以 $\mathbf{X}$ 为条件也服从正态分布，其中 $\mathbf{A}$ 是 $\mathbf{X}$ 的函数。

于是，由式 (2.17)，在假设 2.1-2.5 成立的情况下，我们有：

$$(\hat{\boldsymbol{\beta}}_{ols} - \boldsymbol{\beta}) \mid \mathbf{X} \sim \mathcal{N}(\mathbf{0}, \sigma^2 \cdot (\mathbf{X}'\mathbf{X})^{-1}). \tag{2.22}$$

又因为，$\mathbf{y} = \mathbf{X}\boldsymbol{\beta} + \varepsilon$，我们可以得到 $\mathbf{y}$ 的条件分布为：

$$\mathbf{y} \mid \mathbf{X} \sim \mathcal{N}(\mathbf{X}\boldsymbol{\beta}, \sigma^2 \mathbf{I}_n).$$

因此，若 y_i 是离散变量，假设 2.5 不再成立。

单个回归系数的假设检验

我们首先考虑单个回归系数的假设检验问题。需要说明的是本节讨论的假设检验问题都是线性假设检验问题，即，原假设是关于回归系数的线性函数的一个约束条件。

例如，我们关心第 k 个解释变量的系数 β_k 是否等于某一常数 β_k^0，则原假设为：$\mathbb{H}_0: \beta_k = \beta_k^0$，备择假设为 $\mathbb{H}_1: \beta_k \neq \beta_k^0$。由式 (2.22)，在假设 2.1-2.5 和原假设成立的情况下，

$$(\hat{\beta}_{k,ols} - \beta_k^0) \mid \mathbf{X} \sim \mathcal{N}\left(0, \sigma^2 \cdot \left((\mathbf{X}'\mathbf{X})^{-1}\right)_{kk}\right),$$

其中，$\left((\mathbf{X}'\mathbf{X})^{-1}\right)_{kk}$ 是矩阵 $(\mathbf{X}'\mathbf{X})^{-1}$ 主对角线上的第 k 个元素。所以，若定义

$$z_k \equiv \frac{\hat{\beta}_{k,ols} - \beta_k^0}{\sqrt{\sigma^2 \cdot \left((\mathbf{X}'\mathbf{X})^{-1}\right)_{kk}}},$$

则 z_k 服从标准正态分布。然而，虽然 z_k 的分布已知，但是，将 z_k 作为检验统计量依然

是不可行的，因为 σ^2 是未知的。为了构造可行的检验统计量，我们先讨论 σ^2 如何估计。

定理 2.4. σ^2 的估计

σ^2 的估计量，记为 s^2，具有如下形式：

$$s^2 \equiv \frac{\boldsymbol{e}'\boldsymbol{e}}{n-K}.$$

只要 $n > K$，在假设 2.1-2.4 成立的情况下，我们有：$\mathbb{E}(s^2|\mathbf{X}) = \sigma^2$，因此，$s^2$ 是 σ^2 的无偏估计。 ♡

证明 因为 $s^2 = \boldsymbol{e}'\boldsymbol{e}/(n-K)$，我们证明：

$$\mathbb{E}(\boldsymbol{e}'\boldsymbol{e}|\mathbf{X}) = (n-K)\sigma^2.$$

根据式 (2.18)，上式的证明可以进一步拆分成如下两个性质的证明：

(1) $\mathbb{E}(\boldsymbol{e}'\boldsymbol{e}|\mathbf{X}) = \mathbb{E}(\boldsymbol{\varepsilon}'\mathbf{M}_\mathbf{X}\boldsymbol{\varepsilon}|\mathbf{X}) = \sigma^2 \cdot \mathrm{tr}(\mathbf{M}_\mathbf{X})$；

(2) $\mathrm{tr}(\mathbf{M}_\mathbf{X}) = n-K$。

首先证明 (1)，因为 $\boldsymbol{\varepsilon}'\mathbf{M}_\mathbf{X}\boldsymbol{\varepsilon} = \sum_{i=1}^n \sum_{j=1}^n m_{ij}\varepsilon_i\varepsilon_j$，其中，$m_{ij}$ 是 $\mathbf{M}_\mathbf{X}$ 的第 (i,j) 位置上的元素，于是，我们有：

$$\mathbb{E}(\boldsymbol{\varepsilon}'\mathbf{M}_\mathbf{X}\boldsymbol{\varepsilon}|\mathbf{X}) = \sum_{i=1}^n\sum_{j=1}^n m_{ij}\mathbb{E}(\varepsilon_i\varepsilon_j|\mathbf{X}) = \sigma^2\sum_{i=1}^n m_{ii} = \sigma^2 \cdot \mathrm{tr}(\mathbf{M}_\mathbf{X}),$$

其中，第一个等号成立是因为 m_{ij} 是由 $\mathbf{X}$ 决定的，根据定理 1.3，m_{ij} 可以提到期望符号的外面；第二个等号成立是根据假设 2.4 中的式 (2.5)；第三个等号成立是根据矩阵迹 (trace) 的定义。

接下来证明 (2)，由式 (A.4)，我们有：

$$\mathrm{tr}(\mathbf{M}_\mathbf{X}) = \mathrm{tr}(\mathbf{I}_n - \mathbf{P}_\mathbf{X}) = n - \mathrm{tr}(\mathbf{P}_\mathbf{X}),$$

同时，由式 (A.3)，

$$\mathrm{tr}(\mathbf{P}_\mathbf{X}) = \mathrm{tr}[\mathbf{X}(\mathbf{X}'\mathbf{X})^{-1}\mathbf{X}'] = \mathrm{tr}[(\mathbf{X}'\mathbf{X})^{-1}\mathbf{X}'\mathbf{X}] = \mathrm{tr}(\mathbf{I}_K) = K.$$

因此，$\mathrm{tr}(\mathbf{M}_\mathbf{X}) = n-K$。 □

有了 σ^2 的估计，我们可以将 z_k 表达式中的 σ^2 替换为 s^2，将替换后的检验统计量称为 t 统计量，我们有如下定理：

定理 2.5. t 统计量的分布

考虑原假设 $\mathbb{H}_0$：$\beta_k = \beta_k^0$，此假设检验问题的 t 统计量被定义为：

$$t_k \equiv \frac{\hat{\beta}_{k,ols} - \beta_k^0}{\sqrt{s^2 \cdot \left((\mathbf{X}'\mathbf{X})^{-1}\right)_{kk}}}, \tag{2.23}$$

其中，$\sqrt{s^2 \cdot \left((\mathbf{X}'\mathbf{X})^{-1}\right)_{kk}}$ 称为标准误 (standard error)，通常记为 $SE(\hat{\beta}_{k,ols})$。令假设 2.1-2.5 成立，在原假设 $\mathbb{H}_0$ 下，t 统计量服从自由度为 $n-K$ 的 t 分布，记为 t_{n-K}。[a]

[a] 如果 $x \sim \mathcal{N}(0,1)$，$y \sim \chi^2(m)$ 并且 x 和 y 相互独立，则比值 $x/\sqrt{y/m}$ 服从自由度为 m 的 t 分布。 ♡

证明 t_k 可以表示为：

$$t_k = \frac{\hat{\beta}_{k,ols} - \beta_k^0}{\sqrt{\sigma^2 \cdot ((\mathbf{X}'\mathbf{X})^{-1})_{kk}}} \cdot \sqrt{\frac{\sigma^2}{s^2}} \equiv \frac{z_k}{\sqrt{s^2/\sigma^2}} = \frac{z_k}{\sqrt{\frac{\boldsymbol{e}'\boldsymbol{e}/(n-K)}{\sigma^2}}} \equiv \frac{z_k}{\sqrt{\frac{q}{n-K}}},$$

其中，$q = \boldsymbol{e}'\boldsymbol{e}/\sigma^2$。因为，$z_k$ 服从标准正态分布，我们只需证明：

(1) $q \mid \mathbf{X} \sim \chi^2(n-K)$；

(2) 以 $\mathbf{X}$ 为条件，z_k 和 q 相互独立。

首先，注意到：

$$q = \frac{\boldsymbol{e}'\boldsymbol{e}}{\sigma^2} = \frac{\boldsymbol{\varepsilon}'}{\sigma}\mathbf{M}_{\mathbf{X}}\frac{\boldsymbol{\varepsilon}}{\sigma}.$$

因为，$\mathbf{M}_{\mathbf{X}}$ 是对称幂等阵且 $\boldsymbol{\varepsilon}/\sigma \mid \mathbf{X} \sim \mathcal{N}(\mathbf{0}, \mathbf{I}_n)$，根据定理 B.12，我们有：$q \mid \mathbf{X} \sim \chi^2(\mathrm{rank}(\mathbf{M}_{\mathbf{X}}))$。又因为 $\mathbf{M}_{\mathbf{X}}$ 的秩（rank）等于它的迹（见 A.17 节的结论 12），所以，由定理 2.4 的证明，我们有：$\mathrm{rank}(\mathbf{M}) = n - K$。

接下来，我们证明 (2)。由式 (2.17) 和 (2.18)，$\hat{\boldsymbol{\beta}}_{ols}$ 和 $\boldsymbol{e}$ 都是 $\boldsymbol{\varepsilon}$ 的线性函数，因此，以 $\mathbf{X}$ 为条件，$\hat{\boldsymbol{\beta}}_{ols}$ 和 $\boldsymbol{e}$ 服从联合正态分布。再由定理 2.2 中 (d) 的结论，$\hat{\boldsymbol{\beta}}_{ols}$ 和 $\boldsymbol{e}$ 以 $\mathbf{X}$ 为条件彼此不相关，因此满足条件独立。注意到 z_k 是 $\hat{\boldsymbol{\beta}}_{ols}$ 的函数，q 是 $\boldsymbol{e}$ 的函数，所以，z_k 和 q 也满足条件独立性。

由 (1) 和 (2)，我们知道，以 $\mathbf{X}$ 为条件，t_k 服从自由度为 $n-K$ 的 t 分布，由于此分布与 $\mathbf{X}$ 无关，所以 t_k 的无条件分布也是 t_{n-K}。 □

基于 t 统计量的假设检验称为 t 检验，其具体步骤如下：

1. 根据原假设 $\mathbb{H}_0$ 中参数的具体取值 β_k^0 计算由式 (2.23) 定义的 t 统计量；
2. 通过统计软件计算自由度为 $n-K$ 的 t 分布的临界值 $t_{\alpha/2}(n-K)$（也可以通过查表的方式找到临界值），如图 2.4 所示，$t_{\alpha/2}(n-K)$ 满足 t 分布在此临界值右侧的阴影面积为 $\alpha/2$。在 R 语言中，我们可以通过命令 qt(1-α/2, $n-K$) 求得 $t_{\alpha/2}(n-K)$，例如，$\alpha = 5\%$，$n-K = 100$，我们可以用命令 qt(0.975, 100) 得到临界值为 1.984；
3. 如果第一步计算的 t_k 满足 $|t_k| < t_{\alpha/2}(n-K)$，则接受 $\mathbb{H}_0$；否则，拒绝 $\mathbb{H}_0$。

因为，在 $\mathbb{H}_0$ 成立的情况下，基于上述步骤的假设检验拒绝 $\mathbb{H}_0$ 的概率为 α，所以，α 是检验的显著性水平，英文文献中常称其为检验的 size，也就是犯第一类错误的概率。

我们还可以定义上述假设检验问题的置信水平为 $1-\alpha$ 的置信区间。根据定理 2.5，t 检验的不拒绝区域为：

$$\mathcal{D} = \left\{ (\mathbf{X}, \mathbf{y}) \ : \ \left| \frac{\hat{\beta}_{k,ols} - \beta_k^0}{SE(\hat{\beta}_{k,ols})} \right| < t_{\alpha/2}(n-K) \right\}.$$

通过求解上式中的不等式并将 β_k^0 用 β_k^* 代替，我们可知参数 β_k^* 的取值满足：

$$\hat{\beta}_{k,ols} - SE(\hat{\beta}_{k,ols}) \cdot t_{\alpha/2}(n-K) < \beta_k^* < \hat{\beta}_{k,ols} + SE(\hat{\beta}_{k,ols}) \cdot t_{\alpha/2}(n-K).$$

因此，我们接受 $\mathbb{H}_0$ 当且仅当原假设中的参数取值 β_k^0 落入区间：

$$[\hat{\beta}_{k,ols} - SE(\hat{\beta}_{k,ols}) \cdot t_{\alpha/2}(n-K), \quad \hat{\beta}_{k,ols} + SE(\hat{\beta}_{k,ols}) \cdot t_{\alpha/2}(n-K)],$$

这一区间被称为置信水平为 $1-\alpha$ 的置信区间，它覆盖真实参数的概率为 $1-\alpha$。

t 检验也可以通过计算 p 值判断是否接受 $\mathbb{H}_0$，具体步骤如下：

1. 根据原假设 $\mathbb{H}_0$ 中参数的具体取值 β_k^0 计算由式 (2.23) 定义的 t 统计量 t_k；

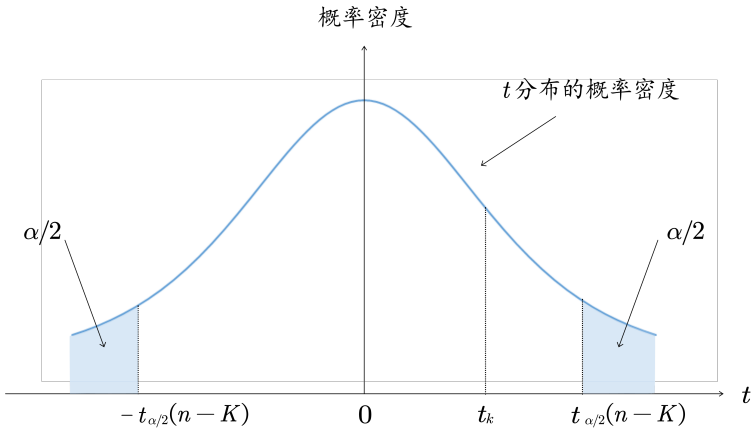

图 2.4: t 分布

2. 根据如下公式计算 p 值：

$$p = \mathbb{P}(t > |t_k|) \times 2, \tag{2.24}$$

其中，$\mathbb{P}(t > |t_k|)$ 是服从 t_{n-K} 分布的随机变量 t 取值大于 $|t_k|$ 的概率；

3. 如果 $p > \alpha$，则接受 $\mathbb{H}_0$；否则，拒绝 $\mathbb{H}_0$。

例 2.1 我们利用 French 个人主页[5]提供的 Fama-French 三因子的数据以及按照规模（market equity, ME）和账面市值比（BE/ME）的五分位点划分的 25 个资产组合中的小市值-低账面市值比组合的数据说明如何在 Stata 中实现单个回归系数的假设检验。样本时间范围是 1960-01-04 至 2020-03-31，样本量为 15164。读者可在本书网站下载数据预处理程序。本例中用到的主要 Stata 代码如下：

```
. use Fama-French_Data.dta, replace
. gen smalllobm_rf = smalllobm - rf
  //计算小市值-低账面市值比组合的超额收益率，rf为无风险收益率
. reg smalllobm_rf mktrf smb hml //smalllobm_rf对三因子回归
. gen t = _b[hml]/_se[hml] //计算HML因子系数显著性检验的t统计量
. gen p = 2*ttail(e(df_r),abs(t))
  //计算p值，e(df_r)是自由度，ttail命令用来计算t分布尾部的概率
. display p
.01291774
. test hml = 0 //检验HML的系数是否为0
 ( 1)  hml = 0
       F(  1, 15160) =   6.18
            Prob > F =   0.0129
. test hml = 1 //检验HML的系数是否为1
 ( 1)  hml = 1
```

[5] 网址为 http://mba.tuck.dartmouth.edu/pages/faculty/ken.french/index.html。

```
14        F(  1, 15160) =14371.40
15             Prob > F =   0.0000
```

在上面程序的第 3 行，我们使用 reg 命令将小市值-低账面市值比组合的超额收益率对三因子进行回归，Stata 输出结果如下：

表 2.1: 例 2.1 回归结果

变量名	系数估计量	标准误	t 统计量	p 值
mktrf	1.086	0.004	250.824	0.000
smb	1.141	0.008	138.810	0.000
hml	-0.021	0.009	-2.486	0.013
_cons	-0.025	0.004	-6.036	0.000

其中，“t 统计量”一列对应的是系数显著性检验[6]的 t 值，“p 值”一列为各个 t 统计量对应的 p 值。程序的第 4 行利用式 (2.23) 计算 HML 因子系数显著性检验的 t 值；程序的第 5 行利用式 (2.24) 计算 HML 因子系数显著性检验的 p 值，其输出结果为 0.01291774，经四舍五入为 0.013，与表2.1中结果一致。

在 Stata 中，我们还可以利用 test 命令做线性假设检验。例如，程序的第 8 行检验 HML 因子的系数是否为 0，输出的 p 值与 reg 输出结果一致。但是，注意 test 命令输出的检验统计量是 F 统计量，它等于 t 统计量的平方（$-2.486^2 \approx 6.18$）。除了做显著性检验之外，我们还可以利用 test 命令检验单个回归系数是否等于某一常数，如程序的第 12 行，我们检验 HML 因子的系数是否等于 1。

一般线性假设检验

除了单个回归系数的假设检验问题，我们也可以考虑含有多个回归系数的线性假设检验问题。例如，考虑 Fama-French 三因子模型（见 Fama et al. (1992)）：

$$r_{p,t} = \alpha_p + \beta_{MKT,\,p} MKT_t + \beta_{SMB,\,p} SMB_t + \beta_{HML,\,p} HML_t + \varepsilon_{p,t},$$

其中，$r_{p,t}$ 是资产组合 p 在 t 时段的超额收益率；MKT_t、SMB_t 和 HML_t 分别表示市场因子、规模因子和价值因子[7]。三因子对资产组合 p 的超额收益率是否有解释能力可以通过如下假设检验进行分析：

$$\mathbb{H}_0 \ : \ \beta_{MKT,\,p} = \beta_{SMB,\,p} = \beta_{HML,\,p} = 0.$$

备择假设为：

$$\mathbb{H}_1 \ : \ \beta_{MKT,\,p},\ \beta_{SMB,\,p} \text{ 和 } \beta_{HML,\,p} \text{ 至少有一个不为 } 0。$$

[6] 系数显著性检验的原假设是解释变量的系数取值为 0。

[7] 关于三因子的具体含义和构造方式读者可参考 Bali et al. (2016)。

由于原假设是除常数项以外的所有解释变量的系数为 0，因此，此类假设检验问题被称为联合显著性检验。我们可以把上述假设检验表示为一般形式，为此，定义如下矩阵：

$$\mathbf{R} = \begin{pmatrix} 0 & 1 & 0 & 0 \\ 0 & 0 & 1 & 0 \\ 0 & 0 & 0 & 1 \end{pmatrix}$$

以及向量 $\mathbf{r} = (0, 0, 0)'$，则有：

$$\mathbb{H}_0 \ : \ \mathbf{R}\boldsymbol{\beta} = \mathbf{r},$$

其中，$\boldsymbol{\beta} = (\alpha_p, \beta_{MKT,\,p}, \beta_{SMB,\,p}, \beta_{HML,\,p})'$。

事实上，所有关于多元线性回归系数的线性假设检验的原假设都可以表示为上述一般形式。例如，如果将 $\mathbf{R}$ 取为第 k 个位置上元素为 1 其余位置上元素为 0 的 K 维行向量以及取 $\mathbf{r} = \beta_k^0$，则单个回归系数的假设检验的原假设可以表示为上述一般形式。

对于一般形式的线性假设检验，我们有如下结论：

定理 2.6. 线性假设检验的 F 统计量

考虑原假设 $\mathbb{H}_0 : \mathbf{R}\boldsymbol{\beta} = \mathbf{r}$，其中，$\mathbf{r}$ 是 $J \times 1$ 维列向量；$\mathbf{R}$ 是 $J \times K$ 维矩阵且满足 $\mathrm{rank}(\mathbf{R}) = J$，此假设检验问题的 F 统计量被定义为：

$$\begin{aligned} F &\equiv \frac{(\mathbf{R}\hat{\boldsymbol{\beta}}_{ols} - \mathbf{r})' \left[\mathbf{R}(\mathbf{X}'\mathbf{X})^{-1}\mathbf{R}'\right]^{-1} (\mathbf{R}\hat{\boldsymbol{\beta}}_{ols} - \mathbf{r})/J}{s^2} \\ &= (\mathbf{R}\hat{\boldsymbol{\beta}}_{ols} - \mathbf{r})' \left[\mathbf{R}\widehat{\mathrm{Var}(\hat{\boldsymbol{\beta}}_{ols}|\mathbf{X})}\mathbf{R}'\right]^{-1} (\mathbf{R}\hat{\boldsymbol{\beta}}_{ols} - \mathbf{r})/J. \end{aligned} \tag{2.25}$$

令假设 2.1-2.5 成立，在原假设 $\mathbb{H}_0$ 下，F 统计量服从自由度为 J 和 $n-K$ 的 F 分布，记为 $F(J, n-K)$。[a]

[a] 若 $x_1 \sim \chi^2(n_1)$，$x_2 \sim \chi^2(n_2)$ 并且 x_1 和 x_2 相互独立，则比值 $(x_1/n_1)/(x_2/n_2)$ 服从自由度为 n_1 和 n_2 的 F 分布。

♡

证明 因为，$s^2 = \boldsymbol{e}'\boldsymbol{e}/(n-K)$，则有：

$$F = \frac{w/J}{q/(n-K)},$$

其中，

$$w \equiv (\mathbf{R}\hat{\boldsymbol{\beta}}_{ols} - \mathbf{r})' \left[\sigma^2 \cdot \mathbf{R}(\mathbf{X}'\mathbf{X})^{-1}\mathbf{R}'\right]^{-1} (\mathbf{R}\hat{\boldsymbol{\beta}}_{ols} - \mathbf{r}), \quad q \equiv \frac{\boldsymbol{e}'\boldsymbol{e}}{\sigma^2}.$$

我们只需证明：

(1) $w \mid \mathbf{X} \sim \chi^2(J)$；

(2) $q \mid \mathbf{X} \sim \chi^2(n-K)$；

(3) 以 $\mathbf{X}$ 为条件，w 和 q 相互独立。

首先证明 (1)，令 $\mathbf{v} \equiv \mathbf{R}\hat{\boldsymbol{\beta}}_{ols} - \mathbf{r}$，若 $\mathbb{H}_0$ 成立，则有 $\mathbf{v} = \mathbf{R}(\hat{\boldsymbol{\beta}}_{ols} - \boldsymbol{\beta})$。由式 (2.22)，

$$\mathbf{v} \mid \mathbf{X} \sim \mathcal{N}(\mathbf{0}, \sigma^2 \cdot \mathbf{R}(\mathbf{X}'\mathbf{X})^{-1}\mathbf{R}').$$

因此，由定理 B.13，我们有 $w \mid \mathbf{X} \sim \chi^2(J)$。

结论 (2) 在定理 2.5 已经证明，我们接下来证明 (3)：注意到 w 是 $\hat{\boldsymbol{\beta}}_{ols}$ 的函数，q 是 $\boldsymbol{e}$ 的函数，与定理 2.5 的证明类似，容易验证 w 和 q 条件独立。

由 (1)-(3)，我们知道，以 $\mathbf{X}$ 为条件，F 统计量服从 $F(J, n-K)$ 分布，由于此分布与 $\mathbf{X}$ 无关，所以 F 统计量的无条件分布也是 $F(J, n-K)$。 □

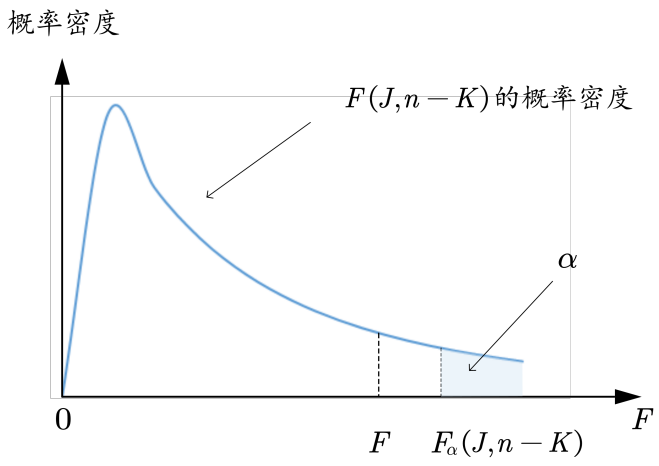

图 2.5: F 分布

从式 (2.25) 可以看出，F 统计量实际上计算了 $\mathbf{R}\hat{\boldsymbol{\beta}}_{ols}$ 和原假设下的真实值 $\mathbf{R}\boldsymbol{\beta}$ 对应元素之间距离的加权平方和，即，$\mathbf{R}\hat{\boldsymbol{\beta}}_{ols}$ 与 $\mathbf{R}\boldsymbol{\beta}$ 的马氏距离（Mahalanobis distance）的平方，若基于样本观测值计算出的此距离过大，则表明原假设可能不成立。因为距离是非负的，所以，在基于 F 统计量做假设检验时，临界值的选取只依赖于 F 分布的右尾部，如图 2.5。基于 F 统计量的假设检验称为 F 检验，其具体步骤如下：

1. 根据式 (2.25) 计算 F 统计量；
2. 通过统计软件计算 $F(J, n-K)$ 的临界值 $F_\alpha(J, n-K)$（也可以通过查表的方式找到临界值），如图 2.5 所示，$F_\alpha(J, n-K)$ 满足 F 分布在此临界值右侧的阴影面积为 α。在 R 语言中，我们可以通过命令 qf(1-α, J, $n-K$) 求得 $F_\alpha(J, n-K)$，例如，$\alpha = 5\%$，$J = 3$，$n-K = 30$，我们可以用命令 qf(0.95, 3, 30) 得到临界值为 2.922；
3. 如果第一步计算的 F 统计量满足 $F < F_\alpha(J, n-K)$，则接受 $\mathbb{H}_0$；否则，拒绝 $\mathbb{H}_0$。

我们也可以根据 p 值判断接受还是拒绝 $\mathbb{H}_0$，具体步骤如下：

1. 根据式 (2.25) 计算 F 统计量；
2. 计算分布 $F(J, n-K)$ 在 F 统计量右侧区域的面积 p；
3. 如果 $p > \alpha$，则接受 $\mathbb{H}_0$；否则，拒绝 $\mathbb{H}_0$。

基于残差平方和的 F 统计量表达式

F 统计量的表达式 (2.25) 还有另外一种等价的表达形式，涉及到有约束和无约束回归的残差平方和。

定理 2.7. F 统计量的等价形式

F 统计量可以表示为：

$$F = \frac{(RSS_R - RSS_U)/J}{RSS_U/(n-K)},$$

其中，RSS_U 是无约束回归的残差平方和，即，$\boldsymbol{e}'\boldsymbol{e}$；$RSS_R$ 是有约束回归的残差平方和，由求解如下最优化问题得到：

$$\min_{\boldsymbol{b}} RSS(\boldsymbol{b}) \quad \text{s.t.} \quad \mathbf{R}\boldsymbol{b} = \mathbf{r}.$$

♡

证明 令 $\tilde{\boldsymbol{\beta}}$ 是在 $\mathbb{H}_0$ 约束下的 OLS 估计，即，

$$\tilde{\boldsymbol{\beta}} = \arg\min_{\boldsymbol{b}} (\mathbf{y} - \mathbf{X}\boldsymbol{b})'(\mathbf{y} - \mathbf{X}\boldsymbol{b}) \quad \text{s.t.} \quad \mathbf{R}\boldsymbol{b} = \mathbf{r}.$$

构造上述有约束最优化问题的拉格朗日函数：

$$L(\boldsymbol{b}, \boldsymbol{\lambda}) = (\mathbf{y} - \mathbf{X}\boldsymbol{b})'(\mathbf{y} - \mathbf{X}\boldsymbol{b}) + 2\boldsymbol{\lambda}'(\mathbf{r} - \mathbf{R}\boldsymbol{b}),$$

其中，$\boldsymbol{\lambda}$ 是 $J \times 1$ 维的拉格朗日乘数向量。由最优化的一阶条件 (C.6)，我们有：

$$\frac{\partial L(\boldsymbol{b}, \boldsymbol{\lambda})}{\partial \boldsymbol{b}}\Big|_{\boldsymbol{b}=\tilde{\boldsymbol{\beta}},\, \boldsymbol{\lambda}=\tilde{\boldsymbol{\lambda}}} = -2\mathbf{X}'(\mathbf{y} - \mathbf{X}\tilde{\boldsymbol{\beta}}) - 2\mathbf{R}'\tilde{\boldsymbol{\lambda}} = \mathbf{0}, \tag{2.26}$$

$$\frac{\partial L(\boldsymbol{b}, \boldsymbol{\lambda})}{\partial \boldsymbol{\lambda}}\Big|_{\boldsymbol{b}=\tilde{\boldsymbol{\beta}}} = 2(\mathbf{r} - \mathbf{R}\tilde{\boldsymbol{\beta}}) = \mathbf{0}. \tag{2.27}$$

由式 (2.26)，我们有：

$$\begin{aligned}
-\mathbf{X}'(\mathbf{y} - \mathbf{X}\tilde{\boldsymbol{\beta}}) &= -\mathbf{X}'(\mathbf{X}\hat{\boldsymbol{\beta}}_{ols} + \boldsymbol{e} - \mathbf{X}\tilde{\boldsymbol{\beta}}) && (\text{因为 } \mathbf{y} = \mathbf{X}\hat{\boldsymbol{\beta}}_{ols} + \boldsymbol{e}) \\
&= -\mathbf{X}'\mathbf{X}(\hat{\boldsymbol{\beta}}_{ols} - \tilde{\boldsymbol{\beta}}) && (\text{因为 } \mathbf{X}'\boldsymbol{e} = \mathbf{0}) \\
&= \mathbf{R}'\tilde{\boldsymbol{\lambda}}.
\end{aligned}$$

因此，

$$-(\hat{\boldsymbol{\beta}}_{ols} - \tilde{\boldsymbol{\beta}}) = (\mathbf{X}'\mathbf{X})^{-1}\mathbf{R}'\tilde{\boldsymbol{\lambda}}, \tag{2.28}$$

两边同时左乘 $\mathbf{R}$ 得到：$-\mathbf{R}(\hat{\boldsymbol{\beta}}_{ols} - \tilde{\boldsymbol{\beta}}) = \mathbf{R}(\mathbf{X}'\mathbf{X})^{-1}\mathbf{R}'\tilde{\boldsymbol{\lambda}}$，再根据 $\tilde{\boldsymbol{\beta}}$ 满足式 (2.27)，我们有：

$$\tilde{\boldsymbol{\lambda}} = -[\mathbf{R}(\mathbf{X}'\mathbf{X})^{-1}\mathbf{R}']^{-1}(\mathbf{R}\hat{\boldsymbol{\beta}}_{ols} - \mathbf{r}).$$

将上式代入 (2.28)，则有：

$$\hat{\boldsymbol{\beta}}_{ols} - \tilde{\boldsymbol{\beta}} = (\mathbf{X}'\mathbf{X})^{-1}\mathbf{R}'[\mathbf{R}(\mathbf{X}'\mathbf{X})^{-1}\mathbf{R}']^{-1}(\mathbf{R}\hat{\boldsymbol{\beta}}_{ols} - \mathbf{r}).$$

另一方面，有约束回归的残差可以表示为：

$$\mathbf{y} - \mathbf{X}\tilde{\boldsymbol{\beta}} = \mathbf{y} - \mathbf{X}\hat{\boldsymbol{\beta}}_{ols} + \mathbf{X}(\hat{\boldsymbol{\beta}}_{ols} - \tilde{\boldsymbol{\beta}}) = \boldsymbol{e} + \mathbf{X}(\hat{\boldsymbol{\beta}}_{ols} - \tilde{\boldsymbol{\beta}}).$$

于是，有约束回归的残差平方和为：

$$\begin{aligned}
RSS_R &= (\mathbf{y} - \mathbf{X}\tilde{\boldsymbol{\beta}})'(\mathbf{y} - \mathbf{X}\tilde{\boldsymbol{\beta}}) = [\boldsymbol{e} + \mathbf{X}(\hat{\boldsymbol{\beta}}_{ols} - \tilde{\boldsymbol{\beta}})]'[\boldsymbol{e} + \mathbf{X}(\hat{\boldsymbol{\beta}}_{ols} - \tilde{\boldsymbol{\beta}})] \\
&= \boldsymbol{e}'\boldsymbol{e} + 2(\hat{\boldsymbol{\beta}}_{ols} - \tilde{\boldsymbol{\beta}})'\mathbf{X}'\boldsymbol{e} + (\hat{\boldsymbol{\beta}}_{ols} - \tilde{\boldsymbol{\beta}})'\mathbf{X}'\mathbf{X}(\hat{\boldsymbol{\beta}}_{ols} - \tilde{\boldsymbol{\beta}}) \\
&= \boldsymbol{e}'\boldsymbol{e} + (\hat{\boldsymbol{\beta}}_{ols} - \tilde{\boldsymbol{\beta}})'\mathbf{X}'\mathbf{X}(\hat{\boldsymbol{\beta}}_{ols} - \tilde{\boldsymbol{\beta}}) && (\mathbf{X}'\boldsymbol{e} = \mathbf{0}) \\
&= \boldsymbol{e}'\boldsymbol{e} + (\mathbf{R}\hat{\boldsymbol{\beta}}_{ols} - \mathbf{r})'[\mathbf{R}(\mathbf{X}'\mathbf{X})^{-1}\mathbf{R}']^{-1}(\mathbf{R}\hat{\boldsymbol{\beta}}_{ols} - \mathbf{r}).
\end{aligned}$$

由上式，我们有：

$$(\mathbf{R}\hat{\boldsymbol{\beta}}_{ols} - \mathbf{r})'[\mathbf{R}(\mathbf{X}'\mathbf{X})^{-1}\mathbf{R}']^{-1}(\mathbf{R}\hat{\boldsymbol{\beta}}_{ols} - \mathbf{r}) = RSS_R - RSS_U.$$

因此，

$$
\begin{aligned}
F &= \frac{(\mathbf{R}\hat{\boldsymbol{\beta}}_{ols}-\mathbf{r})'\left[\mathbf{R}(\mathbf{X}'\mathbf{X})^{-1}\mathbf{R}'\right]^{-1}(\mathbf{R}\hat{\boldsymbol{\beta}}_{ols}-\mathbf{r})/J}{s^2} \\
&= \frac{(RSS_R-RSS_U)/J}{RSS_U/(n-K)}.
\end{aligned}
$$

□

例 2.2 考虑如下线性回归模型：

$$y_i=\beta_1+\beta_2x_{i2}+\cdots+\beta_Kx_{iK}+\varepsilon_i,$$

和原假设 $\mathbb{H}_0:\beta_j=0$，$2\leqslant j\leqslant K$，即检验解释变量的联合显著性，此时 $J=K-1$。由式 (2.11)，有约束回归的残差平方和为：

$$RSS_R=\sum_{i=1}^{n}(y_i-\bar{y})^2.$$

于是，由 R^2 的定义，我们有：

$$R^2=1-\frac{\boldsymbol{e}'\boldsymbol{e}}{\sum_{i=1}^{n}(y_i-\bar{y})^2}=1-\frac{\boldsymbol{e}'\boldsymbol{e}}{RSS_R}.$$

于是，

$$
\begin{aligned}
F &= \frac{(RSS_R-\boldsymbol{e}'\boldsymbol{e})/(K-1)}{\boldsymbol{e}'\boldsymbol{e}/(n-K)}=\frac{\left(1-\dfrac{\boldsymbol{e}'\boldsymbol{e}}{RSS_R}\right)/(K-1)}{\dfrac{\boldsymbol{e}'\boldsymbol{e}}{RSS_R}/(n-K)} \\
&= \frac{R^2/(K-1)}{(1-R^2)/(n-K)}. \qquad (2.29)
\end{aligned}
$$

例 2.3 我们对例2.1中考虑的 Fama-French 三因子模型进行解释变量的联合显著性检验，所使用的数据集与例2.1完全相同。此时，$J=3$，$n-K=15164-4=15160$。在 Stata 中，reg 命令的输出结果包含了解释变量的联合显著性检验的 F 统计量取值和对应的 p 值。例2.1的第 3 行程序的输出结果如图 2.6 所示。图片右上方椭圆内汇报的便是解释变量联合显著性检验的检验结果，F 统计量服从 $F(3,15160)$ 分布，其取值等于 26081.55，检验的 p 值近似为 0，因此，我们可以拒绝原假设。我们可以通过式 (2.29) 计算 F 统计量。首先，通过 Stata 命令 ereturn list 获取 e-class 的返回值，其中，R^2 的返回值为：e(r2) = .8376954571692361。将此数值代入到式 (2.29) 中便可得到 F 统计量的取值为 26081.55。

F 检验的置信域

因为 F 统计量本质上度量了 $\mathbf{R}\hat{\boldsymbol{\beta}}_{ols}$ 和 $\mathbf{R}\boldsymbol{\beta}$ 之间的马氏距离，所以，F 检验的置信域与马氏距离及其等高线（contour line）有关。本章网上附录对统计（马氏）距离做了较为详细地介绍，建议不熟悉相关知识的读者在阅读本小节内容前先阅读该附录。

由定理 2.6，F 检验的不拒绝区域为：

$$\mathcal{D}=\left\{(\mathbf{X},\mathbf{y}):(\mathbf{R}\hat{\boldsymbol{\beta}}_{ols}-\mathbf{r})'\left[\mathbf{R}\widehat{\mathrm{Var}(\hat{\boldsymbol{\beta}}_{ols}|\mathbf{X})}\mathbf{R}'\right]^{-1}(\mathbf{R}\hat{\boldsymbol{\beta}}_{ols}-\mathbf{r})<J\cdot F_\alpha(J,n-K)\right\}.$$

根据统计距离附录的介绍，我们知道：若原假设中参数取值 $\boldsymbol{\beta}$ 满足 $\mathbf{r}=\mathbf{R}\boldsymbol{\beta}$ 落入以 $\mathbf{R}\hat{\boldsymbol{\beta}}_{ols}$

```
. reg smalllobm_rf mktrf smb hml

      Source |       SS           df       MS      Number of obs   =    15,164
-------------+----------------------------------   F(3, 15160)     =  26081.55
       Model |  20951.8333         3  6983.94444   Prob > F        =    0.0000
    Residual |  4059.44392    15,160  .267773345   R-squared       =    0.8377
-------------+----------------------------------   Adj R-squared   =    0.8377
       Total |  25011.2772    15,163  1.64949398   Root MSE        =    .51747

------------------------------------------------------------------------------
smalllobm_rf | Coefficient  Std. err.      t    P>|t|     [95% conf. interval]
-------------+----------------------------------------------------------------
       mktrf |   1.085563    .004328   250.82   0.000      1.07708    1.094046
         smb |   1.141249   .0082217   138.81   0.000     1.125134    1.157364
         hml |  -.0211792   .0085183    -2.49   0.013    -.0378761   -.0044824
       _cons |  -.0253872    .004206    -6.04   0.000    -.0336314    -.017143
------------------------------------------------------------------------------
```

图 2.6: 三因子联合显著性检验

为中心的超椭球

$$\left\{\mathbf{r}\in\mathbb{R}^J\ :\ (\mathbf{R}\hat{\boldsymbol{\beta}}_{ols}-\mathbf{r})'\left[\mathbf{R}\widehat{\mathrm{Var}(\hat{\boldsymbol{\beta}}_{ols}|\mathbf{X})}\mathbf{R}'\right]^{-1}(\mathbf{R}\hat{\boldsymbol{\beta}}_{ols}-\mathbf{r})=J\cdot F_\alpha(J,n-K)\right\}$$

内部，则原假设不能被拒绝。据此，我们可以得到 $\mathbb{H}_0$ 中涉及参数的置信域。

例如：假设 $K=2$，考虑如下原假设：

$$\mathbb{H}_0\ :\ \beta_1=\beta_1^0,\quad \beta_2=\beta_2^0.$$

此时，我们有 $\mathbf{R}=\mathbf{I}_2$ 和 $\mathbf{r}=(\beta_1^0,\beta_2^0)'$。$F$ 检验的置信水平为 $1-\alpha$ 的置信域为：

$$\left\{\begin{pmatrix}\beta_1\\ \beta_2\end{pmatrix}\ :\ \begin{pmatrix}\hat{\beta}_{1,ols}-\beta_1\\ \hat{\beta}_{2,ols}-\beta_2\end{pmatrix}'\left[\widehat{\mathrm{Var}(\hat{\boldsymbol{\beta}}_{ols}|\mathbf{X})}\right]^{-1}\begin{pmatrix}\hat{\beta}_{1,ols}-\beta_1\\ \hat{\beta}_{2,ols}-\beta_2\end{pmatrix}<2F_\alpha(2,n-K)\right\}.$$

如图 2.7，上述置信域是以 $(\hat{\beta}_{1,ols},\hat{\beta}_{2,ols})$ 为中心的椭圆内部区域。若图中 B 点为 (β_1^0,β_2^0)，则接受 $\mathbb{H}_0$；若图中 A 点为 (β_1^0,β_2^0)，则拒绝 $\mathbb{H}_0$。另一方面，一个值得思考的问题是此例中的原假设能否通过两个单系数的 t 统计量进行检验：若两个 t 检验都接受各自的原假设，则接受 $\mathbb{H}_0$；否则，拒绝 $\mathbb{H}_0$。若两个 t 检验的显著性水平都取为 α，则通过两个单系数的 t 统计量检验 $\mathbb{H}_0$ 的检验置信域为图 2.7 中两个参数的置信水平为 $1-\alpha$ 的置信区间围成的矩形区域。若 $\mathbb{H}_0$ 中参数取值对应图 2.7 中的 A 点，则 F 检验拒绝 $\mathbb{H}_0$，双系数 t 检验接受 $\mathbb{H}_0$；若 $\mathbb{H}_0$ 中参数取值对应图 2.7 中的 B 点，则 F 检验接受 $\mathbb{H}_0$，双系数 t 检验拒绝 $\mathbb{H}_0$。在实证分析时，若 $J\geqslant 2$，应该使用 F 检验，其原因主要体现在以下两点：首先，若单个系数的 t 检验的显著性水平为 α，则多系数联合 t 检验的显著性水平不等于 α；其次，由统计距离附录的分析可知，在构造 F 检验的置信域时，我们考虑了各系数估计量的相关性，而多系数联合 t 检验忽略了此相关性。因此，即使可以通过调整单个系数的 t 检验的显著性水平使得总体显著性水平控制在 α，实际中我们也更偏好使用 F 统计量检验 $J\geqslant 2$ 的原假设。

事实上，t 统计量也可以看成是 F 统计量的特例。考虑 t 检验的原假设 $\mathbb{H}_0\ :\ \beta_k=\beta_k^0$，我们可以取 $\underset{(1\times K)}{\mathbf{R}}=[\underbrace{0,\ldots,0}_{k-1\text{个}},1,0,\ldots,0]$ 和 $\mathbf{r}=\beta_k^0$，则 $\mathbf{R}\boldsymbol{\beta}=\mathbf{r}$ 等价于 $\beta_k=\beta_k^0$。在 $\mathbb{H}_0$ 成

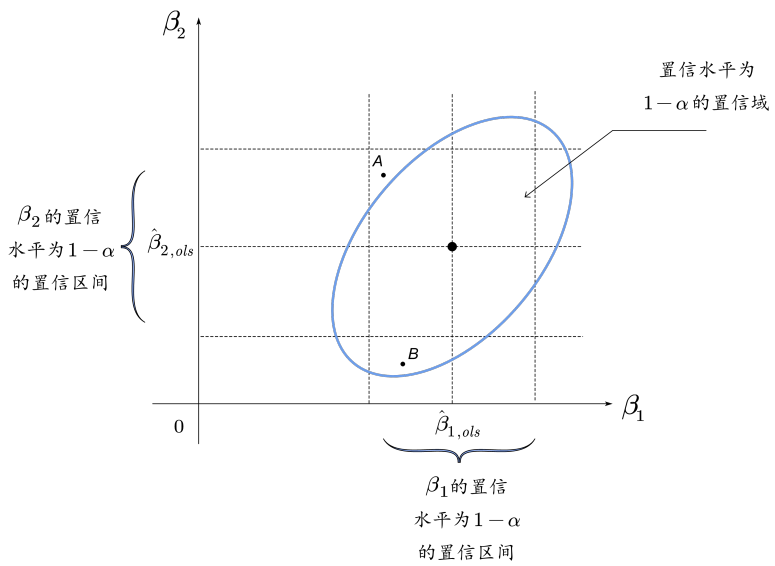

图 2.7: t 检验与 F 检验

立的情况下，F 统计量服从 $F(1, n-K)$ 分布；t 统计量服从 t_{n-k} 分布。因为 $F(1, n-K)$ 分布是 t_{n-k} 分布的平方，所以，t 检验和 F 检验的结果一致。

2.4 多重共线性

假设 2.3 要求矩阵 $\mathbf{X}$ 列满秩，否则 $\mathbf{X}'\mathbf{X}$ 不可逆，最小二乘估计量无法计算。若 $\mathbf{X}$ 的各列之间存在高度的（不完全的）线性相关关系，最小二乘估计量仍然可以计算，但估计量的方差将增大从而影响估计量的准确性。出现这种现象的原因是当解释变量之间高度线性相关时矩阵 $\mathbf{X}'\mathbf{X}$ 接近奇异，利用计算机无法准确求逆，当数据矩阵 $\mathbf{X}$ 的元素发生微小变化时，系数估计量的数值变化很大，甚至出现符号相反的情况。

我们通过数值模拟的方式来更清楚地说明多重共线性问题。首先，假设数据矩阵 $\mathbf{X}$ 和 $\mathbf{y}$ 为：

$$\mathbf{X} = \begin{bmatrix} 1 & 0.98 \\ 1 & 0.99 \\ 1 & 0.99 \end{bmatrix}, \quad \mathbf{y} = \begin{bmatrix} 3.5 \\ 2.6 \\ 4.9 \end{bmatrix}.$$

由最小二乘估计量公式 (2.8)，我们有：

$$\hat{\boldsymbol{\beta}}_{ols} = (-21,\ 25)'.$$

现假设

$$\mathbf{X} = \begin{bmatrix} 1 & 0.98 \\ 1 & 0.99 \\ 1 & 0.98 \end{bmatrix},$$

则最小二乘估计量为：

$$\hat{\boldsymbol{\beta}}_{ols} = (161,\ -160)'.$$

通过数值模拟，我们发现：在数据矩阵两列高度线性相关的情况下，第三个样本的解释变量观测值变化 0.01 导致最小二乘估计量的绝对值发生很大的变化，而且符号相反。因此，多重共线性是一种样本现象，不是线性回归模型本身的问题，可以通过调整样本减轻多重共线性的影响。

由式 (2.20)，我们知道 β_j 的估计量的方差与 R_j^2 有关。R_j^2 衡量的是回归中其他解释变量可以解释的 x_j 变动占 x_j 总变动的比例。只要假设 2.3 成立，R_j^2 不会等于 1。但是，x_j 与其他解释变量高度线性相关会导致 R_j^2 非常接近于 1。由式 (2.20)，随着 R_j^2 趋近于 1，$\hat{\beta}_{j,ols}$ 的方差将趋于无穷，从而导致多重共线性问题。由 t 统计量公式 (2.23)，若估计量方差很大，则其标准误也将很大，导致 t 统计量可能不显著。所以，如果系数的联合显著性 F 检验显著，但是单个参数 t 检验都不显著，则很可能出现了多重共线性问题。除此之外，多重共线性还可能导致如下现象：

- 最小二乘估计量的数值或符号与经济金融理论不符；
- 如果增加某一解释变量，R^2 无明显变化，但是 t 统计量绝对值明显减小；
- 如果删除某一解释变量，R^2 无明显变化，但是 t 统计量绝对值明显变大；
- 样本的增减导致最小二乘估计量较大的变化。

但是，多重共线性问题是否会导致一个过大的系数估计量方差还取决于 σ^2 和 TSS_j。而且，t 统计量是否受影响还取决于系数估计量与其标准误的比值。一般情况下，我们总是可以通过收集更多的数据来增加 TSS_j，从而减小估计量的方差。在样本固定的情况下，x_j 与其他解释变量的相关性越低越有助于准确估计 β_j，最理想的情况就是 x_j 与其他解释变量都不相关。但是多元线性回归中加入其他解释变量的原因正是因为 x_j 与其他解释变量存在相关性，若遗漏这些变量会导致假设 2.2 不成立。所以，即使解释变量间出现了高度的相关性，我们也不能随意的丢弃引起这种相关性的解释变量，除非我们在变量选择方面出现了问题。例如，我们想研究家庭各项教育投入对子女成绩的影响，解释变量包括补课费用、教辅资料费用、文具用品费用等。显然，这些解释变量之间具有高度的相关性，富裕家庭在每一项上都投入很多，贫困家庭在每一项上都有所节制。所以，我们很难准确估计这些投入项目对子女成绩的偏效应，这便是变量选择上出了问题。

此外，多元线性回归中的各个解释变量的地位通常是不同的。一般地，我们只关心某一核心解释变量对被解释变量的影响，其他解释变量是为了保证假设 2.2 成立而引入的控制变量。控制变量之间的高度线性相关性可能不会影响核心解释变量系数估计量的方差。例如，考虑如下回归：

$$y_i = \beta_0 + \beta_1 x_{1i} + \beta_2 x_{2i} + \beta_3 x_{3i} + \varepsilon_i,$$

其中，控制变量 x_{2i} 和 x_{3i} 高度相关。虽然，$\mathrm{Var}(\hat{\beta}_{2,ols}|\mathbf{X})$ 和 $\mathrm{Var}(\hat{\beta}_{3,ols}|\mathbf{X})$ 可能很大，但是，只要 x_{1i} 与 (x_{2i}, x_{3i}) 的相关程度不高，$\mathrm{Var}(\hat{\beta}_{1,ols}|\mathbf{X})$ 不会受到 x_{2i} 和 x_{3i} 高度相关的影响。此时，若 β_1 是感兴趣的参数，我们大可不必担心 x_{2i} 和 x_{3i} 是高度相关的。例如，在研究金融开放程度与地方经济增长关系的回归分析中，我们可能会加入收入和房价等控制变量，虽然这些控制变量存在高度的正相关关系，但是只要金融开放程度与收入和房价的相关性不强，我们依然可以准确估计感兴趣的参数。

常用的识别多重共线性的方法还有成对（pairwise）样本相关系数表和方差膨胀因子

(variance inflation factor, VIF)。VIF 的定义为

$$\mathrm{VIF}_j = \frac{1}{1-R_j^2}, \quad j = 2, \ldots, K.$$

在 Stata 中，成对样本相关系数表可以使用命令 pwcorr 得到，VIF 可以在回归之后使用命令 estat vif 得到。通常，若变量的 VIF 大于 10，则认为该变量引起了多重共线性问题。然而，通过前文的分析，我们应该谨慎使用这两种方法进行变量的筛选。例如，发现两个控制变量的样本相关系数超过 0.9 也可能不影响我们关心的核心参数估计；若在核心解释变量和被解释变量的因果关系推断中我们必须控制某一变量，即使该变量的 VIF 大于 10，我们也不能随意丢弃它。所以，无论是成对样本相关系数表还是 VIF 在确定总体回归函数方面的作用都是有限的。若使用多元回归模型的目的是进行因果推断，那么模型中的变量选择的最终目标是保证核心参数的因果效应解释，而不仅仅是一个统计学问题。

在实证分析中，若我们关心的核心系数的估计显著且其符号与预期相符，我们可以不考虑多重共线性问题；若不关心模型的具体系数，而是使用多元线性回归模型进行对被解释变量的预测，我们也可以不考虑多重共线性问题；若核心解释变量的系数估计不显著的原因是多重共线性，我们可以通过增大样本量减轻多重共线性的影响；如果增大样本量后核心解释变量的系数估计依然不显著，我们需要考虑回归模型的设定是否合理；在变量筛选过程中，成对样本相关系数表和方差膨胀因子等统计指标只能起到辅助作用，不应作为起决定性作用的筛选标准。

2.5 广义最小二乘

假设 2.4 要求误差 ε 的条件方差 $\mathbb{E}(\varepsilon\varepsilon'|\mathbf{X})$ 满足球形扰动假设。若没有假设 2.4 的限制，$\mathbb{E}(\varepsilon\varepsilon'|\mathbf{X})$ 通常是 $\mathbf{X}$ 的非线性函数。若没有条件同方差假设，则 $\mathbb{E}(\varepsilon\varepsilon'|\mathbf{X})$ 的对角线元素可以不相等；若误差项之间存在相关性，则 $\mathbb{E}(\varepsilon\varepsilon'|\mathbf{X})$ 的非对角线元素可以不为 0。本节中，我们放松球形扰动假设，讨论多元线性回归的广义最小二乘（Generalized Least Squares, GLS）估计。

我们先考虑一种理想的情况：假设 $n \times n$ 维矩阵 $\mathbf{V}(\mathbf{X})$ 是非奇异的对称正定矩阵，并且 $\mathbf{V}$ 中的元素是已知的[8]。令

$$\mathbb{E}(\varepsilon\varepsilon'|\mathbf{X}) = \sigma^2\mathbf{V}(\mathbf{X}), \tag{2.30}$$

其中，σ^2 是未知的。用式 (2.30) 替换假设 2.4 得到的模型称为广义回归模型。放松假设 2.4 会使得最小二乘估计量的条件方差表达式发生变化。具体地，我们有：

$$\begin{aligned}
\mathrm{Var}(\hat{\boldsymbol{\beta}}_{ols}|\mathbf{X}) &= \mathrm{Var}(\hat{\boldsymbol{\beta}}_{ols} - \boldsymbol{\beta}|\mathbf{X}) && \text{(减去常数 } \boldsymbol{\beta} \text{ 不改变方差)} \\
&= \mathrm{Var}(\mathbf{A}\varepsilon|\mathbf{X}) && \text{(由式 (2.17)，其中 } \mathbf{A} = (\mathbf{X}'\mathbf{X})^{-1}\mathbf{X}'\text{)} \\
&= \mathbf{A}\mathbb{E}(\varepsilon\varepsilon'|\mathbf{X})\mathbf{A}' \\
&= \sigma^2(\mathbf{X}'\mathbf{X})^{-1}\mathbf{X}'\mathbf{V}(\mathbf{X})\mathbf{X}(\mathbf{X}'\mathbf{X})^{-1}. && \text{(将式 (2.30) 代入)}
\end{aligned}$$

[8] 为了书写方便，我们也将 $\mathbf{V}(\mathbf{X})$ 简单地记为 $\mathbf{V}$。

因此，Gauss-Markov 定理不再成立。此外，由于最小二乘估计量的条件方差表达式发生变化，t 统计量不服从 t 分布，F 统计量不服从 F 分布。然而，最小二乘估计量依然是无偏估计量，这是因为无偏性质的推导没有使用假设 2.4。

接下来，在 $\mathbf{V}$ 已知的情况下，我们将给出比最小二乘估计量更有效的估计量，即，广义最小二乘估计量。因为 $\mathbf{V}$ 是对称正定矩阵，由对称矩阵的谱分解定理，我们有：

$$\mathbf{V} = \mathbf{C}\boldsymbol{\Lambda}\mathbf{C}',$$

其中，$\mathbf{C}$ 是正交矩阵，由矩阵 $\mathbf{V}$ 的单位正交特征向量构成；$\boldsymbol{\Lambda}$ 是对角阵，对角线上元素是 $\mathbf{C}$ 中特征向量对应的特征值。因为，$\mathbf{V}$ 是正定阵，其特征值都为正数，因此，我们有：

$$\mathbf{V}^{-1} = \mathbf{P}'\mathbf{P},$$

其中，$\mathbf{P} \equiv \boldsymbol{\Lambda}^{-1/2}\mathbf{C}'$。现考虑用 $\mathbf{P}$ 对 $(\mathbf{y}, \mathbf{X}, \boldsymbol{\varepsilon})$ 做线性变换，得到如下新回归模型中的变量：

$$\tilde{\mathbf{y}} \equiv \mathbf{P}\mathbf{y}, \quad \tilde{\mathbf{X}} \equiv \mathbf{P}\mathbf{X}, \quad \tilde{\boldsymbol{\varepsilon}} \equiv \mathbf{P}\boldsymbol{\varepsilon}.$$

对于 $(\tilde{\mathbf{y}}, \tilde{\mathbf{X}}, \tilde{\boldsymbol{\varepsilon}})$，我们有：

- 线性假设 2.1 成立：

$$\tilde{\mathbf{y}} = \tilde{\mathbf{X}}\boldsymbol{\beta} + \tilde{\boldsymbol{\varepsilon}}. \tag{2.31}$$

- 严格外生性假设 2.2 成立：

$$\mathbb{E}(\tilde{\boldsymbol{\varepsilon}} \mid \tilde{\mathbf{X}}) = \mathbb{E}(\tilde{\boldsymbol{\varepsilon}} \mid \mathbf{X}) = \mathbf{P}\mathbb{E}(\boldsymbol{\varepsilon} \mid \mathbf{X}) = \mathbf{0}.$$

- 因为 $\mathbf{P}$ 非奇异，无完全共线性假设 2.3 成立。
- 球形扰动假设 2.4 成立：

$$\begin{aligned}\mathbb{E}(\tilde{\boldsymbol{\varepsilon}}\tilde{\boldsymbol{\varepsilon}}' \mid \tilde{\mathbf{X}}) &= \mathbb{E}(\tilde{\boldsymbol{\varepsilon}}\tilde{\boldsymbol{\varepsilon}}' \mid \mathbf{X}) = \mathbf{P}\mathbb{E}(\boldsymbol{\varepsilon}\boldsymbol{\varepsilon}' \mid \mathbf{X})\mathbf{P}' \\ &= \sigma^2\mathbf{P}\mathbf{V}\mathbf{P}' = \sigma^2\mathbf{I}_n,\end{aligned}$$

  其中，最后一个等号成立是因为 $\mathbf{P}\mathbf{V}\mathbf{P}'$ 的逆矩阵是 $\mathbf{I}_n$。
- 因为 $\tilde{\boldsymbol{\varepsilon}}$ 是 $\boldsymbol{\varepsilon}$ 的线性变换，并且 $\mathbf{P}$ 是 $\mathbf{X}$ 的函数，所以，若 $\boldsymbol{\varepsilon} \mid \mathbf{X}$ 是正态分布，则 $\tilde{\boldsymbol{\varepsilon}} \mid \tilde{\mathbf{X}}$ 也是正态分布。

因此，转换后的变量满足古典线性回归模型的所有假设，对式 (2.31) 进行最小二乘估计便可以得到广义最小二乘估计量，记为 $\hat{\boldsymbol{\beta}}_{gls}$。关于广义最小二乘估计量，我们有如下定理：

定理 2.8. 广义最小二乘的小样本性质

(a) 广义最小二乘估计量 $\hat{\boldsymbol{\beta}}_{gls}$ 的解析表达式为：

$$\hat{\boldsymbol{\beta}}_{gls} = (\tilde{\mathbf{X}}'\tilde{\mathbf{X}})^{-1}\tilde{\mathbf{X}}'\tilde{\mathbf{y}} = (\mathbf{X}'\mathbf{V}^{-1}\mathbf{X})^{-1}\mathbf{X}'\mathbf{V}^{-1}\mathbf{y}.$$

(b) (无偏性) 若假设 2.1-2.3 成立，$\mathbb{E}(\hat{\boldsymbol{\beta}}_{gls}|\mathbf{X}) = \boldsymbol{\beta}$；

(c) 若假设 2.1-2.3 和式 (2.30) 成立，$\mathrm{Var}(\hat{\boldsymbol{\beta}}_{gls}|\mathbf{X}) = \sigma^2 \cdot (\mathbf{X}'\mathbf{V}^{-1}\mathbf{X})^{-1}$；

(d) (GLS 的有效性) 若假设 2.1-2.3 和式 (2.30) 成立，GLS 估计量是有效的，即，对任意的关于 $\mathbf{y}$ 线性并且无偏的估计量的条件方差都在矩阵意义上大于或等

于 $\mathrm{Var}(\hat{\boldsymbol{\beta}}_{gls}|\mathbf{X})$。 ♡

证明 (a) 因为 GLS 估计量是对式 (2.31) 做最小二乘估计，所以，由式 (2.8)，

$$\begin{aligned}\hat{\boldsymbol{\beta}}_{gls} &= (\tilde{\mathbf{X}}'\tilde{\mathbf{X}})^{-1}\tilde{\mathbf{X}}'\tilde{\mathbf{y}} \\ &= \left((\mathbf{PX})'(\mathbf{PX})\right)^{-1}(\mathbf{PX})'\mathbf{Py} \\ &= \left(\mathbf{X}'\mathbf{P}'\mathbf{PX}\right)^{-1}\left(\mathbf{X}'\mathbf{P}'\mathbf{Py}\right) \\ &= \left(\mathbf{X}'\mathbf{V}^{-1}\mathbf{X}\right)^{-1}\mathbf{X}'\mathbf{V}^{-1}\mathbf{y}.\end{aligned}$$

(b) 容易验证：$\hat{\boldsymbol{\beta}}_{gls}-\boldsymbol{\beta}=(\mathbf{X}'\mathbf{V}^{-1}\mathbf{X})^{-1}\mathbf{X}'\mathbf{V}^{-1}\boldsymbol{\varepsilon}$，因此，

$$\begin{aligned}\mathbb{E}(\hat{\boldsymbol{\beta}}_{gls}-\boldsymbol{\beta}|\mathbf{X}) &= \mathbb{E}\left[(\mathbf{X}'\mathbf{V}^{-1}\mathbf{X})^{-1}\mathbf{X}'\mathbf{V}^{-1}\boldsymbol{\varepsilon}|\mathbf{X}\right] \\ &= (\mathbf{X}'\mathbf{V}^{-1}\mathbf{X})^{-1}\mathbf{X}'\mathbf{V}^{-1}\mathbb{E}\left[\boldsymbol{\varepsilon}|\mathbf{X}\right]=\mathbf{0}.\end{aligned}$$

(c) 利用 (b) 中 $\hat{\boldsymbol{\beta}}_{gls}-\boldsymbol{\beta}$ 的表达式，我们有：

$$\begin{aligned}\mathrm{Var}(\hat{\boldsymbol{\beta}}_{gls}|\mathbf{X}) &= \mathrm{Var}(\hat{\boldsymbol{\beta}}_{gls}-\boldsymbol{\beta}|\mathbf{X}) \\ &= (\mathbf{X}'\mathbf{V}^{-1}\mathbf{X})^{-1}\mathbf{X}'\mathbf{V}^{-1}\mathrm{Var}(\boldsymbol{\varepsilon}|\mathbf{X})\mathbf{V}^{-1}\mathbf{X}(\mathbf{X}'\mathbf{V}^{-1}\mathbf{X})^{-1} \\ &= \sigma^2\cdot(\mathbf{X}'\mathbf{V}^{-1}\mathbf{X})^{-1},\end{aligned}$$

其中，最后一个等号成立是因为式 (2.30) 成立。

最后，因为式 (2.31) 满足古典线性回归模型的所有假设，对其做最小二乘估计得到的估计量（即 GLS 估计量）是最有效的，(d) 得证。 □

GLS 小样本性质的成立需要严格外生条件，我们已经知道严格外生性不适用于时间序列数据，因此，我们通常不使用 GLS 修正误差项自相关的影响。

加权最小二乘

本小节讨论 GLS 的一个特例：加权最小二乘（Weighted Least Squares, WLS）。假设以 $\mathbf{X}$ 为条件误差项之间不存在相关性，则 $\mathbf{V}$ 是对角阵。令 $v_i(\mathbf{X})$ 是 $\mathbf{V}(\mathbf{X})$ 对角线上的第 i 个元素，我们有：

$$\mathbb{E}(\varepsilon_i^2\mid\mathbf{X})=\sigma^2\cdot v_i(\mathbf{X}).$$

此外，容易验证 $\mathbf{P}$ 此时也为对角阵，其对角线上第 i 个元素是 $1/\sqrt{v_i(\mathbf{X})}$。因此，经过 $\mathbf{P}$ 变换后的数据 $(\tilde{\mathbf{y}},\tilde{\mathbf{X}})$ 为：

$$\tilde{y}_i=\frac{y_i}{\sqrt{v_i(\mathbf{X})}},\quad \tilde{\mathbf{x}}_i=\frac{\mathbf{x}_i}{\sqrt{v_i(\mathbf{X})}}\quad (i=1,2,\ldots,n).$$

于是，若条件异方差的形式已知（即 $v_i(\mathbf{X})$ 已知），广义最小二乘估计量可以通过先将第 i 个观测的数据除以 $\sqrt{v_i(\mathbf{X})}$ 进行数据变换，再对变换后的数据进行 OLS 估计得到。此估计方法称为加权最小二乘。

若样本 $\{y_i,\mathbf{x}_i\}_{i=1}^n$ 满足独立同分布（independent and identically distributed，i.i.d.），则误差项满足无条件同方差（$\mathbb{E}(\varepsilon_i^2)$ 不依赖于 i），但是，误差项可能存在条件异方差。在 i.i.d. 的假设下，$\mathbb{E}(\varepsilon_i^2\mid\mathbf{X})$ 只与 $\mathbf{x}_i$ 有关，不同观测 i 的 $E(\varepsilon_i^2\mid\mathbf{x}_i)$ 具有相同的函数形式，

即，

$$v_i(\mathbf{X}) = v(\mathbf{x}_i), \quad (i = 1, 2, \ldots, n).$$

因此，对于 i.i.d. 的样本，做加权最小二乘估计仅需要知道函数 $v(\cdot)$。

可行广义最小二乘

使用 GLS 需要知道 $n \times n$ 维矩阵 $\mathbf{V}$ 的信息，虽然 $\mathbf{V}$ 是对称矩阵，仍然需要确定 $n(n+1)/2$ 个元素的取值。本节研究如何利用样本数据的信息对 $\mathbf{V}$ 进行估计，再根据 $\mathbf{V}$ 的估计结果做 GLS。值得一提的是，样本量为 n 的样本通常无法估计 $n(n+1)/2$ 个未知参数，我们需要对 $\mathbf{V}$ 的结构做一些假设。

为了讨论的方便，我们假设 $\{y_i, \mathbf{x}_i\}$ 是 i.i.d. 的。同时，假设：

$$\mathbb{E}(\varepsilon_i^2 \mid \mathbf{x}_i) = \mathbf{z}_i'\boldsymbol{\alpha}, \tag{2.32}$$

其中，$\mathbf{z}_i$ 是 $\mathbf{x}_i$ 的函数。通常，$\boldsymbol{\alpha}$ 是未知的，我们可以通过线性回归来估计 $\boldsymbol{\alpha}$。根据式 (2.32)，由 CEF 分解性质，我们有：

$$\varepsilon_i^2 = \mathbf{z}_i'\boldsymbol{\alpha} + \eta_i,$$

其中，$\eta_i \equiv \varepsilon_i^2 - \mathbb{E}(\varepsilon_i^2|\mathbf{x}_i)$。此外，$\eta_i$ 均值独立于 $\mathbf{z}_i$，事实上，

$$\mathbb{E}(\eta_i|\mathbf{z}_i) = \mathbb{E}\left\{\left[\varepsilon_i^2 - \mathbb{E}(\varepsilon_i^2|\mathbf{x}_i)\right]|\mathbf{z}_i\right\} = \mathbb{E}(\varepsilon_i^2|\mathbf{z}_i) - \mathbb{E}\left\{\mathbb{E}(\varepsilon_i^2|\mathbf{x}_i)|\mathbf{z}_i\right\} = 0,$$

其中，最后一个等号成立是利用了迭代期望律。因此，可以通过 ε_i^2 对 $\mathbf{z}_i$ 的回归估计 $\boldsymbol{\alpha}$。但是，ε_i^2 未知，可以考虑用残差的平方 e_i^2 代替 ε_i^2。于是，我们有如下的可行广义最小二乘（Feasible Generalized Least Squares, FGLS）：

步骤 1：利用 OLS 估计 $y_i = \mathbf{x}_i'\boldsymbol{\beta} + \varepsilon_i$ 并计算残差 e_i；

步骤 2：将 e_i^2 对 $\mathbf{z}_i$ 进行回归得到最小二乘估计量 $\hat{\boldsymbol{\alpha}}$；

步骤 3：利用 WLS 重新估计 $y_i = \mathbf{x}_i'\boldsymbol{\beta} + \varepsilon_i$，观测 i 对应的权重是 $1/\sqrt{\mathbf{z}_i'\hat{\boldsymbol{\alpha}}}$。

FGLS 的小样本性质不易推导，我们将在下一节讨论 FGLS 的大样本性质。此外，FGLS 的性质依赖于式 (2.32) 是否设置正确，如果存在条件方差形式的误设，FGLS 在大样本条件下的有效性可能不成立。式 (2.32) 虽然允许 $\mathbf{z}_i$ 是 $\mathbf{x}_i$ 的非线性函数，但是无法保证 $\mathbf{z}_i'\boldsymbol{\alpha}$ 始终大于 0。为了保证条件方差为正，一个常用的假设为：

$$\mathbb{E}(\varepsilon_i^2 \mid \mathbf{x}_i) = \sigma^2 \exp\left(\mathbf{z}_i'\boldsymbol{\alpha}\right). \tag{2.33}$$

上式也可以记为：

$$\varepsilon_i^2 = \sigma^2 \exp\left(\mathbf{z}_i'\boldsymbol{\alpha}\right) v_i,$$

其中，$\mathbb{E}(v_i|\mathbf{x}_i) = 1$。如果进一步假设 v_i 独立于 $\mathbf{x}_i$，我们有：

$$\begin{aligned}
\log(\varepsilon_i^2) &= \log(\sigma^2) + \mathbf{z}_i'\boldsymbol{\alpha} + \log(v_i) \\
&= \underbrace{\log(\sigma^2) + \alpha_1 + \mathbb{E}[\log(v_i)]}_{\alpha_0} + \mathbf{z}_{-1,i}'\boldsymbol{\alpha}_{-1} + \underbrace{\log(v_i) - \mathbb{E}[\log(v_i)]}_{e_i} \\
&\equiv \alpha_0 + \mathbf{z}_{-1,i}'\boldsymbol{\alpha}_{-1} + e_i,
\end{aligned}$$

其中，$\mathbf{z}_{-1,i}$ 是 $\mathbf{z}_i$ 中除常数项之外的变量；$\boldsymbol{\alpha}_{-1}$ 是 $\boldsymbol{\alpha}$ 中除常数项系数 α_1 之外的系数；e_i

的期望为 0 且独立于 $\mathbf{z}_i$。[9] 于是，针对形如式 (2.33) 的假设，我们可以通过如下 FGLS 过程估计回归系数 $\boldsymbol{\beta}$：

步骤 1*：利用 OLS 估计 $y_i = \mathbf{x}_i'\boldsymbol{\beta} + \varepsilon_i$ 并计算残差 e_i；

步骤 2*：将 $\log(e_i^2)$ 对 $\mathbf{z}_i$ 进行回归得到拟合值 $\hat{g}_i$，并计算 $\hat{h}_i \equiv \exp(\hat{g}_i)$；

步骤 3*：利用 WLS 重新估计 $y_i = \mathbf{x}_i'\boldsymbol{\beta} + \varepsilon_i$，观测 i 对应的权重是 $1/\sqrt{\hat{h}_i}$。

在步骤 2* 中，我们还可以将 $\log(e_i^2)$ 对步骤 1* 回归的拟合值 $\hat{y}_i$ 以及拟合值的平方 $\hat{y}_i^2$ 进行回归（回归中应包含常数项）得到 $\hat{g}_i$。关于 FGLS 更详细的讨论可以参考 Wooldridge (2019) 的第八章。

FGLS 的 Stata 实现

我们通过一个例子来介绍 FGLS 在 Stata 中如何实现。我们考虑互联网信息搜索与股票系统风险（systemic risk）之间的关系。被解释变量为股票系统风险（crash），是根据 Chabi-Yo et al. (2018) 中的混合 Copula 方法估计的股票随大盘暴跌的条件概率；核心解释变量是股票互联网信息搜索强度（IS），使用股票互联网信息搜索指数的对数一阶差分进行测度；回归中的控制变量有：股票周收益率的年度平均（wret）、超额换手率（本年度周均换手率与上年度周均换手率之差，wturn）、资产负债率（总负债/总资产，lev）、资产收益率（净利润/总资产，roa）、第一大股东持股比例（top）以及董事长和总经理两职合一的虚拟变量[10]（conp）。互联网信息搜索指数数据来自中国研究数据服务平台（CNRDS）中的网络搜索指数数据库（WSVI），上市公司信息、财务数据和股票数据等均来自 CSMAR 数据库。解释变量的样本来自 2016 年我国 A 股上市公司，经过剔除金融和保险行业公司以及剔除 ST、*ST 和 PT 公司等处理后，我们最终的样本量为 2397，被解释变量是 2017 年样本上市公司的股票系统风险。本例使用的 Stata 代码如下：

```
. use FGLS_Eg.dta, replace
. quietly reg crash IS wret wturn lev roa top conp
. estat hettest      //Breusch-Pagan异方差检验
H0: Constant variance
    chi2(1) = 19.18
Prob > chi2 = 0.0000
. predict e, res     //求残差，保存在e中
. gen logesq=ln(e^2)
. predict haty       //求拟合值，保存在haty中
. gen haty2 = haty^2 //计算拟合值的平方
. quietly reg logesq haty haty2
  //$\log(e_{i}^{2})$对拟合值和拟合值的平方进行回归
. predict esqhat     //求拟合值，保存在esqhat中
```

[9] 虽然 $\mathbb{E}(v_i) = 1$，但是 $\mathbb{E}[\log(v_i)]$ 可能不为 0，这是因为求期望和求对数不能换序。所以我们在构造误差项 e_i 时从 $\log(v_i)$ 中减去了它的期望，这样可以保证 e_i 的期望为 0，只要回归里有常数项，这样做就是合理的。

[10] 如果董事长和总经理两职合一，则此变量取值为 1；否则，此变量取值为 0。

```
14 . gen h=exp(esqhat)  //计算$\hat{h}$
15 . reg crash IS wret wturn lev roa top conp [aw= 1/h]
16   //重新回归，以$1/\hat{h}$作为权重
17 . est sto AW          //保存回归结果
18   //*****************************************************//
19   //自定义权重，对数据进行转换
20 . gen w = 1/(h)^0.5  //注意用于转换数据的权重是$1/\sqrt{\hat{h}_{i}}$
21 . foreach i in crash IS wret wturn lev roa top conp {
22     gen ‘i’w=‘i’*w    //数据转换
23     }
24 . reg crashw ISw wretw wturnw levw roaw topw conpw w, noc
25   //因为常数项也要做数据转换，回归中加入的w对应转换前的常数项，
26   // “, noc” 表示回归中没有常数项
27 . est sto NOC
28   //*****************************************************//
29   //也可以利用第三方命令wls0或regwls
30   //如果未安装wls0和regwls，使用findit wls0寻找下载地址
31 . wls0 crash IS wret wturn lev roa top conp, wvar(haty haty2)
     type(loge2)
32 . est sto WLS0
33 . regwls crash IS wret wturn lev roa top conp, wvar(haty haty2)
     type(loge2)
34 . est sto REGWLS
```

在程序的第 3 行，我们做了 Breusch-Pagan 异方差检验[11]，检验结果拒绝同方差的原假设。我们利用步骤 2* 的方式计算 $\hat{h}_i$，其中 $\mathbf{z}_i$ 取为拟合值 $\hat{y}_i$ 以及拟合值的平方 $\hat{y}_i^2$。第 15 行程序利用 reg 命令中的 aw 对回归进行加权，回归结果对应表 2.2 中“AW”一列；第 20 行程序生成了对数据进行转换的权重 w，注意 aw 中使用的权重是 w 的平方；第 24 行程序对转换后的数据进行没有常数项的回归，回归结果对应表 2.2 中“NOC”一列；第 31 行和第 33 行程序分别利用非官方命令 wls0 和 regwls 进行 FGLS 估计，回归结果对应表 2.2 中以命令名称命名的列中。“AW”和“NOC”对除常数项以外的解释变量系数的估计结果是相同的；“WLS0”和“REGWLS”对所有系数的估计结果都是相同的，但是与“AW”的回归结果不同。两者区别在于“WLS0”和“REGWLS”在计算 $\hat{h}_i$ 时是对程序第 13 行得到的拟合值 esqhat 取平方。从回归结果看，IS 系数是显著为负的，说明关于上市公司的互联网信息搜索强度越大，其面临的系统风险越低。

[11] 我们将在第3章详细介绍异方差检验。

表 2.2: 各种 FGLS 实现方法的结果比较

	(1) OLS	(2) AW	(3) NOC	(4) WLS0	(5) REGWLS
IS	-0.0121**	-0.0117**		-0.0122**	-0.0122**
	(0.00496)	(0.00485)		(0.00499)	(0.00499)
ISw			-0.0117**		
			(0.00485)		
_cons	0.0570***	0.0602***		0.0561***	0.0561***
	(0.00623)	(0.00587)		(0.00635)	(0.00635)
R^2	0.029	0.031	0.557	0.028	0.028
adj. R^2	0.026	0.028	0.556	0.025	0.025
F	10.075	10.934	375.791	9.909	9.909
N	2397	2397	2397	2397	2397

Standard errors in parentheses

* $p < 0.10$, ** $p < 0.05$, *** $p < 0.01$

2.6 大样本性质及假设检验

前面我们讨论了最小二乘估计量的小样本性质以及基于正态假设的统计推断理论，然而，小样本性质的成立需要严格外生性和条件同方差等强假设条件，正态假设对多数金融数据也未必适用。因此，本节我们放松古典线性回归模型的部分假设，研究最小二乘估计量的大样本性质。所谓大样本性质是指样本量 n 趋于无穷时成立的性质。阅读本节内容需要读者具备一定的渐近理论基础，附录 B 中的 B.4 提供了相关知识的简要介绍。

大样本性质的推导基于以下关于数据生成过程（Data Generating Process, DGP）的假设：

假设 2.1*：（线性假设）

$$y_i = \beta_1 x_{i1} + \beta_2 x_{i2} + \cdots + \beta_K x_{iK} + \varepsilon_i = \mathbf{x}_i'\boldsymbol{\beta} + \varepsilon_i, \quad (i = 1, 2, \ldots, n),$$

其中，$\mathbf{x}_i = (x_{i1}, \ldots, x_{iK})'$；$\boldsymbol{\beta} = (\beta_1, \ldots, \beta_K)'$ 是待估计的未知参数；ε_i 是不可观测的误差项。

假设 2.2*：（遍历平稳）

$$(K+1)\text{-维向量随机过程 } \{y_i, \mathbf{x}_i\} \text{ 满足联合遍历平稳。}$$

假设 2.3*：（前定（predetermined）假设）所有解释变量都是前定的，即，解释变量与同期的误差项满足正交性：

$$\text{对所有的 } i \in \{1, \ldots, n\} \text{ 和 } k \in \{1, 2, \ldots, K\}, \quad \mathbb{E}(x_{ik}\varepsilon_i) = 0,$$

表示为向量形式为：

$$\mathbb{E}[\mathbf{x}_i \cdot (y_i - \mathbf{x}_i'\boldsymbol{\beta})] = \mathbf{0},$$

或 $\mathbb{E}(\mathbf{g}_i) = \mathbf{0}$，其中，$\mathbf{g}_i \equiv \mathbf{x}_i \cdot \varepsilon_i$。

假设 2.4*：（秩条件）

$$K \times K \text{ 维矩阵 } \boldsymbol{\Sigma}_{\mathbf{xx}} = \mathbb{E}(\mathbf{x}_i\mathbf{x}_i') \text{ 是有限的非奇异阵。}$$

假设 2.5*：（鞅差假设）

$$\{\mathbf{g}_i\} \text{ 是鞅差序列，} K \times K \text{ 维矩阵 } \mathbf{S} = \mathbb{E}(\mathbf{g}_i\mathbf{g}_i') \text{ 非奇异。}$$

关于假设的说明

因为本节中对古典假设的放松主要是针对时间序列数据，所以，我们可以把变量的下标 i 理解成时间。例如，在假设 2.2* 中，我们称 $\{y_i, \mathbf{x}_i\}_{i=1}^n$ 为随机过程；在假设 2.5* 中，我们要求 $\{\mathbf{g}_i\}$ 是鞅差序列。如果将 i 换成 t，这些表述较容易理解，我们这里沿用 i 的原因是为了本章的符号统一。

假设 2.2* 要求 $\{y_i, \mathbf{x}_i\}$ 是遍历平稳的，因此，$\varepsilon_i = y_i - \mathbf{x}_i'\boldsymbol{\beta}$ 也是遍历平稳的。由平稳性的定义，若 ε_i 存在有限的二阶矩 $\mathbb{E}(\varepsilon_i^2)$，则 $\mathbb{E}(\varepsilon_i^2)$ 对所有的 i 都相同，即，ε_i 满足无条件的同方差。但是，假设 2.2* 允许 ε_i 存在条件异方差。例如，假设 $\varepsilon_i = \sigma(\mathbf{x}_i)\eta_i$，其中，$\{\eta_i\}$ 满足 i.i.d.、独立于 $\mathbf{x}_i$ 且期望为 0。于是，我们有：

$$\mathbb{E}(\varepsilon_i^2) = \mathbb{E}[\sigma^2(\mathbf{x}_i)\eta_i^2] = \mathbb{E}[\sigma^2(\mathbf{x}_i)]\mathbb{E}(\eta_i^2),$$

其中，第二个等号成立用到了 $\{\eta_i\}$ 与 $\mathbf{x}_i$ 相互独立。由 $\mathbf{x}_i$ 的平稳性和 η_i 满足 i.i.d.，我们有 $\mathbb{E}(\varepsilon_i^2)$ 与 i 无关。但是，

$$\mathbb{E}(\varepsilon_i^2 \mid \mathbf{x}_i) = \mathbb{E}(\sigma^2(\mathbf{x}_i)\eta_i^2 \mid \mathbf{x}_i) = \sigma^2(\mathbf{x}_i)\mathbb{E}(\eta_i^2).$$

因此，$\mathbb{E}(\varepsilon_i^2 \mid \mathbf{x}_i)$ 随着 $\mathbf{x}_i$ 的变化而变化。

在假设 2.3* 中，我们放松了严格外生假设，要求 $\mathbb{E}(x_{ik}\varepsilon_i) = 0$。严格外生性假设对时间序列数据通常是不成立的，但是，假设 2.3* 适用于时间序列数据。“前定”假设指解释变量与同期的误差项正交，但是时间序列模型中的解释变量一般是被解释变量的滞后期，因此，“前定”假设要求 i 期误差项与滞后期的被解释变量正交。此假设的合理性就在于滞后期的被解释变量是“事先”确定的，与未来期的误差项不相关。例如，考虑如下一阶自回归模型：

$$y_i = \beta_0 + \beta_1 y_{i-1} + \varepsilon_i.$$

在此模型中 $x_{i2} = y_{i-1}$，$\mathbb{E}(x_{i2}\varepsilon_i) = 0$ 等价于 $\mathbb{E}(y_{i-1}\varepsilon_i) = 0$；同时，若回归有常数项，假设 2.3* 保证了 $\mathbb{E}(\varepsilon_i) = 0$。因此，假设 2.3* 实际上要求 y_{i-1} 和 ε_i 不相关。直观上，y_{i-1} 是 $i-1$ 期的观测数据，而 ε_i 是 i 期数据的随机扰动项，两者之间不存在相关性是符合常理的。

秩条件假设 2.4* 要求 $\mathbb{E}(\mathbf{x}_i\mathbf{x}_i')$ 是有限的非奇异矩阵，同时，由遍历定理 B.7，我们有：

$$\mathbf{S}_{\mathbf{xx}} \equiv \frac{1}{n}\sum_{i=1}^n \mathbf{x}_i\mathbf{x}_i' \underset{a.s.}{\to} \mathbb{E}(\mathbf{x}_i\mathbf{x}_i') = \boldsymbol{\Sigma}_{\mathbf{xx}}.$$

注意到 $\mathbf{S}_{\mathbf{xx}}$ 还可以表示为 $\mathbf{X}'\mathbf{X}/n$，于是，$\mathbf{X}'\mathbf{X}/n$ 依概率 1 收敛到 $\boldsymbol{\Sigma}_{\mathbf{xx}}$。因为 $\mathbf{X}'\mathbf{X}/n$ 非奇异当且仅当 $\operatorname{rank}(\mathbf{X}) = K$，所以，无完全共线性假设 2.3 渐近成立。

假设 2.5* 要求 $\{\mathbf{g}_i\}$ 是鞅差序列，由附录 B.4 中关于鞅差序列的定义和简单迭代期望律，我们有 $\mathbb{E}(\mathbf{g}_i) = \mathbf{0}$，因此，假设 2.5* 强于假设 2.3*。在下一小节我们将要看到，保证

最小二乘估计量一致性的核心假设是假设 2.3*，但是为了建立大样本下的统计推断理论，我们需要利用假设 2.5* 证明最小二乘估计量的渐近正态性。在小样本下，我们通过假设误差项服从正态分布推导出 t 统计量和 F 统计量的精确分布；在大样本下，我们放松了正态假设，通过最小二乘估计量的渐近正态性推出各个假设检验统计量的渐近分布。假设 2.5* 的一个充分条件是：

$$\mathbb{E}(\varepsilon_i \mid \varepsilon_{i-1}, \varepsilon_{i-2}, \ldots, \varepsilon_1, \mathbf{x}_i, \mathbf{x}_{i-1}, \ldots, \mathbf{x}_1) = 0. \tag{2.34}$$

在条件信息集中我们加入了滞后期的误差项以及同期和滞后期的解释变量。从此条件可以推出误差项无自相关，而且误差项与同期和滞后期的解释变量也不相关。

如果回归中有常数项，由假设 2.5* 可以得到：

$$\mathbb{E}(\varepsilon_i \mid \mathbf{g}_{i-1}, \mathbf{g}_{i-2}, \ldots, \mathbf{g}_1) = 0.$$

再由迭代期望律，我们有：

$$\mathbb{E}(\varepsilon_i \mid \varepsilon_{i-1}, \varepsilon_{i-2}, \ldots, \varepsilon_1) = 0.$$

因此，在有常数项的回归中，假设 2.5* 成立的必要条件是 $\{\varepsilon_i\}$ 是鞅差序列。鞅差序列的一个重要性质是它不存在自相关。事实上，对任意的整数 $j > 0$，我们有：

$$\begin{aligned}
\mathrm{Cov}(\mathbf{g}_i, \mathbf{g}_{i-j}) &= \mathbb{E}(\mathbf{g}_i \mathbf{g}_{i-j}') && (\text{因为 } \mathbb{E}(\mathbf{g}_i) = \mathbf{0}) \\
&= \mathbb{E}\left[\mathbb{E}\left(\mathbf{g}_i \mathbf{g}_{i-j}' \mid \mathbf{g}_{i-j}\right)\right] && (\text{由迭代期望律}) \\
&= \mathbb{E}\left[\mathbb{E}\left(\mathbf{g}_i \mid \mathbf{g}_{i-j}\right) \mathbf{g}_{i-j}'\right] && (\text{由定理 1.3}) \\
&= \mathbb{E}\left\{\mathbb{E}\left[\mathbb{E}\left(\mathbf{g}_i \mid \mathscr{F}_{i-1}\right) \mid \mathbf{g}_{i-j}\right] \mathbf{g}_{i-j}'\right\} && (\mathscr{F}_{i-1} \text{ 包含 } \mathbf{g}_{i-j}) \\
&= \mathbf{0}, && (\text{根据鞅差的定义，} \mathbb{E}\left(\mathbf{g}_i \mid \mathscr{F}_{i-1}\right) = \mathbf{0})
\end{aligned}$$

其中，$\mathscr{F}_{i-1} = (\mathbf{g}_{i-1}, \mathbf{g}_{i-2}, \ldots, \mathbf{g}_1)$。所以，若 $\{\varepsilon_i\}$ 存在自相关，则假设 2.5* 不成立。我们将在第 3 章讨论如何检验 $\{\varepsilon_i\}$ 是否存在自相关。

最小二乘估计的大样本性质

最小二乘的大样本性质是样本量 n 趋于无穷才成立的性质，为了理解大样本性质的含义，我们应该把最小二乘估计量 $\hat{\boldsymbol{\beta}}_{ols}$ 看成是与样本量 n 有关的随机变量。在大样本下，我们有如下结论：

定理 2.9. 最小二乘估计量的大样本性质

(a) (一致性) 若假设 2.1*-2.4* 成立，$\operatorname*{plim}_{n\to\infty} \hat{\boldsymbol{\beta}}_{ols} = \boldsymbol{\beta}$；

(b) (渐近正态性) 若将 (a) 中假设 2.3* 加强为假设 2.5*，则有：当 $n \to \infty$ 时，

$$\sqrt{n}(\hat{\boldsymbol{\beta}}_{ols} - \boldsymbol{\beta}) \underset{d}{\to} \mathcal{N}(\mathbf{0}, \mathrm{Avar}(\hat{\boldsymbol{\beta}}_{ols})), \tag{2.35}$$

其中，

$$\mathrm{Avar}(\hat{\boldsymbol{\beta}}_{ols}) = \boldsymbol{\Sigma}_{\mathbf{xx}}^{-1} \mathbf{S} \boldsymbol{\Sigma}_{\mathbf{xx}}^{-1}.$$

(c) 假设存在 $\mathbf{S}$ 的一致估计量 $\hat{\mathbf{S}}$，则，在假设 2.2* 成立的情况下，$\mathrm{Avar}(\hat{\boldsymbol{\beta}}_{ols})$ 的一

致估计量为：

$$\widehat{\mathrm{Avar}(\hat{\boldsymbol{\beta}}_{ols})} = \mathbf{S}_{\mathbf{xx}}^{-1}\hat{\mathbf{S}}\mathbf{S}_{\mathbf{xx}}^{-1},$$

其中，

$$\mathbf{S}_{\mathbf{xx}} \equiv \frac{1}{n}\sum_{i=1}^{n}\mathbf{x}_i\mathbf{x}_i' = \frac{1}{n}\mathbf{X}'\mathbf{X}.$$

♡

证明 (a) 由式 (2.17)，我们有：

$$\begin{aligned}\hat{\boldsymbol{\beta}}_{ols} - \boldsymbol{\beta} &= \left(\frac{1}{n}\mathbf{X}'\mathbf{X}\right)^{-1}\left(\frac{1}{n}\mathbf{X}'\boldsymbol{\varepsilon}\right) = \left(\frac{1}{n}\sum_{i=1}^{n}\mathbf{x}_i\mathbf{x}_i'\right)^{-1}\left(\frac{1}{n}\sum_{i=1}^{n}\mathbf{x}_i\cdot\varepsilon_i\right) \\ &\equiv \mathbf{S}_{\mathbf{xx}}^{-1}\bar{\mathbf{g}}, \end{aligned} \tag{2.36}$$

其中，$\bar{\mathbf{g}} = \frac{1}{n}\sum_{i=1}^{n}\mathbf{x}_i\cdot\varepsilon_i$。由假设 2.2*，$\{\mathbf{x}_i\mathbf{x}_i'\}$ 是遍历平稳的，所以，由遍历定理 B.7，$\mathbf{S}_{\mathbf{xx}} \underset{p}{\to} \boldsymbol{\Sigma}_{\mathbf{xx}}$。再由假设 2.4*，$\boldsymbol{\Sigma}_{\mathbf{xx}}$ 是可逆的，根据连续映射定理 B.3，[12] 我们有：$\mathbf{S}_{\mathbf{xx}}^{-1} \underset{p}{\to} \boldsymbol{\Sigma}_{\mathbf{xx}}^{-1}$。

类似地，$\bar{\mathbf{g}} \underset{p}{\to} \mathbb{E}(\mathbf{g}_i) = \mathbf{0}$，于是，再由连续映射定理 B.3，$\mathbf{S}_{\mathbf{xx}}^{-1}\bar{\mathbf{g}} \underset{p}{\to} \boldsymbol{\Sigma}_{\mathbf{xx}}^{-1}\mathbf{0} = \mathbf{0}$。所以，$\operatorname*{plim}_{n\to\infty}\hat{\boldsymbol{\beta}}_{ols} = \boldsymbol{\beta}$。

(b) 由式 (2.36)，

$$\sqrt{n}(\hat{\boldsymbol{\beta}}_{ols} - \boldsymbol{\beta}) = \mathbf{S}_{\mathbf{xx}}^{-1}(\sqrt{n}\bar{\mathbf{g}}).$$

由假设 2.5* 和遍历平稳鞅差序列的中心极限定理 B.8，

$$\sqrt{n}\bar{\mathbf{g}} \underset{d}{\to} \mathcal{N}(\mathbf{0}, \mathbf{S}).$$

于是，由 Slutsky 定理 B.4，$\sqrt{n}(\hat{\boldsymbol{\beta}}_{ols} - \boldsymbol{\beta}) \underset{d}{\to} \mathcal{N}(\mathbf{0}, \mathrm{Avar}(\hat{\boldsymbol{\beta}}_{ols}))$。

(c) 因为 $\mathbf{S}_{\mathbf{xx}} \underset{p}{\to} \boldsymbol{\Sigma}_{\mathbf{xx}}$ 和 $\hat{\mathbf{S}} \underset{p}{\to} \mathbf{S}$，由连续映射定理 B.3，我们有：$\widehat{\mathrm{Avar}(\hat{\boldsymbol{\beta}}_{ols})} \underset{p}{\to} \mathrm{Avar}(\hat{\boldsymbol{\beta}}_{ols})$。 □

定理 2.9 的结论 (a) 告诉我们最小二乘估计量是一致的，假设 2.3* 在一致性的证明中起到关键作用。值得说明的是，虽然严格外生性假设 2.2 强于假设 2.3*，但是由假设 2.2 保证的最小二乘估计量的无偏性和一致性没有强弱之分，也就是说，无偏性推不出一致性，当然一致性也推不出无偏性。我们通常说无偏性是一个很强的结论是指它对任意的 n ($\geqslant K$) 都成立，并非指它是比一致性更强的结论。例如，假设 $\mathrm{x}_i \overset{i.i.d.}{\sim} \mathcal{N}(\mu, \sigma^2)$，$i = 1, \ldots, n$。我们首先考虑期望 μ 的估计量 $\hat{\mu}_n = \mathrm{x}_1$，因为 $\mathbb{E}(\hat{\mu}_n) = \mathbb{E}(\mathrm{x}_1) = \mu$，所以 $\hat{\mu}_n$ 是无偏估计量；但是，$\mathrm{x}_1 \sim \mathcal{N}(\mu, \sigma^2)$，因此，$\hat{\mu}_n$ 不是一致估计量。我们再考虑方差 σ^2 的估计量，我们知道 $\frac{1}{n}\sum_{i=1}^{n}(\mathrm{x}_i - \bar{\mathrm{x}})^2$ 是 σ^2 的一致估计量，但是它不是 σ^2 的无偏估计量。

在定理 2.9 的 (c) 中，我们假设存在 $\mathbf{S}$ 的一致估计量 $\hat{\mathbf{S}}$，因为，

$$\mathbf{S} = \mathbb{E}(\mathbf{g}_i\mathbf{g}_i') = \mathbb{E}(\varepsilon_i^2\mathbf{x}_i\mathbf{x}_i'),$$

[12] 矩阵求逆是连续函数，参见 Bredon (2013) 第 53 页。

一个自然的想法是令

$$\hat{\mathbf{S}} \equiv \frac{1}{n}\sum_{i=1}^{n} e_i^2 \mathbf{x}_i \mathbf{x}_i',$$

即用残差 e_i 代替不可观测的 ε_i。为了证明 $\hat{\mathbf{S}}$ 是 $\mathbf{S}$ 的一致估计量，我们需要如下关于解释变量四阶矩的假设：

假设 2.6*：（解释变量四阶矩有限）对所有的 $k, j = 1, 2, \ldots, K$，$\mathbb{E}[(x_{ik}x_{ij})^2]$ 存在且有限。

定理 2.10. S 的一致估计

假设 $\mathbf{S} = \mathbb{E}(\mathbf{g}_i\mathbf{g}_i')$ 存在且有限。若假设 2.1*，2.2* 和 2.6* 成立，则 $\hat{\mathbf{S}}$ 是 $\mathbf{S}$ 的一致估计量。 ♡

证明 注意到

$$e_i = y_i - \mathbf{x}_i'\hat{\boldsymbol{\beta}}_{ols} = y_i - \mathbf{x}_i'\boldsymbol{\beta} - \mathbf{x}_i'(\hat{\boldsymbol{\beta}}_{ols} - \boldsymbol{\beta}) = \varepsilon_i - \mathbf{x}_i'(\hat{\boldsymbol{\beta}}_{ols} - \boldsymbol{\beta}),$$

于是，

$$e_i^2 = \varepsilon_i^2 - 2(\hat{\boldsymbol{\beta}}_{ols} - \boldsymbol{\beta})'\mathbf{x}_i \cdot \varepsilon_i + (\hat{\boldsymbol{\beta}}_{ols} - \boldsymbol{\beta})'\mathbf{x}_i\mathbf{x}_i'(\hat{\boldsymbol{\beta}}_{ols} - \boldsymbol{\beta}). \tag{2.37}$$

我们考虑矩阵 $\hat{\mathbf{S}}$ 在 (l, m) 位置上的元素，$(l, m = 1, 2, \ldots, K)$，我们有：

$$\begin{aligned}
\hat{\mathbf{S}}_{lm} &\equiv \frac{1}{n}\sum_{i=1}^{n} e_i^2 x_{il}x_{im} \\
&= \frac{1}{n}\sum_{i=1}^{n} \varepsilon_i^2 x_{il}x_{im} - 2(\hat{\boldsymbol{\beta}}_{ols} - \boldsymbol{\beta})'\left(\frac{1}{n}\sum_{i=1}^{n} \mathbf{x}_i \cdot x_{il}x_{im}\varepsilon_i\right) \\
&\quad + (\hat{\boldsymbol{\beta}}_{ols} - \boldsymbol{\beta})'\left(\frac{1}{n}\sum_{i=1}^{n} \mathbf{x}_i\mathbf{x}_i' x_{il}x_{im}\right)(\hat{\boldsymbol{\beta}}_{ols} - \boldsymbol{\beta}).
\end{aligned}$$

由柯西-施瓦茨不等式 (A.1)、假设 2.6* 和假设 2.2*，$\frac{1}{n}\sum_{i=1}^{n} \mathbf{x}_i \cdot x_{il}x_{im}\varepsilon_i$ 依概率收敛到有限值，例如，考虑此向量的第 k 个元素 $\frac{1}{n}\sum_{i=1}^{n} x_{ik} \cdot x_{il}x_{im}\varepsilon_i$，我们有：

$$\mathbb{E}(x_{ik} \cdot x_{il}x_{im}\varepsilon_i) \leqslant \mathbb{E}(|x_{ik} \cdot x_{il}x_{im}\varepsilon_i|) \leqslant \sqrt{\mathbb{E}(x_{ik}^2 x_{il}^2)\mathbb{E}(x_{im}^2\varepsilon_i^2)} < \infty,$$

其中，$\mathbb{E}(x_{ik}^2 x_{il}^2) < \infty$ 我们用到了假设 2.6*，而 $\mathbb{E}(x_{im}^2\varepsilon_i^2) < \infty$ 我们用到了 $\mathbf{S}$ 存在且有限。所以，由遍历定理 B.7 可知 $\frac{1}{n}\sum_{i=1}^{n} x_{ik} \cdot x_{il}x_{im}\varepsilon_i$ 收敛到 $\mathbb{E}(x_{ik} \cdot x_{il}x_{im}\varepsilon_i)$。同理，$\frac{1}{n}\sum_{i=1}^{n} \mathbf{x}_i\mathbf{x}_i' x_{il}x_{im}$ 也依概率收敛到有限值。又因为 $\hat{\boldsymbol{\beta}}_{ols}$ 是一致估计量，$\hat{\boldsymbol{\beta}}_{ols} - \boldsymbol{\beta}$ 依概率收敛到 $\mathbf{0}$，于是，由连续映射定理 B.3 和遍历定理 B.7，

$$\hat{\mathbf{S}}_{lm} \underset{p}{\to} \mathbb{E}(\varepsilon_i^2 x_{il}x_{im}) = \mathbf{S}_{lm},$$

即，$\hat{\mathbf{S}}$ 的 (l, m) 位置上的元素依概率收敛到 $\mathbf{S}$ 的 (l, m) 位置上的元素，则有 $\hat{\mathbf{S}} \underset{p}{\to} \mathbf{S}$。□

大样本统计推断

多元线性回归的大样本统计推断基于在原假设成立的情况下检验统计量的渐近分布。我们首先讨论线性假设检验，有如下结论：

定理 2.11. 稳健的 t 统计量和 Wald 统计量

若假设 2.1*-2.6* 成立，则有，

(a) 在原假设 $\mathbb{H}_0: \beta_k = \beta_k^0$ 成立的情况下，

$$t_k \equiv \frac{\sqrt{n}(\hat{\beta}_{k,ols} - \beta_k^0)}{\sqrt{\widehat{\mathrm{Avar}}(\hat{\beta}_{k,ols})}} = \frac{\hat{\beta}_{k,ols} - \beta_k^0}{SE^*(\hat{\beta}_{k,ols})} \underset{d}{\to} \mathcal{N}(0,1), \tag{2.38}$$

其中，$\widehat{\mathrm{Avar}}(\hat{\beta}_{k,ols})$ 是 $\widehat{\mathrm{Avar}}(\hat{\boldsymbol{\beta}}_{ols})$ 第 (k,k) 位置上的元素，并且

$$SE^*(\hat{\beta}_{k,ols}) \equiv \sqrt{\frac{1}{n} \cdot \widehat{\mathrm{Avar}}(\hat{\beta}_{k,ols})} = \sqrt{\frac{1}{n} \cdot \left(\mathbf{S}_{\mathbf{xx}}^{-1}\hat{\mathbf{S}}\mathbf{S}_{\mathbf{xx}}^{-1}\right)_{kk}}. \tag{2.39}$$

$SE^*(\hat{\beta}_{k,ols})$ 称为异方差一致标准误（heteroskedasticity-consistent standard error），或异方差稳健标准误（heteroskedasticity-robust standard error），或 White 标准误；

(b) 令 $\mathbf{R}$ 是 $J \times K$ 维的行满秩矩阵，在原假设 $\mathbb{H}_0: \mathbf{R}\boldsymbol{\beta} = \mathbf{r}$ 成立的情况下，

$$W \equiv n \cdot (\mathbf{R}\hat{\boldsymbol{\beta}}_{ols} - \mathbf{r})' \left\{\mathbf{R}[\widehat{\mathrm{Avar}}(\hat{\boldsymbol{\beta}}_{ols})]\mathbf{R}'\right\}^{-1} (\mathbf{R}\hat{\boldsymbol{\beta}}_{ols} - \mathbf{r}) \underset{d}{\to} \chi^2(J). \tag{2.40}$$

♡

证明 (a) 由式 (2.35)，

$$\sqrt{n}(\hat{\beta}_{k,ols} - \beta_k^0) \underset{d}{\to} \mathcal{N}(0, \mathrm{Avar}(\hat{\beta}_{k,ols})).$$

同时，由定理 2.9 的 (c)，我们有：

$$\widehat{\mathrm{Avar}}(\hat{\beta}_{k,ols}) \underset{p}{\to} \mathrm{Avar}(\hat{\beta}_{k,ols}).$$

于是，由 Slutsky 定理 B.4，

$$t_k \equiv \frac{\sqrt{n}(\hat{\beta}_{k,ols} - \beta_k^0)}{\sqrt{\widehat{\mathrm{Avar}}(\hat{\beta}_{k,ols})}} \underset{d}{\to} \mathcal{N}(0,1).$$

(b) 注意到，W 可以表示为：

$$W = \mathbf{c}_n'\mathbf{Q}_n^{-1}\mathbf{c}_n, \quad \text{其中} \quad \mathbf{c}_n \equiv \sqrt{n}(\mathbf{R}\hat{\boldsymbol{\beta}}_{ols} - \mathbf{r}), \mathbf{Q}_n \equiv \mathbf{R}\widehat{\mathrm{Avar}}(\hat{\boldsymbol{\beta}}_{ols})\mathbf{R}'.$$

在 $\mathbb{H}_0$ 成立的情况下，$\mathbf{c}_n = \mathbf{R}\sqrt{n}(\hat{\boldsymbol{\beta}}_{ols} - \boldsymbol{\beta})$。因此，由式 (2.35)，

$$\mathbf{c}_n \underset{d}{\to} \mathbf{c} \quad \text{其中} \quad \mathbf{c} \sim \mathcal{N}(\mathbf{0}, \mathbf{R}\mathrm{Avar}(\hat{\boldsymbol{\beta}}_{ols})\mathbf{R}').$$

此外，

$$\mathbf{Q}_n \underset{p}{\to} \mathbf{Q} \quad \text{其中} \quad \mathbf{Q} \equiv \mathbf{R}\mathrm{Avar}(\hat{\boldsymbol{\beta}}_{ols})\mathbf{R}'.$$

因为 $\mathbf{R}$ 行满秩并且 $\mathrm{Avar}(\hat{\boldsymbol{\beta}}_{ols})$ 正定，所以 $\mathbf{Q}$ 可逆。于是，由 (B.8)，我们有：

$$W \underset{d}{\to} \mathbf{c}'\mathbf{Q}^{-1}\mathbf{c}.$$

因为 $J \times 1$ 维随机向量 $\mathbf{c}$ 服从正态分布，期望是 $\mathbf{0}$，协方差矩阵是 $\mathbf{Q}$，所以，

$$\mathbf{c}'\mathbf{Q}^{-1}\mathbf{c} \sim \chi^2(J).$$

□

在前文我们提到，满足假设 2.1*-2.6* 的 DGP 的误差项是可以存在条件异方差的，但是在假设 2.6* 下，误差项不存在自相关。因此，定理 2.11 中给出的标准误 (2.39) 适用于

误差项存在条件异方差的情况，但是不能用于误差项存在自相关的情况。

基于异方差稳健 t 统计量的假设检验的具体步骤如下：

1. 根据原假设 $\mathbb{H}_0$ 中参数的具体取值 β_k^0 计算由式 (2.38) 定义的 t 统计量；
2. 通过统计软件计算标准正态分布的临界值 $t_{\alpha/2}$（也可以通过查表的方式找到临界值），$t_{\alpha/2}$ 满足标准正态分布在此临界值右侧的阴影面积为 $\alpha/2$；
3. 如果第一步计算的 t_k 满足 $|t_k| < t_{\alpha/2}$，则接受 $\mathbb{H}_0$；否则，拒绝 $\mathbb{H}_0$。

基于 Wald 统计量 W 的假设检验的具体步骤如下：

1. 根据式 (2.40) 计算 Wald 统计量；
2. 通过统计软件计算 $\chi^2(J)$ 的临界值 $\chi^2_\alpha(J)$（也可以通过查表的方式找到临界值），$\chi^2_\alpha(J)$ 满足自由度为 J 的卡方分布在此临界值右侧的阴影面积为 α；
3. 如果第一步计算的 W 统计量满足 $W < \chi^2_\alpha(J)$，则接受 $\mathbb{H}_0$；否则，拒绝 $\mathbb{H}_0$。

与小样本统计推断不同，基于渐近分布的假设检验的真实显著性水平随着 n 的增大会越来越接近名义的显著性水平 α，而对固定的 n，真实的显著性水平一般不等于 α。

在大样本下，我们还可以检验关于 $\boldsymbol{\beta}$ 的非线性原假设 $\mathbb{H}_0 : \mathbf{a}(\boldsymbol{\beta}) = \mathbf{0}$，其中，$\mathbf{a}(\cdot)$ 是 $J \times 1$ 维的向量值函数且具有连续的一阶导。我们有如下结论：

定理 2.12. β 的非线性假设检验

令 $\mathbf{a}(\boldsymbol{\beta})$ 是 $J \times 1$ 维的向量值函数，具有连续的一阶导，记 $\mathbf{a}(\boldsymbol{\beta})$ 的一阶导在 $\boldsymbol{\beta}$ 处的取值为 $\mathbf{A}(\boldsymbol{\beta}) = \partial \mathbf{a}(\boldsymbol{\beta})/\partial \boldsymbol{\beta}'$。若假设 2.1*-2.6* 成立，且 $\mathbf{A}(\boldsymbol{\beta})$ 行满秩，在原假设 $\mathbb{H}_0 : \mathbf{a}(\boldsymbol{\beta}) = \mathbf{0}$ 成立的情况下，我们有：

$$W \equiv n \cdot \mathbf{a}(\hat{\boldsymbol{\beta}}_{ols})' \left\{ \mathbf{A}(\hat{\boldsymbol{\beta}}_{ols}) \widehat{\mathrm{Avar}(\hat{\boldsymbol{\beta}}_{ols})} \mathbf{A}(\hat{\boldsymbol{\beta}}_{ols})' \right\}^{-1} \mathbf{a}(\hat{\boldsymbol{\beta}}_{ols}) \underset{d}{\to} \chi^2(J).$$

♡

证明 由式 (2.35) 和 Delta 方法 B.5，我们有：

$$\sqrt{n}\left[\mathbf{a}(\hat{\boldsymbol{\beta}}_{ols}) - \mathbf{a}(\boldsymbol{\beta})\right] \underset{d}{\to} \mathbf{c}, \quad \mathbf{c} \sim \mathcal{N}(\mathbf{0}, \mathbf{A}(\boldsymbol{\beta})\mathrm{Avar}(\hat{\boldsymbol{\beta}}_{ols})\mathbf{A}(\boldsymbol{\beta})').$$

若 $\mathbb{H}_0$ 成立，则有：

$$\sqrt{n}\mathbf{a}(\hat{\boldsymbol{\beta}}_{ols}) \underset{d}{\to} \mathbf{c}, \quad \mathbf{c} \sim \mathcal{N}(\mathbf{0}, \mathbf{A}(\boldsymbol{\beta})\mathrm{Avar}(\hat{\boldsymbol{\beta}}_{ols})\mathbf{A}(\boldsymbol{\beta})').$$

因为 $\hat{\boldsymbol{\beta}}_{ols} \underset{p}{\to} \boldsymbol{\beta}$，由连续映射定理 B.3，$\mathbf{A}(\hat{\boldsymbol{\beta}}_{ols}) \underset{p}{\to} \mathbf{A}(\boldsymbol{\beta})$。因此，

$$\mathbf{A}(\hat{\boldsymbol{\beta}}_{ols})\widehat{\mathrm{Avar}(\hat{\boldsymbol{\beta}}_{ols})}\mathbf{A}(\hat{\boldsymbol{\beta}}_{ols})' \underset{p}{\to} \mathbf{A}(\boldsymbol{\beta})\mathrm{Avar}(\hat{\boldsymbol{\beta}}_{ols})\mathbf{A}(\boldsymbol{\beta})' = \mathrm{Var}(\mathbf{c}).$$

又因此 $\mathbf{A}(\boldsymbol{\beta})$ 行满秩且 $\mathrm{Avar}(\hat{\boldsymbol{\beta}}_{ols})$ 正定，所以，$\mathrm{Var}(\mathbf{c})$ 可逆。于是，

$$\sqrt{n}\mathbf{a}(\hat{\boldsymbol{\beta}}_{ols})' \left\{ \mathbf{A}(\hat{\boldsymbol{\beta}}_{ols})\widehat{\mathrm{Avar}(\hat{\boldsymbol{\beta}}_{ols})}\mathbf{A}(\hat{\boldsymbol{\beta}}_{ols})' \right\}^{-1} \sqrt{n}\mathbf{a}(\hat{\boldsymbol{\beta}}_{ols}) \underset{d}{\to} \mathbf{c}'\mathrm{Var}(\mathbf{c})^{-1}\mathbf{c} \sim \chi^2(J).$$

□

需要指出的是 Wald 统计量在固定样本量 n 时的真实显著性水平受原假设的函数形式影响。若原假设既可以表示成线性形式又可以表示成非线性形式，我们要尽可能的使用线性形式进行假设检验。例如：若想要检验的原假设为 $\mathbb{H}_0 : \frac{\beta_1}{\beta_2} = \theta_0$，我们应该将其转换为 $\mathbb{H}_0 : \beta_1 - \theta_0\beta_2 = 0$。

同方差假设下的大样本统计推断

为了与小样本的统计推断理论进行比较，本节讨论同方差假设下的大样本统计推断。为此，我们施加如下假设：

假设 2.7*：（条件同方差） $\mathbb{E}(\varepsilon_i^2 \mid \mathbf{x}_i) = \sigma^2 > 0$。

我们首先给出 σ^2 的一个一致估计量：

定理 2.13. σ^2 的一致估计

令 $e_i \equiv y_i - \mathbf{x}_i'\hat{\boldsymbol{\beta}}_{ols}$ 是观测 i 的 OLS 残差。若假设 2.1*-2.4* 成立，

$$s^2 \equiv \frac{1}{n-K}\sum_{i=1}^{n} e_i^2 \underset{p}{\to} \mathbb{E}(\varepsilon_i^2) = \sigma^2.$$

♡

证明 因为

$$s^2 = \frac{n}{n-K}\left(\frac{1}{n}\sum_{i=1}^{n} e_i^2\right),$$

所以我们只需证明 e_i^2 的样本均值依概率收敛到 $\mathbb{E}(\varepsilon_i^2)$。对式 (2.37) 等号两端取样本均值得到：

$$\frac{1}{n}\sum_{i=1}^{n} e_i^2 = \frac{1}{n}\sum_{i=1}^{n} \varepsilon_i^2 - 2(\hat{\boldsymbol{\beta}}_{ols} - \boldsymbol{\beta})'\bar{\mathbf{g}} + (\hat{\boldsymbol{\beta}}_{ols} - \boldsymbol{\beta})'\mathbf{S}_{\mathbf{xx}}(\hat{\boldsymbol{\beta}}_{ols} - \boldsymbol{\beta}).$$

由最小二乘估计量的一致性、假设 2.2*-2.3* 和遍历定理 B.7 易知：

$$\operatorname{plim}(\frac{1}{n}\sum_{i=1}^{n} e_i^2) = \operatorname{plim}(\frac{1}{n}\sum_{i=1}^{n} \varepsilon_i^2) = \mathbb{E}(\varepsilon_i^2).$$

□

有了 σ^2 的一致估计，我们可以证明如下结论：

定理 2.14. 同方差假设下的大样本假设检验

若假设 2.1*-2.5* 和假设 2.7* 成立，则有：

(a) 最小二乘估计量 $\hat{\boldsymbol{\beta}}_{ols}$ 一致且渐近服从正态分布，其渐近方差为 $\operatorname{Avar}(\hat{\boldsymbol{\beta}}_{ols}) = \sigma^2\boldsymbol{\Sigma}_{\mathbf{xx}}^{-1}$；

(b) $\operatorname{Avar}(\hat{\boldsymbol{\beta}}_{ols})$ 的一致估计量为 $\widehat{\operatorname{Avar}(\hat{\boldsymbol{\beta}}_{ols})} = s^2\mathbf{S}_{\mathbf{xx}}^{-1} = n \cdot s^2 \cdot (\mathbf{X}'\mathbf{X})^{-1}$；

(c) 在原假设 $\mathbb{H}_0 : \beta_k = \beta_k^0$ 下，小样本 t 统计量渐近服从标准正态分布；在原假设 $\mathbb{H}_0 : \mathbf{R}\boldsymbol{\beta} = \mathbf{r}$ 下，$J \cdot F$ 渐近服从 $\chi^2(J)$，其中，F 是小样本 F 统计量，J 是 $\mathbb{H}_0$ 中的约束个数。

♡

证明 (a) 若假设 2.7* 成立，我们有：

$$\mathbf{S} = \mathbb{E}(\mathbf{x}_i\mathbf{x}_i'\varepsilon_i^2) = \mathbb{E}[\mathbf{x}_i\mathbf{x}_i'\mathbb{E}(\varepsilon_i^2 \mid \mathbf{x}_i)] = \sigma^2\boldsymbol{\Sigma}_{\mathbf{xx}}.$$

所以，$\operatorname{Avar}(\hat{\boldsymbol{\beta}}_{ols}) = \boldsymbol{\Sigma}_{\mathbf{xx}}^{-1}\mathbf{S}\boldsymbol{\Sigma}_{\mathbf{xx}}^{-1} = \sigma^2\boldsymbol{\Sigma}_{\mathbf{xx}}^{-1}$。

(b) 由遍历定理 B.7，$\mathbf{S}_{\mathbf{xx}} \underset{p}{\to} \boldsymbol{\Sigma}_{\mathbf{xx}}$，所以，$\mathbf{S}_{\mathbf{xx}}^{-1} \underset{p}{\to} \boldsymbol{\Sigma}_{\mathbf{xx}}^{-1}$。再由定理 2.13，$s^2$ 是 σ^2 的一致估计量，于是，我们有：$s^2\mathbf{S}_{\mathbf{xx}}^{-1} \underset{p}{\to} \sigma^2\boldsymbol{\Sigma}_{\mathbf{xx}}^{-1}$。

(c) 小样本 t 统计量为

$$t_k \equiv \frac{\hat{\beta}_{k,ols} - \beta_k^0}{\sqrt{s^2 \cdot \left((\mathbf{X}'\mathbf{X})^{-1}\right)_{kk}}}.$$

稳健 t 统计量为

$$t_k = \frac{\hat{\beta}_{k,ols} - \beta_k^0}{SE^*(\hat{\beta}_{k,ols})},$$

其中，

$$SE^*(\hat{\beta}_{k,ols}) \equiv \sqrt{\frac{1}{n} \cdot \widehat{\mathrm{Avar}(\hat{\beta}_{k,ols})}} = \sqrt{s^2 \cdot \left((\mathbf{X}'\mathbf{X})^{-1}\right)_{kk}}.$$

于是，小样本 t 统计量与稳健 t 统计量相等，因此渐近服从标准正态分布。

类似地，

$$\begin{aligned}
W &= n \cdot (\mathbf{R}\hat{\boldsymbol{\beta}}_{ols} - \mathbf{r})' \left\{\mathbf{R}[\widehat{\mathrm{Avar}(\hat{\boldsymbol{\beta}}_{ols})}]\mathbf{R}'\right\}^{-1} (\mathbf{R}\hat{\boldsymbol{\beta}}_{ols} - \mathbf{r}) \\
&= n \cdot (\mathbf{R}\hat{\boldsymbol{\beta}}_{ols} - \mathbf{r})' \left\{\mathbf{R}[n \cdot s^2 \cdot (\mathbf{X}'\mathbf{X})^{-1}]\mathbf{R}'\right\}^{-1} (\mathbf{R}\hat{\boldsymbol{\beta}}_{ols} - \mathbf{r}) \\
&= (\mathbf{R}\hat{\boldsymbol{\beta}}_{ols} - \mathbf{r})' \left\{\mathbf{R}[(\mathbf{X}'\mathbf{X})^{-1}]\mathbf{R}'\right\}^{-1} (\mathbf{R}\hat{\boldsymbol{\beta}}_{ols} - \mathbf{r})/s^2 \\
&= J \cdot F \\
&= (RSS_R - RSS_U)/s^2.
\end{aligned}$$

于是，Wald 统计量 W 与 $J \cdot F$ 相等，因此，$J \cdot F$ 渐近服从 $\chi^2(J)$。 □

例 2.4 考虑例2.2中的解释变量的联合显著性检验。若条件同方差假设成立，式 (2.29) 已经证明：

$$F = \frac{R^2/(K-1)}{(1-R^2)/(n-K)}.$$

由上式，容易得到：

$$nR^2 = \frac{1}{\dfrac{n-K}{n} + \dfrac{1}{n}(K-1)F}(K-1)F.$$

由定理 2.14 中 (c) 的结论，$(K-1)F$ 依分布收敛，进而，$\frac{1}{n}(K-1)F \underset{p}{\to} 0$。[13] 于是，$nR^2$ 的渐近分布与 $(K-1)F$ 的渐近分布同为 $\chi^2(K-1)$。

（可行）广义最小二乘的大样本性质

为了讨论问题的方便，我们将假设 2.2* 和假设 2.5* 加强为 $\{y_i, \mathbf{x}_i\}$ 是 i.i.d. 的。我们考虑的条件二阶矩形式为式 (2.32)。

若 $\boldsymbol{\alpha}$ 已知，我们可以直接对数据进行转换得到如下回归方程：

$$\tilde{y}_i = \tilde{\mathbf{x}}_i'\boldsymbol{\beta} + \tilde{\varepsilon}_i, \tag{2.41}$$

其中，

$$\tilde{y}_i \equiv \frac{y_i}{\sqrt{\mathbf{z}_i'\boldsymbol{\alpha}}}, \quad \tilde{\mathbf{x}}_i \equiv \frac{\mathbf{x}_i}{\sqrt{\mathbf{z}_i'\boldsymbol{\alpha}}}, \quad \tilde{\varepsilon}_i \equiv \frac{\varepsilon_i}{\sqrt{\mathbf{z}_i'\boldsymbol{\alpha}}}.$$

[13] 见 Van der Vaart (2000) 中的定理 2.4。

对转换后的回归方程直接使用最小二乘得到如下加权最小二乘估计量：

$$\begin{aligned}\hat{\boldsymbol{\beta}}(\mathbf{V}) &\equiv \left(\frac{1}{n}\sum_{i=1}^{n}\tilde{\mathbf{x}}_i\tilde{\mathbf{x}}_i'\right)^{-1}\frac{1}{n}\sum_{i=1}^{n}\tilde{\mathbf{x}}_i\cdot\tilde{y}_i \\ &= \left(\mathbf{X}'\mathbf{V}^{-1}\mathbf{X}\right)^{-1}\mathbf{X}'\mathbf{V}^{-1}\mathbf{y},\end{aligned}$$

其中，$\mathbf{V}=\operatorname{diag}(\mathbf{z}_1'\boldsymbol{\alpha},\ldots,\mathbf{z}_n'\boldsymbol{\alpha})$。如果将假设 2.3* 加强为：

$$\mathbb{E}(\varepsilon_i\mid\mathbf{x}_i)=0,$$

则有 $\mathbb{E}(\tilde{\varepsilon}_i\mid\tilde{\mathbf{x}}_i)=0$。若再假设 $\mathbb{E}(\tilde{\mathbf{x}}_i\tilde{\mathbf{x}}_i')$ 非奇异，我们有式 (2.41) 满足假设 2.1*-2.5*；同时，$\tilde{\varepsilon}_i$ 满足条件同方差而且 $\sigma^2=1$，即，$\mathbb{E}(\tilde{\varepsilon}_i^2\mid\tilde{\mathbf{x}}_i)=1$。所以，由定理 2.14，$\hat{\boldsymbol{\beta}}(\mathbf{V})$ 一致且渐近正态，并且其渐近方差为：

$$\begin{aligned}\operatorname{Avar}(\hat{\boldsymbol{\beta}}(\mathbf{V})) &= \sigma^2\mathbb{E}(\tilde{\mathbf{x}}_i\tilde{\mathbf{x}}_i')^{-1} \\ &= \mathbb{E}(\tilde{\mathbf{x}}_i\tilde{\mathbf{x}}_i')^{-1} \\ &= \operatorname{plim}\left(\frac{1}{n}\sum_{i=1}^{n}\tilde{\mathbf{x}}_i\tilde{\mathbf{x}}_i'\right)^{-1}=\operatorname{plim}\left(\frac{1}{n}\mathbf{X}'\mathbf{V}^{-1}\mathbf{X}\right)^{-1}.\end{aligned}$$

若 $\boldsymbol{\alpha}$ 未知，我们需要将 e_i^2 对 $\mathbf{z}_i$ 进行回归去估计 $\boldsymbol{\alpha}$，可以证明这样得到的估计量 $\hat{\boldsymbol{\alpha}}$ 是 $\boldsymbol{\alpha}$ 的一致估计量（见习题 7.）。$\boldsymbol{\beta}$ 的 FGLS 估计量可以表示为 $\hat{\boldsymbol{\beta}}(\hat{\mathbf{V}})$，其中，$\hat{\mathbf{V}}=\operatorname{diag}(\mathbf{z}_1'\hat{\boldsymbol{\alpha}},\ldots,\mathbf{z}_n'\hat{\boldsymbol{\alpha}})$。通过施加一些适当的额外假设（见 Amemiya (1977)），我们可以证明：

- $\sqrt{n}(\hat{\boldsymbol{\beta}}(\mathbf{V})-\boldsymbol{\beta})$ 和 $\sqrt{n}(\hat{\boldsymbol{\beta}}(\hat{\mathbf{V}})-\boldsymbol{\beta})$ 渐近等价，$\sqrt{n}(\hat{\boldsymbol{\beta}}(\hat{\mathbf{V}})-\boldsymbol{\beta})$ 的渐近分布与 $\sqrt{n}(\hat{\boldsymbol{\beta}}(\mathbf{V})-\boldsymbol{\beta})$ 的渐近分布相同；
- $\operatorname{plim}\left(\frac{1}{n}\mathbf{X}'\hat{\mathbf{V}}^{-1}\mathbf{X}\right)^{-1}=\operatorname{plim}\left(\frac{1}{n}\mathbf{X}'\mathbf{V}^{-1}\mathbf{X}\right)^{-1}$，因此，$\left(\frac{1}{n}\mathbf{X}'\hat{\mathbf{V}}^{-1}\mathbf{X}\right)^{-1}$ 是 $\operatorname{Avar}(\hat{\boldsymbol{\beta}}(\hat{\mathbf{V}}))$ 的一致估计量。

由定理 2.8，我们知道 GLS 比 OLS 有效。在大样本情况下，若不存在对误差项条件二阶矩的误设，我们可以证明 FGLS 比 OLS 渐近有效，即，FGLS 估计量的渐近方差小于或等于 OLS 估计量的渐近方差（见习题 8.）。

使用异方差稳健标准误或者使用 FGLS 都可以处理误差项存在条件异方差的情况，实证分析中我们到底应该使用哪一个是值得讨论的问题。FGLS 的优点是它是渐近有效的，前提是我们要正确设定误差项条件二阶矩的函数形式。如果条件二阶矩的函数形式设置有误，虽然 FGLS 估计量仍然是一致的，但是它的渐近方差可能大于 OLS 的渐近方差。此外，即使在大样本情况下，模型误设会导致 FGLS 估计量的标准误和检验统计量失效。使用异方差稳健标准误的优点是我们不需要知道条件异方差的具体函数形式，但是，与正确设定了条件异方差函数形式的 FGLS 估计量的标准误相比，异方差稳健标准误不是有效的。

正确设定条件异方差的函数形式在实证分析中几乎是不可能的，因此，现在通常的做法是直接使用异方差稳健标准误进行统计推断。这样做可能会损失效率，但是保证了统计推断结果的稳健性。如果核心解释变量的系数在使用异方差稳健标准误时是显著的，我们可以不去关心标准误的有效性，因为使用更有效的标准误只会让系数更加显著。但是，如果核心解释变量的系数在使用异方差稳健标准误时是不显著的，我们可以考虑尝

试使用 FGLS 进行修正。在条件异方差函数形式设置正确时，FGLS 估计的回归模型是满足条件同方差假设的；若担心条件异方差的函数形式误设，可以在使用 FGLS 的同时汇报 FGLS 回归的异方差稳健标准误。

2.7 总结

线性回归模型是计量经济学中最基础的模型，最小二乘估计法是估计线性回归模型系数的最常用方法。本章首先详细介绍了古典线性回归模型的假设，包括严格外生假设、无完全共线性假设和球形扰动假设等。这些假设保证了最小二乘估计量的无偏性和有效性。关于有效性，我们证明了著名的 Gauss-Markov 定理，该定理指出最小二乘估计量是所有线性无偏估计量中方差最小的估计量。著名计量学家 Bruce Hansen 最近发表在 *Econometrica* 上面的文章（见 Hansen (2022c)）提出了新的 Gauss-Markov 定理，该文章认为最小二乘估计量是所有无偏估计量中方差最小的估计量。此结论引起了一些学者的质疑，推荐感兴趣的读者阅读文献 Pötscher et al. (2022)。球形扰动假设包含条件同方差假设和无自相关假设，在实证分析时，条件异方差是普遍现象，金融时间序列的波动率聚集特征就是条件异方差的典型例子。此外，多重共线性是实证分析中可能遇到的数据问题，但是多重共线性是否会最终影响估计量的方差还取决于 σ^2 和解释变量样本的波动情况。因此，我们不应该单纯的依据解释变量的相关性决定对解释变量的取舍。

虽然严格外生性保证了最小二乘估计量的无偏性质，但是，对于时间序列数据来说，严格外生性一般是不成立的。在最小二乘估计量的大样本性质中，我们放松了严格外生性假设，取而代之的是前定假设。前定假设要求解释变量与同期的误差项正交，在此假设下，最小二乘估计量满足一致性。无偏性和一致性没有必然的联系，前者是小样本性质；后者是大样本性质。

本章的另外一个重要内容是多元线性回归模型的统计推断理论。在小样本下，我们通过施加正态假设推导出了单个系数假设检验的 t 统计量和一般线性假设检验的 F 统计量的精确分布。在大样本下，我们通过鞅差的中心极限定理建立基于异方差稳健一致协方差估计量的假设检验理论。我们推导了单个系数假设检验的稳健 t 统计量和一般线性假设检验的 Wald 统计量的渐近分布。同时，在同方差假设下，小样本 t 统计量与稳健 t 统计量相等；$J \cdot F$ 与 Wald 统计量相等。

正确计算标准误是进行统计推断的前提。在大样本统计推断中，我们使用了异方差稳健（或异方差一致）标准误。但是，由于鞅差假设，此标准误不适用于存在自相关的情况。这里的“自相关”使用的是时间序列的术语，实际上除了时间序列维度的自相关性，本章的异方差稳健标准误也不适用于存在横截面相关的情况。在计量模型中考虑横截面相关性是近年来理论计量研究的热点，与时间序列数据不同，横截面的相关性没有一个像时间一样的自然顺序。本书第 3 章会进一步讨论标准误的计算，我们将介绍异方差自相关稳健标准误和聚类标准误。

第二章习题

1. 如何解释“水平-对数”回归模型的系数？

2. 证明：若假设 2.3 成立，则 $\mathbf{X}'\mathbf{X}$ 是正定矩阵。
3. 证明：F 统计量可以表示为：
$$F = \frac{(R_U^2 - R_R^2)/J}{(1 - R_U^2)/(n-K)},$$
其中，R_U^2 和 R_R^2 分别表示无约束回归和有约束回归的 R^2。
4. 证明：式 (2.31) 满足假设 2.3。
5. 证明：式 (2.34) 是 $\{\mathbf{g}_i\}$ 为鞅差序列的充分条件。
6. 证明：式 (2.34) 可以推出误差项无自相关而且与同期和滞后期的解释变量也不存在相关性。
7. 证明：在 FGLS 中，回归 $e_i^2 = \mathbf{z}_i'\boldsymbol{\alpha} + \eta_i$ 的最小二乘估计量 $\hat{\boldsymbol{\alpha}}$ 是 $\boldsymbol{\alpha}$ 的一致估计量。
8. 证明：$\mathrm{Avar}(\hat{\boldsymbol{\beta}}(\hat{\mathbf{V}})) \preceq \mathrm{Avar}(\hat{\boldsymbol{\beta}}_{ols})$。

第 三 章 非球形扰动与标准误的计算

内容提要

- White 异方差检验 3.1
- Breusch-Pagan 异方差检验 3.2
- 修正的 Q 检验 3.4
- 异方差稳健标准误 3.3
- 异方差自相关稳健标准误 3.4
- 聚类标准误 3.5
- Jackknife 3.6
- Bootstrap 3.6

古典假设中的球形扰动假设要求误差项满足条件同方差和无条件自相关，对这两个条件是否满足的假设检验在计量经济学中分别称为异方差检验和自相关检验。本章第一节和第二节将分别介绍异方差检验和自相关检验的基本方法。球形扰动假设不成立不会影响最小二乘估计量的无偏性和一致性，但是，Gauss-Markov 定理不再成立（最小二乘估计量不是最有效的），同时，基于此假设的小样本 t 检验和 F 检验失效。与有效性相比，统计推断往往更加关注结果的稳健性，本章第三节至第五节将分别讨论异方差稳健标准误、异方差自相关稳健标准误和聚类标准误的计算问题。此外，基于稳健标准误的统计推断通常使用检验统计量的渐近分布，在样本量有限的情况下，检验的真实显著性水平和功效（power）与名义值可能出现较大的偏离，本章最后讨论如何使用 Bootstrap 等重抽样方法进行标准误的计算。想进一步深入学习本章内容的读者可以阅读 Hansen (2022a) 和 Hayashi (2000)。

3.1 异方差检验

在第 2 章，我们介绍了基于异方差稳健标准误的大样本统计推断理论，稳健的 t 统计量和 Wald 统计量既适用于同方差也适用于异方差。因此，无论实际情况是同方差还是异方差，汇报和使用异方差稳健标准误已经成为实证分析的常规做法。然而，在异方差条件下，最小二乘估计量不是最有效的，这时可以考虑采用 FGLS。因此，对异方差进行检验依然具有一定的现实意义。

本节将要介绍两种常用的异方差检验：White 异方差检验和 Breusch-Pagan 异方差检验。

White 异方差检验

由定理 2.10，$\hat{\mathbf{S}} = \frac{1}{n}\sum_{i=1}^{n} e_i^2 \mathbf{x}_i\mathbf{x}_i'$ 是 $\mathbf{S} = \mathbb{E}(\varepsilon_i^2\mathbf{x}_i\mathbf{x}_i')$ 的一致估计。另一方面，在同方差假设 2.7* 成立的情况下，$\mathbf{S} = \sigma^2\boldsymbol{\Sigma}_{\mathbf{xx}}$，其一致估计为 $s^2\mathbf{S}_{\mathbf{xx}}$。若条件同方差的原假设成立，则：

$$\hat{\mathbf{S}} - s^2\mathbf{S}_{\mathbf{xx}} = \frac{1}{n}\sum_{i=1}^{n}(e_i^2 - s^2)\mathbf{x}_i\mathbf{x}_i' \underset{p}{\to} \mathbf{0}.$$

White 异方差检验（见 White (1980)）的基本思想是比较 $\hat{\mathbf{S}}$ 和 $s^2\mathbf{S}_{\mathbf{xx}}$ 之间的马氏距离，若此距离足够大，则拒绝同方差的原假设。具体地，将 $K \times K$ 维对称阵 $\mathbf{x}_i\mathbf{x}_i'$ 中彼此不同的非常数元素组成一个列向量，记为 $\boldsymbol{\psi}_i$。定义：

$$\mathbf{c}_n \equiv \frac{1}{n}\sum_{i=1}^{n}(e_i^2 - s^2)\boldsymbol{\psi}_i,$$

若条件同方差的原假设成立，我们有 $\mathbf{c}_n \underset{p}{\to} \mathbf{0}$。在一些适当的假设条件下，$\sqrt{n}\mathbf{c}_n$ 依分布收敛到正态分布，期望是 $\mathbf{0}$，渐近方差为某一正定矩阵 $\mathbf{B}$。因此，

$$n \cdot \mathbf{c}_n'\hat{\mathbf{B}}^{-1}\mathbf{c}_n \underset{d}{\to} \chi^2(m),$$

其中，$\hat{\mathbf{B}}$ 是 $\mathbf{B}$ 的一致估计，m 是向量 $\boldsymbol{\psi}_i$ 的维度。若恰当选取 $\hat{\mathbf{B}}$，$n \cdot \mathbf{c}_n'\hat{\mathbf{B}}^{-1}\mathbf{c}_n$ 可以通过 e_i^2 对常数项和 $\boldsymbol{\psi}_i$ 的回归的 nR^2 得到。

定理 3.1. White 异方差检验

令假设 2.1* 和 2.4* 成立，同时，假设：（1）$\{y_i, \mathbf{x}_i\}$ 满足 i.i.d.，且 $\mathbb{E}(\varepsilon_i^2\mathbf{x}_i\mathbf{x}_i')$ 有限；（2）ε_i 独立于 $\mathbf{x}_i$；（3）ε_i 和 $\mathbf{x}_i$ 满足一定的矩条件[a]，则有：

$$nR^2 \underset{d}{\to} \chi^2(m),$$

其中，R^2 来自 e_i^2 对常数项和 $\boldsymbol{\psi}_i$ 的回归；m 是向量 $\boldsymbol{\psi}_i$ 的维度。

[a] 具体条件请参考 White (1980)。

♡

注 在 Stata 中，我们可以在回归后使用命令 “estat imtest, white” 得到 White 异方差检验的结果。

Breusch-Pagan 异方差检验

考虑如下模型设定：

$$y_i = \mathbf{x}_i'\boldsymbol{\beta} + \varepsilon_i, \tag{3.1}$$

其中，$\{\varepsilon_i\}_{i=1}^n$ 服从零均值的正态分布且彼此独立，ε_i 的方差为：

$$\sigma_i^2 = \sigma^2 \cdot h(\mathbf{z}_i'\boldsymbol{\alpha}), \tag{3.2}$$

其中，$\boldsymbol{\alpha}$ 是 $p \times 1$ 维的向量，$\mathbf{z}_i$ 的第一个元素为 1，$\mathbf{x}_i$ 和 $\mathbf{z}_i$ 都为外生变量[1]。条件同方差的原假设可以表示为：

$$\mathbb{H}_0 : \alpha_2 = \cdots = \alpha_p = 0.$$

这是因为当 $\mathbb{H}_0$ 成立时，$\sigma_i^2 = \sigma^2 h(\alpha_1)$ 为常数。Breusch et al. (1979) 构造了检验 $\mathbb{H}_0$ 的检验统计量并给出了它的渐近分布。

[1] $\mathbf{z}_i$ 中的元素形式比较灵活，可以是 $\mathbf{x}_i$ 中的某些变量，也可以是 $\mathbf{x}_i$ 中变量的交乘。

定理 3.2. Breusch-Pagan 异方差检验

考虑式 (3.1) 和 (3.2) 的模型设定。令 $s^2 = \boldsymbol{e}'\boldsymbol{e}/n$，$g_i = e_i^2/s^2$。检验 $\mathbb{H}_0 : \alpha_2 = \cdots = \alpha_p = 0$ 的拉格朗日乘数统计量[a]为：

$$\mathrm{LM} \equiv \frac{1}{2}\left[\boldsymbol{g}'\mathbf{Z}(\mathbf{Z}'\mathbf{Z})^{-1}\mathbf{Z}'\boldsymbol{g} - n\right],$$

其中，$\boldsymbol{g} = (g_1, \ldots, g_n)'$，$\mathbf{Z} = (\mathbf{z}_1', \ldots, \mathbf{z}_n')'$。在 $\mathbb{H}_0$ 成立的情况下，LM 渐近服从 $\chi^2(p-1)$ 分布。此外，$\boldsymbol{g}'\mathbf{Z}(\mathbf{Z}'\mathbf{Z})^{-1}\mathbf{Z}'\boldsymbol{g} - n$ 等于 g_i 对 $\mathbf{z}_i$ 回归的回归平方和。

[a] 见本书第7章7.4节。

♡

注 在 Stata 中，我们可以在回归后使用如下命令实现 Breusch-Pagan 异方差检验：

- estat hettest：使用拟合值 $\hat{y}_i$ 作为 $\mathbf{z}_i$；
- estat hettest, rhs：使用解释变量 $\mathbf{x}_i$ 作为 $\mathbf{z}_i$；
- estat hettest varlist：使用用户设置的 varlist 中的变量作为 $\mathbf{z}_i$。

Breusch-Pagan 异方差检验只适用于误差项服从正态分布的情况，Koenker (1981) 将正态假设放松为误差项独立同分布且具有有限四阶矩，此改进的检验可以通过“estat hettest, iid”实现。此外，“estat hettest, fstat”实现了 Wooldridge (2019) 中第 270 页的 F 统计量，其渐近分布的推导也不需要正态假设。

事实上，White 异方差检验可以看成是放松了正态假设的 Breusch-Pagan 异方差检验的特例。在 White 异方差检验中，$\mathbf{z}_i$ 被设置成解释变量、解释变量的平方以及解释变量之间的交乘。

例 3.1 考虑 Wooldridge (2010) 中例 4.1 使用的数据集 mroz.dta，我们将工资对数（lwage）对受教育年限（educ）和工作经验（exper）做回归，并基于回归的结果进行异方差检验，使用的 Stata 程序和输出结果如下：

```
. use mroz.dta, replace
. keep if inlf == 1 //只保留有工作的女性样本
. quietly reg lwage educ exper
. estat hettest //Breusch-Pagan异方差检验

Breusch-Pagan/Cook-Weisberg test for heteroskedasticity
Assumption: Normal error terms
Variable: Fitted values of lwage

H0: Constant variance

    chi2(1) =  2.05
Prob > chi2 = 0.1525

. estat hettest, iid //放松正态假设的Breusch-Pagan异方差检验
```

```

Breusch-Pagan/Cook-Weisberg test for heteroskedasticity
Assumption: i.i.d. error terms
Variable: Fitted values of lwage

H0: Constant variance

    chi2(1) =  0.71
Prob > chi2 = 0.3986

. estat imtest, white //White异方差检验

White's test
H0: Homoskedasticity
Ha: Unrestricted heteroskedasticity

    chi2(5) = 13.12
Prob > chi2 = 0.0223

. estat hettest educ exper c.educ#c.educ c.exper#c.exper ///
               c.educ#c.exper, iid //用hettest命令实现White异方差检验

Breusch-Pagan/Cook-Weisberg test for heteroskedasticity
Assumption: i.i.d. error terms
Variables: educ exper c.educ#c.educ c.exper#c.exper c.educ#c.exper

H0: Constant variance

    chi2(5) = 13.12
Prob > chi2 = 0.0223
```

3.2 自相关检验

上一章指出，若回归中有常数项，假设 2.5* 成立意味着误差项不存在自相关。自相关检验是检验误差项是否存在自相关的假设检验，若拒绝误差项不存在自相关的原假设，则假设 2.5* 不成立。因为自相关是时间序列分析使用的术语，所以我们将区分不同观测的下标 i 改为 t，样本量为 T。

可观测时间序列的自相关检验

我们首先讨论可观测时间序列的自相关检验。假设标量（scalar）弱平稳随机过程的一个样本为 $\{r_t\}_{t=1}^T$，r_t 的滞后 l 期的样本自协方差（lag-l sample autocovariance）为：

$$\hat{\gamma}_l \equiv \frac{1}{T}\sum_{t=l+1}^{T}(r_t-\bar{r})(r_{t-l}-\bar{r}), \quad 0 \leqslant l < T-1,$$

其中，

$$\bar{r} \equiv \frac{1}{T}\sum_{t=1}^{T} r_t.$$

r_t 的滞后 l 期的样本自相关系数（lag-l sample autocorrelation）为：

$$\hat{\rho}_l \equiv \frac{\hat{\gamma}_l}{\hat{\gamma}_0}.$$

如果 $\{r_t\}$ 是来自遍历平稳的随机过程的样本，则 $\hat{\gamma}_l \underset{p}{\to} \gamma_l$，$\hat{\rho}_l \underset{p}{\to} \rho_l$，其中，$\gamma_l \equiv \mathrm{Cov}(r_t, r_{t-l})$ 是滞后 l 期的自协方差（lag-l autocovariance），$\rho_l \equiv \gamma_l/\gamma_0$ 是滞后 l 期的自相关系数（lag-l autocorrelation）。

定理 3.3. $\hat{\gamma}_l$ 和 $\hat{\rho}_l$ 的中心极限定理

假设 $\{r_t\}$ 可以表示为 $\mu+\varepsilon_t$，其中，ε_t 是遍历[a]平稳的鞅差序列并且满足：

$$\mathbb{E}(\varepsilon_t^2 \mid \varepsilon_{t-1}, \varepsilon_{t-2}, \ldots) = \sigma^2 > 0,$$

则有，

$$\sqrt{T}\hat{\boldsymbol{\gamma}} \underset{d}{\to} \mathcal{N}(\mathbf{0}, \sigma^4\mathbf{I}_p) \quad 和 \quad \sqrt{T}\hat{\boldsymbol{\rho}} \underset{d}{\to} \mathcal{N}(\mathbf{0}, \mathbf{I}_p),$$

其中，$\hat{\boldsymbol{\gamma}} = (\hat{\gamma}_1, \ldots, \hat{\gamma}_p)'$，$\hat{\boldsymbol{\rho}} = (\hat{\rho}_1, \ldots, \hat{\rho}_p)'$。

[a] 事实上，保证此定理结论成立并不需要遍历条件，参见 Hall et al. (1980) 的定理 6.7。

♡

自相关检验的一种方式是检验单个自相关系数是否等于 0，即，$\mathbb{H}_0: \rho_k = 0$。由定理 3.3，我们有：

$$\sqrt{T}\hat{\rho}_k \underset{d}{\to} \mathcal{N}(0,1).$$

绘制样本自相关系数函数（autocorrelation function, ACF）图是汇报单个自相关系数检验结果的常用方式。样本 ACF 图的横轴为滞后期，纵轴为每个滞后期对应的样本自相关系数，通过图中给出的置信域可以直观地判断是拒绝还是不能拒绝原假设。

例 3.2 我们用上证指数从 2007 年 4 月 13 日至 2019 年 12 月 31 日的周对数收益率为例说明如何利用 Stata 和 R 绘制样本 ACF 图，使用的程序如下：

```
//Stata程序
. import delimited "上证指数收益率.csv", clear
. g time = _n        //生成时间变量
. tsset time         //设置时间变量
. ac rtn, lags(10) //绘制滞后1-10期的样本ACF图
```

```r
#R程序
shindex <- read.table("~/上证指数收益率.csv",sep = ",",header = TRUE)
library(forecast)
Return <- shindex$rtn
ggAcf(Return,10)
```

两种语言绘制的样本 ACF 图如图 3.1。左图为 Stata 绘制的样本 ACF 图，灰色阴影部分为 95% 的置信域；右图为 R 绘制的样本 ACF 图，上下两条蓝色虚线高度分别为 $1.96/\sqrt{T}$ 和 $-1.96/\sqrt{T}$，也就是基于标准正态分布构造的 95% 的置信域的上下界。注意，与右图不同，左图阴影区域的上下两条边界并非直线，这是由于 Stata 在构造置信域时使用的是 Bartlett 公式，对于给定的滞后阶数 k，置信区间的上下界为 $\pm 1.96 \cdot \sqrt{(1+2\sum_{i=1}^{k-1}\hat{\rho}_i^2)/T}$，关于 Bartlett 公式的详细介绍请参考 Brockwell et al. (1991) 的第 7.2 节。

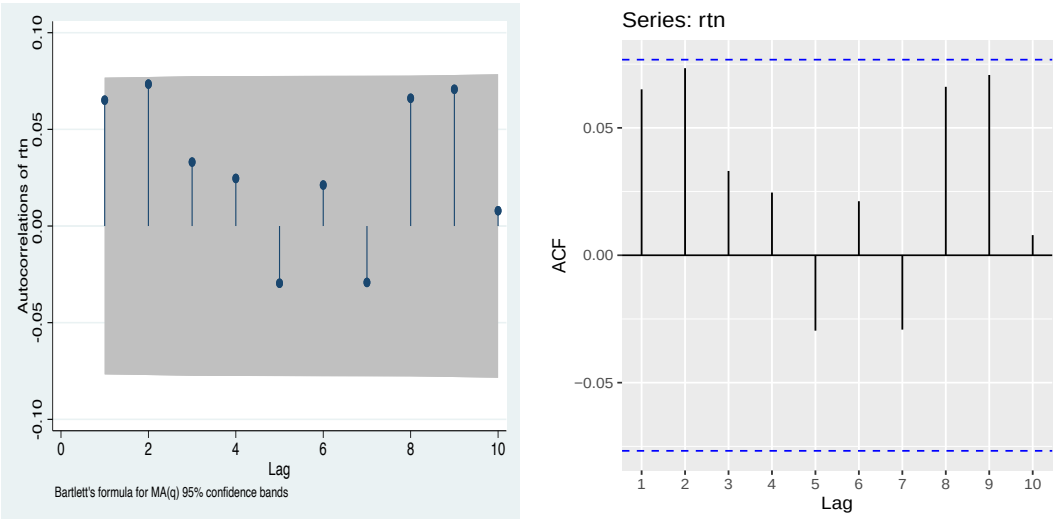

图 3.1: 上证指数收益率样本 ACF 图（左图：Stata；右图：R）

另一种更常用的自相关检验是检验多个自相关系数是否同时为 0，检验的原假设为 $\mathbb{H}_0: \rho_1 = \rho_2 = \cdots = \rho_p = 0$。由定理 3.3，向量 $\sqrt{T}\hat{\boldsymbol{\rho}}$ 的每个元素都渐近服从标准正态分布且彼此之间渐近独立。因此，我们有：

$$Q_*(p) \equiv T\sum_{l=1}^{p}\hat{\rho}_l^2 = \sum_{l=1}^{p}(\sqrt{T}\hat{\rho}_l)^2 \xrightarrow[d]{} \chi^2(p).$$

$Q_*(p)$ 被称为 Box-Pierce Q 检验统计量（见 Box et al. (1970)）。Ljung et al. (1978) 对 $Q_*(p)$ 进行了改进，提出了如下的 Ljung-Box Q 检验统计量：

$$Q(p) \equiv T(T+2)\sum_{l=1}^{p}\frac{\hat{\rho}_l^2}{T-l} = \sum_{l=1}^{p}\frac{T+2}{T-l}(\sqrt{T}\hat{\rho}_l)^2 \xrightarrow[d]{} \chi^2(p).$$

通常，在样本有限的情况下，Ljung-Box Q 检验比 Box-Pierce Q 检验具有更高的检验功效。两种 Q 检验也被称为混合（portmanteau）检验。

例 3.3 我们用上证指数从 2007 年 4 月 13 日至 2019 年 12 月 31 日的周对数收益率为例说明如何利用 Stata 和 R 进行混合检验，使用的程序如下：

```
//接着例3.2的Stata程序
. wntestq rtn      //Ljung-Box检验

Portmanteau (Q) statistic = 57.3946
Prob > chi2(40)          =     0.0367
```

```
#接着例3.2的R程序
Box.test(Return,lag=40,type='Ljung-Box')
#输出的p值为0.0367，与Stata程序结果相同
```

注 混合检验滞后阶数的选择对检验的结果有一定的影响，若阶数选择过小，可能无法检验到更高阶的相关性；若阶数过大，检验统计量在小样本下的实际分布可能严重偏离卡方分布。Stata 的 wntestq 命令默认的阶数为 $\min(\lfloor n/2\rfloor-2,40)$，其中，$\lfloor n/2\rfloor$ 表示小于或等于 $n/2$ 的最大整数。

回归误差项的自相关检验

对于假设 2.1*-2.5* 考虑的线性回归模型，如果误差项 ε_t 可观测，我们可以计算：

$$\tilde{\rho}_l \equiv \frac{\tilde{\gamma}_l}{\tilde{\gamma}_0}, \quad l=1,2,\ldots,$$

其中，

$$\tilde{\gamma}_l \equiv \frac{1}{T}\sum_{t=l+1}^{T}\varepsilon_t\varepsilon_{t-l}, \quad l=0,1,2,\ldots. \quad \text{（注意误差项的均值为 0）}$$

然而，由于误差项无法观测，可以考虑用残差 e_t 替换 ε_t 并计算样本自相关系数：

$$\hat{\rho}_l \equiv \frac{\hat{\gamma}_l}{\hat{\gamma}_0}, \quad l=1,2,\ldots,$$

其中，

$$\hat{\gamma}_l \equiv \frac{1}{T}\sum_{t=l+1}^{T}e_te_{t-l}, \quad l=0,1,2,\ldots. \quad \text{（注意残差项的样本均值为 0）}$$

直观上，我们可以基于 $\hat{\rho}_l$ 进行 Ljung-Box 混合检验去推断误差项是否存在自相关。但是，由于残差是利用最小二乘估计量计算得到的，为了保证 Ljung-Box 检验统计量的渐近分布依然有效，我们需要严格外生条件。事实上，因为

$$e_t=\varepsilon_t-\mathbf{x}_t'(\hat{\boldsymbol{\beta}}_{ols}-\boldsymbol{\beta}),$$

所以，我们有：

$$\begin{aligned}\hat{\gamma}_l &= \frac{1}{T}\sum_{t=l+1}^{T}e_te_{t-l}=\frac{1}{T}\sum_{t=l+1}^{T}\left[\varepsilon_t-\mathbf{x}_t'(\hat{\boldsymbol{\beta}}_{ols}-\boldsymbol{\beta})\right]\left[\varepsilon_{t-l}-\mathbf{x}_{t-l}'(\hat{\boldsymbol{\beta}}_{ols}-\boldsymbol{\beta})\right]\\ &= \tilde{\gamma}_l-\frac{1}{T}\sum_{t=l+1}^{T}(\mathbf{x}_{t-l}\varepsilon_t+\mathbf{x}_t\varepsilon_{t-l})'(\hat{\boldsymbol{\beta}}_{ols}-\boldsymbol{\beta})\end{aligned}$$

$$+ (\hat{\boldsymbol{\beta}}_{ols} - \boldsymbol{\beta})' \left(\frac{1}{T} \sum_{t=l+1}^{T} \mathbf{x}_t \mathbf{x}_{t-l}' \right) (\hat{\boldsymbol{\beta}}_{ols} - \boldsymbol{\beta}).$$

注意到 $\hat{\boldsymbol{\beta}}_{ols} - \boldsymbol{\beta} \underset{p}{\to} \mathbf{0}$，因此，$\hat{\gamma}_l - \tilde{\gamma}_l \underset{p}{\to} 0$，$(j = 0, 1, 2, \ldots)$。然而，

$$\begin{aligned} \sqrt{T}\hat{\gamma}_l &= \sqrt{T}\tilde{\gamma}_l - \frac{1}{T} \sum_{t=l+1}^{T} (\mathbf{x}_{t-l}\varepsilon_t + \mathbf{x}_t\varepsilon_{t-l})' \sqrt{T}(\hat{\boldsymbol{\beta}}_{ols} - \boldsymbol{\beta}) \\ &\quad + \underbrace{\sqrt{T}(\hat{\boldsymbol{\beta}}_{ols} - \boldsymbol{\beta})' \left(\frac{1}{T} \sum_{t=l+1}^{T} \mathbf{x}_t \mathbf{x}_{t-l}' \right) (\hat{\boldsymbol{\beta}}_{ols} - \boldsymbol{\beta})}_{\underset{p}{\to} 0}. \end{aligned}$$

注意到 $\sqrt{T}(\hat{\boldsymbol{\beta}}_{ols} - \boldsymbol{\beta})$ 服从渐近正态，因此依概率有界。为使 $\sqrt{T}\hat{\gamma}_l$ 和 $\sqrt{T}\tilde{\gamma}_l$ 之间的差别可忽略不计，我们需要 $(1/T)\sum_{t=l+1}^{T}(\mathbf{x}_{t-l}\varepsilon_t + \mathbf{x}_t\varepsilon_{t-l})$ 依概率收敛到 $\mathbf{0}$。若解释变量满足如下意义的严格外生性：对任意的 $t, s \in \{1, \ldots, T\}$，$\mathbb{E}(\mathbf{x}_t\varepsilon_s) = \mathbf{0}$，则有：

$$\frac{1}{T} \sum_{t=l+1}^{T} (\mathbf{x}_{t-l}\varepsilon_t + \mathbf{x}_t\varepsilon_{t-l}) \underset{p}{\to} \mathbb{E}(\mathbf{x}_{t-l}\varepsilon_t) + \mathbb{E}(\mathbf{x}_t\varepsilon_{t-l}) = \mathbf{0}.$$

于是，在严格外生条件下，我们依然可以使用 Ljung-Box Q 检验统计量及其渐近分布进行自相关检验。但是，若严格外生性不成立，基于残差的 Q 检验统计量可能不服从渐近卡方分布。

鉴于时间序列数据一般不满足严格外生性，我们需要对 Q 检验统计量进行修正。为此，我们需要施加如下假设：

假设 2.8*：（强前定和强条件同方差）

强前定：

$$\mathbb{E}(\varepsilon_t \mid \varepsilon_{t-1}, \varepsilon_{t-2}, \ldots, \mathbf{x}_t, \mathbf{x}_{t-1}, \ldots) = 0. \tag{3.3}$$

强条件同方差：

$$\mathbb{E}(\varepsilon_t^2 \mid \varepsilon_{t-1}, \varepsilon_{t-2}, \ldots, \mathbf{x}_t, \mathbf{x}_{t-1}, \ldots) = \sigma^2 > 0. \tag{3.4}$$

注 条件 (3.3) 强于假设 2.3* 和 2.5*；条件 (3.4) 强于假设 2.7*。

定理 3.4. 修正的 Q 检验

若假设 2.1*、2.2*、2.4* 和 2.8* 成立，则基于残差 e_t 计算的 $\hat{\gamma}_l$ 和 $\hat{\rho}_l$ 满足：

$$\sqrt{T}\hat{\boldsymbol{\gamma}} \underset{d}{\to} \mathcal{N}(\mathbf{0}, \sigma^4 \cdot (\mathbf{I}_p - \boldsymbol{\Phi})) \quad 和 \quad \sqrt{T}\hat{\boldsymbol{\rho}} \underset{d}{\to} \mathcal{N}(\mathbf{0}, \mathbf{I}_p - \boldsymbol{\Phi}),$$

其中，$\hat{\boldsymbol{\gamma}} = (\hat{\gamma}_1, \ldots, \hat{\gamma}_p)'$，$\hat{\boldsymbol{\rho}} = (\hat{\rho}_1, \ldots, \hat{\rho}_p)'$，$p \times p$ 维矩阵 $\boldsymbol{\Phi}$ 的第 (j, k) 位置上的元素 ϕ_{jk} 为：

$$\phi_{jk} = \mathbb{E}(\mathbf{x}_t\varepsilon_{t-j})'\mathbb{E}(\mathbf{x}_t\mathbf{x}_t')^{-1}\mathbb{E}(\mathbf{x}_t\varepsilon_{t-k})/\sigma^2.$$

♡

由遍历定理 B.7，如下定义的 $\widehat{\boldsymbol{\Phi}}$ 可以一致估计 $\boldsymbol{\Phi}$：

$$\widehat{\boldsymbol{\Phi}} \equiv (\hat{\phi}_{jk}), \quad \hat{\phi}_{jk} \equiv \bar{\boldsymbol{\mu}}_j' \mathbf{S}_{\mathbf{xx}}^{-1} \bar{\boldsymbol{\mu}}_k / s^2, \quad (j, k = 1, 2, \ldots, p),$$

其中，

$$s^2 \equiv \frac{1}{T-K}\sum_{t=1}^{T} e_t^2, \quad \bar{\boldsymbol{\mu}}_j \equiv \frac{1}{T}\sum_{t=j+1}^{T} \mathbf{x}_t \cdot e_{t-j}.$$

于是，我们容易构造如下修正的 Q 检验统计量并得到其渐近分布：

$$\text{修正的 Box-Pierce } Q \equiv T \cdot \hat{\boldsymbol{\rho}}'(\mathbf{I}_p - \widehat{\boldsymbol{\Phi}})^{-1}\hat{\boldsymbol{\rho}} \underset{d}{\to} \chi^2(p).$$

修正的 Box-Pierce Q 检验统计量也可以通过回归的方式得到，考虑如下辅助回归：

$$e_t = \mathbf{x}_t'\boldsymbol{\phi} + \theta_1 e_{t-1} + \cdots + \theta_p e_{t-p} + \nu_t, \quad t = p+1, \ldots, T. \tag{3.5}$$

在定理 3.4 的假设条件下，修正的 Box-Pierce Q 检验统计量与 $p \cdot F$ 渐近等价，其中，F 为检验辅助回归 (3.5) 中 $e_{t-1}, \ldots, e_{t-p}$ 系数联合显著性的 F 统计量。此外，$p \cdot F$ 与辅助回归 (3.5) 的 $T \cdot R^2$ 渐近等价，基于 $T \cdot R^2$ 的检验称为 Breusch-Godfrey 自相关检验（见 Breusch (1978) 和 Godfrey (1978)）。

现证明 $p \cdot F$ 与辅助回归 (3.5) 的 $T \cdot R^2$ 渐近等价。注意到：

$$p \cdot F = \frac{RSS_R - RSS_U}{RSS_U/(T-K-2p)} = (T-K-2p)\frac{RSS_R - RSS_U}{RSS_U},$$

其中，RSS_U 由回归 (3.5) 得到，RSS_R 由 e_t 仅对 $\mathbf{x}_t$ 进行回归的约束回归得到。由于残差 e_t 正交于 $\mathbf{x}_t$，所以 $RSS_R = \boldsymbol{e}'\boldsymbol{e}$，并且辅助回归 (3.5) 的非中心化 R^2 为：

$$R_{uc}^2 = \frac{\boldsymbol{e}'\boldsymbol{e} - RSS_U}{\boldsymbol{e}'\boldsymbol{e}}.$$

于是，我们有：

$$p \cdot F = (T-K-2p)\frac{R_{uc}^2}{1-R_{uc}^2}.$$

又因为 e_t 的样本均值为 0，R_{uc}^2 等于 R^2，则有：

$$p \cdot F = (T-K-2p)\frac{R^2}{1-R^2}.$$

上式经整理可得：

$$T \cdot R^2 = \frac{T}{T-K-2p} \cdot \frac{1}{1+\dfrac{p \cdot F}{T-K-2p}} \cdot p \cdot F.$$

由上式容易知道 $p \cdot F - T \cdot R^2 \underset{p}{\to} 0$。

例 3.4 我们用上证指数从 2007 年 4 月 13 日至 2019 年 12 月 31 日的周对数收益率对其滞后一期做回归并检验回归的误差项是否存在自相关，Stata 和 R 的程序分别如下：

```
//接着例3.2的Stata程序
. gen rtn_lag = L.rtn        //生成rtn的滞后一期
. qui reg rtn rtn_lag        //一阶自回归
. estat bgodfrey, lags(10) //Breusch-Godfrey自相关检验，p为10
//输出的p值为0.3596
```

```
#R程序
shindex <- read.table("~/上证指数收益率.csv",sep = ",",header = TRUE)
```

```
date <- as.Date(as.character(shindex$date),format="%Y/%m/%d")
rtn <- xts::xts(shindex$rtn,date) #把rtn转换为xts对象
rtn_lag <- lag(rtn,1)             #将rtn滞后一期
mydata <- as.data.frame(rtn,rtn_lag)
lmtest::bgtest(rtn~rtn_lag, order=10, data=mydata)
#输出的p值也为0.3596
```

3.3 异方差稳健标准误

在例 3.1 中，我们将工资对数对受教育年限和工作经验做回归，并基于回归的结果进行了 Breusch-Pagan 异方差检验和 White 异方差检验。我们发现两个检验得到的结论是不一致的：在 5% 的显著性水平下，White 检验拒绝原假设，而 Breusch-Pagan 检验不能拒绝原假设。为了统计推断结论的稳健，现代实证分析的通常做法是直接使用异方差稳健标准误。

由定理 2.9，最小二乘估计量的渐近方差为：

$$\widehat{\mathrm{Avar}(\hat{\boldsymbol{\beta}}_{ols})} = \mathbf{S}_{\mathbf{xx}}^{-1}\hat{\mathbf{S}}\mathbf{S}_{\mathbf{xx}}^{-1} = \left(\frac{1}{n}\mathbf{X}'\mathbf{X}\right)^{-1}\left(\frac{1}{n}\sum_{i=1}^{n} e_i^2\mathbf{x}_i\mathbf{x}_i'\right)\left(\frac{1}{n}\mathbf{X}'\mathbf{X}\right)^{-1}.$$

因此，最小二乘估计量的异方差稳健协方差矩阵估计量为：

$$\widehat{\mathbf{V}}_{\hat{\boldsymbol{\beta}}_{ols}}^{\mathrm{HC0}} = (\mathbf{X}'\mathbf{X})^{-1}\left(\sum_{i=1}^{n} e_i^2\mathbf{x}_i\mathbf{x}_i'\right)(\mathbf{X}'\mathbf{X})^{-1}.$$

式 (2.39) 的 White 标准误是 $\widehat{\mathbf{V}}_{\hat{\boldsymbol{\beta}}_{ols}}^{\mathrm{HC0}}$ 的对角线上第 k 个元素的平方根。

由本章附录 2 中的式 (3.43)，e_i^2 是 σ^2 的有偏估计量，因此，残差平方的样本均值 $\hat{\sigma}^2$ 也是 σ^2 的有偏估计量（见式 (3.44)）。为了得到 σ^2 的无偏估计，我们需要在 $\hat{\sigma}^2$ 的基础上乘以 $n/(n-K)$ 进行调整。对 $\widehat{\mathbf{V}}_{\hat{\boldsymbol{\beta}}_{ols}}^{\mathrm{HC0}}$ 做同样的调整可以得到：

$$\widehat{\mathbf{V}}_{\hat{\boldsymbol{\beta}}_{ols}}^{\mathrm{HC1}} = \left(\frac{n}{n-K}\right)(\mathbf{X}'\mathbf{X})^{-1}\left(\sum_{i=1}^{n} e_i^2\mathbf{x}_i\mathbf{x}_i'\right)(\mathbf{X}'\mathbf{X})^{-1}. \tag{3.6}$$

利用附录 2 中定义的标准化残差和“去一”残差，我们还可以得到另外两种异方差稳健协方差矩阵估计量：

$$\widehat{\mathbf{V}}_{\hat{\boldsymbol{\beta}}_{ols}}^{\mathrm{HC2}} = (\mathbf{X}'\mathbf{X})^{-1}\left(\sum_{i=1}^{n} \bar{e}_i^2\mathbf{x}_i\mathbf{x}_i'\right)(\mathbf{X}'\mathbf{X})^{-1}, \tag{3.7}$$

和

$$\widehat{\mathbf{V}}_{\hat{\boldsymbol{\beta}}_{ols}}^{\mathrm{HC3}} = (\mathbf{X}'\mathbf{X})^{-1}\left(\sum_{i=1}^{n} \tilde{e}_i^2\mathbf{x}_i\mathbf{x}_i'\right)(\mathbf{X}'\mathbf{X})^{-1}. \tag{3.8}$$

$\widehat{\mathbf{V}}_{\hat{\boldsymbol{\beta}}_{ols}}^{\mathrm{HC1}}$ 对 $\widehat{\mathbf{V}}_{\hat{\boldsymbol{\beta}}_{ols}}^{\mathrm{HC0}}$ 进行的自由度调整是由 Hinkley (1977) 建议使用的，Stata 默认汇报的异方差稳健标准误即为 $\widehat{\mathbf{V}}_{\hat{\boldsymbol{\beta}}_{ols}}^{\mathrm{HC1}}$ 的对角线上元素的平方根，可以通过在回归命令 reg 后加“, r”实现；$\widehat{\mathbf{V}}_{\hat{\boldsymbol{\beta}}_{ols}}^{\mathrm{HC2}}$ 由 Horn et al. (1975) 提出，基于它的标准误在 Stata 中可以通过在回归命令 reg 后加“, vce (hc2)”实现；$\widehat{\mathbf{V}}_{\hat{\boldsymbol{\beta}}_{ols}}^{\mathrm{HC3}}$ 由 MacKinnon et al. (1985) 提出，基于它的标准误在

Stata 中可以通过在回归命令 reg 后加 “, vce (hc3)” 实现。

由附录 2 中给出的杠杆值性质，$0 < h_{ii} \leqslant 1$，[2] 因此，在 h_{ii} 不取极端值 1 的情况下，$(1-h_{ii})^{-2} > (1-h_{ii})^{-1} > 1$。容易验证：

$$\widehat{\mathbf{V}}^{\mathrm{HC0}}_{\hat{\boldsymbol{\beta}}_{ols}} \prec \widehat{\mathbf{V}}^{\mathrm{HC2}}_{\hat{\boldsymbol{\beta}}_{ols}} \prec \widehat{\mathbf{V}}^{\mathrm{HC3}}_{\hat{\boldsymbol{\beta}}_{ols}}. \tag{3.9}$$

在球形扰动假设下，我们有：

$$\begin{aligned}
\mathbb{E}\left[\widehat{\mathbf{V}}^{\mathrm{HC0}}_{\hat{\boldsymbol{\beta}}_{ols}} \mid \mathbf{X}\right] &= \left(\mathbf{X}'\mathbf{X}\right)^{-1}\left(\sum_{i=1}^{n}\mathbf{x}_i\mathbf{x}_i'\mathbb{E}[e_i^2 \mid \mathbf{X}]\right)\left(\mathbf{X}'\mathbf{X}\right)^{-1} \\
&= \left(\mathbf{X}'\mathbf{X}\right)^{-1}\left(\sum_{i=1}^{n}\mathbf{x}_i\mathbf{x}_i'(1-h_{ii})\sigma^2\right)\left(\mathbf{X}'\mathbf{X}\right)^{-1} \qquad \text{(由式 (3.43))} \\
&= \sigma^2\left(\mathbf{X}'\mathbf{X}\right)^{-1} - \sigma^2\left(\mathbf{X}'\mathbf{X}\right)^{-1}\left(\sum_{i=1}^{n}\mathbf{x}_i\mathbf{x}_i'h_{ii}\right)\left(\mathbf{X}'\mathbf{X}\right)^{-1} \\
&\prec \sigma^2\left(\mathbf{X}'\mathbf{X}\right)^{-1} = \mathrm{Var}(\hat{\boldsymbol{\beta}}_{ols} \mid \mathbf{X}).
\end{aligned}$$

类似地，我们可以证明：在球形扰动假设下，

$$\mathbb{E}\left[\widehat{\mathbf{V}}^{\mathrm{HC2}}_{\hat{\boldsymbol{\beta}}_{ols}} \mid \mathbf{X}\right] = \sigma^2\left(\mathbf{X}'\mathbf{X}\right)^{-1} = \mathrm{Var}(\hat{\boldsymbol{\beta}}_{ols} \mid \mathbf{X}), \tag{3.10}$$

和

$$\mathbb{E}\left[\widehat{\mathbf{V}}^{\mathrm{HC3}}_{\hat{\boldsymbol{\beta}}_{ols}} \mid \mathbf{X}\right] \succeq \sigma^2\left(\mathbf{X}'\mathbf{X}\right)^{-1} = \mathrm{Var}(\hat{\boldsymbol{\beta}}_{ols} \mid \mathbf{X}). \tag{3.11}$$

通常，$\widehat{\mathbf{V}}^{\mathrm{HC1}}_{\hat{\boldsymbol{\beta}}_{ols}}$、$\widehat{\mathbf{V}}^{\mathrm{HC2}}_{\hat{\boldsymbol{\beta}}_{ols}}$ 和 $\widehat{\mathbf{V}}^{\mathrm{HC3}}_{\hat{\boldsymbol{\beta}}_{ols}}$ 在数值上比较接近。$\widehat{\mathbf{V}}^{\mathrm{HC1}}_{\hat{\boldsymbol{\beta}}_{ols}}$ 是 Stata 默认的异方差稳健估计量；根据式 (3.10)，$\widehat{\mathbf{V}}^{\mathrm{HC2}}_{\hat{\boldsymbol{\beta}}_{ols}}$ 在球形扰动假设下具有无偏性；根据式 (3.11)，$\widehat{\mathbf{V}}^{\mathrm{HC3}}_{\hat{\boldsymbol{\beta}}_{ols}}$ 提供了三个估计量中较谨慎的异方差稳健估计量。此外，注意到 $\tilde{e}_i = (1-h_{ii})^{-1}e_i$ 和 $\bar{e}_i = (1-h_{ii})^{-1/2}e_i$，[3] 当至少有一个观测具有较大的杠杆值时，三个估计量给出的结果可能存在较大的差异。

3.4 异方差自相关稳健标准误

自相关序列样本均值的渐近理论

若时间序列存在自相关，其样本均值的渐近方差表达式中将包含自协方差项。考虑一元时间序列 $\{y_t\}_{t=1}^T$，定义 $\bar{y} = (1/T)\sum_{t=1}^T y_t$，则有：

$$\begin{aligned}
\mathrm{Var}(\sqrt{T}\bar{y}) &= \frac{1}{T}\mathrm{Var}\left(\sum_{t=1}^{T} y_t\right) = \frac{1}{T}\left(T\gamma_0 + \sum_{t=1}^{T}\sum_{s\neq t}^{T}\mathrm{Cov}(y_t, y_s)\right) \\
&= \gamma_0 + \frac{2}{T}\sum_{t=1}^{T}\sum_{s<t}^{T}\mathrm{Cov}(y_t, y_s) = \gamma_0 + \frac{2}{T}\sum_{j=1}^{T-1}(T-j)\gamma_j \\
&= \gamma_0 + 2\sum_{j=1}^{T-1}(1-\frac{j}{T})\gamma_j.
\end{aligned}$$

[2] 回归中一般都有常数项，此时，$h_{ii} \geqslant 1/n$。

[3] 见本章附录 2。

定理 B.8 给出了平稳遍历鞅差序列的中心极限定理，若时间序列虽满足平稳遍历性但存在自相关，我们需要施加额外的假设保证中心极限定理依然成立。比较常用的假设是遍历平稳过程的 Gordin 条件（见 White (2001) 的第五章）：

(a) $\mathbb{E}(y_t^2) < \infty$；

(b) 当 $j \to \infty$ 时，$\mathbb{E}(y_t \mid y_{t-j}, y_{t-j-1}, \ldots) \underset{m.s.}{\to} 0$；

(c) $\sum_{j=0}^{\infty}[\mathbb{E}(r_{tj}^2)]^{1/2} < \infty$，其中，$r_{tj} \equiv \mathbb{E}(y_t \mid \mathscr{F}_{t-j}) - \mathbb{E}(y_t \mid \mathscr{F}_{t-j-1})$，$\mathscr{F}_t \equiv \{y_t, y_{t-1}, \ldots\}$。

注 条件 (a) 要求 y_t 具有有限的二阶矩，由于严平稳过程的二阶矩可能不存在，所以，(a) 是对平稳性施加的额外限制；条件 (b) 可以推出 $\mathbb{E}(y_t) = 0$，直观上，随着 j 趋于无穷，对 y_t 的预测使用的信息越来越少，直至最后接近于不使用任何信息的预测，即，无条件期望；为了更好地理解条件 (c)，将 y_t 表示为：

$$\begin{aligned} y_t &= [y_t - \mathbb{E}(y_t \mid \mathscr{F}_{t-1})] + [\mathbb{E}(y_t \mid \mathscr{F}_{t-1}) - \mathbb{E}(y_t \mid \mathscr{F}_{t-2})] + \cdots \\ &\quad + [\mathbb{E}(y_t \mid \mathscr{F}_{t-j+1}) - \mathbb{E}(y_t \mid \mathscr{F}_{t-j})] + \mathbb{E}(y_t \mid \mathscr{F}_{t-j}) \\ &= (r_{t0} + r_{t1} + \cdots + r_{t,j-1}) + \mathbb{E}(y_t \mid \mathscr{F}_{t-j}). \end{aligned}$$

由条件 (b) 可知，对任意的 t，当 $j \to \infty$ 时，$y_t - (r_{t0} + r_{t1} + \cdots + r_{t,j-1})$ 依均方收敛到 0，因此，

$$y_t = \sum_{j=1}^{\infty} r_{tj}.$$

注意到 r_{tj} 衡量的是信息由 $\mathscr{F}_{t-j-1}$ 增加到 $\mathscr{F}_{t-j}$ 后对 y_t 预测的改进，y_t 可以表示为当前时刻和所有过去时刻的改进之和。条件 (c) 直观上要求距离当前时刻很久之前的改进对 y_t 没有显著的影响，这实际上是对 $\{y_t\}$ 自相关强度的限制。

满足 Gordin 条件的平稳遍历过程有如下结论成立：

定理 3.5. 零均值平稳遍历过程的中心极限定理

假设 $\{y_t\}$ 是平稳遍历过程且满足 Gordin 条件，则有：

- $\mathbb{E}(y_t) = 0$；
- 自协方差 $\{\gamma_j\}$ 绝对可加；
- $\sqrt{T}\,\bar{y} \underset{d}{\to} \mathcal{N}\left(0, \sum_{j=-\infty}^{\infty} \gamma_j\right)$.

♡

Gordin 条件可以容易地推广到多元情形：

(a) $\mathbb{E}(\mathbf{y}_t\mathbf{y}_t')$ 存在且有限；

(b) 当 $j \to \infty$ 时，$\mathbb{E}(\mathbf{y}_t \mid \mathbf{y}_{t-j}, \mathbf{y}_{t-j-1}, \ldots) \underset{m.s.}{\to} \mathbf{0}$；

(c) $\sum_{j=0}^{\infty}[\mathbb{E}(\mathbf{r}_{tj}'\mathbf{r}_{tj})]^{1/2} < \infty$，其中，

$$\mathbf{r}_{tj} \equiv \mathbb{E}(\mathbf{y}_t \mid \mathbf{y}_{t-j}, \mathbf{y}_{t-j-1}, \ldots) - \mathbb{E}(\mathbf{y}_t \mid \mathbf{y}_{t-j-1}, \mathbf{y}_{t-j-2}, \ldots).$$

满足多元 Gordin 条件的向量平稳遍历过程有如下结论成立：

定理 3.6. 零均值向量平稳遍历过程的中心极限定理

假设 $\{\mathbf{y}_t\}$ 是向量平稳遍历过程且满足多元 Gordin 条件，则有：

- $\mathbb{E}(\mathbf{y}_t) = 0$；
- 自协方差矩阵 $\{\mathbf{\Gamma}_j\}$ 绝对可加，其中，$\mathbf{\Gamma}_j \equiv \mathbb{E}[\mathbf{y}_t\mathbf{y}_{t-j}']$；
- $\sqrt{T}\,\bar{\mathbf{y}} \xrightarrow[d]{} \mathcal{N}\left(\mathbf{0}, \sum_{j=-\infty}^{\infty}\mathbf{\Gamma}_j\right)$.

♡

$\bar{\mathbf{y}}$ 的渐近方差 $\sum_{j=-\infty}^{\infty}\mathbf{\Gamma}_j$ 称为长期方差（long-run variance）。

长期方差的估计

假设 2.5* 要求 $\{\mathbf{g}_t\}$ 是鞅差序列，由于鞅差序列不存在自相关，$\bar{\mathbf{g}}$ 的渐近方差为 $\mathbf{S} = \mathbb{E}(\mathbf{g}_t\mathbf{g}_t')$。事实上，

$$\mathrm{Avar}(\bar{\mathbf{g}}) = \mathrm{Var}(\sqrt{n}\bar{\mathbf{g}}) = \mathrm{Var}\left(\frac{1}{\sqrt{n}}\sum_{i=1}^{n}\mathbf{g}_i\right) = \frac{1}{n}\sum_{i=1}^{n}\mathrm{Var}(\mathbf{g}_i) = \mathbf{S}.$$

我们可以通过如下假设放松无自相关的限制：

假设 2.5′：（Gordin 条件）$\{\mathbf{g}_t\}$ 满足多元 Gordin 条件，其长期方差是非奇异的。

由定理 3.6，$\sqrt{n}\bar{\mathbf{g}}$ 收敛到正态分布，其渐近方差 $\mathbf{S}$ 为：

$$\mathbf{S} = \sum_{j=-\infty}^{\infty}\mathbf{\Gamma}_j = \mathbf{\Gamma}_0 + \sum_{j=1}^{\infty}(\mathbf{\Gamma}_j + \mathbf{\Gamma}_j'), \quad \text{其中，} \mathbf{\Gamma}_j = \mathbb{E}(\mathbf{g}_t\mathbf{g}_{t-j}'),$$

这里我们用到了 $\mathbf{\Gamma}_{-j} = \mathbf{\Gamma}_j'$。只要我们可以一致地估计长期方差 $\mathbf{S}$，定理 2.9 和定理 2.11 的结论依然成立。同时，因为 $\{\mathbf{\Gamma}_j\}$ 绝对可加，所以，随着 $j \to \infty$，$\mathbf{\Gamma}_j \to \mathbf{0}$。我们可以选取足够大的正整数 q，使得

$$\mathbf{S}_q = \sum_{j=-q}^{q}\mathbf{\Gamma}_j$$

可以作为 $\mathbf{S}$ 的近似。这里的 q 在文献中被称为滞后截断数（lag truncation number）或窗宽（bandwidth）。

对于固定的 j，$\mathbf{\Gamma}_j$ 可以用如下样本自协方差估计：

$$\widehat{\mathbf{\Gamma}}_j = \frac{1}{n}\sum_{t=j+1}^{n}\hat{\mathbf{g}}_t\hat{\mathbf{g}}_{t-j}', \quad j = 0, 1, \ldots, n-1,$$

其中，$\hat{\mathbf{g}}_t = \mathbf{x}_t e_t$。在适当的矩条件下，可以证明 $\widehat{\mathbf{\Gamma}}_j$ 是 $\mathbf{\Gamma}_j$ 的一致估计量。因此，对任意给定的 $q > 0$，

$$\hat{\mathbf{S}}_q = \sum_{j=-q}^{q}\widehat{\mathbf{\Gamma}}_j$$

是 $\mathbf{S}_q$ 的一致估计。

如果 $\{\mathbf{g}_t\}$ 满足：对已知且有限的正整数 q，当 $j > q$ 时，$\mathbf{\Gamma}_j = \mathbf{0}$，则有 $\mathbf{S} = \mathbf{S}_q$。于是，$\hat{\mathbf{S}}_q$ 是 $\mathbf{S}$ 的一致估计。更一般地，q 可以随着 n 趋于无穷，只要 q 趋于无穷的速度足够慢，$\hat{\mathbf{S}}_q$ 仍然是 $\mathbf{S}$ 的一致估计（见 White et al. (1984)）。若 q 是未知的，实际中需要选择适当的 q 对长期方差进行截断，这会导致两个问题：一是估计的结果对 q 的选择敏感；二是 $\hat{\mathbf{S}}_q$ 可能不是半正定的。例如，假设 $\mathbf{g}_t$ 是标量，若 $q = 1$，$\hat{\mathbf{S}}_1 = \hat{\gamma}_0(1 + 2\hat{\rho}_1)$，当 $\hat{\rho}_1 < 0.5$ 时，

$\hat{\mathbf{S}}_1$ 为负数。为了解决这两个问题，Newey et al. (1987) 提出了如下 Newey-West 估计量：

$$\hat{\mathbf{S}}_{nw} = \sum_{j=-q}^{q} \left(1 - \frac{|j|}{q+1}\right) \widehat{\mathbf{\Gamma}}_j. \tag{3.12}$$

上式实际上是 $\{\widehat{\mathbf{\Gamma}}_j\}$ 的加权求和，其权重函数称为 Bartlett 核函数。基于 $\hat{\mathbf{S}}_{nw}$ 的最小二乘估计量的协方差矩阵估计称为异方差自相关一致（heteroskedasticity and autocorrelation consistent, HAC）协方差估计或异方差自相关稳健（heteroskedasticity and autocorrelation robust, HAR）协方差估计。为了使 $\hat{\mathbf{S}}_{nw}$ 是 $\mathbf{S}$ 的一致估计量，q 需要随着 n 趋于无穷，Hansen (1992) 指出 q 趋于无穷的速度要不快于 $n^{1/3}$。Andrews (1991) 指出最小化 $\hat{\mathbf{S}}_{nw}$ 的均方误差的最优窗宽 q 满足 $q = Cn^{1/3}$，其中，C 是与自协方差有关的常数，选择最优窗宽的 Andrews 规则为：

$$q = \left[6\frac{\rho^2}{(1-\rho^2)^2}\right]^{1/3} n^{1/3},$$

其中，ρ 是自相关参数，若 $\mathbf{g}_t$ 是标量，ρ 是 $\mathbf{g}_t$ 的一阶自相关系数。实际使用时，ρ 也可以取成某些默认值，例如，$\rho = 0.5$，此时，$q = 1.4n^{1/3}$。

注 在 Stata 中，可以对时间序列数据使用命令 newey 进行 OLS 回归并汇报系数估计的 Newey-West 标准误，在使用此命令前要先使用命令 tsset 声明时间变量。newey 命令的使用格式为：newey *depvar indepvars*, lag(q)，其中，*depvar* 为被解释变量，*indepvars* 为解释变量。

3.5 聚类标准误

前文讨论的各个观测之间的相关主要是指时间序列数据的自相关。对于横截面数据，我们通常假设各个观测之间是彼此独立的。但是，横截面个体之间也可能存在相关性，例如，国内各个地级市之间有经济上的往来，利用地级市数据研究经济问题时假设横截面独立就不符合实际情况；股票价格会受到经济金融政策、突发事件等共同因素的冲击，也会导致横截面的相关性。与时间序列的自相关不同，横截面的相关性没有一个像时间一样的自然顺序，这导致为横截面相关性建模往往比较困难。空间计量（见 Anselin (1988)）通过定义“相关矩阵”在计量模型中显示地刻画横截面相关，这种相关矩阵的结构通常由横截面个体的地理距离或经济意义上的“距离”决定。在面板数据中，可以通过引入共同因子结构对横截面相关性进行建模（见 Pesaran (2006) 和 Bai (2009)）。关于使用空间计量和因子结构进行横截面相关性建模的较详细介绍可以参考 Xu et al. (2016)。本小节并不讨论为横截面相关性建模的问题，而是讨论在存在横截面相关性的情况下如何做稳健的统计推断。这里考虑的样本为聚类样本（clustered sample）。在聚类样本中，各个观测个体被划分为有限个聚类，各个聚类之间彼此独立或不相关，但是允许同一聚类内部的个体存在任意形式的相关性。[4]

具体地，我们考虑样本 $(y_{ig}, \mathbf{x}_{ig})$，其中，$g = 1, \ldots, G$ 是表示 G 个不同聚类的下标；$i = 1, \ldots, n_g$ 是第 g 个聚类内观测个体的下标。根据这两个下标的定义，样本总量为：

[4] Cameron et al. (2015) 和 MacKinnon et al. (2022a) 对聚类标准误进行了详细地讨论，推荐想进一步了解相关内容的读者阅读。

$n=\sum_{g=1}^{G} n_g$。令 $\mathbf{y}_g=(y_{1g},\ldots,y_{n_g g})'$ 表示 $n_g\times 1$ 维第 g 个聚类中的所有被解释变量观测值构成的向量；$\mathbf{X}_g=(\mathbf{x}_{1g},\ldots,\mathbf{x}_{n_g g})'$ 表示 $n_g\times K$ 维第 g 个聚类中的所有解释变量观测值构成的数据矩阵。个体层面的线性回归方程可以表示为：

$$y_{ig}=\mathbf{x}_{ig}'\boldsymbol{\beta}+\varepsilon_{ig},\quad i=1,\ldots,n_g;\ g=1,\ldots,G.$$

利用刚刚引入的记号，聚类层面的线性回归方程可以表示为：

$$\mathbf{y}_g=\mathbf{X}_g\boldsymbol{\beta}+\boldsymbol{\varepsilon}_g,\quad g=1,\ldots,G,$$

其中，$\boldsymbol{\varepsilon}_g=(\varepsilon_{1g},\ldots,\varepsilon_{n_g g})'$ 是第 g 个聚类中的 $n_g\times 1$ 维的误差向量。显然，把所有的 $\mathbf{X}_g$ 按列堆叠在一起便得到 $n\times K$ 维的数据矩阵 $\mathbf{X}$。类似地，我们也可以通过 $\mathbf{y}_g$ 和 $\boldsymbol{\varepsilon}_g$ 的堆叠分别得到 $\mathbf{y}$ 和 $\boldsymbol{\varepsilon}$。因此，假设 2.1 中的 $\mathbf{y}=\mathbf{X}\boldsymbol{\beta}+\boldsymbol{\varepsilon}$ 依然成立。由式 (2.8)，

$$\begin{aligned}\hat{\boldsymbol{\beta}}_{ols} &= (\mathbf{X}'\mathbf{X})^{-1}\mathbf{X}'\mathbf{y}=\left(\sum_{g=1}^{G}\sum_{i=1}^{n_g}\mathbf{x}_{ig}\mathbf{x}_{ig}'\right)^{-1}\left(\sum_{g=1}^{G}\sum_{i=1}^{n_g}\mathbf{x}_{ig}y_{ig}\right)\\ &= \left(\sum_{g=1}^{G}\mathbf{X}_g'\mathbf{X}_g\right)^{-1}\left(\sum_{g=1}^{G}\mathbf{X}_g'\mathbf{y}_g\right).\end{aligned}\tag{3.13}$$

个体层面的残差可以表示为 $e_{ig}=y_{ig}-\mathbf{x}_{ig}'\hat{\boldsymbol{\beta}}_{ols}$；聚类层面的残差向量可以表示为 $\boldsymbol{e}_g=\mathbf{y}_g-\mathbf{X}_g\hat{\boldsymbol{\beta}}_{ols}$。注意到，由式 (2.17)，

$$\hat{\boldsymbol{\beta}}_{ols}-\boldsymbol{\beta}=\left(\sum_{g=1}^{G}\mathbf{X}_g'\mathbf{X}_g\right)^{-1}\left(\sum_{g=1}^{G}\mathbf{X}_g'\boldsymbol{\varepsilon}_g\right)\equiv\left(\sum_{g=1}^{G}\mathbf{X}_g'\mathbf{X}_g\right)^{-1}\left(\sum_{g=1}^{G}\boldsymbol{s}_g\right),\tag{3.14}$$

其中，$\boldsymbol{s}_g=\mathbf{X}_g'\boldsymbol{\varepsilon}_g$，MacKinnon et al. (2022a) 将 $\boldsymbol{s}_g$ 称为第 g 个聚类的得分（score）向量。对于得分向量，我们需要施加如下假设：

假设 3.1：（聚类规则）

(a) $\mathbb{E}(\boldsymbol{s}_g)=\mathbf{0}$，$g=1,\ldots,G$；

(b) $\mathbb{E}(\boldsymbol{s}_g\boldsymbol{s}_g')=\boldsymbol{\Sigma}_g$，$\mathbb{E}(\boldsymbol{s}_g\boldsymbol{s}_{g^*}')=\mathbf{0}$，$g,\ g^*=1,\ldots,G$，$g\neq g^*$。

注 在 (b) 中，我们要求不同聚类的得分向量彼此之间不相关；但是，$\boldsymbol{\Sigma}_g$ 可以具有任意形式的异方差和（或）聚类内的相关结构。使假设 3.1 成立的一组充分条件为：

假设 3.1*：（聚类的外生性和条件不相关）

(a) $\mathbb{E}(\boldsymbol{\varepsilon}_g\mid\mathbf{X})=\mathbf{0}$，$g=1,\ldots,G$；

(b) $\mathbb{E}(\boldsymbol{\varepsilon}_g\boldsymbol{\varepsilon}_g'\mid\mathbf{X})=\boldsymbol{\Omega}_g$，$\mathbb{E}(\boldsymbol{\varepsilon}_g\boldsymbol{\varepsilon}_{g^*}'\mid\mathbf{X})=\mathbf{0}$，$g,\ g^*=1,\ldots,G$，$g\neq g^*$。

事实上，根据假设 3.1* 中的条件 (a)，

$$\mathbb{E}(\boldsymbol{s}_g)=\mathbb{E}[\mathbb{E}(\mathbf{X}_g'\boldsymbol{\varepsilon}_g\mid\mathbf{X})]=\mathbb{E}[\mathbf{X}_g'\mathbb{E}(\boldsymbol{\varepsilon}_g\mid\mathbf{X})]=\mathbf{0}.$$

此外，根据假设 3.1* 中的条件 (b)，可以推出：

$$\boldsymbol{\Sigma}_g=\mathbb{E}(\boldsymbol{s}_g\boldsymbol{s}_g')=\mathbb{E}[\mathbb{E}(\boldsymbol{s}_g\boldsymbol{s}_g'\mid\mathbf{X})]=\mathbb{E}[\mathbf{X}_g'\mathbb{E}(\boldsymbol{\varepsilon}_g\boldsymbol{\varepsilon}_g'\mid\mathbf{X})\mathbf{X}_g]=\mathbb{E}[\mathbf{X}_g'\boldsymbol{\Omega}_g\mathbf{X}_g],$$

和

$$\mathbb{E}(\boldsymbol{s}_g\boldsymbol{s}_{g^*}')=\mathbb{E}[\mathbb{E}(\boldsymbol{s}_g\boldsymbol{s}_{g^*}'\mid\mathbf{X})]=\mathbb{E}[\mathbf{X}_g'\mathbb{E}(\boldsymbol{\varepsilon}_g\boldsymbol{\varepsilon}_{g^*}'\mid\mathbf{X})\mathbf{X}_{g^*}]=\mathbf{0}.$$

若假设 $\mathbb{E}(\varepsilon_{ig}^2\mid\mathbf{X})=\sigma^2$ 和 $\mathbb{E}(\varepsilon_{ig}\varepsilon_{jg}\mid\mathbf{X})=0$，$i\neq j$，则有：$\boldsymbol{\Omega}_g=\sigma^2\mathbf{I}_{n_g}$，并

且 $\mathbb{E}(\boldsymbol{s}_g\boldsymbol{s}_g' \mid \mathbf{X}) = \sigma^2\mathbf{X}_g'\mathbf{X}_g$。此时，容易验证最小二乘估计量的条件方差依然具有定理 2.2 中结论 (b) 的形式，即，$\mathrm{Var}(\hat{\boldsymbol{\beta}}_{ols} \mid \mathbf{X}) = \sigma^2\left(\mathbf{X}'\mathbf{X}\right)^{-1}$。然而，一般情况下，由假设 3.1* 和式 (3.14)，我们有：

$$\mathrm{Var}(\hat{\boldsymbol{\beta}}_{ols} \mid \mathbf{X}) = \mathrm{Var}(\hat{\boldsymbol{\beta}}_{ols} - \boldsymbol{\beta} \mid \mathbf{X}) = \left(\mathbf{X}'\mathbf{X}\right)^{-1}\left(\sum_{g=1}^{G}\mathbf{X}_g'\boldsymbol{\Omega}_g\mathbf{X}_g\right)\left(\mathbf{X}'\mathbf{X}\right)^{-1}. \tag{3.15}$$

式 (3.15) 与 $\sigma^2\left(\mathbf{X}'\mathbf{X}\right)^{-1}$ 存在区别的原因是 $\mathbb{E}(\boldsymbol{\varepsilon}_g\boldsymbol{\varepsilon}_g' \mid \mathbf{X})$ 的条件异方差和聚类内的横截面相关。为了看清楚聚类内的横截面相关对最小二乘估计量的条件方差的影响，考虑如下情况：

$$\mathbb{E}(\varepsilon_{ig}^2 \mid \mathbf{X}) = \sigma^2; \quad \mathbb{E}\left[\varepsilon_{ig}\varepsilon_{jg}|\mathbf{X}\right] = \sigma^2\rho, \quad i \neq j; \quad n_g = N, \quad g = 1, \ldots, G.$$

此外，假设同一聚类内的解释变量 $\mathbf{x}_{ig}$ 的取值都相同。容易验证，此时的最小二乘估计量的条件方差为：

$$\mathrm{Var}(\hat{\boldsymbol{\beta}}_{ols} \mid \mathbf{X}) = \left(\mathbf{X}'\mathbf{X}\right)^{-1}\sigma^2(1+\rho(N-1)).$$

从上式可以看出，在聚类内存在横截面相关的情况下，最小二乘估计量的条件方差与球形扰动假设下的古典形式的区别依赖于聚类内的样本数量和聚类内横截面个体间的相关程度。因此，即使聚类内横截面个体间的相关性很弱，大的聚类内样本量也会导致 $\hat{\boldsymbol{\beta}}_{ols}$ 的真实条件方差与 $\sigma^2\left(\mathbf{X}'\mathbf{X}\right)^{-1}$ 之间存在较大差异。例如，当 $\rho = 0.1$ 和 $N = 50$ 时，真实的条件方差是 $\sigma^2\left(\mathbf{X}'\mathbf{X}\right)^{-1}$ 的 5.9 倍。

聚类稳健方差估计量

为了估计式 (3.15) 中的 $\mathrm{Var}(\hat{\boldsymbol{\beta}}_{ols} \mid \mathbf{X})$，我们可以将 $\boldsymbol{\Omega}_g$ 替换为 $\boldsymbol{e}_g\boldsymbol{e}_g'$，其中，$\boldsymbol{e}_g = \left(e_{1g}, \ldots, e_{n_g g}\right)'$，表示第 g 个聚类的回归残差构成的列向量，从而得到如下估计量：

$$\left(\mathbf{X}'\mathbf{X}\right)^{-1}\left(\sum_{g=1}^{G}\mathbf{X}_g'\boldsymbol{e}_g\boldsymbol{e}_g'\mathbf{X}_g\right)\left(\mathbf{X}'\mathbf{X}\right)^{-1}.$$

在实际使用时，一般会对上式做小样本调整，Stata 中 reg 命令计算聚类稳健标准误时使用的聚类稳健协方差矩阵估计量为：

$$\widehat{\mathbf{V}}_{\hat{\boldsymbol{\beta}}_{ols}}^{\mathrm{CV1}} = \left(\frac{n-1}{n-K}\right)\left(\frac{G}{G-1}\right)\left(\mathbf{X}'\mathbf{X}\right)^{-1}\left(\sum_{g=1}^{G}\mathbf{X}_g'\boldsymbol{e}_g\boldsymbol{e}_g'\mathbf{X}_g\right)\left(\mathbf{X}'\mathbf{X}\right)^{-1}. \tag{3.16}$$

当 $G = n$ 时，$\widehat{\mathbf{V}}_{\hat{\boldsymbol{\beta}}_{ols}}^{\mathrm{CV1}}$ 退化为式 (3.6) 中的 $\widehat{\mathbf{V}}_{\hat{\boldsymbol{\beta}}_{ols}}^{\mathrm{HC1}}$。使用聚类稳健标准误进行统计推断的 Stata 命令格式为：reg *depvar indepvars*, vce(cluster *clustvar*)，其中，*clustvar* 为识别不同聚类的变量。

与本章附录 2 中关于残差的讨论类似，$\boldsymbol{e}_g\boldsymbol{e}_g'$ 并不是 $\boldsymbol{\Omega}_g$ 的最好估计，Bell et al. (2002) 提出了另外两种聚类稳健协方差估计量：

$$\widehat{\mathbf{V}}_{\hat{\boldsymbol{\beta}}_{ols}}^{\mathrm{CV2}} = \left(\mathbf{X}'\mathbf{X}\right)^{-1}\left(\sum_{g=1}^{G}\mathbf{X}_g'\bar{\boldsymbol{e}}_g\bar{\boldsymbol{e}}_g'\mathbf{X}_g\right)\left(\mathbf{X}'\mathbf{X}\right)^{-1}, \tag{3.17}$$

$$\widehat{\mathbf{V}}_{\hat{\boldsymbol{\beta}}_{ols}}^{\mathrm{CV3}} = \left(\frac{G-1}{G}\right)(\mathbf{X}'\mathbf{X})^{-1}\left(\sum_{g=1}^{G}\mathbf{X}_g'\tilde{\boldsymbol{e}}_g\tilde{\boldsymbol{e}}_g'\mathbf{X}_g\right)(\mathbf{X}'\mathbf{X})^{-1}, \tag{3.18}$$

其中，$\bar{\boldsymbol{e}}_g = \mathbf{M}_{gg}^{-1/2}\boldsymbol{e}_g$，$\tilde{\boldsymbol{e}}_g = \mathbf{M}_{gg}^{-1}\boldsymbol{e}_g$，$\mathbf{M}_{gg} = \mathbf{I}_{n_g} - \mathbf{X}_g(\mathbf{X}'\mathbf{X})^{-1}\mathbf{X}_g'$。当 $G = n$ 时，$\widehat{\mathbf{V}}_{\hat{\boldsymbol{\beta}}_{ols}}^{\mathrm{CV2}}$ 退化为式 (3.7) 中的 $\widehat{\mathbf{V}}_{\hat{\boldsymbol{\beta}}_{ols}}^{\mathrm{HC2}}$。

Stata 的非官方命令 reg_sandwich 提供了基于 (3.17) 计算的聚类稳健标准误。使用此命令前，需要先进行安装，命令如下：

```
. ssc install reg_sandwich, replace
```

reg_sandwich 命令的使用格式为：reg_sandwich *depvar indepvars*, cluster(*clustvar*)。关于此命令背后计量理论的详细介绍读者可以参考 Pustejovsky et al. (2018)。

当 n_g 比较小时，根据式 (3.18) 计算 $\widehat{\mathbf{V}}_{\hat{\boldsymbol{\beta}}_{ols}}^{\mathrm{CV3}}$ 是可行的。然而，当存在着某一个聚类 g 具有很大的 n_g 时，基于 (3.18) 的计算会出现问题，这是因为计算过程中要对每一个聚类的 $n_g \times n_g$ 维矩阵 $\mathbf{M}_{gg}$ 进行求逆并保存结果。为了解决这一问题，MacKinnon et al. (2022c) 提供了一种基于 Jackknife 方法的高效算法[5]，并开发了 Stata 的非官方命令 summclust 实现此算法。使用此命令前，也需要先进行安装，命令如下：

```
. ssc install summclust, replace
```

summclust 命令的使用格式为：summclust *core_indepvar*, yvar(*depvar*) xvar(*other_indepvars*) cluster(*clustvar*)，其中，*core_indepvar* 是核心解释变量，*other_indepvars* 为其他控制变量。summclust 命令的输出结果主要包括了核心解释变量的系数估计以及基于式 (3.16) 和 (3.18) 的聚类稳健标准误。

统计模拟显示，与 Stata 回归命令默认使用的 $\widehat{\mathbf{V}}_{\hat{\boldsymbol{\beta}}_{ols}}^{\mathrm{CV1}}$ 相比，在小样本情况下，使用由 $\widehat{\mathbf{V}}_{\hat{\boldsymbol{\beta}}_{ols}}^{\mathrm{CV3}}$ 计算的标准误进行统计推断得到的结论更加可靠。因此，MacKinnon et al. (2022c) 推荐使用 $\widehat{\mathbf{V}}_{\hat{\boldsymbol{\beta}}_{ols}}^{\mathrm{CV3}}$ 进行统计推断。

3.6 重抽样方法

古典模型的统计推断使用了检验统计量的精确分布，但是，保证精确分布成立需要同方差和正态性等过于严格的假设；另一方面，大样本统计推断基于统计量的渐近分布，因此，在样本量十分有限的情况下，统计量的真实分布与渐近分布之间可能存在较大的差异。本节讨论在实证分析中被广泛使用的重抽样方法，其中包括 Jackknife 和 Bootstrap。当样本量为 n 时，Jackknife 通过 n 个“去一”估计量的经验分布分析全样本估计量的统计性质，通常用于方差的估计；Bootstrap 通过对原数据集进行有放回的随机抽样得到样本量同样为 n 的 Bootstrap 样本并基于此样本得到参数的估计，如此重复多次最终得到参数估计量的抽样分布的估计。Bootstrap 常用于方差估计、构造置信区间和假设检验。Hansen (2022a) 的第十章以及 Efron et al. (2016) 的第十章和第十一章对这两种重抽样方

[5] 我们将在下一节讨论 Jackknife 方法。

法的实施步骤和理论性质进行了详细地介绍。

Jackknife

Jackknife 利用“去一”估计量的经验分布得到全样本估计量的各阶矩的估计。具体地，令 $\hat{\boldsymbol{\theta}}$ 是向量值参数 $\boldsymbol{\theta}$ 的任意估计量，即，$\hat{\boldsymbol{\theta}}$ 是样本量为 n 的简单随机样本的一个函数；再令 $\mathbf{V}_{\hat{\boldsymbol{\theta}}} = \mathrm{Var}(\hat{\boldsymbol{\theta}})$ 表示 $\hat{\boldsymbol{\theta}}$ 的方差。$\boldsymbol{\theta}$ 的“去一”估计量 $\hat{\boldsymbol{\theta}}_{(-i)}$ 利用了 $\hat{\boldsymbol{\theta}}$ 的函数形式，但是，在估计 $\boldsymbol{\theta}$ 时，$\hat{\boldsymbol{\theta}}_{(-i)}$ 未使用第 i 个样本观测。$\mathbf{V}_{\hat{\boldsymbol{\theta}}}$ 的 Jackknife 估计量定义为：

$$\widehat{\mathbf{V}}_{\hat{\boldsymbol{\theta}}}^{\mathrm{jack}} = \frac{n-1}{n}\sum_{i=1}^{n}\left(\hat{\boldsymbol{\theta}}_{(-i)} - \bar{\boldsymbol{\theta}}\right)\left(\hat{\boldsymbol{\theta}}_{(-i)} - \bar{\boldsymbol{\theta}}\right)', \tag{3.19}$$

其中，$\bar{\boldsymbol{\theta}}$ 是“去一”估计量的样本均值，即，

$$\bar{\boldsymbol{\theta}} = \frac{1}{n}\sum_{i=1}^{n}\hat{\boldsymbol{\theta}}_{(-i)}.$$

$\hat{\boldsymbol{\theta}}$ 中第 k 个元素的 Jackknife 标准误是 $\widehat{\mathbf{V}}_{\hat{\boldsymbol{\theta}}}^{\mathrm{jack}}$ 的对角线上第 k 个元素的平方根。

从形式上看，式 (3.19) 类似于样本协方差矩阵的公式，但是，求和符号前的 $(n-1)/n$ 并不直观。为了更好地理解式 (3.19)，考虑如下例子：令 $\hat{\theta}$ 是 $(x_1,\ldots,x_n)$ 的样本均值，我们有：

$$\begin{aligned}
\hat{\theta}_{(-i)} &= \frac{1}{n-1}\sum_{j\neq i}x_j = \frac{n}{n-1}\bar{x} - \frac{1}{n-1}x_i, \quad \bar{x} = \frac{1}{n}\sum_{i=1}^{n}x_i, \\
\bar{\theta} &= \frac{1}{n}\sum_{i=1}^{n}\hat{\theta}_{(-i)} = \bar{x}, \quad \hat{\theta}_{(-i)} - \bar{\theta} = \frac{1}{n-1}(\bar{x} - x_i).
\end{aligned}$$

于是，

$$\widehat{\mathbf{V}}_{\hat{\theta}}^{\mathrm{jack}} = \frac{n-1}{n}\sum_{i=1}^{n}\left(\frac{1}{n-1}\right)^2(\bar{x}-x_i)^2 = \frac{1}{n}\left(\frac{1}{n-1}\right)\sum_{i=1}^{n}(\bar{x}-x_i)^2,$$

从上式可以看出，式 (3.19) 给出的 Jackknife 估计量即为 $\bar{x}$ 的方差的估计量。

接下来，我们考虑最小二乘估计量 $\hat{\boldsymbol{\beta}}_{ols}$ 的方差的 Jackknife 估计。由式 (3.41)，“去一”估计量的样本均值为：

$$\bar{\boldsymbol{\beta}} = \hat{\boldsymbol{\beta}}_{ols} - \left(\mathbf{X}'\mathbf{X}\right)^{-1}\tilde{\boldsymbol{\mu}}, \quad \tilde{\boldsymbol{\mu}} = \frac{1}{n}\sum_{i=1}^{n}\mathbf{x}_i\tilde{e}_i.$$

将式 (3.41) 和 $\bar{\boldsymbol{\beta}}$ 代入式 (3.19) 得到：

$$\begin{aligned}
\widehat{\mathbf{V}}_{\hat{\boldsymbol{\beta}}_{ols}}^{\mathrm{jack}} &= \frac{n-1}{n}\sum_{i=1}^{n}\left(\hat{\boldsymbol{\beta}}_{(-i)} - \bar{\boldsymbol{\beta}}\right)\left(\hat{\boldsymbol{\beta}}_{(-i)} - \bar{\boldsymbol{\beta}}\right)' \\
&= \frac{n-1}{n}\left(\mathbf{X}'\mathbf{X}\right)^{-1}\left[\sum_{i=1}^{n}(\mathbf{x}_i\tilde{e}_i - \tilde{\boldsymbol{\mu}})(\mathbf{x}_i\tilde{e}_i - \tilde{\boldsymbol{\mu}})'\right]\left(\mathbf{X}'\mathbf{X}\right)^{-1} \\
&= \frac{n-1}{n}\left(\mathbf{X}'\mathbf{X}\right)^{-1}\left(\sum_{i=1}^{n}\mathbf{x}_i\mathbf{x}_i'\tilde{e}_i^2 - n\tilde{\boldsymbol{\mu}}\tilde{\boldsymbol{\mu}}'\right)\left(\mathbf{X}'\mathbf{X}\right)^{-1} \\
&= \frac{n-1}{n}\widehat{\mathbf{V}}_{\hat{\beta}_{ols}}^{\mathrm{HC3}} - (n-1)\left(\mathbf{X}'\mathbf{X}\right)^{-1}\tilde{\boldsymbol{\mu}}\tilde{\boldsymbol{\mu}}'\left(\mathbf{X}'\mathbf{X}\right)^{-1}.
\end{aligned} \tag{3.20}$$

由于向量 $\tilde{\boldsymbol{\mu}}$ 的各个元素的绝对值通常很小，因此，$\widehat{\mathbf{V}}_{\hat{\boldsymbol{\beta}}_{ols}}^{\mathrm{jack}} \approx \widehat{\mathbf{V}}_{\hat{\boldsymbol{\beta}}_{ols}}^{\mathrm{HC3}}$，即，回归系数的方差

的 Jackknife 估计量与异方差稳健方差估计量是近似相等的。使用 Jackknife 估计量的优点是我们无需知道渐近方差的具体形式。

对于最小二乘估计量的非线性函数的方差的 Jackknife 估计也有类似结论。具体地，令 $\boldsymbol{\theta} = \mathbf{a}(\boldsymbol{\beta})$，$\hat{\boldsymbol{\theta}} = \mathbf{a}(\hat{\boldsymbol{\beta}}_{ols})$，$\boldsymbol{\theta}$ 的“去一”估计量为：

$$
\begin{aligned}
\hat{\boldsymbol{\theta}}_{(-i)} &= \mathbf{a}(\hat{\boldsymbol{\beta}}_{(-i)}) \\
&= \mathbf{a}\left(\hat{\boldsymbol{\beta}}_{ols} - \left(\mathbf{X}'\mathbf{X}\right)^{-1}\mathbf{x}_i\tilde{e}_i\right) && \text{(由式 (3.41))} \\
&\approx \hat{\boldsymbol{\theta}} - \mathbf{A}(\hat{\boldsymbol{\beta}}_{ols})'\left(\mathbf{X}'\mathbf{X}\right)^{-1}\mathbf{x}_i\tilde{e}_i, \quad \left(\mathbf{a}\left(\hat{\boldsymbol{\beta}}_{ols} - \left(\mathbf{X}'\mathbf{X}\right)^{-1}\mathbf{x}_i\tilde{e}_i\right) \text{ 在 } \hat{\boldsymbol{\beta}}_{ols} \text{ 处做一阶泰勒展开}\right)
\end{aligned}
$$

其中，$\mathbf{A}(\hat{\boldsymbol{\beta}}_{ols}) = \partial\mathbf{a}(\boldsymbol{\beta})/\partial\boldsymbol{\beta}' \mid_{\boldsymbol{\beta}=\hat{\boldsymbol{\beta}}_{ols}}$。于是，$\hat{\boldsymbol{\theta}}$ 的 Jackknife 方差估计量为：

$$
\begin{aligned}
\widehat{\mathbf{V}}^{\text{jack}}_{\hat{\boldsymbol{\theta}}} &= \frac{n-1}{n}\sum_{i=1}^{n}\left(\hat{\boldsymbol{\theta}}_{(-i)} - \bar{\boldsymbol{\theta}}\right)\left(\hat{\boldsymbol{\theta}}_{(-i)} - \bar{\boldsymbol{\theta}}\right)' \\
&= \frac{n-1}{n}\mathbf{A}(\hat{\boldsymbol{\beta}}_{ols})'\left(\mathbf{X}'\mathbf{X}\right)^{-1}\left(\sum_{i=1}^{n}\mathbf{x}_i\mathbf{x}_i'\tilde{e}_i^2 - n\tilde{\boldsymbol{\mu}}\tilde{\boldsymbol{\mu}}'\right)\left(\mathbf{X}'\mathbf{X}\right)^{-1}\mathbf{A}(\hat{\boldsymbol{\beta}}_{ols}) \\
&= \mathbf{A}(\hat{\boldsymbol{\beta}}_{ols})' \cdot \widehat{\mathbf{V}}^{\text{jack}}_{\hat{\boldsymbol{\beta}}_{ols}} \cdot \mathbf{A}(\hat{\boldsymbol{\beta}}_{ols}) \\
&\approx \mathbf{A}(\hat{\boldsymbol{\beta}}_{ols})' \cdot \widehat{\mathbf{V}}^{\text{HC3}}_{\hat{\boldsymbol{\beta}}_{ols}} \cdot \mathbf{A}(\hat{\boldsymbol{\beta}}_{ols}).
\end{aligned}
$$

由上式可以看出，$\hat{\boldsymbol{\theta}}$ 的方差的 Jackknife 估计量近似等于使用 Delta 方法 B.5 得到的渐近方差。这再一次表明方差的 Jackknife 估计提供了一种关于渐近方差的近似。

综上，Jackknife 是计算方差和标准误的既简单又灵活的统计方法。在通常情况下，Jackknife 方差的估计结果与渐近理论提供的渐近方差非常接近。使用 Jackknife 的优点是它可以在渐近方差或标准误表达式未知或难于计算的情况下提供渐近方差的近似。

例 3.5 再次考虑 Wooldridge (2010) 中例 4.1 使用的数据集 mroz.dta，我们将工资对数（lwage）对受教育年限（educ）和工作经验（exper）做回归，并分别汇报系数估计量的异方差稳健标准误和 Jackknife 标准误，使用的 Stata 程序如下：

```
. use mroz.dta, replace
. keep if inlf == 1                //只保留有工作的女性样本
. reg lwage educ exper, vce(hc3)  //使用异方差稳健标准误HC3
. reg lwage educ exper, vce(jackknife, nodots) //使用Jackknife标准误
. jackknife, nodots: reg lwage educ exper      //与上一行命令作用相同
```

回归的系数估计结果、异方差稳健标准误 HC3 以及 Jackknife 标准误由表 3.1 给出，从中可以看到，异方差稳健标准误 HC3 与 Jackknife 标准误十分接近。

表 3.1: 例 3.5 回归结果

变量名	系数估计量	异方差稳健标准误	Jackknife 标准误
educ	0.109	0.0134415	0.0134258
exper	0.016	0.0041081	0.0041033
_cons	-0.400	0.1841642	0.1839489

Stata 中的 jackknife 命令的使用格式为：jackknife *exp_list* [, options] : *command*，其中，

常用的选项（option）有：cluster(*varlist*) 和 mse。若未设置聚类变量，对数据集中的每一个观测 i，jackknife 命令都利用去掉第 i 个观测之后的数据集执行一次 *command*，计算和保存 *exp_list* 设定的估计量或统计量，并基于保存的结果计算其 Jackknife 标准误；若设置了聚类变量，jackknife 命令将计算聚类的 Jackknife 标准误（详见下一小节的讨论）；若设置了 mse，Jackknife 方差估计将使用如下公式：

$$\widehat{\mathbf{V}}_{\hat{\boldsymbol{\theta}}}^{\text{jack,mse}} = \frac{n-1}{n}\sum_{i=1}^{n}\left(\hat{\boldsymbol{\theta}}_{(-i)} - \hat{\boldsymbol{\theta}}\right)\left(\hat{\boldsymbol{\theta}}_{(-i)} - \hat{\boldsymbol{\theta}}\right)'.$$

另外，默认的 *exp_list* 是 _b，即，最小二乘系数估计量，此时建议使用 vce(jackknife)。

聚类数据的 Jackknife

回忆式 (3.13) 给出的最小二乘估计量的聚类公式：

$$\hat{\boldsymbol{\beta}}_{ols} = \left(\sum_{g=1}^{G}\mathbf{X}_g'\mathbf{X}_g\right)^{-1}\left(\sum_{g=1}^{G}\mathbf{X}_g'\mathbf{y}_g\right).$$

与“去一”估计量类似，在计算聚类数据的 Jackknife 方差估计量时，我们考虑如下“删除聚类”估计量：

$$\hat{\boldsymbol{\beta}}_{(-g)} = \hat{\boldsymbol{\beta}}_{ols} - \left(\mathbf{X}'\mathbf{X}\right)^{-1}\mathbf{X}_g'\tilde{\boldsymbol{e}}_g, \tag{3.21}$$

其中，

$$\tilde{\boldsymbol{e}}_g = \left(\mathbf{I}_{n_g} - \mathbf{X}_g\left(\mathbf{X}'\mathbf{X}\right)^{-1}\mathbf{X}_g'\right)^{-1}\boldsymbol{e}_g.$$

于是，仿照式 (3.19)，最小二乘估计量 $\hat{\boldsymbol{\beta}}_{ols}$ 的方差的聚类稳健 Jackknife 估计量为：

$$\widehat{\mathbf{V}}_{\hat{\boldsymbol{\beta}}_{ols}}^{\text{jack,cluster}} = \frac{G-1}{G}\sum_{g=1}^{G}\left(\hat{\boldsymbol{\beta}}_{(-g)} - \bar{\boldsymbol{\beta}}\right)\left(\hat{\boldsymbol{\beta}}_{(-g)} - \bar{\boldsymbol{\beta}}\right)',$$

其中，$\bar{\boldsymbol{\beta}} = (1/G)\sum_{g=1}^{G}\hat{\boldsymbol{\beta}}_{(-g)}$。

MacKinnon et al. (2022b) 证明了 $\widehat{\mathbf{V}}_{\hat{\boldsymbol{\beta}}_{ols}}^{\text{CV3}}$ 具有如下等价的表达形式：

$$\widehat{\mathbf{V}}_{\hat{\boldsymbol{\beta}}_{ols}}^{\text{CV3}} = \frac{G-1}{G}\sum_{g=1}^{G}\left(\hat{\boldsymbol{\beta}}_{(-g)} - \hat{\boldsymbol{\beta}}_{ols}\right)\left(\hat{\boldsymbol{\beta}}_{(-g)} - \hat{\boldsymbol{\beta}}_{ols}\right)'.$$

因此，$\widehat{\mathbf{V}}_{\hat{\boldsymbol{\beta}}_{ols}}^{\text{CV3}}$ 实际上是一种 Jackknife 估计量。

例 3.6 Duflo et al. (2011) 利用 5795 名就读于 121 所肯尼亚小学的在校生的随机化实验数据研究按能力分班教学对学生测试成绩的影响。本例使用的数据可以从 Hansen (2022a) 的配套网站 `https://www.ssc.wisc.edu/~bhansen/econometrics/`下载，数据文件为“DDK2011.dta”。我们将学生的测试成绩（totalscore）对虚拟变量 tracking 进行回归，tracking 取 1 意味着学生就读的小学被随机分配到实验组，即，该学校需要按能力分班教学；否则，tracking 取 0；聚类变量为 schoolid，用以区分不同的小学；此外，回归时我们控制了性别（girl）和测试时的年龄（agetest）。在如下的 Stata 命令中，我们首先使用 summclust 命令得到基于式 (3.18) 的聚类稳健标准误；然后，我们分别使用 cluster(schoolid) vce(jackknife) 和 jackknife, cluster(schoolid) 得到聚类稳健 Jackknife 标准误。根据前文的分析，三个命令得到的标准误是相同的，以 tracking 的标准误为例，三个命令

得到的结果都是 0.078294。

```
. use DDK2011.dta, replace
. egen testscore = std(totalscore) //对测试成绩进行标准化处理
. summclust tracking, yvar(testscore) xvar(girl agetest)
    cluster(schoolid)
. reg testscore tracking girl agetest, cluster(schoolid)
    vce(jackknife,nodots)
. jackknife, cluster(schoolid) nodots: reg testscore tracking girl
    agetest
```

非参数 Bootstrap

Bootstrap 方法最早由 Efron (1979) 提出，此方法可以一致地估计计量模型中的估计量和检验统计量的渐近分布，因此，在计量经济学中具有广泛的应用。本质上，Bootstrap 分布的取得依赖于对原始样本数据进行的有放回[6]重抽样。MacKinnon (2006) 和 Horowitz (2019) 对此方法在计量领域的使用做了较完整地介绍。

我们首先讨论 Bootstrap 方差和标准误。令 B 表示 Bootstrap 重抽样的次数；$\hat{\boldsymbol{\theta}}$ 是基于原始样本数据得到的向量值参数 $\boldsymbol{\theta}$ 的估计量；$\hat{\boldsymbol{\theta}}^*(b)$ 表示利用第 b 次重抽样的 Bootstrap 样本数据计算的 $\boldsymbol{\theta}$ 的估计量。$\hat{\boldsymbol{\theta}}$ 的方差的 Bootstrap 估计量为：

$$\widehat{\mathbf{V}}_{\hat{\boldsymbol{\theta}}}^{\text{boot}} = \frac{1}{B-1}\sum_{b=1}^{B}\left(\hat{\boldsymbol{\theta}}^*(b)-\bar{\boldsymbol{\theta}}^*\right)\left(\hat{\boldsymbol{\theta}}^*(b)-\bar{\boldsymbol{\theta}}^*\right)', \tag{3.22}$$

其中，

$$\bar{\boldsymbol{\theta}}^* = \frac{1}{B}\sum_{b=1}^{B}\hat{\boldsymbol{\theta}}^*(b).$$

$\hat{\boldsymbol{\theta}}$ 中第 k 个元素的 Bootstrap 标准误，记为 $s_{\hat{\theta}_k}^{\text{boot}}$，是 $\widehat{\mathbf{V}}_{\hat{\boldsymbol{\theta}}}^{\text{boot}}$ 的对角线上第 k 个元素的平方根。

Bootstrap 标准误可以用来构造置信区间，θ_k 的置信水平为 $1-\alpha$ 的正态近似 Bootstrap 置信区间定义为：

$$C^{\text{nb}} = \left[\hat{\theta}_k - z_{1-\frac{\alpha}{2}}\cdot s_{\hat{\theta}_k}^{\text{boot}},\quad \hat{\theta}_k + z_{1-\frac{\alpha}{2}}\cdot s_{\hat{\theta}_k}^{\text{boot}}\right],$$

其中，$z_{1-\frac{\alpha}{2}}$ 是标准正态分布的 $1-\alpha/2$ 分位数。当使用 Bootstrap 标准误时，Stata 默认汇报的置信区间便是 C^{nb}。由于正态近似 Bootstrap 置信区间的构造依赖于 t 统计量的极限分布，在有限样本情况下，t 统计量的精确分布可能并非是标准正态分布。因此，Bootstrap 标准误更多地是被用来测度系数估计的精确程度，很少应用于构造置信区间。在 Stata 中，回归系数估计的 Bootstrap 标准误可以通过 vce(bootstrap, reps(#)) 选项得到，其中，# 表示 Bootstrap 重抽样的次数；也可以通过命令 bootstrap 得到。例如：

[6] 若是无放回重抽样，得到的 Bootstrap 样本将与原始样本一致。

```
//接例3.6的程序
. reg testscore tracking girl agetest, vce(bootstrap, reps(500))
. bootstrap, reps(500): reg testscore tracking girl agetest
```

虽然 Bootstrap 标准误不适合用于构造置信区间，但是，Bootstrap 方法依然可以用于置信区间的构造。一种常用且简单的构造方法被称为百分位数区间（percentile interval），此方法利用了 Bootstrap 分布的样本分位数。具体地，令 $\hat{\theta}$ 是标量参数 θ 的估计量，经过 B 次 Bootstrap 重抽样，我们得到一个来自 Bootstrap 估计量 $\hat{\theta}^*$ 的分布[7]的随机样本 $\{\hat{\theta}_1^*, \hat{\theta}_2^*, \ldots, \hat{\theta}_B^*\}$。对任意的 $0 < \alpha < 1$，我们可以计算这些 Bootstrap 估计量的 α 经验分位数 q_α^*，即，q_α^* 满足 $\{\hat{\theta}_1^*, \hat{\theta}_2^*, \ldots, \hat{\theta}_B^*\}$ 中不大于 q_α^* 的估计量的个数为 $n\alpha$。[8] 根据次序统计量的知识，q_α^* 的常用计算方式是取 $\{\hat{\theta}_b^*\}$ 的第 $n\alpha$ 个次序统计量。于是，置信水平为 $1-\alpha$ 的 Bootstrap 百分位数区间为：

$$C^{\mathrm{pc}} = \left[q_{\alpha/2}^*, \quad q_{1-\alpha/2}^*\right]. \tag{3.23}$$

例如，若 $B = 1000$，$\alpha = 0.05$，则 $C^{\mathrm{pc}} = [\hat{\theta}_{(25)}^*, \hat{\theta}_{(975)}^*]$。

在 Stata 中，C^{pc} 可以通过在汇报 Bootstrap 标准误的回归命令之后使用 estat bootstrap, percentile 或 estat bootstrap, all 得到。例如：

```
//接例3.6的程序
. reg testscore tracking girl agetest, vce(bootstrap, reps(500))
. estat bootstrap, percentile
. estat bootstrap, all
```

注 理论上讲，Bootstrap 实际上是估计量 $\hat{\theta}$ 的抽样分布的一种估计。具体地，令 F 表示原始样本中的一个观测服从的联合分布函数。再令 $G_n(u, F)$ 表示 $\hat{\theta}$ 的分布函数，即，

$$G_n(u, F) = \mathbb{P}\left[\hat{\theta} \leqslant u \mid F\right].$$

这里为了讨论问题的方便，假设 θ 是标量。在计算 $\hat{\theta}$ 的标准误和构造置信区间时，我们需要知道关于 G_n 的信息。通常情况下，F 是未知的，并且，G_n 的函数形式也是未知的。为了解决这两个问题，Bootstrap 首先利用经验分布函数 F_n 估计 F，将 G_n 中的 F 替换为 F_n 得到：

$$G_n^*(u) = G_n(u, F_n);$$

Bootstrap 然后利用统计模拟的方式估计 G_n^*。注意到从分布 F_n 随机抽样等价于对原始样本数据进行有放回的抽样。于是，对经过 n 次有放回抽样得到的一个 Bootstrap 样本使用估计量 $\hat{\theta}$ 的表达式，我们可以得到服从 $G_n^*(u)$ 分布的一个随机变量。将此过程大量重复 B 次，便可得到服从 $G_n^*(u)$ 分布的一个样本量为 B 的随机样本。基于此样本，我们可以估计 G_n^* 的各种描述统计量。

[7] Bootstrap 估计量 $\hat{\theta}^*$ 是基于 Bootstrap 样本按照 $\hat{\theta}$ 的函数形式计算的估计量，它的分布依赖于样本量 n 和原始样本数据的经验分布函数 F_n。

[8] 假设 $n\alpha$ 为正整数。

明确 G_n 和 G_n^* 的联系和区别对理解后续的 Bootstrap 假设检验至关重要。G_n 是估计量 $\hat{\theta}$ 的分布，计算 $\hat{\theta}$ 的样本是从总体分布 F 中随机抽样得到的；G_n^* 是 Bootstrap 估计量 $\hat{\theta}^*$ 的分布，计算 $\hat{\theta}^*$ 的样本是从经验分布 F_n 中随机抽样得到的。这里我们要区分两个“总体”：生成原始样本数据的“抽样总体”和生成 Bootstrap 样本的“Bootstrap 总体”。“抽样总体”的总体分布为 F，在此总体里参数的真实值为 θ；“Bootstrap 总体”的总体分布为 F_n，当从“Bootstrap 总体”进行抽样时，我们将 F_n 视为真实分布。在“Bootstrap 总体”中，参数的真实值为 $\hat{\theta}$。

根据上述分析，我们概括出如下非参数 Bootstrap 算法，并说明此算法的每一步与对 F_n 和 G_n^* 进行抽样之间的关系：

1. 对样本量为 n 的原始样本数据 $\{(y_1, \mathbf{x}_1), (y_2, \mathbf{x}_2), \ldots, (y_n, \mathbf{x}_n)\}$ 进行 n 次有放回的抽样得到 Bootstrap 样本 $\{(y_1^*, \mathbf{x}_1^*), (y_2^*, \mathbf{x}_2^*), \ldots, (y_n^*, \mathbf{x}_n^*)\}$。对原始样本数据做有放回的抽样等价于从经验分布 F_n 中随机抽样。
2. 基于 Bootstrap 样本 $\{(y_1^*, \mathbf{x}_1^*), (y_2^*, \mathbf{x}_2^*), \ldots, (y_n^*, \mathbf{x}_n^*)\}$，按照计算 $\hat{\theta}$ 的方式得到 Bootstrap 估计量 $\hat{\theta}^*$。由于 Bootstrap 样本是从 F_n 中随机抽样得到，因此，$\hat{\theta}^*$ 服从 G_n^* 分布，$\hat{\theta}^*$ 可以看作是从 G_n^* 分布中随机抽取的一个样本观测。
3. 将步骤 1-2 重复 B 次，得到一组 Bootstrap 估计量 $\{\hat{\theta}_1^*, \hat{\theta}_2^*, \ldots, \hat{\theta}_B^*\}$，这组随机变量可以看作是从 G_n^* 分布中随机抽取的一个样本。
4. 利用样本 $\{\hat{\theta}_1^*, \hat{\theta}_2^*, \ldots, \hat{\theta}_B^*\}$ 计算 Bootstrap 方差、标准误以及分位数。这实际上是在估计分布 G_n^* 的方差、标准差和分位数。

Bootstrap 方差估计的一致性 *

本小节讨论 Bootstrap 方差估计的渐近性质。为此，我们要适度放大 $\hat{\boldsymbol{\theta}}^* - \hat{\boldsymbol{\theta}}$，否则其方差可能退化。[9] 假设存在序列 a_n 使得：

$$\boldsymbol{z}_n = a_n(\hat{\boldsymbol{\theta}} - \boldsymbol{\theta}) \underset{d}{\to} \boldsymbol{\xi}, \tag{3.24}$$

$$\boldsymbol{z}_n^* = a_n(\hat{\boldsymbol{\theta}}^* - \hat{\boldsymbol{\theta}}) \underset{d^*}{\to} \boldsymbol{\xi}, \tag{3.25}$$

其中，$\boldsymbol{\xi}$ 是某一极限分布。上述假设要求：存在一种放大的方式 a_n，使得 $\hat{\boldsymbol{\theta}}$ 和 $\hat{\boldsymbol{\theta}}^*$ 的渐近分布相同。由定理 B.6 和定理 B.11，此假设对于大多数计量经济学中的估计量都是成立的。$\boldsymbol{z}_n$ 方差的 Bootstrap 估计量：

$$\widehat{\mathbf{V}}_{\hat{\boldsymbol{\theta}}}^{\text{boot,B}} = \frac{1}{B-1} \sum_{b=1}^{B} \left(\boldsymbol{z}_n^*(b) - \bar{\boldsymbol{z}}_n^*\right) \left(\boldsymbol{z}_n^*(b) - \bar{\boldsymbol{z}}_n^*\right)',$$

其中，

$$\bar{\boldsymbol{z}}_n^* = \frac{1}{B} \sum_{b=1}^{B} \boldsymbol{z}_n^*(b).$$

因为 $\boldsymbol{z}_n^*$ 依 Bootstrap 分布收敛到与 $\boldsymbol{z}_n$ 相同的渐近分布，一个合理的猜测是 $\boldsymbol{z}_n^*$ 的样本方差收敛到 $\boldsymbol{\xi}$ 的方差。然而，依分布收敛并不是依矩收敛（convergence in moments）的充

[9] 例如，在分析最小二乘估计量的大样本性质时，我们考虑的是 $\sqrt{n}(\hat{\boldsymbol{\beta}}_{ols} - \boldsymbol{\beta})$ 的渐近分布，此渐近分布的方差即为 $\hat{\boldsymbol{\beta}}_{ols}$ 的渐近方差。

分条件。为使 $\boldsymbol{z}_n^*$ 的样本方差收敛到 $\boldsymbol{\xi}$ 的方差，需要 $\boldsymbol{z}_n^*$ 一致平方可积。于是，我们有如下定理：

定理 3.7. Bootstrap 方差估计的一致性

若存在序列 a_n 使式 (3.24) 和 (3.25) 成立，并且 $\|\boldsymbol{z}_n^*\|^2$ 一致可积，则有，

$$\widehat{\mathbf{V}}_{\hat{\boldsymbol{\theta}}}^{\text{boot,B}} \underset{p^*}{\to} \widehat{\mathbf{V}}_{\hat{\boldsymbol{\theta}}}^{\text{boot}} \equiv \text{Var}[\boldsymbol{z}_n^*], \quad B \to \infty,$$

同时，随着 $n \to \infty$，

$$\widehat{\mathbf{V}}_{\hat{\boldsymbol{\theta}}}^{\text{boot}} \underset{p^*}{\to} \mathbf{V}_{\boldsymbol{\theta}} \equiv \text{Var}[\boldsymbol{\xi}].$$

♡

在计量经济学中，诸如样本方差和最小二乘估计量等常见的估计量都是一类更一般的估计量的特例，这类估计量被称为平滑函数模型（smooth function model）估计量。具体地，令 $\boldsymbol{z} \in \mathbb{R}^m$ 为 $m \times 1$ 维随机向量，$\boldsymbol{h}(\boldsymbol{z}) : \mathbb{R}^m \to \mathbb{R}^k$，$\boldsymbol{\mu} = \mathbb{E}[\boldsymbol{h}(\boldsymbol{z})]$，平滑函数模型为 $\boldsymbol{\theta} = \boldsymbol{g}(\boldsymbol{\mu})$，其中，$\boldsymbol{g}(\boldsymbol{\mu})$ 为满足某些特定条件的平滑函数。给定简单随机样本 $\{\boldsymbol{z}_1, \ldots, \boldsymbol{z}_n\}$，参数 $\boldsymbol{\theta}$ 的平滑函数模型估计量为 $\hat{\boldsymbol{\theta}} = \boldsymbol{g}(\hat{\boldsymbol{\mu}})$，其中，$\hat{\boldsymbol{\mu}} = n^{-1}\sum_{i=1}^n \boldsymbol{h}(\boldsymbol{z}_i)$。对于平滑函数模型，我们有如下定理：

定理 3.8. 平滑函数模型的 Bootstrap 方差估计

假设 $\boldsymbol{z}_i$ 是 i.i.d. 的，$\boldsymbol{\mu} = \mathbb{E}[\boldsymbol{h}(\boldsymbol{z})]$，$\boldsymbol{\theta} = \boldsymbol{g}(\boldsymbol{\mu})$，$\mathbb{E}\|\boldsymbol{h}(\boldsymbol{z})\|^2 < \infty$，$\mathbf{G}(\boldsymbol{x}) = \dfrac{\partial}{\partial \boldsymbol{x}}\boldsymbol{g}(\boldsymbol{x})'$ 在 $\boldsymbol{\mu}$ 的某一邻域中连续。令 $\hat{\boldsymbol{\theta}} = \boldsymbol{g}(\hat{\boldsymbol{\mu}})$ 和 $\hat{\boldsymbol{\theta}}^* = \boldsymbol{g}(\hat{\boldsymbol{\mu}}^*)$，其中，$\hat{\boldsymbol{\mu}} = n^{-1}\sum_{i=1}^n \boldsymbol{h}(\boldsymbol{z}_i)$，$\hat{\boldsymbol{\mu}}^* = n^{-1}\sum_{i=1}^n \boldsymbol{h}(\boldsymbol{z}_i^*)$。如果存在 $p \geqslant 1$ 使得 $\boldsymbol{g}(\boldsymbol{x})$ 的 p 阶导函数有界，则有，$\boldsymbol{z}_n^* = \sqrt{n}(\hat{\boldsymbol{\theta}}^* - \hat{\boldsymbol{\theta}})$ 一致平方可积，由定理 3.7，Bootstrap 方差估计是一致的。

♡

此定理的证明请参考 Hansen (2022a) 的第 10.31 节。

Bootstrap 方差的截尾估计量 *

对于具有有界 p 阶导数的平滑函数，定理 3.8 表明其方差的 Bootstrap 估计量是一致的。虽然此结论适用于计量经济学中大多数常见的估计量，但是，对于一些重要的非线性形式的函数 $\boldsymbol{g}(\cdot)$，此结论并不成立。例如，$\boldsymbol{z}_i = (z_{i1}, z_{i2})$，$\theta = \mu_1/\mu_2$，其中，$\mu_1 = \mathbb{E}[z_{i1}]$ 和 $\mu_2 = \mathbb{E}[z_{i2}]$。导致定理 3.8 的结论不成立的原因是 $\hat{\theta}$ 不存在有限的渐近方差。

为了缓解渐近方差无限对方差估计带来的影响，可以考虑使用截尾的 Bootstrap 方差估计量。具体地，令 $\tau_n \to \infty$ 是取值为正的截尾数列，定义截尾变量：

$$\boldsymbol{z}_n^{**} = \boldsymbol{z}_n^* \cdot \mathbf{1}\{\|\boldsymbol{z}_n^*\| \leqslant \tau_n\}.$$

$\hat{\theta}$ 的渐近方差的截尾 Bootstrap 估计量为：

$$\widehat{\mathbf{V}}_{\hat{\boldsymbol{\theta}}}^{\text{boot,B},\tau} = \frac{1}{B-1}\sum_{b=1}^B (\boldsymbol{z}_n^{**}(b) - \bar{\boldsymbol{z}}_n^{**})(\boldsymbol{z}_n^{**}(b) - \bar{\boldsymbol{z}}_n^{**})',$$

其中，

$$\bar{\boldsymbol{z}}_n^{**} = \frac{1}{B}\sum_{b=1}^B \boldsymbol{z}_n^{**}(b).$$

关于截尾估计量，我们有如下结论：

定理 3.9. 截尾 Bootstrap 方差估计的一致性

若存在序列 a_n 使式 (3.24) 和 (3.25) 成立，则有，

$$\widehat{\mathbf{V}}_{\hat{\boldsymbol{\theta}}}^{\text{boot,B},\tau} \underset{p^*}{\to} \widehat{\mathbf{V}}_{\hat{\boldsymbol{\theta}}}^{\text{boot},\tau} \equiv \text{Var}[\boldsymbol{z}_n^{**}], \quad B \to \infty,$$

同时，若定理 3.8 中除去 p 阶导函数有界的其余假设都成立，则有，

$$\widehat{\mathbf{V}}_{\hat{\boldsymbol{\theta}}}^{\text{boot},\tau} \underset{p^*}{\to} \mathbf{V}_{\boldsymbol{\theta}} \equiv \text{Var}[\boldsymbol{\xi}], \quad n \to \infty.$$

♡

定理 3.9 表明截尾 Bootstrap 方差估计量是平滑函数模型渐近方差的一致估计量。这一结论的成立关键在于估计渐近方差时要对 $\boldsymbol{z}_n^*$ 进行截尾。然而，Stata 在计算 Bootstrap 标准误时使用的是非截尾的估计量 (3.22)，因此，Stata 汇报的标准误可能是不一致的。式 (3.22) 的非截尾 Bootstrap 方差估计量只适用于定理 3.8 考虑的 p 阶导数有界的平滑函数模型以及其余满足 $\boldsymbol{z}_n^*$ 一致平方可积的情形。定理 3.9 的证明请参考 Hansen (2022a) 的第 10.31 节。

例 3.7 （Hansen (2022a) 的第 10.15 节）本例使用 2009 年 3 月的 Current Population Survey (CPS) 数据，原始数据的下载地址为 `https://www.ssc.wisc.edu/~bhansen/econometrics/`，数据文件为“cps09mar.dta”。我们从中提取了 982 名已婚黑人妇女的年龄、收入和受教育情况等特征，处理后的数据可以从本书网站下载，其文件名为“cps09mar_subset.dta”。考虑如下回归：

$$\log(wage) = \beta_0 + \beta_1 \cdot education + \beta_2 \cdot experience + \beta_3 \cdot experience^2/100 + \varepsilon,$$

其中，

$$experience = age - education - 6.$$

通过 Stata 命令

```
. use cps09mar_subset.dta, replace
. gen experience = age - education - 6
. gen exp2 = experience^2/100
. gen lw = log(earnings)
. reg lw education experience exp2, vce(hc2)
. mat list e(V)     //返回系数估计量的协方差矩阵
```

可以得到如下回归结果（括号里为标准误）：

$$\widehat{\log(wage)} = \underset{(0.159)}{8.518} + \underset{(0.008)}{0.123}\, education + \underset{(0.006)}{0.017}\, experience - \underset{(0.012)}{0.025}\, experience^2/100.$$

系数估计量的协方差矩阵为：

$$\widehat{\mathbf{V}}^{\mathrm{HC2}}_{\hat{\beta}_{ols}} = \begin{pmatrix} 0.669 & 0.130 & -0.136 & -11.63 \\ 0.130 & 0.393 & -0.733 & -6.303 \\ -0.136 & -0.733 & 1.478 & 9.400 \\ -11.63 & -6.303 & 9.400 & 254.2 \end{pmatrix} \times 10^{-4}.$$

接下来我们考虑最大化期望对数收入的 experience 水平 θ，容易验证 $\theta = -50\beta_2/\beta_3$。利用如下 Stata 命令可以计算 θ 的估计值：

```
. nlcom -50*_b[experience]/_b[exp2] //计算结果为34.9
```

$\hat{\theta}$ 基于渐近理论的标准误可以由 Delta 方法 B.5 求得，具体地，

$$s(\hat{\theta}) = \sqrt{\begin{pmatrix} -50/\hat{\beta}_3 & 50\hat{\beta}_2/\hat{\beta}_3^2 \end{pmatrix} \begin{pmatrix} 0.393 & -0.733 \\ -0.733 & 1.478 \end{pmatrix} \begin{pmatrix} -50/\hat{\beta}_3 \\ 50\hat{\beta}_2/\hat{\beta}_3^2 \end{pmatrix} \times 10^{-4}} \approx 5.64.$$

如下 Stata 命令可以汇报 θ 的 Jackknife 标准误：

```
. jackknife (-50*_b[experience]/_b[exp2]), nodots: ///
    reg lw education experience exp2
```

从输出结果看，$\hat{\theta}$ 的 Jackknife 标准误为 5.98，与渐近标准误比较接近。$\hat{\theta}$ 的 Bootstrap 标准误（非截尾）可以通过如下 Stata 命令得到：[10]

```
. bootstrap (-50*_b[experience]/_b[exp2]), reps(10000) ///
    nodots seed(123): reg lw education experience exp2
```

在上面的命令里，我们取 $B = 10000$，并将随机数的种子设置为 123。经过“漫长”的等待[11]，Stata 输出的 Bootstrap 标准误为 6873.98！如下 Stata 命令将随机数的种子设置为 19810814，重新计算 Bootstrap 标准误，其输出的 Bootstrap 标准误为 647.71！

```
. bootstrap (-50*_b[experience]/_b[exp2]), reps(10000) ///
    nodots seed(19810814): reg lw education experience exp2
```

从上述结果看，Bootstrap 标准误与渐近标准误之间相差悬殊，不同次 Bootstrap 得到的标准误之间也存在较大的差异，这是一致平方可积条件不成立的信号，非截尾的 Bootstrap 标准误在此种情况下是不可靠的。

最后，我们将 τ_n 取为 535（略大于渐近标准误的 $3\sqrt{n}$ 倍），计算截尾的 Bootstrap 标准误。因为 Stata 不汇报截尾的 Bootstrap 标准误，我们使用 R 语言自行编写截尾的 Bootstrap 函数。

```
#数据预处理
```

[10] 做好准备，感受一下 Stata 的计算速度有多慢！

[11] 运行时间大概为 9 分 15 秒。

```r
library(tidyverse)
#读取Stata数据文件
cps09mar_subset <- haven::read_dta("~/cps09mar_subset.dta")
reg_data <- cps09mar_subset %>%
  #利用mutate命令创建新变量experience, lw和exp2
  dplyr::mutate(experience=age-education-6,lw=log(earnings)) %>%
  dplyr::mutate(exp2=experience^2/100) %>%
  #利用select命令筛选出lw, education, experience和exp2四个变量
  dplyr::select(c(lw,education,experience,exp2))

#截尾Bootstrap函数
"trimBootstrap" <- function(sample_data, tau=20, nter=1000){
  #sample_data: 原始样本数据集
  #tau: trimming number
  #nter: B

  #利用原始数据进行回归
  fit <- lm(lw~education+experience+exp2,data=sample_data)
  beta2 <- coefficients(fit)["experience"]
  beta3 <- coefficients(fit)["exp2"]
  hat_theta <- as.numeric(-50*beta2/beta3)  #计算参数theta的估计值
  n <- dim(sample_data)[1]                  #获取样本量
  theta_star=NULL                           #定义空串theta_star
  #B次重抽样并利用每次重抽样得到的Bootstrap样本计算theta的估计值
  for (b in 1:nter){
    #对不大于n的正整数进行有放回的随机抽样
    index <- sample(n,replace = TRUE)
    #根据抽样结果生成Bootstrap样本
    current_data <- sample_data[index,]
    #利用Bootstrap样本进行回归并计算参数theta的Bootstrap估计值
    current_fit <- lm(lw~education+experience+exp2,data=current_data)
    current_beta2 <- coefficients(current_fit)["experience"]
    current_beta3 <- coefficients(current_fit)["exp2"]
    #将当前theta的Bootstrap估计值与之前循环得到的所有估计值进行合并
    theta_star = c(theta_star,
        as.numeric(-50*current_beta2/current_beta3))
  }
  #计算式(3.25)定义的变量
```

```
  z_star = sqrt(n)*(theta_star - hat_theta)
  #对z_star进行截尾
  z_star2 = z_star*(abs(z_star) <= tau)
  #计算z_star2的样本方差，即为截尾的Bootstrap渐近方差估计
  trimmed_boot_var = var(z_star2)
  #计算截尾的Bootstrap标准误
  boot_sd = sqrt(trimmed_boot_var/n)
  #返回截尾数据和截尾的Bootstrap标准误
  trimBootstrap <- list(bootvalue=z_star2,trimmed_sd=boot_sd)
}

#调用trimBootstrap函数计算截尾Bootstrap标准误
sd <- trimBootstrap(reg_data, tau=535, nter=10000)$trimmed_sd
```

运行上述 R 程序（运行时间约为 8 秒）得到的截尾 Bootstrap 标准误近似为 5，并且，不同次 Bootstrap 计算的截尾标准误都十分接近。

偏误修正的百分位数区间 *

置信水平为 $1-\alpha$ 的 Bootstrap 百分位数区间 (3.23) 具有如下性质：

定理 3.10. C^{pc} 的渐近覆盖率

若存在序列 a_n 使得：

$$a_n(\hat{\theta}-\theta) \underset{d}{\to} \xi, \tag{3.26}$$

$$a_n(\hat{\theta}^*-\hat{\theta}) \underset{d^*}{\to} \xi, \tag{3.27}$$

其中，ξ 是关于 0 对称的连续分布，则有：当 $n\to\infty$ 时，$\mathbb{P}\left[\theta\in C^{\text{pc}}\right]\to 1-\alpha$。

证明 由式 (3.27)，$a_n(\hat{\theta}^*-\hat{\theta})$ 的 α 分位数 $a_n(q_\alpha^*-\hat{\theta})$ 依概率收敛到 ξ 的 α 分位数，记为 $\bar{q}_\alpha$，即，

$$a_n(q_\alpha^*-\hat{\theta}) \underset{p}{\to} \bar{q}_\alpha.$$

令 $H(x)=\mathbb{P}[\xi\leqslant x]$ 是 ξ 的分布函数，由对称性，$H(-x)=1-H(x)$。于是，置信水平为 $1-\alpha$ 的 Bootstrap 百分位数区间 (3.23) 覆盖真实参数的概率为：

$$\begin{aligned}
\mathbb{P}\left[\theta\in C^{\text{pc}}\right] &= \mathbb{P}\left[q_{\alpha/2}^*\leqslant\theta\leqslant q_{1-\alpha/2}^*\right] \\
&= \mathbb{P}\left[-a_n\left(q_{\alpha/2}^*-\widehat{\theta}\right)\geqslant a_n(\widehat{\theta}-\theta)\geqslant -a_n\left(q_{1-\alpha/2}^*-\widehat{\theta}\right)\right] \\
&\to \mathbb{P}\left[-\bar{q}_{\alpha/2}\geqslant\xi\geqslant-\bar{q}_{1-\alpha/2}\right] \\
&= H\left(-\bar{q}_{\alpha/2}\right)-H\left(-\bar{q}_{1-\alpha/2}\right) \\
&= H\left(\bar{q}_{1-\alpha/2}\right)-H\left(\bar{q}_{\alpha/2}\right) \\
&= 1-\alpha.
\end{aligned}$$

□

当极限分布 ξ 对称时，定理 3.10 表明百分位数区间是渐近有效的。由定理 B.6 和定理 B.11，平滑函数模型满足 (3.26) 和 (3.27)，因此定理 3.10 的结论适用于计量经济学中的常用估计量。然而，在小样本下，估计量的真实分布可能是非对称的，百分位数区间在小样本下的真实覆盖率可能与名义置信水平存在较大差异。即便如此，小样本下使用百分位数区间依然具有一定的合理性。假设存在严格递增的未知函数 $\psi(\theta)$ 使得 $\psi(\hat{\theta})-\psi(\theta)$ 具有关于 0 对称的枢轴（pivotal）分布[12] $H(u)$。例如，若 $\hat{\theta}=\exp(\hat{\mu})$，$\hat{\mu}\sim\mathcal{N}(\mu,\sigma^2)$，可以取 $\psi(\theta)=\log(\theta)/\sigma$。注意到 H 是枢轴分布，因此 $\psi(\hat{\theta}^*)-\psi(\hat{\theta})$ 的分布也为 $H(u)$。令 $\bar{q}_\alpha$ 是分布 H 的 α 分位数。因为 q_α^* 是 $\hat{\theta}^*$ 的 α 分位数，并且 $\psi(\hat{\theta}^*)-\psi(\hat{\theta})$ 是单调变换，因此 $\bar{q}_\alpha+\psi(\hat{\theta})=\psi(q_\alpha^*)$。于是，我们有：

$$
\begin{aligned}
\mathbb{P}\left[\theta\in C^{\mathrm{pc}}\right] &= \mathbb{P}\left[q_{\alpha/2}^*\leqslant\theta\leqslant q_{1-\alpha/2}^*\right]\\
&= \mathbb{P}\left[\psi\left(q_{\alpha/2}^*\right)\leqslant\psi(\theta)\leqslant\psi\left(q_{1-\alpha/2}^*\right)\right]\\
&= \mathbb{P}\left[\psi(\hat{\theta})-\psi\left(q_{\alpha/2}^*\right)\geqslant\psi(\hat{\theta})-\psi(\theta)\geqslant\psi(\hat{\theta})-\psi\left(q_{1-\alpha/2}^*\right)\right]\\
&= \mathbb{P}\left[-\bar{q}_{\alpha/2}\geqslant\psi(\hat{\theta})-\psi(\theta)\geqslant-\bar{q}_{1-\alpha/2}\right]\\
&= H\left(-\bar{q}_{\alpha/2}\right)-H\left(-\bar{q}_{1-\alpha/2}\right)\\
&= H\left(\bar{q}_{1-\alpha/2}\right)-H\left(\bar{q}_{\alpha/2}\right)\\
&= 1-\alpha.
\end{aligned}
$$

上述推导的结果表明：为了使百分位数区间以正确的概率覆盖 θ，$\hat{\theta}$ 的分布可以是非对称的。前提是存在单调变换 $\psi(\cdot)$ 使得 $\psi(\hat{\theta})-\psi(\theta)$ 具有关于 0 对称的枢轴分布。在这种情况下，百分位数区间的覆盖率与名义的置信水平是一致的。例如，假设我们感兴趣的参数是 $\theta=\exp(\mu)$，其中，$\mu=\mathbb{E}(\mathrm{y})$，并且 y 具有关于 μ 对称的枢轴分布。令 $\{y_1,\ldots,y_n\}$ 是 y 的一组观测值，其样本均值为 $\bar{y}$。虽然 θ 的估计量 $\hat{\theta}=\exp(\bar{y})$ 的分布是非对称的，但是 θ 的百分位数区间依然具有正确的覆盖率，这是因为 $\log(\hat{\theta})$ 具有对称的枢轴分布。

上述对百分位数方法合理性的辩护依赖于 $\psi(\hat{\theta})-\psi(\theta)$ 具有关于 0 对称的枢轴分布，其必要条件是 $\mathbb{E}[\psi(\hat{\theta})]=\psi(\theta)$。若 $\mathbb{E}[\psi(\hat{\theta})]\neq\psi(\theta)$，百分位数区间的覆盖率通常会偏离名义水平。为了解决 $\psi(\hat{\theta})$ 有偏的问题，Efron (1982) 提出了偏误修正（bias-corrected, BC）的百分位数区间。假设存在未知的严格递增变换 $\psi(\theta)$ 和未知的常数 z_0 使得：

$$
z=\psi(\hat{\theta})-\psi(\theta)+z_0\sim\mathcal{N}(0,1). \tag{3.28}
$$

令 $\Phi(x)$ 为标准正态分布的累积分布函数，则 $\Phi^{-1}(p)$ 为标准正态分布的 p 分位数。BC 区间可以利用 Bootstrap 估计量 $\hat{\theta}_b^*$ 和 Bootstrap 分位数 q_α^* 构造。具体地，取

$$
p^*=\frac{1}{B}\sum_{b=1}^{B}\mathbf{1}\left\{\hat{\theta}_b^*\leqslant\hat{\theta}\right\},\quad z_0^*=\Phi^{-1}(p^*). \tag{3.29}
$$

p^* 是中位数偏误[13]（median bias）的度量，z_0^* 将此偏误映射为标准正态的分位数。（若 $\hat{\theta}$

[12] 分布与参数 θ 无关。

[13] 偏误定义为估计量的期望与参数真实值之间的差；中位数偏误是估计量的分布的中位数与参数真实值之间的差。如果估计量是中位数无偏的，则它的单射变换也是中位数无偏的。

的中位数偏误为 0，则 $p^* = 0.5$，$z_0^* = 0$；若 $\hat{\theta}$ 上偏（upwards biased），则 $p^* < 0.5$，$z_0^* < 0$；若 $\hat{\theta}$ 下偏（dowward biased），则 $p^* > 0.5$，$z_0^* > 0$。）对任意的 $\alpha \in (0,1)$，定义

$$x(\alpha) = \Phi(z_\alpha + 2z_0^*),$$

其中，$z_\alpha = \Phi^{-1}(\alpha)$。（若 $z_0^* = 0$，则 $x(\alpha) = \alpha$；若 $z_0^* > 0$，则 $x(\alpha) > \alpha$；若 $z_0^* < 0$，则 $x(\alpha) < \alpha$。）BC 百分位数区间定义为：

$$C^{\text{bc}} = \left[q^*_{x(\alpha/2)}, \quad q^*_{x(1-\alpha/2)}\right]. \tag{3.30}$$

如果假设 (3.28) 成立，可以证明 C^{bc} 具有正确的覆盖率。由 (3.28)，

$$\mathbb{P}\left[\psi(\hat{\theta}) - \psi(\theta) + z_0 \leqslant x\right] = \Phi(x).$$

因为 $\Phi(x)$ 是枢轴分布，我们有：

$$\mathbb{P}^*\left[\psi(\hat{\theta}^*) - \psi(\hat{\theta}) + z_0 \leqslant x\right] = \Phi(x). \tag{3.31}$$

在上式中取 $x = z_0$ 得到：

$$\mathbb{P}^*\left[\psi(\hat{\theta}^*) - \psi(\hat{\theta}) \leqslant 0\right] = \Phi(z_0),$$

进而可以推出

$$\mathbb{P}^*\left[\hat{\theta}^* \leqslant \hat{\theta}\right] = \Phi(z_0).$$

对上式两端取 $\Phi(\cdot)$ 的反函数得到：

$$z_0 = \Phi^{-1}\left(\mathbb{P}^*\left[\hat{\theta}^* \leqslant \hat{\theta}\right]\right).$$

上式即为 (3.29) 中的 z_0^* 在 $B \to \infty$ 情况下的概率极限。因此，我们可以利用 z_0^* 近似 z_0。在下面的讨论中，我们假设 z_0 已知，其取值等于 z_0^*。根据式 (3.31)，

$$\begin{aligned} x(\alpha) &= \Phi(z_\alpha + 2z_0) \\ &= \mathbb{P}^*\left[\psi(\hat{\theta}^*) - \psi(\hat{\theta}) \leqslant z_\alpha + z_0\right] \\ &= \mathbb{P}^*\left[\hat{\theta}^* \leqslant \psi^{-1}\left(\psi(\hat{\theta}) + z_0 + z_\alpha\right)\right]. \end{aligned}$$

上式说明 $q^*_{x(\alpha)} = \psi^{-1}(\psi(\hat{\theta}) + z_0 + z_\alpha)$。因此，$C^{\text{bc}}$ 可以写成：

$$C^{\text{bc}} = \left[\psi^{-1}\left(\psi(\hat{\theta}) + z_0 + z_{\alpha/2}\right), \quad \psi^{-1}\left(\psi(\hat{\theta}) + z_0 + z_{1-\alpha/2}\right)\right].$$

根据上式，C^{bc} 的覆盖率为：

$$\begin{aligned} \mathbb{P}[\theta \in C^{\text{bc}}] &= \mathbb{P}\left[\psi^{-1}\left(\psi(\hat{\theta}) + z_0 + z_{\alpha/2}\right) \leqslant \theta \leqslant \psi^{-1}\left(\psi(\hat{\theta}) + z_0 + z_{1-\alpha/2}\right)\right] \\ &= \mathbb{P}\left[\psi(\hat{\theta}) + z_0 + z_{\alpha/2} \leqslant \psi(\theta) \leqslant \psi(\hat{\theta}) + z_0 + z_{1-\alpha/2}\right] \\ &= \mathbb{P}\left[-z_{\alpha/2} \geqslant \psi(\hat{\theta}) - \psi(\theta) + z_0 \geqslant -z_{1-\alpha/2}\right] \\ &= \mathbb{P}\left[z_{1-\alpha/2} \geqslant z \geqslant z_{\alpha/2}\right] \\ &= \Phi\left(z_{1-\alpha/2}\right) - \Phi\left(z_{\alpha/2}\right) \\ &= 1 - \alpha, \end{aligned}$$

其中，第四个等号用到了假设 (3.28) 以及 $z_\alpha = -z_{1-\alpha}$。

在 Stata 中，C^{bc} 可以通过在汇报 Bootstrap 标准误的回归命令之后使用 estat boot-

strap 得到。例如：

```
//接例3.6的程序
. reg testscore tracking girl agetest, vce(bootstrap, reps(500))
. estat bootstrap
```

Bootstrap 加速偏误修正百分位数区间 *

虽然正态近似置信区间 $\hat{\theta} \pm z_{1-\alpha/2} \cdot s_{\hat{\theta}}^{\text{boot}}$ 在实证分析中被广泛使用，但是其真实的覆盖率与名义置信水平可能存在较大的差异。通常，我们有：

$$\mathbb{P}\left[\theta \leqslant \hat{\theta} + z_{\alpha} \cdot s_{\hat{\theta}}^{\text{boot}}\right] = \alpha + c_1/\sqrt{n}, \tag{3.32}$$

其中，c_1 为某一常数。式 (3.32) 定义了“一阶精度”（first-order accuracy），其收敛到名义值 α 的速度较慢。

本小节讨论具有“二阶精度”（second-order accuracy）水平的置信区间的构造方法。令 $\hat{\theta}_{\alpha}^{\text{2nd}}$ 为根据某种“二阶精度”方法估计的参数分布的 α 分位数，则“二阶精度”意味着：

$$\mathbb{P}\left[\theta \leqslant \hat{\theta}_{\alpha}^{\text{2nd}}\right] = \alpha + c_2/n, \tag{3.33}$$

其中，c_2 为某一常数。由此可见，“二阶精度”方法的收敛速度更快。

前文介绍的 Bootstrap 百分位数区间和 BC 区间都不是具有“二阶精度”的方法。BC 区间不是具有“二阶精度”的方法的原因在于假设 (3.28) 要求 $\psi(\hat{\theta})$ 的方差为常数。Efron (1987) 提出的 Bootstrap 加速的偏误修正（accelerated bias-corrected, BC$_a$）百分位数区间假设：

$$z = \frac{\psi(\hat{\theta}) - \psi(\theta)}{1 + a\psi(\theta)} + z_0 \sim \mathcal{N}(0,1), \quad 1 + a\psi(\theta) > 0. \tag{3.34}$$

在此假设下，$\psi(\hat{\theta})$ 的方差与 θ 和加速参数 a 有关。z_0 可以用 (3.29) 中的 z_0^* 代替，Efron (1987) 建议使用 $\hat{\theta}$ 的偏度的缩放（scaled）Jackknife 估计量来估计加速参数 a：

$$\hat{a} = \frac{\sum_{i=1}^{n}\left(\bar{\theta} - \hat{\theta}_{(-i)}\right)^3}{6\left[\sum_{i=1}^{n}\left(\bar{\theta} - \hat{\theta}_{(-i)}\right)^2\right]^{3/2}}, \quad \bar{\theta} = \frac{1}{n}\sum_{i=1}^{n}\hat{\theta}_{(-i)}.$$

对任意的 $\alpha \in (0,1)$，定义

$$x(\alpha) = \Phi\left(z_0^* + \frac{z_{\alpha} + z_0^*}{1 - \hat{a}\left(z_{\alpha} + z_0^*\right)}\right).$$

BC$_a$ 百分位数区间为：

$$C^{\text{bca}} = \left[q_{x(\alpha/2)}^*, \quad q_{x(1-\alpha/2)}^*\right].$$

注意到当 $\hat{a} = 0$ 时，C^{bca} 等价于 C^{bc}。C^{bc} 对 C^{pc} 的改进是修正了中位数偏误，而 C^{bca} 进一步对偏度进行了修正。此外，C^{bca} 只有在 $\hat{a}\left(z_{\alpha} + z_0^*\right) < 1$ 时才是良定义的。

接下来，我们说明假设 (3.34) 可以推出 C^{bca} 具有正确的覆盖率。在这里，我们将假设 (3.34) 中的 a 当作是已知的常数。a 未知且需要用 $\hat{a}$ 进行估计的情况请读者参考 Shao

et al. (1995) 的第四章。由 (3.34)，

$$\mathbb{P}^*\left[\frac{\psi(\hat{\theta}^*)-\psi(\hat{\theta})}{1+a\psi(\hat{\theta})}+z_0\leqslant x\right]=\Phi(x). \tag{3.35}$$

在上式中取 $x=z_0$ 得到：

$$\mathbb{P}^*\left[\frac{\psi(\hat{\theta}^*)-\psi(\hat{\theta})}{1+a\psi(\hat{\theta})}\leqslant 0\right]=\Phi(z_0).$$

根据 $\psi(\cdot)$ 严格递增且 $1+a\psi(\hat{\theta})>0$，我们有：

$$\mathbb{P}^*\left[\hat{\theta}^*\leqslant\hat{\theta}\right]=\Phi(z_0).$$

因此，

$$z_0=\Phi^{-1}\left(\mathbb{P}^*\left[\hat{\theta}^*\leqslant\hat{\theta}\right]\right).$$

上式表明 (3.29) 中的 z_0^* 依然可以用来估计 (3.34) 中的 z_0。在下面的讨论中，我们假设 z_0 已知，其取值等于 z_0^*。由 (3.35)，

$$\begin{aligned}x(\alpha)&=\mathbb{P}^*\left[\frac{\psi(\hat{\theta}^*)-\psi(\hat{\theta})}{1+a\psi(\hat{\theta})}\leqslant\frac{z_\alpha+z_0}{1-a\left(z_\alpha+z_0\right)}\right]\\&=\mathbb{P}^*\left[\hat{\theta}^*\leqslant\psi^{-1}\left(\frac{\psi(\hat{\theta})+z_\alpha+z_0}{1-a\left(z_\alpha+z_0\right)}\right)\right].\end{aligned}$$

上式说明 $q^*_{x(\alpha)}=\psi^{-1}\left(\frac{\psi(\hat{\theta})+z_\alpha+z_0}{1-a(z_\alpha+z_0)}\right)$。因此，$C^{\text{bca}}$ 可以写成：

$$C^{\text{bca}}=\left[\psi^{-1}\left(\frac{\psi(\hat{\theta})+z_{\alpha/2}+z_0}{1-a\left(z_{\alpha/2}+z_0\right)}\right),\quad\psi^{-1}\left(\frac{\psi(\hat{\theta})+z_{1-\alpha/2}+z_0}{1-a\left(z_{1-\alpha/2}+z_0\right)}\right)\right].$$

根据上式，C^{bca} 的覆盖率为：

$$\begin{aligned}\mathbb{P}\left[\theta\in C^{\text{bca}}\right]&=\mathbb{P}\left[\psi^{-1}\left(\frac{\psi(\hat{\theta})+z_{\alpha/2}+z_0}{1-a\left(z_{\alpha/2}+z_0\right)}\right)\leqslant\theta\leqslant\psi^{-1}\left(\frac{\psi(\hat{\theta})+z_{1-\alpha/2}+z_0}{1-a\left(z_{1-\alpha/2}+z_0\right)}\right)\right]\\&=\mathbb{P}\left[\frac{\psi(\hat{\theta})+z_{\alpha/2}+z_0}{1-a\left(z_{\alpha/2}+z_0\right)}\leqslant\psi(\theta)\leqslant\frac{\psi(\hat{\theta})+z_{1-\alpha/2}+z_0}{1-a\left(z_{1-\alpha/2}+z_0\right)}\right]\\&=\mathbb{P}\left[-z_{\alpha/2}\geqslant\frac{\psi(\hat{\theta})-\psi(\theta)}{1+a\psi(\theta)}+z_0\geqslant-z_{1-\alpha/2}\right]\\&=\mathbb{P}\left[z_{1-\alpha/2}\geqslant z\geqslant z_{\alpha/2}\right]\\&=1-\alpha,\end{aligned}$$

其中，第四个等号用到了假设 (3.34) 以及 $z_\alpha=-z_{1-\alpha}$。

在 Stata 中，C^{bca} 可以通过在汇报 Bootstrap 标准误并使用 bca 选项的回归命令之后使用 estat bootstrap, bca 或 estat bootstrap, all 得到。例如：

```
//接例3.6的程序
. reg testscore tracking girl agetest, vce(bootstrap, reps(500) bca
    seed(123))
. estat bootstrap, all
. estat bootstrap, bca
```

```
. bootstrap, reps(500) bca seed(123): reg testscore tracking girl
    agetest
. estat bootstrap, bca
```

除了 BC_a 百分位数区间之外，还有其他方法可以用来构造满足“二阶精度”要求的置信区间，t-百分位数区间便是其中的一种，感兴趣的读者可以参考 Hansen (2022a) 的第 10.19 节。

Bootstrap 假设检验

为了检验 $\mathbb{H}_0: \theta = \theta_0$，备择假设为 $\mathbb{H}_1: \theta \neq \theta_0$，通常做法是构造 t 统计量：

$$t = \frac{\hat{\theta} - \theta_0}{s(\hat{\theta})},$$

并利用标准正态的临界值进行统计推断。在小样本情况下，t 统计量的真实分布可能并非标准正态，此时可以考虑使用 Bootstrap t 检验。在 Bootstrap t 检验中，临界值是利用 Bootstrap 算法计算的。

Bootstrap t 检验的步骤如下：

1. 对样本量为 n 的原始样本数据进行 n 次有放回的抽样得到 Bootstrap 样本，利用此样本计算 Bootstrap t 统计量：
$$t^* = \frac{\hat{\theta}^* - \hat{\theta}}{s(\hat{\theta}^*)},$$
其中，$\hat{\theta}^*$ 是 θ 的 Bootstrap 估计量，$s(\hat{\theta}^*)$ 是对 Bootstrap 样本利用渐近理论计算的标准误；
2. 将步骤 1 重复 B 次，得到：$t^*(b) = (\hat{\theta}^*(b) - \hat{\theta})/s(\hat{\theta}^*(b))$，$b = 1, \ldots, B$；
3. 计算 Bootstrap p 值：
$$p^* = \frac{1}{B}\sum_{b=1}^{B} \mathbf{1}\left(|t^*(b)| > |t|\right);$$
4. 给定显著性水平 α，如果 $p^* \geqslant \alpha$，则接受 $\mathbb{H}_0$；否则，拒绝 $\mathbb{H}_0$。

当标准误没有解析表达式或不可靠时，我们可以使用 $t = \hat{\theta} - \theta_0$，相应的 Bootstrap 统计量为 $t^* = \hat{\theta}^* - \hat{\theta}$。计算 Bootstrap p 值的公式为：

$$p^* = \frac{1}{B}\sum_{b=1}^{B} \mathbf{1}\left(\left|\hat{\theta}^*(b) - \hat{\theta}\right| > \left|\hat{\theta} - \theta_0\right|\right).$$

Bootstrap t 检验适用于标量 θ，若 $\boldsymbol{\theta}$ 为向量，可以考虑使用 Bootstrap Wald 检验。Bootstrap Wald 检验的步骤如下：

1. 利用原始样本数据计算估计量 $\hat{\boldsymbol{\theta}}$ 和协方差矩阵估计量 $\widehat{\mathbf{V}}_{\hat{\boldsymbol{\theta}}}$，以及 Wald 统计量：
$$W = \left(\hat{\boldsymbol{\theta}} - \boldsymbol{\theta}_0\right)' \widehat{\mathbf{V}}_{\hat{\boldsymbol{\theta}}}^{-1} \left(\hat{\boldsymbol{\theta}} - \boldsymbol{\theta}_0\right);$$
2. 对原始样本数据进行 n 次有放回的抽样得到 Bootstrap 样本，利用此样本计算 Boot-

strap Wald 统计量：

$$W^* = \left(\hat{\boldsymbol{\theta}}^* - \hat{\boldsymbol{\theta}}\right)' \widehat{\mathbf{V}}_{\hat{\boldsymbol{\theta}}^*}^{-1} \left(\hat{\boldsymbol{\theta}}^* - \hat{\boldsymbol{\theta}}\right);$$

3. 将步骤 2 重复 B 次，得到：$W^*(b) = \left(\hat{\boldsymbol{\theta}}^*(b) - \hat{\boldsymbol{\theta}}\right)' \widehat{\mathbf{V}}_{\hat{\boldsymbol{\theta}}^*(b)}^{-1} \left(\hat{\boldsymbol{\theta}}^*(b) - \hat{\boldsymbol{\theta}}\right)$，$b = 1, \ldots, B$；
4. 计算 Bootstrap p 值：

$$p^* = \frac{1}{B} \sum_{b=1}^{B} \mathbf{1}\left(W^*(b) > W\right);$$

5. 给定显著性水平 α，如果 $p^* \geqslant \alpha$，则接受 $\mathbb{H}_0$；否则，拒绝 $\mathbb{H}_0$。

若可靠的协方差矩阵估计量 $\widehat{\mathbf{V}}_{\hat{\boldsymbol{\theta}}}$ 不存在，Bootstrap Wald 检验可以使用任意的正定权重矩阵代替 $\widehat{\mathbf{V}}_{\hat{\boldsymbol{\theta}}}$。

参数 Bootstrap

在计量经济学中，我们经常会设定被解释变量条件分布的参数形式。例如，在古典线性回归模型中，我们假设：

$$\mathbf{y} \mid \mathbf{X} \sim \mathcal{N}(\mathbf{X}\boldsymbol{\beta}, \sigma^2 \mathbf{I}_n).$$

若此模型设定正确，我们可以固定解释变量 $\mathbf{x}_i$ 并从分布 $\mathcal{N}(\mathbf{x}_i'\hat{\boldsymbol{\beta}}_{ols}, s^2)$ 随机地抽取 Bootstrap 观测 y_i^*，这等价于从分布 $\mathcal{N}(0, s^2)$ 随机地抽取 e_i^* 并按如下式子计算被解释变量的 Bootstrap 观测值 y_i^*：

$$y_i^* = \mathbf{x}_i'\hat{\boldsymbol{\beta}}_{ols} + e_i^*.$$

上述产生 Bootstrap 样本的方式被称为参数 Bootstrap。若参数模型设定正确，参数 Bootstrap 的小样本性质要优于非参数 Bootstrap。

残差 Bootstrap

假设误差项服从正态分布可能并不符合某些经济或金融数据的特征，此时我们可以考虑使用残差 Bootstrap 进行统计推断。考虑如下回归模型：

$$y_i = \mathbf{x}_i'\boldsymbol{\beta} + \varepsilon_i, \quad \mathbb{E}(\varepsilon_i \mid \mathbf{x}_i) = 0, \quad \varepsilon_i \sim i.i.d.\ (0, \sigma^2).$$

这里我们没有假设 ε_i 服从正态分布或其他已知分布，但是要求 ε_i 独立同分布。获取残差 Bootstrap 样本的步骤为：

1. 计算最小二乘估计量 $\hat{\boldsymbol{\beta}}_{ols}$ 和残差 e_i；
2. 计算经过重缩放（rescaled）的残差：

$$u_i \equiv \left(\frac{n}{n-K}\right)^{1/2} e_i; \tag{3.36}$$

3. 利用如下式子生成 Bootstrap 观测：

$$y_i^* = \mathbf{x}_i'\hat{\boldsymbol{\beta}}_{ols} + u_i^*, \quad u_i^* \sim \text{EDF}\,(u_i),$$

   其中，u_i^* 是从 u_i 的经验分布（EDF）中随机抽取的，这等价于对 $\{u_1, \ldots, u_n\}$ 进行有放回的抽样。

关于残差 Bootstrap 的小样本性质可以参考 MacKinnon (2006) 中提供的统计模拟结果。

Wild Bootstrap

考虑如下线性回归模型：

$$y_i = \mathbf{x}_i'\boldsymbol{\beta} + \varepsilon_i, \quad \mathbb{E}(\varepsilon_i \mid \mathbf{x}_i) = 0.$$

非参数 Bootstrap 从原始样本中成对地[14]抽取 $\{y_i^*, \mathbf{x}_i^*\}$，这种抽样方式没有利用零条件期望假设，因此非参数 Bootstrap 样本分布不满足零条件期望假设。此外，非参数 Bootstrap 没有对 $\boldsymbol{\beta}$ 施加任何约束；并且，与残差 Bootstrap 和 Wild Bootstrap 不同的是，非参数 Bootstrap 并不以真实的数据矩阵 $\mathbf{X}$ 为条件。残差 Bootstrap 通过固定 $\mathbf{x}_i$ 并从重缩放的残差的经验分布中随机抽取 u_i^*，使得 Bootstrap 样本的回归误差项 u_i^* 独立于 $\mathbf{x}_i$，但是独立性假设强于零条件期望假设。此外，残差 Bootstrap 要求 ε_i 独立同分布。

Wu (1986) 提出的 Wild Bootstrap 施加了零条件期望假设，并且允许误差项存在异方差。获取 Wild Bootstrap 样本的一般步骤为：

1. 计算最小二乘估计量 $\hat{\boldsymbol{\beta}}_{ols}$ 和残差 e_i；
2. 利用如下式子生成 Bootstrap 观测：

$$y_i^* = \mathbf{x}_i'\hat{\boldsymbol{\beta}}_{ols} + e_i \cdot \xi_i^*, \quad \xi_i^* \sim i.i.d.\ (0,1),$$

其中，辅助随机变量 ξ_i^* 的分布有如下两种选择：

- Rademacher 随机数：

$$\xi_i^* = \begin{cases} 1 & \text{概率为 } \frac{1}{2} \\ -1 & \text{概率为 } \frac{1}{2}. \end{cases}$$

- Mammen (1993) 两点分布：

$$\xi_i^* = \begin{cases} \frac{(1-\sqrt{5})}{2} & \text{概率为 } \frac{(\sqrt{5}+1)}{2\sqrt{5}} \\ \frac{(\sqrt{5}+1)}{2} & \text{概率为 } \frac{(\sqrt{5}-1)}{2\sqrt{5}}. \end{cases}$$

Davidson et al. (2008) 中的统计模拟结果显示当 ε_i 具有对称的分布或近似对称的分布时，采用 Rademacher 随机数的 Wild Bootstrap 假设检验具有较好的小样本性质。若 ε_i 的分布不对称，建议使用 Mammen (1993) 两点分布。

注 在第 2 步中，常对 e_i 做如下的变换：

$$f(e_i) = \frac{e_i}{(1-h_{ii})^{1/2}}, \tag{3.37}$$

其中，h_{ii} 是第 i 个观测对应的杠杆值，见定义 3.1。

Bootstrap t 检验：几种方法的比较

为了比较不同的 Bootstrap 抽样方式对 Bootstrap 假设检验的小样本性质的影响，我们使用 R 语言编写几种 Bootstrap 的程序，通过统计模拟复现 MacKinnon (2006) 中图 1 的结果。

[14] 非参数 Bootstrap 也被称为 pairs Bootstrap。

MacKinnon (2006) 使用了如下的 DGP：

$$y_t = \beta_1 + \beta_2 y_{t-1} + \varepsilon_t, \quad \varepsilon_t \sim i.i.d.\, \mathcal{N}(0, \sigma^2),$$

其中，$\beta_1 = 1$，$\sigma^2 = 1$。考虑单个回归系数的假设检验问题：原假设为 $\mathbb{H}_0 : \beta_2 = 0.9$；备择假设为 $\mathbb{H}_1 : \beta_2 \neq 0.9$。为了检验 $\mathbb{H}_0$，构造 t 统计量：

$$t = \frac{\hat{\beta}_{2,ols} - 0.9}{s(\hat{\beta}_{2,ols})}.$$

在古典模型假设成立的情况下，t 服从自由度为 $n-2$ 的 t 分布。然而，上述 DGP 不满足严格外生性，$\hat{\beta}_{2,ols}$ 是有偏的，t 在小样本下的真实分布并非是 t 分布。这里选用 $\beta_2 = 0.9$ 作为原假设是因为此时的 DGP 虽然是平稳的但是它接近单位根过程，标准正态分布不能很好地近似 t 统计量在小样本下的真实分布。上述数据生成过程的 R 代码如下所示：

```
#定义数据生成过程DGP
DGP <- function(N){
  data = arima.sim(n = N, list(ar = 0.9)) + 10
  return(data)
}
```

我们比较如下五种统计推断方法的小样本性质：

1. 基于 t 分布的统计推断；
2. 残差 Bootstrap，估计模型系数时使用有约束的回归，即，施加了假设 $\mathbb{H}_0$ 的回归，并对有约束回归的残差进行式 (3.36) 的重缩放，记为 RR Bootstrap；
3. 残差 Bootstrap，估计模型系数时使用无约束的回归，并对无约束回归的残差进行式 (3.36) 的重缩放，记为 UR Bootstrap；
4. Pairs Bootstrap；
5. Wild Bootstrap，使用 Rademacher 随机数，并对残差进行式 (3.37) 的变换。

在比较小样本性质时，我们选取的样本量分别为 10、14、20、28、40、56、80、113、160、226、320、452、640、905 和 1280。针对每个样本量，重复实验的次数是 10000，每次重复时取 $B = 399$。初学计量的读者可能会对通过统计模拟评估检验方法小样本性质时涉及的重复实验和 Bootstrap 重抽样产生混淆，为了更好地理解它们之间的关系，我们利用流程图 3.2 说明统计模拟的过程。

从图中可以看出，给定样本量 n 之后，我们利用计算机生成 10^4 个不同的样本，对每一个样本做 399 次的 Bootstrap 得到检验的 Bootstrap p 值，这样可以得到 10^4 个 Bootstrap p 值：$\{p_1, \ldots, p_{10000}\}$，将这些 Bootstrap p 值和显著性水平 α 进行比较，计算其小于 α 的频率。对于一个理想的统计推断方法，此频率应该接近 α。

我们以 RR Bootstrap 为例说明如何编程实现 Bootstrap p 值的计算，以及如何计算 10^4 次重复实验的拒绝率，本小节其余四种统计推断方法以及完整的 R 程序可在本书网站下载，文件名为 boottest.R。由于统计模拟比较耗时，我们使用 parallel 包提供的并行计算功能。

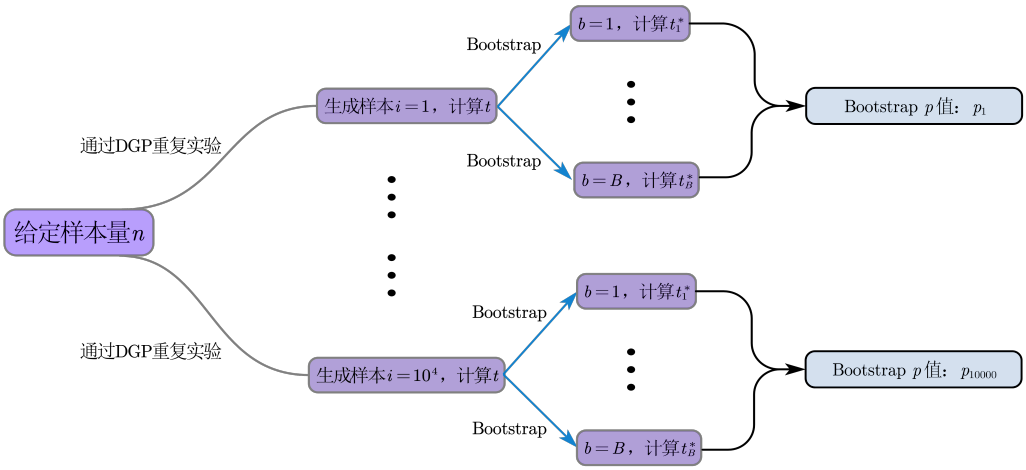

图 3.2: Bootstrap t 检验小样本性质评估的统计模拟流程图

```
#计算最小二乘估计量和t统计量
ols <- function(data){
  n = length(data)
  x = data[1:(n-1)]
  y = data[2:n]
  b = coef(lm(y~x))                                  #提取回归系数
  se = coef(summary(lm(y~x)))[,"Std. Error"][2]      #斜率估计量的标准误
  t = (b[2]-0.9)/se                                  #计算t统计量
  return(list(coef=b,std_error=se,test=t))
}
#RR Bootstrap
library(tidyverse)
RR_bootstrap <- function(data){
  n = length(data)
  xx = data[1:(n-1)]
  y = data[2:n]
  b0 = mean(y - xx*0.9)                              #有约束回归
  e = y - b0 - xx*0.9                                #计算有约束的残差
  u = sqrt((n-1)/(n-1-2))*e                          #式(3.36)
  data_star = rep(0,n)
  t_RR = lapply(
    1:B,
    function(x){
      data_star[1] = xx[1]
      for (i in 2:n){
        data_star[i] = b0 + 0.9*data_star[i-1] +
```

```
            sample(u,size=1,replace=TRUE)
      }
      data_star                                    #Bootstrap样本
    } %>%
      ols(.) %>%
      .["test"]                                    #计算t统计量
    )
  t_RR = unlist(t_RR)
  t = ols(data)$test
  p_RR = sum(abs(t_RR)>abs(t))/B
  return(p_RR)
}
library(parallel)                                  #加载并行计算包
clnum <- detectCores()                             #CPU核数
cl <- makeCluster(getOption("cl.cores", clnum))
#定义计算10000次模拟拒绝率的函数
reject_fre <- function(N){
  data = replicate(10000, DGP(N))
  p = parApply(cl,data,2,RR_bootstrap)
  return(mean(p<0.05))
}
clusterExport(cl, c("B","reject_fre","ols","RR_bootstrap","%>%"))
sample_size <- c(10,14,20,28,40,56,80,113,160,226,320,452,640,905,1280)
rej_fre = sapply(sample_size,reject_fre)
```

将不同的样本量做为横轴，各个样本量对应的 Bootstrap p 值小于 $\alpha = 0.05$ 的频率做为纵轴，我们得到图 3.3 所示的各个统计推断方法的小样本表现，从图中可以看出，有约束的残差 Bootstrap 和 Wild Bootstrap 具有良好的小样本性质，对于样本量的各种不同取值，两种检验方法的真实显著性水平都十分接近名义水平 0.05。

注 图 3.3 汇报的 Wild Bootstrap 结果优于 MacKinnon (2006) 中图 1 汇报的 Wild Bootstrap 结果，可能的原因是原文中的 Wild Bootstrap 采用的是无约束 Bootstrap，读者可以编程验证这一猜测。

聚类数据的 Bootstrap

尽管相关的理论文献较少，Bootstrap 方法依然可以用于聚类数据。本小节的讨论主要参考了 Cameron et al. (2008)。

令 $\mathbf{y}_g = (y_{1g}, \ldots, y_{n_g g})'$ 表示 $n_g \times 1$ 维第 g 个聚类中的所有被解释变量观测值构成的向量；$\mathbf{X}_g = (\mathbf{x}_{1g}, \ldots, \mathbf{x}_{n_g g})'$ 表示 $n_g \times K$ 维第 g 个聚类中的所有解释变量观测值构成

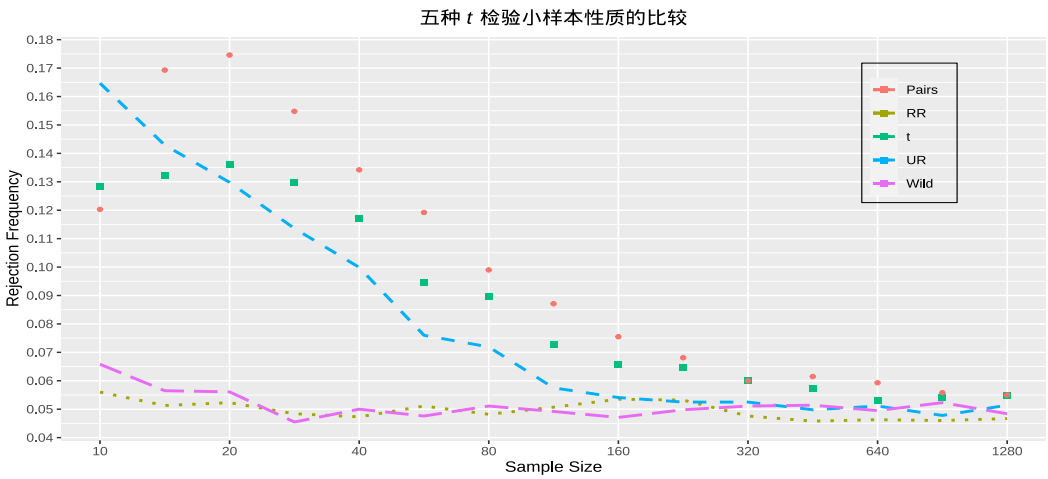

图 3.3: 五种 t 检验的小样本性质比较

的数据矩阵。聚类层面的线性回归方程可以表示为：

$$\mathbf{y}_g = \mathbf{X}_g\boldsymbol{\beta} + \boldsymbol{\varepsilon}_g, \quad g = 1, \ldots, G,$$

其中，$\boldsymbol{\varepsilon}_g = (\varepsilon_{1g}, \ldots, \varepsilon_{n_g g})'$ 是第 g 个聚类中的 $n_g \times 1$ 维的误差向量。原始样本可以划分为 G 个成对的 $\{\mathbf{y}_g, \mathbf{X}_g\}$。聚类的 pairs Bootstrap 对这 G 个 $\{\mathbf{y}_g, \mathbf{X}_g\}$ 进行有放回的 G 次抽样，从而得到 Bootstrap 样本并计算感兴趣的参数估计值或检验统计量的取值。将此过程重复进行 B 次，我们便可以计算 Bootstrap 标准误、构造各种 Bootstrap 置信区间或者计算 Bootstrap 假设检验的 p 值。值得一提的是，若要构造 BC$_a$ 百分位数区间，估计加速参数 a 时要使用“删除聚类”的 Jackknife。

获取聚类的 Wild Bootstrap 样本的一般步骤为：

1. 计算最小二乘估计量 $\hat{\boldsymbol{\beta}}_{ols}$ 和残差 e_i；
2. 利用如下式子生成 Bootstrap 观测：

$$\begin{aligned} \mathbf{y}_g^* &= \mathbf{X}_g\hat{\boldsymbol{\beta}}_{ols} + \boldsymbol{e}_g^* \\ \boldsymbol{e}_g^* &= \boldsymbol{e}_g \cdot \xi_g^* \end{aligned}$$

其中，$\boldsymbol{e}_g = (e_{1g}, \ldots, e_{n_g g})'$，表示第 g 个聚类的回归残差构成的列向量；ξ_g^* 是辅助标量随机变量，可以是 Rademacher 随机数，或者 Mammen (1993) 两点分布。

在 Stata 中，聚类 Bootstrap 标准误和置信区间可以通过在回归命令中设置选项 cluster(id) vce(bootstrap, reps(#)) 得到。例如：

```
//接例3.6的程序
. reg testscore tracking girl agetest, cluster(schoolid) vce(bootstrap,
    reps(500))
```

3.7 总结

球形扰动假设在建立最小二乘估计量的小样本性质时扮演着重要的角色。本章首先讨论了如何检验异方差，这是传统计量教材中的重要内容。若同方差的原假设成立，直接利用异方差条件下的结论进行统计推断会损失效率；然而，若是错误地接受了原假设，基于同方差条件下的理论进行的统计推断不具有稳健性。相比于效率，统计推断的稳健性往往更加重要。在传统的计量教材中，异方差被看作是一个“问题”，需要检验它是否存在，若存在该如何处理。然而，正如我们在第 2.1 节所讨论的那样，异方差是常态，同方差才是特例！被广泛使用的本科计量教材 Stock et al. (2020) 没有涉及任何关于异方差检验的讨论。因此，现在主流的计量实证分析中很少会出现异方差检验的使用，而是直接使用异方差稳健标准误。在 Stata 中，这种做法体现在 reg 命令后通常带着“, r”的选项。通过本章的学习，我们知道选项“, vce (hc2)”或“, vce (hc3)”可能是更好的选择。

类似地，当误差项存在自相关时，我们可以使用异方差自相关稳健标准误进行统计推断。时间序列模型是计量经济学研究的主要对象之一，时间序列数据往往会存在自相关和（或）异方差，在计算标准误时进行 Newey-West 调整显得尤为重要。Bali et al. (2016) 将 Newey-West 调整视为实证资产定价的三个预备知识之一，其重要性可见一斑。

自从二十世纪八十年代以来，聚类标准误在经济和金融的实证分析中被广泛地使用。本章以聚类数据为基础，讨论了使用聚类标准误的必要性。本书还将在因果推断（第 **??** 章）和静态面板数据模型（第 5 章）等章节进一步讨论聚类标准误的使用。近年来，关于聚类标准误的理论文献开始逐渐增多，感兴趣的读者可以参考 MacKinnon et al. (2022a) 和 Abadie et al. (2022)。值得一提的是，Abadie et al. (2022) 指出了使用聚类标准误的三个误区：（1）使用聚类标准误是因为同一聚类内部的个体的误差项存在相关性；（2）如果聚类标准误与异方差稳健标准误差异较大，我们就应该使用聚类标准误；（3）研究者只有两种选择：要么使用聚类标准误，要么使用异方差稳健标准误。

本章的最后介绍了 Jackknife 和 Bootstrap 两种重抽样方法。Jackknife 是计算标准误的既简单又灵活的统计方法。在通常情况下，Jackknife 方差的估计结果与渐近理论提供的渐近方差非常接近。Bootstrap 可以用来估计标准误、构造置信区间和假设检验。在估计回归系数的非线性函数的标准误时，截尾的 Bootstrap 标准误具有较好的稳定性。此外，不同的 Bootstrap 抽样方式会对假设检验的结果带来较大的影响。在异方差条件下，Wild Bootstrap 是较好的选择。在实证分析时，我们往往需要结合具体问题设计适合的 Bootstrap 方法（例如，Huang et al. (2015)）。

在实证分析中，研究者通常假设样本是从总体中随机抽取的一组观测，参数估计的标准误体现了抽样的变异（sampling variation）。然而，随着科技的发展和数据收集方式的改变，在大数据时代研究者可能拥有整个总体的数据（例如：京东的所有消费者），此时，我们该如何解释标准误？Abadie et al. (2020) 给出了一个答案，供读者参考。

附录 1：定理 3.4 的证明

首先，由最小二乘估计量的一致性和渐近正态性，我们有：

$$
\begin{aligned}
\sqrt{T}\hat{\gamma}_j &= \sqrt{T}\tilde{\gamma}_j - \frac{1}{T}\sum_{t=j+1}^{T}(\mathbf{x}_{t-j}\varepsilon_t + \mathbf{x}_t\varepsilon_{t-j})'\sqrt{T}(\hat{\boldsymbol{\beta}}_{ols} - \boldsymbol{\beta}) \\
&\quad + \sqrt{T}(\hat{\boldsymbol{\beta}}_{ols} - \boldsymbol{\beta})'\left(\frac{1}{T}\sum_{t=j+1}^{T}\mathbf{x}_t\mathbf{x}_{t-j}'\right)(\hat{\boldsymbol{\beta}}_{ols} - \boldsymbol{\beta}) \\
&\underset{a}{\sim} \sqrt{T}\tilde{\gamma}_j - \frac{1}{T}\sum_{t=j+1}^{T}(\mathbf{x}_{t-j}\varepsilon_t + \mathbf{x}_t\varepsilon_{t-j})'\sqrt{T}(\hat{\boldsymbol{\beta}}_{ols} - \boldsymbol{\beta}) \\
&\underset{a}{\sim} \sqrt{T}\tilde{\gamma}_j - \mathbb{E}(\mathbf{x}_{t-j}\varepsilon_t + \mathbf{x}_t\varepsilon_{t-j})'\sqrt{T}(\hat{\boldsymbol{\beta}}_{ols} - \boldsymbol{\beta}) && \text{(由遍历定理 B.7)} \\
&= \sqrt{T}\tilde{\gamma}_j - \boldsymbol{\mu}_j'\sqrt{T}(\hat{\boldsymbol{\beta}}_{ols} - \boldsymbol{\beta}) && (\boldsymbol{\mu}_j \equiv \mathbb{E}(\mathbf{x}_t\varepsilon_{t-j})) \\
&= \sqrt{T}\tilde{\gamma}_j - \boldsymbol{\mu}_j'\sqrt{T}\mathbf{S}_{\mathbf{xx}}^{-1}\frac{1}{T}\sum_{t=1}^{T}\mathbf{x}_t\varepsilon_t && \text{(由式 (2.36))} \\
&= \sqrt{T}\frac{1}{T}\sum_{t=j+1}^{T}\varepsilon_t\varepsilon_{t-j} - \boldsymbol{\mu}_j'\sqrt{T}\mathbf{S}_{\mathbf{xx}}^{-1}\frac{1}{T}\sum_{t=1}^{T}\mathbf{x}_t\varepsilon_t \\
&\underset{a}{\sim} \sqrt{T}\frac{1}{T}\sum_{t=1}^{T}\varepsilon_t\varepsilon_{t-j} - \boldsymbol{\mu}_j'\sqrt{T}\boldsymbol{\Sigma}_{\mathbf{xx}}^{-1}\frac{1}{T}\sum_{t=1}^{T}\mathbf{x}_t\varepsilon_t \\
&= \mathbf{c}_j'\sqrt{T}\bar{\mathbf{g}}_j,
\end{aligned}
$$

其中，

$$
\mathbf{c}_j \equiv \begin{bmatrix} 1 \\ -\boldsymbol{\Sigma}_{\mathbf{xx}}^{-1}\boldsymbol{\mu}_j \end{bmatrix}, \quad \bar{\mathbf{g}}_j \equiv \frac{1}{T}\sum_{t=1}^{T}\mathbf{g}_{jt}, \quad \mathbf{g}_{jt} \equiv \begin{bmatrix} \varepsilon_{t-j}\varepsilon_t \\ \mathbf{x}_t\varepsilon_t \end{bmatrix}.
$$

令 $\hat{\boldsymbol{\gamma}} = (\hat{\gamma}_1, \ldots, \hat{\gamma}_p)'$，由上述推导可知：

$$
\sqrt{T}\hat{\boldsymbol{\gamma}} \underset{a}{\sim} \mathbf{C}'\sqrt{T}\bar{\mathbf{g}}, \tag{3.38}
$$

其中，

$$
\mathbf{C} \equiv \begin{bmatrix} \mathbf{c}_1 & & \\ & \ddots & \\ & & \mathbf{c}_p \end{bmatrix}, \quad \bar{\mathbf{g}} \equiv \frac{1}{T}\sum_{t=1}^{T}\mathbf{g}_t, \quad \mathbf{g}_t \equiv \begin{bmatrix} \mathbf{g}_{1t} \\ \vdots \\ \mathbf{g}_{pt} \end{bmatrix}.
$$

由 LIE 和式 (3.3)，可以证明 $\mathbf{g}_t$ 是鞅差序列。显然，$\mathbf{g}_t$ 也是遍历平稳的，因此，

$$
\sqrt{T}\bar{\mathbf{g}} \underset{d}{\to} \mathcal{N}(\mathbf{0}, \mathbb{E}(\mathbf{g}_t\mathbf{g}_t')). \tag{3.39}
$$

接下来我们计算 $\mathbb{E}(\mathbf{g}_t\mathbf{g}_t')$，它的第 (j,k) 位置上的分块为：

$$
\mathbb{E}(\mathbf{g}_{jt}\mathbf{g}_{kt}') = \begin{bmatrix} \mathbb{E}(\varepsilon_t^2\varepsilon_{t-j}\varepsilon_{t-k}) & \mathbb{E}(\mathbf{x}_t'\varepsilon_t^2\varepsilon_{t-j}) \\ \mathbb{E}(\mathbf{x}_t\varepsilon_t^2\varepsilon_{t-k}) & \mathbb{E}(\varepsilon_t^2\mathbf{x}_t\mathbf{x}_t') \end{bmatrix}.
$$

再根据 LIE 和假设 2.8*，容易验证：

$$\mathbb{E}(\mathbf{g}_{jt}\mathbf{g}_{kt}') = \begin{bmatrix} \sigma^4\delta_{jk} & \sigma^2\boldsymbol{\mu}_j' \\ \sigma^2\boldsymbol{\mu}_k & \sigma^2\boldsymbol{\Sigma}_{\mathbf{xx}} \end{bmatrix},$$

其中，当 $j=k$ 时，$\delta_{jk}=1$；当 $j\neq k$ 时，$\delta_{jk}=0$。由式 (3.38) 和 (3.39)，

$$\mathrm{Avar}(\hat{\boldsymbol{\gamma}}) = \mathbf{C}'\mathbb{E}(\mathbf{g}_t\mathbf{g}_t')\mathbf{C}.$$

此渐近协方差矩阵的第 (j,k) 位置上的元素为：

$$\mathbf{c}_j'\mathbb{E}(\mathbf{g}_{jt}\mathbf{g}_{kt}')\mathbf{c}_k = \sigma^4\cdot[\delta_{jk} - \boldsymbol{\mu}_j'\boldsymbol{\Sigma}_{\mathbf{xx}}^{-1}\boldsymbol{\mu}_k/\sigma^2].$$

因此，

$$\sqrt{T}\hat{\boldsymbol{\gamma}} \underset{d}{\to} \mathcal{N}(\mathbf{0}, \sigma^4\cdot(\mathbf{I}_p - \boldsymbol{\Phi})).$$

又因为 $\sqrt{T}\hat{\boldsymbol{\rho}} \underset{a}{\sim} \sqrt{T}\hat{\boldsymbol{\gamma}}/\sigma^2$，$\sqrt{T}\hat{\boldsymbol{\rho}}$ 的渐近分布与 $\sqrt{T}\hat{\boldsymbol{\gamma}}/\sigma^2$ 的渐近分布相同，于是，我们有：

$$\sqrt{T}\hat{\boldsymbol{\rho}} \underset{d}{\to} \mathcal{N}(\mathbf{0}, \mathbf{I}_p - \boldsymbol{\Phi}).$$

附录 2：杠杆值与残差

如果样本中的少数观测数据离大多数观测数据很远，它们可能会对最小二乘估计产生很大的影响，这些数据被称为异常值（outlier）。某个观测值对最小二乘估计的影响力可通过去掉此观测值后回归系数的变化来衡量。为了计算回归系数的变化，我们首先定义数据矩阵 $\mathbf{X}$ 的杠杆值（leverage value）。

定义 3.1. 杠杆值

数据矩阵 $\mathbf{X}$ 的杠杆值是由 $\mathbf{X}$ 定义的投影矩阵 $\mathbf{P}_{\mathbf{X}} = \mathbf{X}(\mathbf{X}'\mathbf{X})^{-1}\mathbf{X}'$ 的对角线元素。♣

杠杆值有 n 个，通常表示为 h_{ii}，$i=1,\ldots,n$。因为，

$$\mathbf{P}_{\mathbf{X}} = \begin{pmatrix} \mathbf{x}_1' \\ \mathbf{x}_2' \\ \vdots \\ \mathbf{x}_n' \end{pmatrix} (\mathbf{X}'\mathbf{X})^{-1} \begin{pmatrix} \mathbf{x}_1 & \mathbf{x}_2 & \cdots & \mathbf{x}_n \end{pmatrix},$$

所以，我们有：

$$h_{ii} = \mathbf{x}_i'(\mathbf{X}'\mathbf{X})^{-1}\mathbf{x}_i.$$

由上式可知 h_{ii} 是观测向量 $\mathbf{x}_i$ 的标准化长度。杠杆值有如下性质：

性质 （杠杆值的性质）

- $0 \leqslant h_{ii} \leqslant 1$；
- $\sum_{i=1}^n h_{ii} = K$；
- 如果 $\mathbf{X}$ 中包含常数项，$h_{ii} \geqslant 1/n$。

证明 令 $\boldsymbol{\tau}_i$ 表示第 i 个位置是 1 其余位置是 0 的 $n\times 1$ 维向量，则有 $h_{ii} = \boldsymbol{\tau}_i'\mathbf{P}_{\mathbf{X}}\boldsymbol{\tau}_i$。由

Rayleigh 商定理 A.12，

$$\boldsymbol{\tau}_i'\boldsymbol{\tau}_i\lambda_{\min}(\mathbf{P_X}) \leqslant h_{ii} \leqslant \boldsymbol{\tau}_i'\boldsymbol{\tau}_i\lambda_{\max}(\mathbf{P_X}).$$

注意到 $\mathbf{P_X}$ 是对称幂等阵，其特征值只能是 0 和 1，因此，$0 \leqslant h_{ii} \leqslant 1$。同时，

$$\sum_{i=1}^{n} h_{ii} = \operatorname{tr}(\mathbf{P_X}) = K.$$

此外，令 $\boldsymbol{\iota}$ 表示所有元素都是 1 的 $n \times 1$ 维向量，我们有：

$$\frac{1}{n} = \|\mathbf{P}_{\boldsymbol{\iota}}\boldsymbol{\tau}_i\|^2 = \|\mathbf{P}_{\boldsymbol{\iota}}\mathbf{P_X}\boldsymbol{\tau}_i\|^2 \leqslant \|\mathbf{P_X}\boldsymbol{\tau}_i\|^2 = h_{ii},$$

其中，第二个等号用到了 $\mathbf{X}$ 中包含常数项使得 $\mathbf{P}_{\boldsymbol{\iota}}\mathbf{P_X} = \mathbf{P}_{\boldsymbol{\iota}}$；不等号成立使用的是勾股定理。 □

接下来我们利用杠杆值来研究第 i 个观测值的影响力。去掉第 i 个观测值后的最小二乘估计量为：

$$\hat{\boldsymbol{\beta}}_{(-i)} = \left(\sum_{j\neq i}\mathbf{x}_j\mathbf{x}_j'\right)^{-1}\left(\sum_{j\neq i}\mathbf{x}_j y_j\right) = \left(\mathbf{X}'\mathbf{X} - \mathbf{x}_i\mathbf{x}_i'\right)^{-1}\left(\mathbf{X}'\mathbf{y} - \mathbf{x}_i y_i\right) \tag{3.40}$$

“去一”估计量对应的拟合值和残差为：

$$\tilde{y}_i = \mathbf{x}_i'\hat{\boldsymbol{\beta}}_{(-i)}, \quad \tilde{e}_i = y_i - \tilde{y}_i.$$

我们有如下结论：

性质 （“去一”估计量和残差）“去一”最小二乘估计量及其对应的残差可以通过如下方式计算：

$$\hat{\boldsymbol{\beta}}_{(-i)} = \hat{\boldsymbol{\beta}}_{ols} - \left(\mathbf{X}'\mathbf{X}\right)^{-1}\mathbf{x}_i\tilde{e}_i, \tag{3.41}$$

$$\tilde{e}_i = (1 - h_{ii})^{-1} e_i. \tag{3.42}$$

证明 将式 (3.40) 左右两端同时左乘 $\left(\mathbf{X}'\mathbf{X}\right)^{-1}\left(\mathbf{X}'\mathbf{X} - \mathbf{x}_i\mathbf{x}_i'\right)$ 可以得到：

$$\begin{aligned}\hat{\boldsymbol{\beta}}_{(-i)} - \left(\mathbf{X}'\mathbf{X}\right)^{-1}\mathbf{x}_i\mathbf{x}_i'\hat{\boldsymbol{\beta}}_{(-i)} &= \left(\mathbf{X}'\mathbf{X}\right)^{-1}\left(\mathbf{X}'\mathbf{y} - \mathbf{x}_i y_i\right) \\ &= \hat{\boldsymbol{\beta}}_{ols} - \left(\mathbf{X}'\mathbf{X}\right)^{-1}\mathbf{x}_i y_i.\end{aligned}$$

上式经整理可得：

$$\hat{\boldsymbol{\beta}}_{(-i)} = \hat{\boldsymbol{\beta}}_{ols} - \left(\mathbf{X}'\mathbf{X}\right)^{-1}\mathbf{x}_i(y_i - \mathbf{x}_i'\hat{\boldsymbol{\beta}}_{(-i)}) = \hat{\boldsymbol{\beta}}_{ols} - \left(\mathbf{X}'\mathbf{X}\right)^{-1}\mathbf{x}_i\tilde{e}_i.$$

上式两端同时左乘 $\mathbf{x}_i'$ 可得：

$$\mathbf{x}_i'\hat{\boldsymbol{\beta}}_{(-i)} = \mathbf{x}_i'\hat{\boldsymbol{\beta}}_{ols} - h_{ii}\tilde{e}_i.$$

所以，

$$y_i - \mathbf{x}_i'\hat{\boldsymbol{\beta}}_{(-i)} = y_i - \mathbf{x}_i'\hat{\boldsymbol{\beta}}_{ols} + h_{ii}\tilde{e}_i,$$

即，$\tilde{e}_i = e_i + h_{ii}\tilde{e}_i$，经整理得：$\tilde{e}_i = (1 - h_{ii})^{-1} e_i$。 □

具有影响力的观测

由式 (3.41)，观测 i 的影响力可以通过如下系数估计的差来衡量：

$$\hat{\boldsymbol{\beta}}_{ols} - \hat{\boldsymbol{\beta}}_{(-i)} = \left(\mathbf{X}'\mathbf{X}\right)^{-1}\mathbf{x}_i\tilde{e}_i.$$

我们也可以通过拟合值的变化衡量观测 i 的影响力：

$$\hat{y}_i - \tilde{y}_i = \mathbf{x}_i'\left(\mathbf{X}'\mathbf{X}\right)^{-1}\mathbf{x}_i\tilde{e}_i = h_{ii}\tilde{e}_i.$$

我们称具有较大杠杆值的观测为高杠杆点。从上式可以看出，高杠杆点可能是具有影响力的观测，但是高杠杆点是否确实具有影响力还取决于“去一”残差 $\tilde{e}_i$。

在 Stata 中，命令“dfbeta”可以计算如下测算影响力的指标：

$$\text{DFBETA}_{ik} \equiv \frac{\hat{\beta}_{k,ols} - \hat{\beta}_{k,(-i)}}{s_{(-i)}^2\sqrt{(\mathbf{X}'\mathbf{X})_{kk}^{-1}}},$$

其中，DFBETA_{ik} 衡量去掉第 i 个观测对第 k 个解释变量系数的影响；$s_{(-i)}^2$ 为 σ^2 的“去一”估计量，具体地，

$$s_{(-i)}^2 = \frac{\sum_{j\neq i}\tilde{e}_j^2}{n-K-1}.$$

Belsley et al. (2004) 推荐使用 $2/\sqrt{n}$ 作为阈值，若 $|\text{DFBETA}_{ik}| > 2/\sqrt{n}$，观测 i 可被认为是具有影响力的。

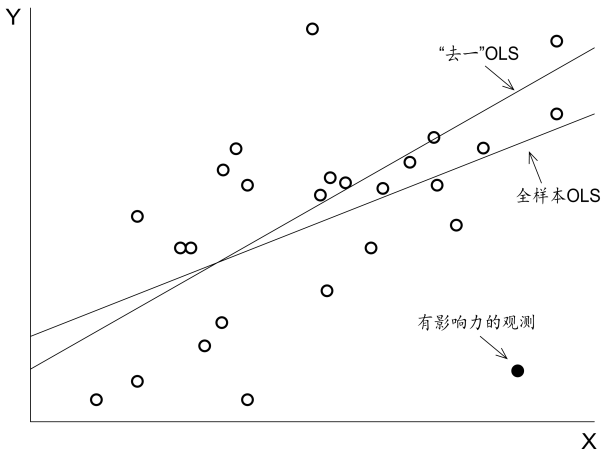

图 3.4: 具有影响力的观测对 OLS 的影响

残差

利用杠杆值，我们可以进一步分析残差 e_i 和“去一”残差 $\tilde{e}_i$ 的性质。令假设 2.1-2.4 成立，由式 (2.18)，

$$\begin{aligned}\mathbb{E}[\boldsymbol{e} \mid \mathbf{X}] &= \mathbb{E}[\mathbf{M}_{\mathbf{X}}\boldsymbol{\varepsilon} \mid \mathbf{X}] = \mathbf{0},\\ \text{Var}[\boldsymbol{e} \mid \mathbf{X}] &= \text{Var}[\mathbf{M}_{\mathbf{X}}\boldsymbol{\varepsilon} \mid \mathbf{X}] = \sigma^2\mathbf{M}_{\mathbf{X}}.\end{aligned}$$

因此，

$$\mathrm{Var}[e_i \mid \mathbf{X}] = \mathbb{E}(e_i^2 \mid \mathbf{X}) = (1 - h_{ii})\sigma^2. \tag{3.43}$$

由于 h_{ii} 是 $\mathbf{X}$ 的函数，所以，即使假设 2.4 成立，e_i 依然是异方差的。同时，e_i^2 是 σ^2 的有偏估计量。

类似地，对于“去一”残差向量 $\tilde{\boldsymbol{e}}$，由式 (3.42)，我们有：

$$\begin{aligned}
\tilde{\boldsymbol{e}} &= \mathbf{M}^*\mathbf{M}_{\mathbf{X}}\boldsymbol{\varepsilon}, \\
\mathbb{E}[\tilde{\boldsymbol{e}} \mid \mathbf{X}] &= \mathbb{E}[\mathbf{M}^*\mathbf{M}_{\mathbf{X}}\boldsymbol{\varepsilon} \mid \mathbf{X}] = \mathbf{0}, \\
\mathrm{Var}[\tilde{\boldsymbol{e}} \mid \mathbf{X}] &= \mathrm{Var}[\mathbf{M}^*\mathbf{M}_{\mathbf{X}}\boldsymbol{\varepsilon} \mid \mathbf{X}] = \sigma^2\mathbf{M}^*\mathbf{M}_{\mathbf{X}}\mathbf{M}^*
\end{aligned}$$

其中，$\mathbf{M}^* = \mathrm{diag}\left((1-h_{11})^{-1}, \ldots, (1-h_{nn})^{-1}\right)$。因此，

$$\begin{aligned}
\mathrm{Var}[\tilde{e}_i \mid \mathbf{X}] &= \mathbb{E}(\tilde{e}_i^2 \mid \mathbf{X}) = (1-h_{ii})^{-1}(1-h_{ii})(1-h_{ii})^{-1}\sigma^2 \\
&= (1-h_{ii})^{-1}\sigma^2.
\end{aligned}$$

若令 $\bar{e}_i = (1-h_{ii})^{-1/2}e_i$，容易验证 $\mathrm{Var}[\bar{e}_i \mid \mathbf{X}] = \sigma^2$。我们将 $\bar{e}_i$ 称为标准化残差。

再谈 σ^2 的估计

注意到 $\sigma^2 = \mathbb{E}(\varepsilon_i^2)$，因此估计 σ^2 的最直接方式是用 ε_i^2 的样本均值。然而，ε_i 不可观测，我们采用残差平方的样本均值：

$$\hat{\sigma}^2 = \frac{1}{n}\sum_{i=1}^{n} e_i^2.$$

但是，由式 (3.43)，

$$\mathbb{E}[\hat{\sigma}^2 \mid \mathbf{X}] = \frac{1}{n}\sum_{i=1}^{n}(1-h_{ii})\sigma^2 = \frac{n-K}{n}\sigma^2, \tag{3.44}$$

其中，最后一个等号成立使用了杠杆值的和等于 K。所以，$\hat{\sigma}^2$ 是关于 σ^2 的有偏估计量。我们在定理 2.4 中考虑的估计量 s^2 通过在 $\hat{\sigma}^2$ 上乘以 $n/(n-K)$ 对偏误进行修正：

$$s^2 = \frac{\boldsymbol{e}'\boldsymbol{e}}{n-K} = \left(\frac{n}{n-K}\right)\frac{1}{n}\sum_{i=1}^{n} e_i^2.$$

但是，这不是唯一得到 σ^2 的无偏估计量的修正方式，例如：我们可以使用标准化残差平方的样本均值估计 σ^2：

$$\bar{\sigma}^2 = \frac{1}{n}\sum_{i=1}^{n}\bar{e}_i^2 = \frac{1}{n}\sum_{i=1}^{n}(1-h_{ii})^{-1}e_i^2.$$

容易验证 $\mathbb{E}(\bar{\sigma}^2 \mid \mathbf{X}) = \sigma^2$。

第三章习题

1. 证明：定理 3.2 中的 $\boldsymbol{g}'\mathbf{Z}(\mathbf{Z}'\mathbf{Z})^{-1}\mathbf{Z}'\boldsymbol{g} - n$ 等于 g_i 对 $\mathbf{z}_i$ 回归的回归平方和。
2. 证明：定理 3.3 的结论成立。
3. 证明：若 $\sqrt{T}\tilde{\gamma}_l - \sqrt{T}\hat{\gamma}_l \underset{p}{\to} 0$，则 $\sqrt{T}\tilde{\rho}_l - \sqrt{T}\hat{\rho}_l \underset{p}{\to} 0$。

4. 证明：在定理 3.4 的假设条件下，修正的 Box-Pierce Q 检验统计量与 $p \cdot F$ 渐近等价，其中，F 为检验辅助回归 (3.5) 中 $e_{t-1}, \ldots, e_{t-p}$ 系数联合显著性的 F 统计量。（选做）
5. 证明：式 (3.9) 成立。
6. 证明：式 (3.10) 和式 (3.11) 成立。
7. 证明：标准化残差 $\bar{e}_i$ 满足 $\mathrm{Var}[\bar{e}_i \mid \mathbf{X}] = \sigma^2$。
8. 证明：式 (3.21) 成立。
9. 计算：令 y^* 是从样本 $\{y_1, \ldots, y_n\}$ 中随机抽取的一个观测，F_n 是此样本的经验分布函数，求：$\mathbb{E}[y^* \mid F_n]$ 和 $\mathrm{Var}[y^* \mid F_n]$。
10. 计算：令 $\{y_1^*, \ldots, y_n^*\}$ 是对样本 $\{y_1, \ldots, y_n\}$ 进行有放回的抽样得到的 Bootstrap 样本，其样本均值为 $\bar{y}^* = n^{-1} \sum_{i=1}^n y_i^*$，求：$\mathbb{E}[\bar{y}^* \mid F_n]$ 和 $\mathrm{Var}[\bar{y}^* \mid F_n]$。
11. 编程：将图 3.3 中的 Wild Bootstrap 改为无约束的 Wild Bootstrap，通过统计模拟评估其小样本性质。

第四章 内生性和工具变量

内容提要

❑

4.1 内生性

Roberts et al. (2013)

4.2 工具变量的历史

4.3 两阶段最小二乘

Hong (2020)

4.4 弱工具变量

4.5 总结

第 五 章 静态面板数据模型

内容提要

❑

Verbeek (2021)

5.1 固定效应模型

5.2 随机效应模型

5.3 双向固定效应模型

5.4 双重差分

5.5 总结

第二部分 常用估计方法

第六章 广义矩估计

内容提要

❑

6.1 线性广义矩估计

6.2 实例 1：动态面板数据模型

6.3 非线性广义矩估计

6.4 实例 2：资产定价模型的参数估计

6.5 总结

第七章 极大似然与拟极大似然估计

内容提要

- 似然函数 7.1
- 极大似然估计 7.1
- 对数似然函数 7.3
- 熵 7.4
- 交叉熵 7.6
- Kullback-Leibler 散度 7.2
- 信息矩阵等式 7.4
- Cramér-Rao 下界 7.5
- 依概率逐点收敛 7.3
- 依概率一致收敛 7.3
- MLE 的存在性 7.6
- MLE 的一致性 7.7
- MLE 的渐近正态 7.8
- Wald 检验 7.4
- LM 检验 7.4
- LR 检验 7.4
- 拟极大似然估计 7.7
- AIC 和 BIC 7.5

极大似然估计是模型参数估计的一般方法，在估计非线性计量模型的参数时被广泛使用。本章将对极大似然估计的理论和方法做较详细地介绍，并通过实例介绍如何编写极大似然估计的程序。本章第一节将介绍了极大似然估计的概念和一般步骤；第二节将从信息论的角度解读极大似然估计；第三节将详细分析极大似然估计的理论性质；基于极大似然估计的框架，第四节将讨论常用的统计三大检验；第五和第六节将分别通过线性回归和二项选择模型两个例子介绍如何动手实现极大似然估计，同时，第五节还将介绍经典的模型选择标准 AIC 和 BIC；本章的最后将讨论拟极大似然估计。本章的写作主要参考了 Hansen (2022a) 和 Martin et al. (2013)，想深入了解本章内容的读者可以进一步阅读这些教材。

7.1 极大似然估计

令 $\mathrm{x}_1, \ldots, \mathrm{x}_n$ 是一组满足 i.i.d. 的随机变量，其联合概率密度函数为 $f(x_1, \ldots, x_n \mid \boldsymbol{\theta})$，此记法表示 f 的函数形式是已知的，并且 f 与未知参数 $\boldsymbol{\theta}$ 有关。例如，若 $\mathrm{x} \sim \mathcal{N}(\mu, \sigma^2)$，则有：

$$f(x \mid \boldsymbol{\theta}) = \frac{1}{\sqrt{2\pi}\sigma} \exp\left(-\frac{(x-\mu)^2}{2\sigma^2}\right), \quad \boldsymbol{\theta} = (\mu, \sigma^2).$$

极大似然估计的目的是利用给定的一组样本观测值 $\{x_1, \ldots, x_n\}$ 去估计未知参数 $\boldsymbol{\theta}$。设想 $\boldsymbol{\theta}$ 只有两个备选的取值 $\boldsymbol{\theta}_1$ 和 $\boldsymbol{\theta}_2$，并且满足：

$$f(x_1, \ldots, x_n \mid \boldsymbol{\theta}_1) > f(x_1, \ldots, x_n \mid \boldsymbol{\theta}_2).$$

若从 $\boldsymbol{\theta}_1$ 和 $\boldsymbol{\theta}_2$ 选择一个作为未知参数 $\boldsymbol{\theta}$ 的估计，我们自然会选择 $\boldsymbol{\theta}_1$。极大似然估计的原理就是这种直观思想的体现。我们知道，$f(x_1, \ldots, x_n \mid \boldsymbol{\theta})$ 衡量了随机变量 $\mathrm{x}_1, \ldots, \mathrm{x}_n$ 的实现值落入 $x_1, \ldots, x_n$ 的邻域中的可能性；或换个角度通俗讲，$f(x_1, \ldots, x_n \mid \boldsymbol{\theta})$ 衡量了观测到数据 $x_1, \ldots, x_n$ 的可能性。极大似然估计的基本思想是通过选择参数 $\boldsymbol{\theta}$ 的取值使

得观测到这组数据的可能性最大。

为了给出极大似然估计的严格定义，首先引入似然函数（likelihood function）的概念：样本观测值 $\{x_1, \ldots, x_n\}$ 对应的似然函数定义为：

$$L_n(\boldsymbol{\theta}) \equiv f(x_1, \ldots, x_n \mid \boldsymbol{\theta}) = \prod_{i=1}^{n} f(x_i \mid \boldsymbol{\theta}). \tag{7.1}$$

从似然函数的定义可以看出，似然函数实际上就是联合概率密度函数，区别在于联合概率密度函数是关于 $\{x_1, \ldots, x_n\}$ 的函数，而似然函数是固定 $\{x_1, \ldots, x_n\}$，并将其看成是未知参数 $\boldsymbol{\theta}$ 的函数。

$\boldsymbol{\theta}$ 的极大似然估计量定义为使似然函数最大化的最优解：

定义 7.1. 极大似然估计（Maximum Likelihood Estimation, MLE）

$\boldsymbol{\theta}$ 的极大似然估计量，记为 $\hat{\boldsymbol{\theta}}$，是使 $L_n(\boldsymbol{\theta})$ 最大化的最优解，即，

$$\hat{\boldsymbol{\theta}} = \underset{\boldsymbol{\theta} \in \boldsymbol{\Theta}}{\operatorname{argmax}}\, L_n(\boldsymbol{\theta}), \tag{7.2}$$

其中，$\boldsymbol{\Theta}$ 是参数 $\boldsymbol{\theta}$ 可能取值的空间。 ♣

在多数情况下，处理似然函数的对数比直接处理似然函数更加方便，似然函数的对数定义为：

$$\ell_n(\boldsymbol{\theta}) \equiv \log L_n(\boldsymbol{\theta}) = \sum_{i=1}^{n} \log f(x_i \mid \boldsymbol{\theta}). \tag{7.3}$$

$\ell_n(\boldsymbol{\theta})$ 被称为对数似然函数。因为取对数是单调变换，所以使 $\ell_n(\boldsymbol{\theta})$ 最大化和使 $L_n(\boldsymbol{\theta})$ 最大化的最优解是等价的。

根据定义 7.1，极大似然估计的一般步骤为：

1. 设定一元概率密度函数 $f(x \mid \boldsymbol{\theta})$，$f$ 的函数形式已知，待估参数 $\boldsymbol{\theta}$ 未知；
2. 利用样本观测值 $\{x_1, \ldots, x_n\}$ 计算对数似然函数：$\sum_{i=1}^{n} \log f(x_i \mid \boldsymbol{\theta})$；
3. 通过最优化的一阶条件求出极大似然估计量；
4. 如果通过最优化的一阶条件求解不可行，则需要利用数值方法求出最优化问题的数值解。

极大似然估计量具有如下意义的不变性：

定理 7.1. MLE 的不变性

令 $\hat{\boldsymbol{\theta}}$ 是 $\boldsymbol{\theta}$ 的极大似然估计量，对任意的变换 $\boldsymbol{\beta} = \boldsymbol{h}(\boldsymbol{\theta})$，$\boldsymbol{\beta}$ 的极大似然估计量为 $\hat{\boldsymbol{\beta}} = \boldsymbol{h}(\hat{\boldsymbol{\theta}})$。 ♡

7.2 极大似然估计的信息论视角

极大似然估计和信息论中的 Kullback-Leibler 散度（divergence）具有密切的联系，通过 KL 散度可以更好地理解极大似然估计的本质。为了给出 KL 散度的定义，首先介绍信息论中熵（entropy）的概念。熵是一个概率分布的不确定性的测度，熵越高的概率分布具有的不确定性越高。令 $\{x_1, \ldots, x_n\}$ 是随机变量 x 的一组样本观测值，若 x 服从高

不确定性的概率分布，则样本中的每一个观测 x_i 都较难事先预测。因此，熵也是一组样本观测值信息含量的测度，越难预测的样本信息含量越高。

假设随机变量 x 是取值为 $k = 1, \ldots, K$ 的离散随机变量，其概率质量函数为 $p(x)$，x 的熵定义为：

$$\mathbb{H}(\mathrm{x}) \equiv -\sum_{k=1}^{K} p(\mathrm{x} = k) \log p(\mathrm{x} = k) = -\mathbb{E}_{\mathrm{x}}[\log p(\mathrm{x})]. \tag{7.4}$$

类似地，若 x 是连续随机变量，其 pdf 为 $p(x)$，x 的熵定义为：

$$h(\mathrm{x}) \equiv -\int_{\mathcal{X}} p(x) \log p(x) dx, \tag{7.5}$$

其中，$\mathcal{X}$ 是分布 p 的支撑[1]。

理解熵的定义的关键是牢记熵是信息含量的测度，一个小概率事件如果真的发生将提供更多的信息，例如，“成都明天阴天”和“成都明天晴天”相比，后者的信息含量更高[2]，但是，后者发生的概率更低。将概率取对数并加上负号，会使小概率事件具有更高的取值，从而使小概率事件具有更高的信息含量。

在两个分布之间可以定义交叉熵（cross entropy）的概念：令 p 和 q 为两个概率分布，它们之间的交叉熵定义为：

$$\mathbb{H}(p, q) \equiv -\sum_{k=1}^{K} p_k \log q_k = -\mathbb{E}_p[\log q(\mathrm{x})], \tag{7.6}$$

其中，$\mathbb{E}_p$ 表示相对于概率分布 p 求期望。

考虑抛硬币的随机试验，若使用二进制编码描述 n 次随机试验的结果，在硬币均匀的情况下，最优的做法是使用长度为 n 的二进制编码。然而，若硬币出现正面的概率 $p \neq 0.5$，我们可以利用此信息将发生概率高的结果使用较短的编码，将发生概率低的结果使用较长的编码，这样描述 n 次随机试验的结果使用的字节数可以小于 n。例如，$p = 1$ 或 $p = 0$ 的极端情况，只需要一个字节就可以描述 n 次随机试验的结果。式 (7.6) 定义的交叉熵实际上是使用基于分布 q 的编码方式将服从分布 p 的一组随机样本进行编码时使用的平均字节数。可以证明：$\mathbb{H}(p)$ 提供了此平均字节数的下界（见 Yeung (2002) 的定理 3.5）。

现给出两个概率分布的 KL 散度的定义：

定义 7.2. Kullback-Leibler 散度

令 p 和 q 为两个具有相同支撑的概率分布，p 和 q 之间的 Kullback-Leibler 散度定义为：

$$D_{\mathbb{KL}}(p \parallel q) \equiv \sum_{k=1}^{K} p_k \log \frac{p_k}{q_k}, \quad \text{（离散情形）} \tag{7.7}$$

或，

$$D_{\mathbb{KL}}(p \parallel q) \equiv \int p(x) \log \frac{p(x)}{q(x)} dx. \quad \text{（连续情形）} \tag{7.8}$$

[1] 随机变量 x 的概率密度函数 f 的支撑（support）为 $\{x \in \mathbb{R} : f(x) \neq 0\}$。

[2] 因为，毕竟在大家的印象中，成都是座“阴雨的小城”。

KL 散度也称为相对熵。 ♣

由式 (7.7)，

$$D_{\mathbb{KL}}(p \parallel q) = \underbrace{\sum_{k=1}^{K} p_k \log p_k}_{-\mathbb{H}(p)} - \underbrace{\sum_{k=1}^{K} p_k \log q_k}_{\mathbb{H}(p,q)}.$$

根据前文的分析，$D_{\mathbb{KL}}(p \parallel q)$ 是使用错误的分布 q 为服从 p 的样本进行编码时导致的额外字节数。因此，KL 散度总是非负，它实际上度量了 p 和 q 之间的相似程度，或理解为 p 和 q 之间的“距离”。

KL 散度与 MLE

假设 p 为生成随机样本 $\{x_1, \ldots, x_n\}$ 的真实概率分布，我们的目的是基于此样本寻找分布 q 使得 $D_{\mathbb{KL}}(p \parallel q)$ 最小：

$$q^\star = \arg\min_q D_{\mathbb{KL}}(p \parallel q) = \arg\min_q \sum_{k=1}^{K} p_k \log \frac{p_k}{q_k}.$$

上式中的真实分布 $p_k = p(\mathrm{x} = k)$ 可以使用经验分布近似，即，

$$p_k^{emp} = \frac{1}{n} \sum_{i=1}^{n} \mathbf{1}(x_i = k).$$

于是，我们有：

$$\begin{aligned} D_{\mathbb{KL}}(p^{emp} \parallel q) &= -\sum_{k=1}^{K} p_k^{emp} \log q_k + C = -\sum_{k=1}^{K} \left[\frac{1}{n} \sum_{i=1}^{n} \mathbf{1}(x_i = k) \right] \log q_k + C \\ &= -\frac{1}{n} \sum_{i=1}^{n} \left[\sum_{k=1}^{K} \mathbf{1}(x_i = k) \log q(\mathrm{x} = k) \right] + C \\ &= -\frac{1}{n} \sum_{i=1}^{n} \log q(x_i) + C, \end{aligned}$$

其中，$C = \sum_{k=1}^{K} p_k^{emp} \log p_k$ 与 q 的选择无关。从上式可以看出：

- 最小化 $D_{\mathbb{KL}}(p^{emp} \parallel q)$ 等价于最大化对数似然函数 $\frac{1}{n} \sum_{i=1}^{n} \log q(x_i)$；
- 即使 q 是错误设定的分布，极大似然估计也具有一定的合理性，这是因为极大似然估计最小化了 KL 散度；
- 极大似然估计过度依赖训练数据，如果 p^{emp} 不能很好地近似真实分布，极大似然估计的泛化性质将受到影响。

7.3 极大似然估计的理论性质

极大似然估计的理论性质主要包括此类估计量的一致性和渐近正态性质。由于极大似然估计量是最优化问题的最优解，往往不具有解析表达式，所以推导其渐近性质时使用的方法与建立最小二乘估计量大样本性质时使用的方法略有不同。为了讨论问题的方

便，假设 $\mathrm{x}_1, \ldots, \mathrm{x}_n$ 是 i.i.d. 的，极大似然估计的渐近性质对于遍历平稳的时间序列数据依然成立，感兴趣的读者可以参考 Hayashi (2000) 的第七章。

模型及模型的正确设定

本书第二章曾经指出模型是关于随机变量分布的一组假设。在极大似然估计的框架下，模型的假设包括 $\mathrm{x}_1, \ldots, \mathrm{x}_n$ 是 i.i.d. 的，x_i 的概率密度函数（或概率质量函数）为 $f(x \mid \boldsymbol{\theta})$，$f$ 的函数形式是已知的且与未知参数 $\boldsymbol{\theta}$ 有关，同时，$\boldsymbol{\theta} \in \boldsymbol{\Theta} \subseteq \mathbb{R}^p$。

当存在唯一的 $\boldsymbol{\theta}_0 \in \boldsymbol{\Theta}$ 使得 $f(x \mid \boldsymbol{\theta}_0) = f(x)$，其中，$f(x)$ 是真实的概率分布，则称模型是正确设定的，$\boldsymbol{\theta}_0$ 被称为参数 $\boldsymbol{\theta}$ 的真实值。如果不存在 $\boldsymbol{\theta} \in \boldsymbol{\Theta}$ 使得 $f(x \mid \boldsymbol{\theta}) = f(x)$，则称模型是误设的。

定义期望对数似然函数为：

$$\ell(\boldsymbol{\theta}) = \mathbb{E}[\log f(\mathrm{x} \mid \boldsymbol{\theta})].$$

参数真实值 $\boldsymbol{\theta}_0$ 有如下性质：

定理 7.2. 期望对数似然最大化

若模型是正确设定的，则 $\boldsymbol{\theta}_0$ 最大化期望对数似然函数，即，

$$\boldsymbol{\theta}_0 = \underset{\boldsymbol{\theta} \in \boldsymbol{\Theta}}{\operatorname{argmax}}\, \ell(\boldsymbol{\theta}).$$

♡

期望对数似然函数 $\ell(\boldsymbol{\theta})$ 的样本形式是如下的平均对数似然函数：

$$\bar{\ell}_n(\boldsymbol{\theta}) = \frac{1}{n}\ell_n(\boldsymbol{\theta}) = \frac{1}{n}\sum_{i=1}^{n} \log f\left(x_i \mid \boldsymbol{\theta}\right).$$

显然，极大似然估计量 $\hat{\boldsymbol{\theta}}$ 使平均对数似然函数最大化。定理 7.2 是证明极大似然估计量一致性的关键。这是因为 $\hat{\boldsymbol{\theta}}$ 使 $\bar{\ell}_n(\boldsymbol{\theta})$ 最大化，$\boldsymbol{\theta}_0$ 使 $\ell(\boldsymbol{\theta})$ 最大化，并且，$\bar{\ell}_n(\boldsymbol{\theta})$ “收敛” 到 $\ell(\boldsymbol{\theta})$，则应该有 $\hat{\boldsymbol{\theta}}$ 依概率收敛到 $\boldsymbol{\theta}_0$，如图 7.1 所示。

$$\begin{tikzcd}
\hat{\boldsymbol{\theta}} \arrow[r, "\max"] \arrow[d, "p"] & \bar{\ell}_n(\boldsymbol{\theta}) \arrow[d, "\text{收敛}"] \\
\boldsymbol{\theta}_0 \arrow[r, "\max"'] & \ell(\boldsymbol{\theta})
\end{tikzcd}$$

图 7.1: MLE 的一致性

得分、海塞和 Fisher 信息

为了推导极大似然估计量的渐近性质，需要进一步引入如下概念：

- 似然得分（likelihood score）：对数似然函数的导数，即，

$$\boldsymbol{S}_n(\boldsymbol{\theta}) = \frac{\partial}{\partial \boldsymbol{\theta}}\ell_n(\boldsymbol{\theta}) = \sum_{i=1}^{n} \frac{\partial}{\partial \boldsymbol{\theta}} \log f\left(x_i \mid \boldsymbol{\theta}\right).$$

若 $\hat{\boldsymbol{\theta}}$ 是内点解，则 $\boldsymbol{S}_n(\hat{\boldsymbol{\theta}}) = \mathbf{0}$。

- 似然海塞（likelihood Hessian）：对数似然函数二阶导的相反数，即，
$$\mathscr{H}_n(\boldsymbol{\theta}) = -\frac{\partial^2}{\partial\boldsymbol{\theta}\partial\boldsymbol{\theta}'}\ell_n(\boldsymbol{\theta}) = -\sum_{i=1}^{n}\frac{\partial^2}{\partial\boldsymbol{\theta}\partial\boldsymbol{\theta}'}\log f\left(x_i \mid \boldsymbol{\theta}\right).$$
- 有效得分（efficient score）：对数密度的一阶导数在真实参数 $\boldsymbol{\theta}_0$ 处取值，即，
$$\boldsymbol{S} = \frac{\partial}{\partial\boldsymbol{\theta}}\log f\left(\mathrm{x} \mid \boldsymbol{\theta}_0\right).$$
- Fisher 信息：有效得分的方差，即，
$$\mathscr{I}_{\boldsymbol{\theta}} = \mathbb{E}\left[\boldsymbol{S}\boldsymbol{S}'\right].$$
- 期望海塞：$\ell\left(\boldsymbol{\theta}\right)$ 的二阶导的相反数在真实参数 $\boldsymbol{\theta}_0$ 处取值，即，
$$\mathscr{H}_{\boldsymbol{\theta}} = -\frac{\partial^2}{\partial\boldsymbol{\theta}\partial\boldsymbol{\theta}'}\ell\left(\boldsymbol{\theta}_0\right).$$
  在适当的条件下，
$$\mathscr{H}_{\boldsymbol{\theta}} = -\mathbb{E}\left[\frac{\partial^2}{\partial\boldsymbol{\theta}\partial\boldsymbol{\theta}'}\log f\left(\mathrm{x} \mid \boldsymbol{\theta}_0\right)\right].$$

这些新引入的概念具有如下重要的性质：

定理 7.3. 有效得分的期望

假设模型是正确设定的，x 的支撑与 $\boldsymbol{\theta}$ 无关，$\boldsymbol{\theta}_0$ 是参数空间 $\boldsymbol{\Theta}$ 的内点[a]，则：有效得分 $\boldsymbol{S}$ 满足 $\mathbb{E}[\boldsymbol{S}] = \mathbf{0}$。

[a] 关于内点、开集和闭集等基本拓扑概念的介绍请参考 Rudin (1976) 的第二章。

注 假设 x 的支撑与 $\boldsymbol{\theta}$ 无关是为了保证积分（期望）和微分可以换序；假设 $\boldsymbol{\theta}_0$ 是 $\boldsymbol{\Theta}$ 的内点是为了保证期望对数似然函数 $\ell(\boldsymbol{\theta})$ 满足最优化的一阶条件。

定理 7.4. 信息矩阵等式

假设模型是正确设定的，x 的支撑与 $\boldsymbol{\theta}$ 无关，则有：Fisher 信息等于期望海塞，即，
$$\mathscr{I}_{\boldsymbol{\theta}} = \mathscr{H}_{\boldsymbol{\theta}}.$$

定理 7.5. Cramér-Rao 下界

假设模型是正确设定的，x 的支撑与 $\boldsymbol{\theta}$ 无关，$\boldsymbol{\theta}_0$ 是参数空间 $\boldsymbol{\Theta}$ 的内点。如果 $\tilde{\boldsymbol{\theta}}$ 是 $\boldsymbol{\theta}$ 的无偏估计量，则有：$\mathrm{Var}[\tilde{\boldsymbol{\theta}}] \succeq (n\mathscr{I}_{\boldsymbol{\theta}})^{-1}$。我们称 $(n\mathscr{I}_{\boldsymbol{\theta}})^{-1}$ 为 Cramér-Rao 下界。

MLE 的一致性

回忆图 7.1，MLE 具有一致性的主要原因之一是 $\bar{\ell}_n(\boldsymbol{\theta})$ “收敛” 到 $\ell(\boldsymbol{\theta})$。这里的 “收敛” 打了引号是因为 $\bar{\ell}_n(\boldsymbol{\theta})$ 和 $\ell(\boldsymbol{\theta})$ 都是 $\boldsymbol{\theta}$ 的函数，函数具有不同的收敛方式，我们需要明确指出 $\bar{\ell}_n(\boldsymbol{\theta})$ 是以何种方式收敛到 $\ell(\boldsymbol{\theta})$。为此，引入如下依概率逐点（pointwise）和一致（uniform）收敛的概念：

定义 7.3. 依概率逐点和一致收敛

称 $\bar{\ell}_n(\cdot)$ 依概率逐点收敛到 $\ell(\cdot)$ 是指：对任意的 $\boldsymbol{\theta}$，随机变量序列 $|\bar{\ell}_n(\boldsymbol{\theta}) - \ell(\boldsymbol{\theta})|$，$n = 1, 2, \ldots$，依概率收敛到 0；称 $\bar{\ell}_n(\cdot)$ 依概率一致收敛到 $\ell(\cdot)$ 是指：

$$\sup_{\boldsymbol{\theta} \in \boldsymbol{\Theta}} |\bar{\ell}_n(\boldsymbol{\theta}) - \ell(\boldsymbol{\theta})| \underset{p}{\to} 0, \quad n \to \infty.$$

令 $\{\boldsymbol{h}_n(\cdot)\}$ 是随机向量序列，$\boldsymbol{h}(\cdot)$ 为非随机向量。如果

$$\sup_{\boldsymbol{\theta} \in \boldsymbol{\Theta}} \|\boldsymbol{h}_n(\boldsymbol{\theta}) - \boldsymbol{h}(\boldsymbol{\theta})\| \underset{p}{\to} 0, \quad n \to \infty,$$

则称 $\{\boldsymbol{h}_n(\cdot)\}$ 依概率一致收敛到 $\boldsymbol{h}(\cdot)$。 ♣

直观上来说，在一致收敛的情况下，存在一个适用于所有 n 的 $\varepsilon > 0$ 使得 $\bar{\ell}_n(\cdot)$ 的曲线完全介于 $\ell(\cdot) \pm \varepsilon$，如图 7.2 中的右图所示。同时，如图 7.2 中的左图所示，逐点收敛不能保证最优解的收敛。

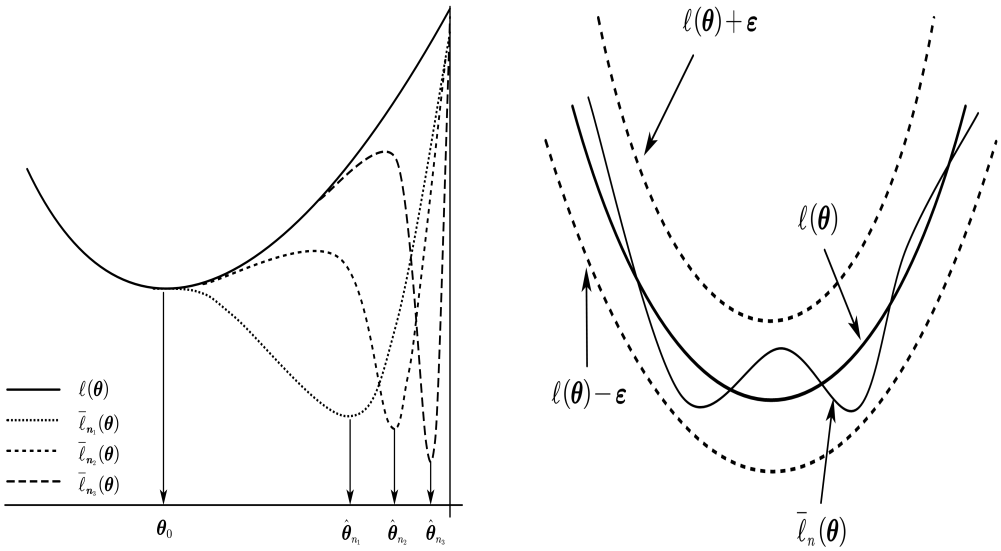

图 7.2: 非一致收敛（左）与一致收敛（右）

极大似然估计量是最大化对数似然函数的最优解，关于极大似然估计量的存在性，我们有如下结论：

定理 7.6. MLE 的存在性

假设：

- 参数空间 $\boldsymbol{\Theta}$ 是 $\mathbb{R}^p$ 的紧致（compact）子集；
- 对每一 x_i，$\log f(x_i \mid \boldsymbol{\theta})$ 是 $\boldsymbol{\theta}$ 的连续函数；
- $\forall\, \boldsymbol{\theta} \in \boldsymbol{\Theta}$，$\log f(x_i \mid \boldsymbol{\theta})$ 是关于 x_i 的可测函数，

则存在样本数据的可测函数 $\hat{\boldsymbol{\theta}}$ 使得 (7.2) 成立。 ♡

注 此定理与我们在高等数学中学习过的“闭区间上的连续函数必然有最大值和最小值”类似。闭区间是一维欧氏空间中的概念，其在多维欧式空间中的对等概念便是紧致集。“可测”直观上可以理解为可以定义概率，这里不再展开，想详细了解可测函数概念的读者可以参考 Billingsley (1995) 的第二章。忽略所有涉及“可测”的表述，不影响对本书内容

的理解。

定理 7.7. MLE 的一致性

令定理 7.6 的条件成立，进一步，假设：

(a) (可识别性) $\boldsymbol{\theta}_0 \in \boldsymbol{\Theta}$ 是 $\boldsymbol{\Theta}$ 中唯一最大化 $\ell(\boldsymbol{\theta})$ 的参数；

(b) (一致收敛) $\bar{\ell}_n(\boldsymbol{\theta})$ 依概率一致收敛到 $\ell(\boldsymbol{\theta})$，

则有：$\hat{\boldsymbol{\theta}} \underset{p}{\to} \boldsymbol{\theta}_0$。

♡

MLE 的渐近正态

下面的定理建立了极大似然估计的渐近正态性质：

定理 7.8. MLE 的渐近正态

假设 $\{\mathrm{x}_i\}$ 是 i.i.d. 的，定理 7.7 的条件成立，进一步假设：

(1) $\boldsymbol{\theta}_0$ 是 $\boldsymbol{\Theta}$ 的内点；

(2) 对任意的 x_i，$f(x_i \mid \boldsymbol{\theta})$ 关于 $\boldsymbol{\theta}$ 二阶连续可微；

(3) $\mathbb{E}\left[\frac{\partial}{\partial \boldsymbol{\theta}} \log f\left(\mathrm{x}_i \mid \boldsymbol{\theta}_0\right)\right] = \mathbf{0}$，$\mathscr{H}_{\boldsymbol{\theta}} = \mathscr{I}_{\boldsymbol{\theta}}$；

(4) 对于 $\boldsymbol{\theta}_0$ 的某一邻域 $\boldsymbol{\mathcal{N}}$，$\mathbb{E}\left[\sup_{\boldsymbol{\theta} \in \boldsymbol{\mathcal{N}}} \left\| \frac{\partial^2}{\partial \boldsymbol{\theta} \partial \boldsymbol{\theta}'} \log f\left(\mathrm{x}_i \mid \boldsymbol{\theta}\right) \right\|\right] < \infty$；

(5) $\mathscr{H}_{\boldsymbol{\theta}}$ 非奇异，

则有 $\hat{\boldsymbol{\theta}}$ 渐近服从正态分布，其渐近方差为：

$$\operatorname{Avar}(\hat{\boldsymbol{\theta}}) = \mathscr{I}_{\boldsymbol{\theta}}^{-1}.$$

♡

注 定理 7.3 和 7.4 已经证明了条件 (3) 成立，这里将它作为假设是为了不再重复列出使其成立的条件。

根据有效得分和期望海塞的定义，以及信息矩阵等式，可采用如下方式对 $\operatorname{Avar}(\hat{\boldsymbol{\theta}})$ 进行一致估计：

- 方式一：

$$-\left\{\frac{1}{n}\sum_{i=1}^{n} \frac{\partial^2}{\partial \boldsymbol{\theta} \partial \boldsymbol{\theta}'} \log f(x_i \mid \hat{\boldsymbol{\theta}})\right\}^{-1}.$$

- 方式二：

$$\left\{\frac{1}{n}\sum_{i=1}^{n} \left[\frac{\partial}{\partial \boldsymbol{\theta}} \log f(x_i \mid \hat{\boldsymbol{\theta}})\right]\left[\frac{\partial}{\partial \boldsymbol{\theta}'} \log f(x_i \mid \hat{\boldsymbol{\theta}})\right]\right\}^{-1}.$$

7.4 三大统计检验

对于一般形式的假设检验问题，Wald 检验、拉格朗日乘数（Lagrange multiplier, LM）检验和似然比（likelihood ratio, LR）检验是常用的三大统计检验。本节讨论三大检验的检验统计量的构造并说明它们是渐近等价的。

令 $\boldsymbol{\theta}_0 \in \mathbb{R}^p$，考虑如下原假设：

$$\mathbb{H}_0 : \underset{(r\times 1)}{\mathbf{c}(\boldsymbol{\theta}_0)} = \mathbf{0}.$$

假设 $\mathbf{c}(\cdot)$ 连续可微，并且，

$$\underset{(r\times p)}{\mathbf{C}(\boldsymbol{\theta})} \equiv \frac{\partial \mathbf{c}(\boldsymbol{\theta})}{\partial \boldsymbol{\theta}'}.$$

进一步假设：

$$\underset{(r\times p)}{\mathbf{C}_0} \equiv \mathbf{C}(\boldsymbol{\theta}_0) \text{ 是行满秩的。}$$

令 $\hat{\boldsymbol{\theta}}$ 是极大似然估计量，即，$\hat{\boldsymbol{\theta}}$ 满足式 (7.2)。记受限估计量为 $\tilde{\boldsymbol{\theta}}$，它是如下有约束最优化问题的解：

$$\max_{\boldsymbol{\theta} \in \boldsymbol{\Theta}} L_n(\boldsymbol{\theta}) \quad \text{s.t.} \quad \mathbf{c}(\boldsymbol{\theta}) = \mathbf{0}.$$

由式 (7.29)，

$$\sqrt{n}(\hat{\boldsymbol{\theta}} - \boldsymbol{\theta}_0) = -\left[\frac{1}{n}\sum_{i=1}^{n} \frac{\partial^2}{\partial \boldsymbol{\theta}\partial \boldsymbol{\theta}'} \log f\left(x_i \mid \bar{\boldsymbol{\theta}}\right)\right]^{-1} \sqrt{n}\, \frac{\partial \bar{\ell}_n(\boldsymbol{\theta}_0)}{\partial \boldsymbol{\theta}}.$$

假设

$$\sqrt{n}(\hat{\boldsymbol{\theta}} - \boldsymbol{\theta}_0) = \mathscr{H}_{\boldsymbol{\theta}}^{-1} \sqrt{n}\, \frac{\partial \bar{\ell}_n(\boldsymbol{\theta}_0)}{\partial \boldsymbol{\theta}} + o_p, \tag{7.9}$$

$$\sqrt{n}\, \frac{\partial \bar{\ell}_n(\boldsymbol{\theta}_0)}{\partial \boldsymbol{\theta}} \underset{d}{\to} \mathcal{N}(\mathbf{0}, \mathscr{I}_{\boldsymbol{\theta}}), \tag{7.10}$$

$$\sqrt{n}(\tilde{\boldsymbol{\theta}} - \boldsymbol{\theta}_0) \underset{d}{\to} \boldsymbol{\xi}, \quad \boldsymbol{\xi} \text{ 为一随机向量。} \tag{7.11}$$

Wald 检验

在 $\mathbb{H}_0$ 成立的情况下，$\mathbf{c}(\boldsymbol{\theta}_0) = \mathbf{0}$，Wald 检验的基本思想是比较 $\mathbf{c}(\hat{\boldsymbol{\theta}})$ 和 $\mathbf{0}$ 之间的统计距离，构造 Wald 检验统计量需要计算极大似然估计量 $\hat{\boldsymbol{\theta}}$。

由中值定理，

$$\mathbf{c}(\hat{\boldsymbol{\theta}}) = \mathbf{c}(\boldsymbol{\theta}_0) + \mathbf{C}(\bar{\boldsymbol{\theta}})(\hat{\boldsymbol{\theta}} - \boldsymbol{\theta}_0),$$

其中，$\bar{\boldsymbol{\theta}}$ 是位于 $\boldsymbol{\theta}_0$ 和 $\hat{\boldsymbol{\theta}}$ 之间的一点。在 $\mathbb{H}_0$ 成立的情况下，

$$\begin{aligned}\sqrt{n}\, \mathbf{c}(\hat{\boldsymbol{\theta}}) &= \mathbf{C}(\bar{\boldsymbol{\theta}})\sqrt{n}\,(\hat{\boldsymbol{\theta}} - \boldsymbol{\theta}_0) \\ &= \mathbf{C}_0\sqrt{n}\,(\hat{\boldsymbol{\theta}} - \boldsymbol{\theta}_0) + o_p,\end{aligned}$$

这里第二个等号成立是根据 $\mathbf{C}(\boldsymbol{\theta})$ 的连续性以及 $\sqrt{n}\,(\hat{\boldsymbol{\theta}} - \boldsymbol{\theta}_0)$ 依分布收敛。将式 (7.9) 代入得到：

$$\sqrt{n}\, \mathbf{c}(\hat{\boldsymbol{\theta}}) = \mathbf{C}_0 \mathscr{H}_{\boldsymbol{\theta}}^{-1} \sqrt{n}\, \frac{\partial \bar{\ell}_n(\boldsymbol{\theta}_0)}{\partial \boldsymbol{\theta}} + o_p.$$

根据假设 (7.10)，$\sqrt{n}\, \mathbf{c}(\hat{\boldsymbol{\theta}}) \underset{d}{\to} \mathcal{N}(\mathbf{0}, \mathbf{C}_0 \mathscr{I}_{\boldsymbol{\theta}}^{-1} \mathbf{C}_0')$。因此，根据定理 B.13，

$$n\, \mathbf{c}(\hat{\boldsymbol{\theta}})' \left[\mathbf{C}_0 \mathscr{I}_{\boldsymbol{\theta}}^{-1} \mathbf{C}_0'\right]^{-1} \mathbf{c}(\hat{\boldsymbol{\theta}}) \underset{d}{\to} \chi^2(r).$$

于是，Wald 检验统计量定义为：

$$W \equiv n\, \mathbf{c}(\hat{\boldsymbol{\theta}})' \left[\mathbf{C}(\hat{\boldsymbol{\theta}}) \hat{\mathscr{I}}_{\boldsymbol{\theta}}^{-1} \mathbf{C}(\hat{\boldsymbol{\theta}})'\right]^{-1} \mathbf{c}(\hat{\boldsymbol{\theta}}),$$

其中，$\hat{\mathscr{I}}_{\boldsymbol{\theta}}$ 是利用 $\hat{\boldsymbol{\theta}}$ 对 $\mathscr{I}_{\boldsymbol{\theta}}$ 进行估计得到的估计量。根据 (B.8)，在 $\mathbb{H}_0$ 成立的情况下，$W \underset{d}{\to} \chi^2(r)$。

LM 检验

由一阶条件，极大似然估计量 $\hat{\boldsymbol{\theta}}$ 满足 $\partial\bar{\ell}_n(\hat{\boldsymbol{\theta}})/\partial\boldsymbol{\theta} = \mathbf{0}$。若 $\mathbb{H}_0$ 成立，受限估计量 $\tilde{\boldsymbol{\theta}}$ 接近 $\hat{\boldsymbol{\theta}}$，从而，$\partial\bar{\ell}_n(\tilde{\boldsymbol{\theta}})/\partial\boldsymbol{\theta}$ 接近于 $\mathbf{0}$。LM 检验的基本思想就是比较 $\partial\bar{\ell}_n(\tilde{\boldsymbol{\theta}})/\partial\boldsymbol{\theta}$ 与 $\mathbf{0}$ 之间的统计距离，构造 LM 检验统计量需要计算受限估计量 $\tilde{\boldsymbol{\theta}}$。

接下来推导 LM 检验统计量的渐近分布，首先构造拉格朗日函数：

$$L(\boldsymbol{\theta}, \boldsymbol{\gamma}) = \bar{\ell}_n(\boldsymbol{\theta}) + \boldsymbol{\gamma}'\mathbf{c}(\boldsymbol{\theta}).$$

受限估计量 $\tilde{\boldsymbol{\theta}}$ 满足如下一阶条件：

$$\sqrt{n}\,\frac{\partial\bar{\ell}_n(\tilde{\boldsymbol{\theta}})}{\partial\boldsymbol{\theta}} + \mathbf{C}(\tilde{\boldsymbol{\theta}})'\sqrt{n}\,\boldsymbol{\gamma}_n = \mathbf{0}, \tag{7.12}$$

$$\sqrt{n}\,\mathbf{c}(\tilde{\boldsymbol{\theta}}) = \mathbf{0}. \tag{7.13}$$

由中值定理，若 $\mathbb{H}_0$ 成立，则有：

$$\sqrt{n}\,\mathbf{c}(\tilde{\boldsymbol{\theta}}) = \mathbf{C}_0\sqrt{n}\,(\tilde{\boldsymbol{\theta}} - \boldsymbol{\theta}_0) + o_p, \tag{7.14}$$

$$\sqrt{n}\,\frac{\partial\bar{\ell}_n(\tilde{\boldsymbol{\theta}})}{\partial\boldsymbol{\theta}} = \sqrt{n}\,\frac{\partial\bar{\ell}_n(\boldsymbol{\theta}_0)}{\partial\boldsymbol{\theta}} - \mathscr{H}_{\boldsymbol{\theta}}\sqrt{n}\,(\tilde{\boldsymbol{\theta}} - \boldsymbol{\theta}_0) + o_p. \tag{7.15}$$

根据 (7.10) 和 (7.11)，式 (7.15) 意味着 $\sqrt{n}\,\dfrac{\partial\bar{\ell}_n(\tilde{\boldsymbol{\theta}})}{\partial\boldsymbol{\theta}}$ 依分布收敛，因此，式 (7.12) 中的 $\sqrt{n}\,\boldsymbol{\gamma}_n$ 也依分布收敛。于是，

$$\mathbf{C}(\tilde{\boldsymbol{\theta}})'\sqrt{n}\,\boldsymbol{\gamma}_n = \mathbf{C}_0'\sqrt{n}\,\boldsymbol{\gamma}_n + o_p. \tag{7.16}$$

将 (7.14)-(7.16) 代入到 (7.12) 和 (7.13) 中，得到：

$$\begin{bmatrix} -\mathscr{H}_{\boldsymbol{\theta}} & \mathbf{C}_0' \\ \mathbf{C}_0 & \mathbf{0} \end{bmatrix} \begin{bmatrix} \sqrt{n}\,(\tilde{\boldsymbol{\theta}} - \boldsymbol{\theta}_0) \\ \sqrt{n}\,\boldsymbol{\gamma}_n \end{bmatrix} = \begin{bmatrix} -\sqrt{n}\,\dfrac{\partial\bar{\ell}_n(\boldsymbol{\theta}_0)}{\partial\boldsymbol{\theta}} \\ \mathbf{0} \end{bmatrix} + o_p. \tag{7.17}$$

根据定理 A.6，从上式可以解出：

$$\sqrt{n}\,\boldsymbol{\gamma}_n = -(\mathbf{C}_0\mathscr{H}_{\boldsymbol{\theta}}^{-1}\mathbf{C}_0')^{-1}\mathbf{C}_0\mathscr{H}_{\boldsymbol{\theta}}^{-1}\sqrt{n}\,\frac{\partial\bar{\ell}_n(\boldsymbol{\theta}_0)}{\partial\boldsymbol{\theta}} + o_p.$$

因此，根据 (7.10)，$\sqrt{n}\,\boldsymbol{\gamma}_n$ 依分布收敛到正态分布，期望为 $\mathbf{0}$，渐近协方差矩阵为：

$$\begin{aligned} \mathrm{Avar}(\boldsymbol{\gamma}_n) &= (\mathbf{C}_0\mathscr{H}_{\boldsymbol{\theta}}^{-1}\mathbf{C}_0')^{-1}\mathbf{C}_0\mathscr{H}_{\boldsymbol{\theta}}^{-1}\mathscr{I}_{\boldsymbol{\theta}}\mathscr{H}_{\boldsymbol{\theta}}^{-1}\mathbf{C}_0'(\mathbf{C}_0\mathscr{H}_{\boldsymbol{\theta}}^{-1}\mathbf{C}_0')^{-1} \\ &= (\mathbf{C}_0\mathscr{I}_{\boldsymbol{\theta}}^{-1}\mathbf{C}_0')^{-1}. \end{aligned}$$

因为 $\mathrm{Avar}(\boldsymbol{\gamma}_n)$ 正定，根据定理 B.13，在 $\mathbb{H}_0$ 成立的情况下，

$$n\,\boldsymbol{\gamma}_n'(\mathbf{C}_0\mathscr{I}_{\boldsymbol{\theta}}^{-1}\mathbf{C}_0')\boldsymbol{\gamma}_n \underset{d}{\to} \chi^2(r).$$

令 $\tilde{\mathscr{I}}_{\boldsymbol{\theta}}$ 是利用 $\tilde{\boldsymbol{\theta}}$ 对 $\mathscr{I}_{\boldsymbol{\theta}}$ 进行估计得到的估计量，定义：

$$\begin{aligned} LM &\equiv n\,\boldsymbol{\gamma}_n'\left[\mathbf{C}(\tilde{\boldsymbol{\theta}})\tilde{\mathscr{I}}_{\boldsymbol{\theta}}^{-1}\mathbf{C}(\tilde{\boldsymbol{\theta}})'\right]\boldsymbol{\gamma}_n = n\left(\mathbf{C}(\tilde{\boldsymbol{\theta}})'\boldsymbol{\gamma}_n\right)'\tilde{\mathscr{I}}_{\boldsymbol{\theta}}^{-1}\left(\mathbf{C}(\tilde{\boldsymbol{\theta}})'\boldsymbol{\gamma}_n\right) \\ &= n\left(\frac{\partial\bar{\ell}_n(\tilde{\boldsymbol{\theta}})}{\partial\boldsymbol{\theta}}\right)'\tilde{\mathscr{I}}_{\boldsymbol{\theta}}^{-1}\left(\frac{\partial\bar{\ell}_n(\tilde{\boldsymbol{\theta}})}{\partial\boldsymbol{\theta}}\right). \end{aligned}$$

根据 (B.8)，在 $\mathbb{H}_0$ 成立的情况下，$LM \underset{d}{\to} \chi^2(r)$，LM 检验统计量也称为得分检验统计量。

LR 检验

注意到，若 $\mathbb{H}_0$ 成立，$\bar{\ell}_n(\tilde{\boldsymbol{\theta}})$ 和 $\bar{\ell}_n(\hat{\boldsymbol{\theta}})$ 应该近似相等。LR 检验的基本思想是判断 $\bar{\ell}_n(\hat{\boldsymbol{\theta}})$ 与 $\bar{\ell}_n(\tilde{\boldsymbol{\theta}})$ 的差是否足够接近于 0，构造 LR 检验统计量需要同时计算 $\hat{\boldsymbol{\theta}}$ 和 $\tilde{\boldsymbol{\theta}}$。LR 检验统计量定义为：

$$LR \equiv 2n \cdot [\bar{\ell}_n(\hat{\boldsymbol{\theta}}) - \bar{\ell}_n(\tilde{\boldsymbol{\theta}})].$$

根据具有拉格朗日余项的泰勒展开，

$$\bar{\ell}_n(\tilde{\boldsymbol{\theta}}) = \bar{\ell}_n(\hat{\boldsymbol{\theta}}) + \underbrace{\frac{\partial \bar{\ell}_n(\hat{\boldsymbol{\theta}})}{\partial \boldsymbol{\theta}'}}_{=\mathbf{0}}(\tilde{\boldsymbol{\theta}} - \hat{\boldsymbol{\theta}}) + \frac{1}{2}(\tilde{\boldsymbol{\theta}} - \hat{\boldsymbol{\theta}})' \frac{\partial^2 \bar{\ell}_n(\bar{\boldsymbol{\theta}})}{\partial \boldsymbol{\theta} \partial \boldsymbol{\theta}'}(\tilde{\boldsymbol{\theta}} - \hat{\boldsymbol{\theta}}),$$

其中，$\bar{\boldsymbol{\theta}}$ 是位于 $\tilde{\boldsymbol{\theta}}$ 和 $\hat{\boldsymbol{\theta}}$ 之间的一点。于是，

$$2n \cdot [\bar{\ell}_n(\hat{\boldsymbol{\theta}}) - \bar{\ell}_n(\tilde{\boldsymbol{\theta}})] = n\,(\hat{\boldsymbol{\theta}} - \tilde{\boldsymbol{\theta}})' \mathscr{H}_{\boldsymbol{\theta}} (\hat{\boldsymbol{\theta}} - \tilde{\boldsymbol{\theta}}) + o_p. \tag{7.18}$$

由 (7.17) 可以解出：

$$\sqrt{n}\,(\tilde{\boldsymbol{\theta}} - \boldsymbol{\theta}_0) = \left[\mathscr{H}_{\boldsymbol{\theta}}^{-1} - \mathscr{H}_{\boldsymbol{\theta}}^{-1}\mathbf{C}_0'(\mathbf{C}_0\mathscr{H}_{\boldsymbol{\theta}}^{-1}\mathbf{C}_0')^{-1}\mathbf{C}_0\mathscr{H}_{\boldsymbol{\theta}}^{-1}\right]\sqrt{n}\,\frac{\partial \bar{\ell}_n(\boldsymbol{\theta}_0)}{\partial \boldsymbol{\theta}} + o_p.$$

从式 (7.9) 中减去上式得到：

$$\sqrt{n}\,(\hat{\boldsymbol{\theta}} - \tilde{\boldsymbol{\theta}}) = \mathscr{H}_{\boldsymbol{\theta}}^{-1}\mathbf{C}_0'(\mathbf{C}_0\mathscr{H}_{\boldsymbol{\theta}}^{-1}\mathbf{C}_0')^{-1}\mathbf{C}_0\mathscr{H}_{\boldsymbol{\theta}}^{-1}\sqrt{n}\,\frac{\partial \bar{\ell}_n(\boldsymbol{\theta}_0)}{\partial \boldsymbol{\theta}} + o_p. \tag{7.19}$$

将 (7.19) 代入 (7.18)，LR 检验统计量可以写成：

$$\begin{aligned} LR &= \left(\sqrt{n}\,\frac{\partial \bar{\ell}_n(\boldsymbol{\theta}_0)}{\partial \boldsymbol{\theta}}\right)' \mathscr{H}_{\boldsymbol{\theta}}^{-1}\mathbf{C}_0'(\mathbf{C}_0\mathscr{H}_{\boldsymbol{\theta}}^{-1}\mathbf{C}_0')^{-1}\mathbf{C}_0\mathscr{H}_{\boldsymbol{\theta}}^{-1}\left(\sqrt{n}\,\frac{\partial \bar{\ell}_n(\boldsymbol{\theta}_0)}{\partial \boldsymbol{\theta}}\right) + o_p \\ &= \left(\sqrt{n}\,\frac{\partial \bar{\ell}_n(\boldsymbol{\theta}_0)}{\partial \boldsymbol{\theta}}\right)' \mathscr{I}_{\boldsymbol{\theta}}^{-1}\mathbf{C}_0'(\mathbf{C}_0\mathscr{I}_{\boldsymbol{\theta}}^{-1}\mathbf{C}_0')^{-1}\mathbf{C}_0\mathscr{I}_{\boldsymbol{\theta}}^{-1}\left(\sqrt{n}\,\frac{\partial \bar{\ell}_n(\boldsymbol{\theta}_0)}{\partial \boldsymbol{\theta}}\right) + o_p. \end{aligned}$$

因此，在 $\mathbb{H}_0$ 成立的情况下，$LR \underset{d}{\to} \chi^2(r)$，这是因为：

$$\underbrace{\mathbf{C}_0\mathscr{I}_{\boldsymbol{\theta}}^{-1}\left(\sqrt{n}\,\frac{\partial \bar{\ell}_n(\boldsymbol{\theta}_0)}{\partial \boldsymbol{\theta}}\right)}_{(r\times 1)} \underset{d}{\to} \mathcal{N}(\mathbf{0}, \mathbf{C}_0\mathscr{I}_{\boldsymbol{\theta}}^{-1}\mathscr{I}_{\boldsymbol{\theta}}\mathscr{I}_{\boldsymbol{\theta}}^{-1}\mathbf{C}_0').$$

至此，我们说明了 Wald、LM 和 LR 检验具有相同的渐近分布。理解三大检验的关键是理解其构造的思想，这里总结如下：如图 7.3 所示，构造 Wald 检验统计量基于曲线 $\boldsymbol{c}(\boldsymbol{\theta})$ 在 $\hat{\boldsymbol{\theta}}$ 处取值到横轴的高度；构造 LM 检验统计量基于曲线 $\partial \bar{\ell}_n(\boldsymbol{\theta})/\partial \boldsymbol{\theta}$ 在 $\tilde{\boldsymbol{\theta}}$ 处取值到横轴的高度；构造 LR 检验统计量基于 $\bar{\ell}_n(\hat{\boldsymbol{\theta}})$ 和 $\bar{\ell}_n(\tilde{\boldsymbol{\theta}})$ 之间的距离。

7.5 实例 1：线性回归及模型选择

本书第 2 章介绍了古典线性回归模型的最小二乘估计。在古典线性回归模型的框架下，我们也可以使用极大似然估计得到模型系数和误差项方差的估计量。对线性回归模型使用极大似然估计时，通常是对基于被解释变量的条件分布构造的似然函数进行最优化，称为条件极大似然估计。我们将要看到，在古典假设条件下，模型系数的最小二乘

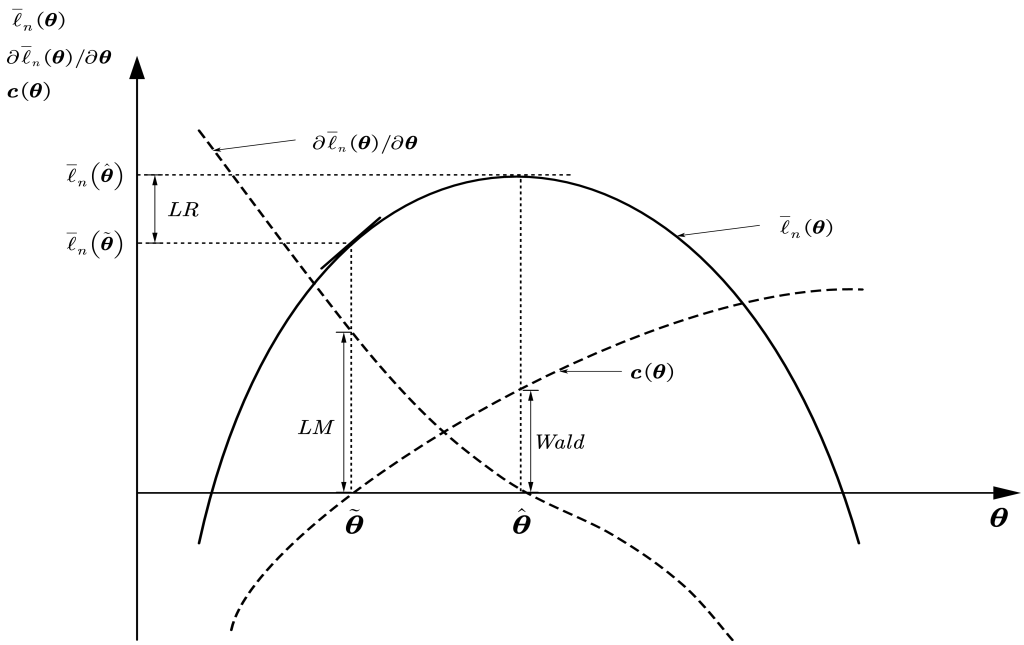

图 7.3: 三大统计检验

估计量和条件极大似然估计量是彼此等价的。

条件极大似然估计

在实际使用极大似然估计时，第 i 个样本的观测值往往被分为两部分：y_i 和 $\boldsymbol{x}_i$。令 $f(y_i \mid \boldsymbol{x}_i; \boldsymbol{\theta}_0)$ 是给定 $\boldsymbol{x}_i$ 时 y_i 的条件密度函数，$f(\boldsymbol{x}_i \mid \boldsymbol{\psi}_0)$ 是 $\boldsymbol{x}_i$ 的边缘密度，则有：

$$f(y_i, \boldsymbol{x}_i \mid \boldsymbol{\theta}_0, \boldsymbol{\psi}_0) = f(y_i \mid \boldsymbol{x}_i; \boldsymbol{\theta}_0) \cdot f(\boldsymbol{x}_i \mid \boldsymbol{\psi}_0).$$

此时，对数似然函数可以写成：

$$\sum_{i=1}^{n} \log f(y_i, \boldsymbol{x}_i \mid \boldsymbol{\theta}, \boldsymbol{\psi}) = \sum_{i=1}^{n} \log f(y_i \mid \boldsymbol{x}_i; \boldsymbol{\theta}) + \sum_{i=1}^{n} \log f(\boldsymbol{x}_i \mid \boldsymbol{\psi}).$$

等号右侧第一项称为条件对数似然函数，最大化此函数的最优解称为 $\boldsymbol{\theta}_0$ 的条件极大似然估计量。如果等号右边的第二项与 $\boldsymbol{\theta}$ 无关，则条件极大似然估计量和极大似然估计量数值上是相同的。

多元线性回归的 MLE 估计

在古典假设下，线性回归模型满足：

$$\mathbf{y} = \mathbf{X}\boldsymbol{\beta}_0 + \boldsymbol{\varepsilon}, \quad \mathbf{y} \mid \mathbf{X} \sim \mathcal{N}(\mathbf{X}\boldsymbol{\beta}_0, \sigma_0^2 \mathbf{I}_n).$$

根据 (B.11)，以 $\mathbf{X}$ 为条件，$\mathbf{y}$ 的条件密度函数可以表示为：

$$f(\mathbf{y} \mid \mathbf{X}; \boldsymbol{\beta}_0, \sigma_0^2) = (2\pi\sigma_0^2)^{-n/2} \exp\left[-\frac{1}{2\sigma_0^2}(\mathbf{y} - \mathbf{X}\boldsymbol{\beta}_0)'(\mathbf{y} - \mathbf{X}\boldsymbol{\beta}_0)\right].$$

对上式取对数得到对数似然函数：

$$\ell_n(\boldsymbol{\beta}, \sigma^2) = -\frac{n}{2}\log(2\pi) - \frac{n}{2}\log(\sigma^2) - \frac{1}{2\sigma^2}(\mathbf{y} - \mathbf{X}\boldsymbol{\beta})'(\mathbf{y} - \mathbf{X}\boldsymbol{\beta}). \tag{7.20}$$

上述对数似然函数可以分两步进行最优化：

1. 视 σ^2 为固定值，将 $\ell_n(\boldsymbol{\beta},\sigma^2)$ 对 $\boldsymbol{\beta}$ 进行最优化得到最优解 $\hat{\boldsymbol{\beta}}(\sigma^2)$，注意最优解 $\hat{\boldsymbol{\beta}}(\sigma^2)$ 可能是 σ^2 的函数；
2. 将 $\hat{\boldsymbol{\beta}}(\sigma^2)$ 代入 $\ell_n(\boldsymbol{\beta},\sigma^2)$ 得到关于 σ^2 的目标函数，最大化此目标函数得到最优解 $\hat{\sigma}^2$。

最终得到的条件极大似然估计量为 $\hat{\boldsymbol{\theta}} = \left(\hat{\boldsymbol{\beta}},\hat{\sigma}^2\right) \equiv \left(\hat{\boldsymbol{\beta}}(\hat{\sigma}^2),\hat{\sigma}^2\right)$。

将 $\hat{\boldsymbol{\beta}}(\sigma^2)$ 代入 $\ell_n(\boldsymbol{\beta},\sigma^2)$ 得到的对数似然函数称为集中对数似然函数（concentrated log likelihood function）。因为，在固定 σ^2 的情况下，最大化 $\ell_n(\boldsymbol{\beta},\sigma^2)$ 等价于最小化残差平方和，所以，$\boldsymbol{\beta}$ 的条件极大似然估计量与最小二乘估计量相同，并且集中对数似然函数为：

$$-\frac{n}{2}\log(2\pi) - \frac{n}{2}\log(\sigma^2) - \frac{1}{2\sigma^2}\boldsymbol{e}'\boldsymbol{e},$$

其中，$\boldsymbol{e}$ 是利用最小二乘估计量计算的残差向量。对上式进行最优化得到的最优解为 $\hat{\sigma}^2 = \boldsymbol{e}'\boldsymbol{e}/n$。

将上述结论总结为如下定理：

定理 7.9. 多元线性回归的条件极大似然估计

令假设 2.1-2.5 成立，系数 $\boldsymbol{\beta}_0$ 的条件极大似然估计量为 $\hat{\boldsymbol{\beta}}_{ols}$，方差 σ_0^2 的条件极大似然估计量为 $\boldsymbol{e}'\boldsymbol{e}/n$。 ♡

在古典假设成立的条件下，$\hat{\boldsymbol{\beta}}_{ols}$ 是无偏估计量，定理 7.5 和 (7.30) 给出了无偏估计量的方差下界（见习题 4）。我们接下来分析最小二乘估计量的条件方差是否等于以 $\mathbf{X}$ 为条件的 Cramér-Rao 下界。为此，首先计算习题 2 中定义的 $\mathbf{I}(\boldsymbol{\theta}_0)$，注意这里的计算是以 $\mathbf{X}$ 为条件：

$$\mathbf{I}(\boldsymbol{\theta}_0) = -\mathbb{E}\left[\frac{\partial^2 \ell_n(\boldsymbol{\theta}_0)}{\partial\boldsymbol{\theta}\partial\boldsymbol{\theta}'}\,\middle|\,\mathbf{X}\right].$$

其中，$\boldsymbol{\theta}_0 = (\boldsymbol{\beta}_0,\sigma_0^2)$，$\ell_n(\boldsymbol{\theta})$ 采用 (7.20) 中的形式。容易验证：在假设 2.1-2.5 成立的条件下，

$$\mathbf{I}(\boldsymbol{\theta}_0) = \begin{pmatrix} \frac{1}{\sigma_0^2}\mathbf{X}'\mathbf{X} & \mathbf{0} \\ \mathbf{0}' & \frac{n}{2\sigma_0^4} \end{pmatrix}.$$

因此，以 $\mathbf{X}$ 为条件，

$$\text{Cramér-Rao 下界} = \mathbf{I}(\boldsymbol{\theta}_0)^{-1} = \begin{pmatrix} \sigma_0^2(\mathbf{X}'\mathbf{X})^{-1} & \mathbf{0} \\ \mathbf{0}' & \frac{2\sigma_0^4}{n} \end{pmatrix}. \tag{7.21}$$

将上述结论总结为如下定理：

定理 7.10. OLS 的最优无偏性

令假设 2.1-2.5 成立，$\hat{\boldsymbol{\beta}}_{ols}$ 是最优无偏估计量（best unbiased estimator, BUE），即，对任意的无偏估计量 $\hat{\boldsymbol{\beta}}$，$\mathrm{Var}(\hat{\boldsymbol{\beta}}\mid\mathbf{X}) - \mathrm{Var}(\hat{\boldsymbol{\beta}}_{ols}\mid\mathbf{X}) \succeq \mathbf{0}$。 ♡

在定理 2.4 中，我们证明了 $s^2 = \boldsymbol{e}'\boldsymbol{e}/(n-K)$ 是 σ_0^2 的无偏估计量，因此，σ_0^2 的极大

似然估计量 $\boldsymbol{e}'\boldsymbol{e}/n$ 便是有偏的，Cramér-Rao 下界不适用于有偏的估计量。

模型选择准则：AIC 和 BIC

在第 **??** 章中，我们已经讨论了因果推断时的变量选择原则，本小节继续介绍经典的模型选择标准 AIC 和 BIC。令 $\mathbf{x}$ 为包含所有备选解释变量的向量，以 $\mathbf{x}$ 为条件，被解释变量的真实条件概率密度为 $f(\mathrm{y} \mid \mathbf{x}; \boldsymbol{\theta}_0)$。再令参数为 $\boldsymbol{\theta}$ 时被解释变量的条件概率密度为 $f(\mathrm{y} \mid \mathbf{x}; \boldsymbol{\theta})$，一个自然的模型选择标准是选择 $\boldsymbol{\theta}$ 使得两个分布之间的 KL 散度最小，即，

$$\mathcal{K} = \min_{\boldsymbol{\theta} \in \boldsymbol{\Theta}} \mathbb{E}\left[\log\left(\frac{f(\mathrm{y} \mid \mathbf{x}; \boldsymbol{\theta}_0)}{f(\mathrm{y} \mid \mathbf{x}; \boldsymbol{\theta})}\right)\right].$$

由于期望未知，考虑如下样本均值版本：

$$\tilde{\mathcal{K}} = \min_{\boldsymbol{\theta} \in \boldsymbol{\Theta}} \left[\frac{1}{n}\sum_{i=1}^{n} \log f(y_i \mid \boldsymbol{x}_i; \boldsymbol{\theta}_0) - \frac{1}{n}\sum_{i=1}^{n} \log f(y_i \mid \boldsymbol{x}_i; \boldsymbol{\theta})\right].$$

注意到上式中括号中第一项对所有模型都相同，求出 $\tilde{\mathcal{K}}$ 的过程简化为最大化：

$$\frac{1}{n}\sum_{i=1}^{n} \log f(y_i \mid \boldsymbol{x}_i; \boldsymbol{\theta}).$$

然而，由式 (7.20)，将最大化似然函数作为模型选择标准会遇到与拟合优度 R^2 类似的问题：随着解释变量维度的增加，对数似然函数只增不减。

定义

$$\hat{\mathcal{K}} = \mathbb{E}\left[\log\left(\frac{f(\mathrm{y} \mid \mathbf{x}; \boldsymbol{\theta}_0)}{f(\mathrm{y} \mid \mathbf{x}; \hat{\boldsymbol{\theta}})}\right)\right].$$

赤池信息准则（Akaike information criterion, AIC）的基本思想是在最小化 KL 散度的同时对维度较高的模型施加惩罚，其思路是寻找 $\tilde{\mathcal{K}}^*$ 使得 $\mathbb{E}(\tilde{\mathcal{K}}^* - \hat{\mathcal{K}})$ 收敛到 0，并且 $\tilde{\mathcal{K}}^*$ 将 $\boldsymbol{\theta}$ 的维度作为惩罚。根据 $\tilde{\mathcal{K}}$ 的定义，

$$n\tilde{\mathcal{K}} = \sum_{i=1}^{n} \log f(y_i \mid \boldsymbol{x}_i; \boldsymbol{\theta}_0) - \sum_{i=1}^{n} \log f(y_i \mid \boldsymbol{x}_i; \hat{\boldsymbol{\theta}}).$$

将上式等号右边第一项围绕着 $\hat{\boldsymbol{\theta}}$ 进行泰勒展开得到：

$$n\tilde{\mathcal{K}} = \sum_{i=1}^{n} \frac{\partial \log f(y_i \mid \boldsymbol{x}_i; \hat{\boldsymbol{\theta}})}{\partial \boldsymbol{\theta}'}(\boldsymbol{\theta}_0 - \hat{\boldsymbol{\theta}}) + \frac{1}{2}\sum_{i=1}^{n}(\boldsymbol{\theta}_0 - \hat{\boldsymbol{\theta}})' \frac{\partial^2 \log f(y_i \mid \boldsymbol{x}_i; \hat{\boldsymbol{\theta}})}{\partial \boldsymbol{\theta} \partial \boldsymbol{\theta}'}(\boldsymbol{\theta}_0 - \hat{\boldsymbol{\theta}}) + o_p(1).$$

由最优化的一阶条件，等号右边第一项为 0，上式渐近等价于：

$$-\frac{n}{2}(\hat{\boldsymbol{\theta}} - \boldsymbol{\theta}_0)' \mathscr{I}_{\boldsymbol{\theta}} (\hat{\boldsymbol{\theta}} - \boldsymbol{\theta}_0).$$

根据定理 7.8 和定理 B.13，$-2n\tilde{\mathcal{K}} \xrightarrow{d} \chi_p^2$。又因为自由度为 p 的卡方分布期望为 p，因此，$n\tilde{\mathcal{K}}$ 的渐近期望为 $-p/2$。

类似地，将 $n\hat{\mathcal{K}}$ 围绕着 $\boldsymbol{\theta}_0$ 进行泰勒展开得到：

$$\begin{aligned} n\hat{\mathcal{K}} &= -n\mathbb{E}\left(\frac{\partial \log f(\mathrm{y} \mid \mathbf{x}; \boldsymbol{\theta}_0)}{\partial \boldsymbol{\theta}'}\right)(\hat{\boldsymbol{\theta}} - \boldsymbol{\theta}_0) - \frac{n}{2}(\hat{\boldsymbol{\theta}} - \boldsymbol{\theta}_0)' \mathbb{E}\left(\frac{\partial^2 \log f(\mathrm{y} \mid \mathbf{x}; \boldsymbol{\theta}_0)}{\partial \boldsymbol{\theta} \partial \boldsymbol{\theta}'}\right)(\hat{\boldsymbol{\theta}} - \boldsymbol{\theta}_0) \\ &\quad + o_p(1) \\ &= \frac{n}{2}(\hat{\boldsymbol{\theta}} - \boldsymbol{\theta}_0)' \mathscr{I}_{\boldsymbol{\theta}} (\hat{\boldsymbol{\theta}} - \boldsymbol{\theta}_0) + o_p(1). \end{aligned}$$

由上式容易看出 $n\hat{\mathcal{K}}$ 的渐近期望为 $p/2$。

因此，为了寻找 $\tilde{\mathcal{K}}^*$ 使得 $\mathbb{E}(n\tilde{\mathcal{K}}^* - n\hat{\mathcal{K}})$ 渐近为 0，可以考虑：

$$\tilde{\mathcal{K}}^* = \tilde{\mathcal{K}} + \frac{p}{n}.$$

基于上式，将 AIC 定义为：

$$\mathrm{AIC} \equiv -2\sum_{i=1}^{n} \ln f(y_i \mid \boldsymbol{x}_i; \hat{\boldsymbol{\theta}}) + 2p = -2\ell_n(\hat{\boldsymbol{\theta}}) + 2p.$$

在模型选择时，我们选择具有最小 AIC 的模型。因此，$2p$ 可以看作是对模型复杂度的惩罚。

除了 AIC 之外，另一个常用的模型选择标准是贝叶斯信息准则（Bayesian information criterion, BIC），也称为 Schwarz 准则，定义为：

$$\mathrm{BIC} = -2\ell_n(\hat{\boldsymbol{\theta}}) + p\log n.$$

通常 $\log n$ 大于 2，因此，BIC 对模型的复杂度施加了更严厉的惩罚，与 AIC 相比，BIC 总是倾向于选择维度较低的模型。

考虑是否在线性回归模型中加入额外解释变量 $\mathbf{X}_2$ 的问题：

$$\mathbf{y} = \mathbf{X}_1\boldsymbol{\beta}_1 + \mathbf{X}_2\boldsymbol{\beta}_2 + \boldsymbol{\varepsilon},$$

其中，$\mathbf{X}_1$ 和 $\mathbf{X}_2$ 分别是 $n \times p_1$ 维和 $n \times p_2$ 维数据矩阵。此问题等价于比较如下两个模型：

$$\begin{aligned} \mathcal{M}_1: \quad & \mathbf{y} = \mathbf{X}_1\boldsymbol{\beta}_1 + \boldsymbol{\varepsilon}, && \mathbb{E}(\boldsymbol{\varepsilon} \mid \mathbf{X}_1) = \mathbf{0}, \\ \mathcal{M}_2 \quad & \mathbf{y} = \mathbf{X}_1\boldsymbol{\beta}_1 + \mathbf{X}_2\boldsymbol{\beta}_2 + \boldsymbol{\varepsilon}, && \mathbb{E}(\boldsymbol{\varepsilon} \mid \mathbf{X}_1, \mathbf{X}_2) = \mathbf{0}. \end{aligned}$$

如果基于某模型选择标准，我们有：随着 $n \to \infty$，选择的模型 $\widehat{\mathcal{M}}$ 满足

$$\mathbb{P}\left(\widehat{\mathcal{M}} = \mathcal{M}_1 \mid \mathcal{M}_1\right) \to 1, \quad \mathbb{P}\left(\widehat{\mathcal{M}} = \mathcal{M}_2 \mid \mathcal{M}_2\right) \to 1,$$

则称此模型选择标准是一致的。

接下来，我们通过例子说明 AIC 不是一致的模型选择标准，而 BIC 是一致的。注意到，在正态假设条件下，线性回归的对数似然函数在极大似然估计量处的取值为：

$$\ell_n(\hat{\boldsymbol{\theta}}) = -\frac{n}{2}\log(2\pi) - \frac{n}{2}\log(\hat{\sigma}^2) - \frac{1}{2\hat{\sigma}^2}\boldsymbol{e}'\boldsymbol{e}.$$

利用 $\hat{\sigma}^2 = \boldsymbol{e}'\boldsymbol{e}/n$，AIC 可以等价地简化为 $n\log(\hat{\sigma}^2) + 2p$，或者，简化为 $\log(\hat{\sigma}^2) + 2\dfrac{p}{n}$。同理，BIC 可以表示为 $\log(\hat{\sigma}^2) + \log(n)\dfrac{p}{n}$。根据 LR 检验统计量的渐近性质，我们有：

$$LR = 2n \cdot \left[\bar{\ell}_n(\hat{\boldsymbol{\theta}}) - \bar{\ell}_n(\tilde{\boldsymbol{\theta}})\right] = n\left(\log\hat{\sigma}_1^2 - \log\hat{\sigma}_2^2\right) \underset{d}{\to} \chi^2_{p_2},$$

其中，$\tilde{\boldsymbol{\theta}}$ 是有约束的模型 $\mathcal{M}_1$ 的极大似然估计量，$\hat{\sigma}_i^2$ 是模型 $\mathcal{M}_i$ 的误差项方差的极大似然估计量，$i = 1, 2$。于是，若基于 AIC 进行模型选择，

$$\begin{aligned} \mathbb{P}\left(\widehat{\mathcal{M}} = \mathcal{M}_1 \mid \mathcal{M}_1\right) &= \mathbb{P}\left(\mathrm{AIC}_1 < \mathrm{AIC}_2 \mid \mathcal{M}_1\right) \\ &= \mathbb{P}\left(\log(\hat{\sigma}_1^2) + 2\frac{p_1}{n} < \log(\hat{\sigma}_2^2) + 2\frac{p_1 + p_2}{n} \mid \mathcal{M}_1\right) \\ &= \mathbb{P}\left(LR < 2p_2 \mid \mathcal{M}_1\right) \to \mathbb{P}\left(\chi^2_{p_2} < 2p_2\right) < 1. \end{aligned}$$

这表明：当 $\mathcal{M}_1$ 为真实模型时，基于 AIC 选择真实模型的概率不收敛到 1，即，AIC 是

不一致的。然而，若基于 BIC 进行模型选择，

$$\begin{aligned}\Pr\left(\widehat{\mathcal{M}}=\mathcal{M}_1 \mid \mathcal{M}_1\right) &= \Pr\left(\mathrm{BIC}_1<\mathrm{BIC}_2 \mid \mathcal{M}_1\right)=\Pr\left(LR<\log(n)p_2 \mid \mathcal{M}_1\right)\\ &= \Pr\left(\frac{LR}{\log(n)}<p_2 \mid \mathcal{M}_1\right) \to \Pr\left(0<p_2\right)=1.\end{aligned}$$

这表明 BIC 是一致的模型选择标准。

注 在 Stata 中，我们可以在回归后使用命令“estat ic”得到回归模型的 AIC 和 BIC。

7.6 实例 2：二项选择模型

考虑如下线性模型：

$$Default_i=\beta_0+\beta_1 Income_i+\beta_2 Balance_i+\varepsilon_i,$$

其中，

$$Default_i=\begin{cases}1, & \text{如果个体 } i \text{ 违约;}\\ 0, & \text{如果个体 } i \text{ 不违约,}\end{cases}$$

$Income_i$ 表示个体 i 的收入，$Balance_i$ 表示个体 i 的信用卡欠款。上述模型称为线性概率模型，这是因为，若假设：

$$\mathbb{E}(\varepsilon_i \mid Income_i, Balance_i)=0,$$

则有：

$$\mathbb{E}(Default_i \mid Income_i, Balance_i)=\beta_0+\beta_1 Income_i+\beta_2 Balance_i$$

又因为 $Default_i$ 是二值变量，则有：

$$\mathbb{E}(Default_i \mid Income_i, Balance_i)=\mathbb{P}(Default_i=1 \mid Income_i, Balance_i).$$

然而，$\beta_0+\beta_1 Income_i+\beta_2 Balance_i$ 并非一定介于 0 和 1 之间，我们需要使用连接函数（link function）$F(\cdot)$ 将 $\beta_0+\beta_1 Income_i+\beta_2 Balance_i$ “压缩”到 $[0,1]$ 范围内。

一般地，假设以 $\mathbf{x}_i$ 为条件，二值被解释变量 y_i 取 1 的条件概率为：

$$p_i \equiv \mathbb{P}\left[y_i=1 \mid \mathbf{x}_i\right]=F(\mathbf{x}_i'\boldsymbol{\beta}).$$

常用的连接函数如表 7.1 中所示，$\Lambda(\cdot)$ 称为 Logistic 函数，$\Phi(\cdot)$ 为标准正态的 cdf，$\phi(\cdot)$ 为标准正态的 pdf。采用 Logistic 函数作为连接函数的模型称为 Logit 模型，采用 $\Phi(\cdot)$ 作为连接函数的模型称为 Probit 模型。

接下来，我们以 Logit 模型为例讨论模型参数 $\boldsymbol{\beta}$ 的估计问题。考虑样本 $(y_i, \mathbf{x}_i)$，$i=1,\ldots,n$，假设不同个体之间彼此独立。因为 y_i 是二值变量，它的条件概率质量函数可以写成：

$$f(y_i \mid \mathbf{x}_i)=p_i^{y_i}(1-p_i)^{1-y_i}, \quad y_i=0,1,$$

其中，$p_i=\Lambda(\mathbf{x}_i'\boldsymbol{\beta})$，对上式两边取对数得到：

$$\log f(y_i \mid \mathbf{x}_i)=y_i \log p_i+(1-y_i)\log\left(1-p_i\right).$$

表 7.1: 常用二值选择模型

模型	概率 ($p = \mathbb{P}[y = 1 \mid \mathbf{x}]$)	边际效应 ($\partial p / \partial x_j$)
Logit	$\Lambda(\mathbf{x}'\boldsymbol{\beta}) = \dfrac{e^{\mathbf{x}'\boldsymbol{\beta}}}{1 + e^{\mathbf{x}'\boldsymbol{\beta}}}$	$\Lambda(\mathbf{x}'\boldsymbol{\beta})\left[1 - \Lambda(\mathbf{x}'\boldsymbol{\beta})\right]\beta_j$
Probit	$\Phi(\mathbf{x}'\boldsymbol{\beta}) = \int_{-\infty}^{\mathbf{x}'\boldsymbol{\beta}} \phi(z)dz$	$\phi(\mathbf{x}'\boldsymbol{\beta})\beta_j$

于是，对数似然函数可以写成：

$$\ell_n(\boldsymbol{\beta}) = \sum_{i=1}^{n} \left\{ y_i \log \Lambda(\mathbf{x}_i'\boldsymbol{\beta}) + (1 - y_i) \log \left(1 - \Lambda(\mathbf{x}_i'\boldsymbol{\beta})\right) \right\}.$$

$\boldsymbol{\beta}$ 的极大似然估计量定义为：

$$\hat{\boldsymbol{\beta}} = \underset{\boldsymbol{\beta}}{\operatorname{argmax}}\, \ell_n(\boldsymbol{\beta}).$$

与线性回归不同，此优化问题没有解析解，需要进行数值最优化。如果存在 $\boldsymbol{\beta}_0$ 使得 $p_i \equiv \Lambda(\mathbf{x}_i'\boldsymbol{\beta}_0)$，则 $\hat{\boldsymbol{\beta}}$ 是一致的；否则，$\hat{\boldsymbol{\beta}}$ 是不一致的。

上述 MLE 的原理在 R 中可以很容易地实现，我们利用 Gareth et al. (2021) 中的数据集 Default 分析 income 和 balance 如何影响违约的概率，代码如下：

```
#R程序实现MLE
library(ISLR2)                #ISLR2程序包中提供了数据集Default
library(tidyverse)
default_x <- Default %>%      #创建解释变量矩阵X
#添加常数项所需的一列1
  dplyr::mutate(cons = replicate(dim(Default)[1],1)) %>%
  dplyr::select(c(cons,balance,income))
#将default的取值Yes和No分别赋值为1和0
default_y <- ifelse(as.character(Default[,"default"])=="Yes",1,0)
X = as.matrix(default_x)      #将数据转换为矩阵格式
Y = as.matrix(default_y)
logistic <- function(beta){   #定义Logistic函数
  return(1/(1+exp(-X%*%beta)))
}
#定义对数似然函数的相反数，这是因为最优化命令默认是最小化
llk <- function(beta){
  return(-sum(Y*log(logistic(beta))+(1-Y)*log(1-logistic(beta))))
}
#给参数赋初值并利用nlminb命令求解最优化问题
```

```
opt = nlminb(c(0,0,0),llk)
library(numDeriv)              #此程序包用来计算Hessian矩阵
hatbeta = opt$par              #取出系数估计量
names(hatbeta) = c("beta0","beta1","beta2")
#在系数估计量的半径为0.025的邻域内求二阶数值微分，即，Hessian矩阵
hess = hessian(llk,hatbeta,method.args=list(d=0.025))
#对Hessian矩阵求逆，取出主对角线上的元素并开平方得到系数估计量的标准差
se = sqrt(diag(solve(hess)))
print(cbind(hatbeta,se))
#以下是输出结果
            hatbeta           se
beta0 -1.154047e+01 4.347726e-01
beta1  5.647105e-03 2.273815e-04
beta2  2.080895e-05 4.985246e-06
```

R 和 Stata 都提供了估计二值选择模型的命令：

```
#R程序
library(ISLR2)
#利用R自带的命令glm估计Logit模型，glm表示广义线性模型
summary(glm(default ~ balance + income, data = Default,
    family=binomial(link="logit")))
```

```
//Stata程序
. import delimited "~/Default.csv", clear
. gen def = 0
. replace def = 1 if default=="Yes"
. logit def balance income, nolog
```

注 如表 7.1 中所示，二值选择模型中的系数没有偏效应的解释，而且不同的观测值对应着不同的偏效应，因此，通常汇报平均边际效应，常用的形式有：

- 平均边际效应：

$$n^{-1}\sum_{i=1}^{n} F'(\mathbf{x}_i'\hat{\boldsymbol{\beta}})\hat{\beta}_j;$$

- 在解释变量样本均值处计算的边际效应：

$$F'(\bar{\mathbf{x}}'\hat{\boldsymbol{\beta}})\hat{\beta}_j.$$

前者的 Stata 命令为 “margins, dydx (*)”；后者的 Stata 命令为 “margins, dydx (*) atmeans”，这两个命令都是在 Logit 回归命令之后使用。

关于二值选择模型和其他微观计量模型的详细介绍请参考 Cameron et al. (2005)。

7.7 拟极大似然估计 *

White (1982) 研究了当似然函数存在误设的情况下极大似然估计的统计性质。因为此时的估计是基于误设模型的，所以称其为拟极大似然估计（Quasi-Maximum Likelihood Estimation, QMLE）。一般而言，拟极大似然估计量不具有一致和渐近有效等统计性质。然而，仍存在一些拟极大似然估计是真实模型中某些参数一致估计的特殊情况。例如，考虑假设了正态、条件独立和同方差的线性回归模型，$\boldsymbol{\beta}_0$ 的极大似然估计等价于最小二乘估计。因此，只要 $\mathbb{E}[\mathrm{y} \mid \mathbf{x}] = \mathbf{x}'\boldsymbol{\beta}_0$ 成立，即使在非正态、异方差等情况下，$\boldsymbol{\beta}_0$ 的拟极大似然估计依然是真实参数 $\boldsymbol{\beta}_0$ 的一致估计量。然而，$\boldsymbol{\beta}_0$ 的拟极大似然估计的渐近方差不再是信息矩阵的逆。

模型误设

假设 y_i 的真实概率分布为 $f_0(y_i \mid \boldsymbol{\theta}, \boldsymbol{\delta})$，其中，$\boldsymbol{\theta} = \boldsymbol{\theta}_0$，$\boldsymbol{\delta} = \boldsymbol{\delta}_0$。但是在构建似然函数时使用了误设的概率分布 $f(y_i \mid \boldsymbol{\theta}, \boldsymbol{\lambda})$。两个分布共有的参数 $\boldsymbol{\theta}$ 是我们感兴趣的参数。

例 7.1 考虑真实的模型为 AR(1)：

$$y_t = \phi y_{t-1} + \sigma \varepsilon_t, \quad |\phi| < 1, \quad \varepsilon_t \sim i.i.d.(0,1),$$

其中，ε_t 服从自由度为 ν 的标准化学生 t 分布。于是，

$$f_0(y_t \mid \mathscr{F}_{t-1}; \phi, \sigma^2, \nu) = \frac{\Gamma\left(\frac{\nu+1}{2}\right)}{\sqrt{\pi\sigma^2(\nu-2)}\Gamma\left(\frac{\nu}{2}\right)} \left(1 + \frac{(y_t - \phi y_{t-1})^2}{\sigma^2(\nu-2)}\right)^{-\frac{\nu+1}{2}}.$$

误设的模型假设 ε_t 服从标准正态分布：

$$f(y_t \mid \mathscr{F}_{t-1}; \phi, \sigma^2) = \frac{1}{\sqrt{2\pi\sigma^2}} \exp\left[-\frac{(y_t - \phi y_{t-1})^2}{2\sigma^2}\right].$$

这里 $\boldsymbol{\theta} = (\phi, \sigma^2)$，$\boldsymbol{\delta} = \nu$。

例 7.2 真实模型是异方差回归模型，条件期望为 βx_i，误差项服从正态分布，其条件方差为 αx_i；误设的模型具有相同的条件期望，但条件方差为常数 σ^2：

$$\begin{aligned} f_0(y_i \mid x_i; \beta, \alpha) &= \frac{1}{\sqrt{2\pi(\alpha x_t)}} \exp\left[-\frac{(y_t - \beta x_t)^2}{2(\alpha x_t)}\right], \\ f(y_i \mid x_i; \beta, \sigma^2) &= \frac{1}{\sqrt{2\pi\sigma^2}} \exp\left[-\frac{(y_t - \beta x_t)^2}{2\sigma^2}\right]. \end{aligned}$$

这里 $\boldsymbol{\theta} = \beta$，$\boldsymbol{\delta} = \alpha$，$\boldsymbol{\lambda} = \sigma^2$。

例 7.3 真实的 y_t 服从 MA(1) 模型：

$$y_t = u_t - \psi u_{t-1}, \quad u_t \sim i.i.d.\, \mathcal{N}(0, \sigma^2).$$

但是，误设的 y_t 服从 AR(1) 模型：

$$y_t = \psi y_{t-1} + v_t, \quad v_t \sim i.i.d.\, \mathcal{N}(0, \eta^2).$$

因此，真实的和误设的条件分布分别为：

$$
\begin{aligned}
f_0(y_t \mid \mathscr{F}_{t-1}; \psi, \sigma^2) &= \frac{1}{\sqrt{2\pi\sigma^2}} \exp\left[-\frac{\left(y_t - (-\sum_{j=1}^{t-1} \psi^j y_{t-j})\right)^2}{2\sigma^2}\right], \\
f(y_t \mid \mathscr{F}_{t-1}; \psi, \eta^2) &= \frac{1}{\sqrt{2\pi\eta^2}} \exp\left[-\frac{(y_t - \psi y_{t-1})^2}{2\eta^2}\right].
\end{aligned}
$$

这里 $\boldsymbol{\theta} = \psi$，$\boldsymbol{\delta} = \sigma^2$，$\boldsymbol{\lambda} = \eta^2$。

假设拟极大似然估计的目的是估计条件期望，则有如下几种情况：

- 对数似然函数的误设不影响估计量的一致性、渐近正态以及渐近方差的表达式，但是，拟极大似然估计不再是渐近有效的。例 7.1 属于此种情况，注意此例中的误设模型没有误设期望和方差；
- 对数似然函数的误设不影响估计量的一致性和渐近正态，但是信息矩阵等式不再成立，估计量的渐近方差不等于信息矩阵的逆。例 7.2 属于此种情况，注意此例中的误设模型没有误设期望，但是误设了方差；
- 对数似然函数的误设使得拟极大似然估计量不一致。例 7.3 属于此种情况，注意此例中的误设模型误设了期望。

QMLE 的一致性

如果估计 $\boldsymbol{\theta}_0$ 时使用了误设的模型 $f(y_i \mid \boldsymbol{\theta}, \boldsymbol{\lambda})$，则称得到的极大似然估计量 $\hat{\boldsymbol{\theta}}$ 为拟极大似然估计量。在特定的条件下，拟极大似然估计量 $\hat{\boldsymbol{\theta}}$ 仍然提供了真实参数 $\boldsymbol{\theta}_0$ 的一致估计。

事实上，根据定理 7.7，保证一致性的核心条件之一是：

$$
(\boldsymbol{\theta}_0, \boldsymbol{\delta}_0) = \underset{\boldsymbol{\theta}, \boldsymbol{\delta}}{\operatorname{argmax}}\, \mathbb{E}\left[\log f_0(y_i \mid \boldsymbol{\theta}, \boldsymbol{\delta})\right].
$$

若如下条件成立：

$$
(\boldsymbol{\theta}_0, \boldsymbol{\lambda}_0) = \underset{\boldsymbol{\theta}, \boldsymbol{\lambda}}{\operatorname{argmax}}\, \mathbb{E}\left[\log f(y_i \mid \boldsymbol{\theta}, \boldsymbol{\lambda})\right], \tag{7.22}
$$

则 $\boldsymbol{\theta}_0$ 同样最大化期望拟对数似然函数。又因为，

$$
(\hat{\boldsymbol{\theta}}, \hat{\boldsymbol{\lambda}}) = \underset{\boldsymbol{\theta}, \boldsymbol{\lambda}}{\operatorname{argmax}}\, \frac{1}{n} \sum_{i=1}^{n} \log f(y_i \mid \boldsymbol{\theta}, \boldsymbol{\lambda}), \tag{7.23}
$$

所以，只要 (7.22) 成立的同时有如下一致依概率收敛条件成立：

$$
\frac{1}{n} \sum_{i=1}^{n} \log f(y_i \mid \boldsymbol{\theta}, \boldsymbol{\lambda}) \underset{p}{\to} \mathbb{E}\left[\log f(y_i \mid \boldsymbol{\theta}, \boldsymbol{\lambda})\right],
$$

则 $\hat{\boldsymbol{\theta}} \underset{p}{\to} \hat{\boldsymbol{\theta}}_0$。

例 7.4 考虑例 7.3，期望拟对数似然函数为：

$$
\mathbb{E}\left[\log f(y_t \mid \mathscr{F}_{t-1}; \psi, \eta^2)\right] = -\frac{1}{2}\log 2\pi - \frac{1}{2}\log \eta^2 - \frac{1}{2\eta^2}\mathbb{E}[(y_t - \psi y_{t-1})^2].
$$

注意到 $y_t = u_t - \psi_0 u_{t-1}$，我们有：

$$
\mathbb{E}[(y_t - \psi y_{t-1})^2] = \mathbb{E}[((u_t - \psi_0 u_{t-1}) - \psi(u_{t-1} - \psi_0 u_{t-2}))^2]
$$

$$= \quad \sigma_0^2(1+(\psi+\psi_0)^2+\psi^2\psi_0^2).$$

根据上式，期望拟对数似然函数可进一步表示为：

$$\mathbb{E}\left[\log f(y_t \mid \mathscr{F}_{t-1};\psi,\eta^2)\right] = -\frac{1}{2}\log 2\pi - \frac{1}{2}\log\eta^2 - \frac{1}{2\eta^2}\sigma_0^2(1+(\psi+\psi_0)^2+\psi^2\psi_0^2).$$

通过上式等号右侧部分对 ψ 求导并将导数取为 0 可解出使期望拟对数似然函数最大化的 ψ 满足：

$$\psi = -\frac{\psi_0}{1+\psi_0^2} \neq \psi_0.$$

因此，(7.22) 不成立，QMLE 不一致。

QMLE 的渐近分布

式 (7.23) 中的最优解满足如下 QMLE 的一阶条件：

$$\frac{1}{n}\sum_{i=1}^{n}\boldsymbol{g}_i(\hat{\boldsymbol{\theta}},\hat{\boldsymbol{\lambda}}) = \mathbf{0},$$

其中，

$$\boldsymbol{g}_i(\boldsymbol{\theta},\boldsymbol{\lambda}) = \left[\frac{\partial\log f\left(y_i \mid \boldsymbol{\theta},\boldsymbol{\lambda}\right)}{\partial\boldsymbol{\theta}'},\ \frac{\partial\log f\left(y_i \mid \boldsymbol{\theta},\boldsymbol{\lambda}\right)}{\partial\boldsymbol{\lambda}'}\right]'.$$

与定理 7.3 类似，只要式 (7.22) 成立，在适当的条件下，我们有：

$$\mathbb{E}[\boldsymbol{g}_i(\boldsymbol{\theta}_0,\boldsymbol{\lambda}_0)] = \mathbf{0}.$$

仿照附录中定理 7.8 的证明，容易得到：

$$\left[\sqrt{n}\left(\hat{\boldsymbol{\theta}}-\boldsymbol{\theta}_0\right)',\ \sqrt{n}\left(\hat{\boldsymbol{\lambda}}-\boldsymbol{\lambda}_0\right)'\right]' \quad \underset{d}{\longrightarrow} \quad \mathcal{N}\left(\mathbf{0},\ \boldsymbol{\Omega}\right),$$

其中，

$$\boldsymbol{\Omega} = \mathscr{H}^{-1}(\boldsymbol{\theta}_0,\boldsymbol{\lambda}_0)\mathscr{I}(\boldsymbol{\theta}_0,\boldsymbol{\lambda}_0)\mathscr{H}^{-1}(\boldsymbol{\theta}_0,\boldsymbol{\lambda}_0).$$

注意这里我们依然假设了独立同分布，对于一般的情况，请读者参考 Martin et al. (2013)。

在推导 MLE 的渐近分布时，信息矩阵等式在化简渐近协方差矩阵表达式时起到关键的作用，因此它也是 MLE 有效性成立的重要前提。然而模型误设通常会导致信息矩阵等式不成立，即，

$$\mathscr{H}(\boldsymbol{\theta}_0,\boldsymbol{\lambda}_0) \neq \mathscr{I}(\boldsymbol{\theta}_0,\boldsymbol{\lambda}_0).$$

事实上，根据附录中定理 7.4 的证明，容易验证：

$$\begin{aligned}\mathbb{E}\left[\frac{\partial\log f\left(\mathrm{y}_i \mid \boldsymbol{\theta}_0,\boldsymbol{\lambda}_0\right)}{\partial\boldsymbol{\theta}}\cdot\frac{\partial\log f\left(\mathrm{y}_i \mid \boldsymbol{\theta}_0,\boldsymbol{\lambda}_0\right)}{\partial\boldsymbol{\theta}'}\right] = & -\ \mathbb{E}\left[\frac{\partial^2\log f(\mathrm{y}_i \mid \boldsymbol{\theta}_0,\boldsymbol{\lambda}_0)}{\partial\boldsymbol{\theta}\partial\boldsymbol{\theta}'}\right] \\ & +\ \mathbb{E}\left[\frac{1}{f(\mathrm{y}_i \mid \boldsymbol{\theta}_0,\boldsymbol{\lambda}_0)}\cdot\frac{\partial^2 f(\mathrm{y}_i \mid \boldsymbol{\theta}_0,\boldsymbol{\lambda}_0)}{\partial\boldsymbol{\theta}\partial\boldsymbol{\theta}'}\right].\end{aligned}$$

上式等号右侧第二项在模型误设时通常不等于 $\mathbf{0}$。因此，当模型误设时，$\mathscr{H}(\boldsymbol{\theta}_0,\boldsymbol{\lambda}_0)^{-1}$ 和 $\mathscr{I}(\boldsymbol{\theta}_0,\boldsymbol{\lambda}_0)^{-1}$ 通常都不能用来计算估计量的标准差。然而，在一些特殊情况下，信息矩阵等式在模型误设时仍然是成立的。例如，考虑例 7.1，可以证明：对于自回归系数 ϕ，信息矩阵等式是成立的（见 Martin et al. (2013) 中的例 9.11）。

7.8 总结

极大似然估计是估计计量模型参数的一般统计方法，本章对极大似然估计的原理、渐近性质和实现进行了较详细地介绍。在模型设定正确和一些正则条件得到满足的情况下，极大似然估计量具有如下良好的统计性质：(1) 一致性；(2) 渐近正态；(3) 渐近有效（渐近方差取到 Cramér-Rao 下界）。当分布模型存在误设的情况下，极大似然估计被称为拟极大似然估计。通常，拟极大似然估计量并非是真实参数的一致估计量，而且三大检验在误设情况下失效。但是，在一些特殊的情况下，拟极大似然估计量仍然是一致的。这些特殊情况之一便是假设了正态分布的线性回归模型。只要 $\mathbb{E}[\mathrm{y} \mid \mathbf{x}] = \mathbf{x}'\boldsymbol{\beta}_0$，即使误差项不服从正态分布，假设了正态分布的拟极大似然估计量仍然保持一致性，但是估计量的渐近有效性会受到模型误设的影响。

从原理出发编程实现极大似然估计是学习计量时应该掌握的基本技能。Martin et al. (2013) 提供了大部分常见计量模型参数极大似然估计的代码，有 Gauss、Matlab 和 R 三种版本，是学习计量编程的宝贵资源。

像极大似然估计一样常用的估计方法还有贝叶斯估计，本书没有对贝叶斯估计进行介绍，但是在大数据时代，贝叶斯估计已经有成为主流的趋势，感兴趣的读者可以参考 Murphy (2022, 2023)。

附录：本章定理的证明

定理 7.1 的证明：经变换之后的参数 $\boldsymbol{\beta}$ 的似然函数可以表示为：

$$L_n^*(\boldsymbol{\beta}) = \max_{\boldsymbol{h}(\boldsymbol{\theta})=\boldsymbol{\beta}} L_n(\boldsymbol{\theta}).$$

$\boldsymbol{\beta}$ 的 MLE 最大化目标函数 $L_n^*(\boldsymbol{\beta})$。注意到

$$L_n^*(\boldsymbol{h}(\hat{\boldsymbol{\theta}})) = \max_{\boldsymbol{h}(\boldsymbol{\theta})=\boldsymbol{h}(\hat{\boldsymbol{\theta}})} L_n(\boldsymbol{\theta}) = L_n(\hat{\boldsymbol{\theta}}),$$

其中，第二个等号成立是因为 $\boldsymbol{\theta} = \hat{\boldsymbol{\theta}}$ 满足 $\boldsymbol{h}(\boldsymbol{\theta}) = \boldsymbol{h}(\hat{\boldsymbol{\theta}})$ 并且使 $L_n(\boldsymbol{\theta})$ 最大化。因此，$\boldsymbol{h}(\hat{\boldsymbol{\theta}})$ 是 $\boldsymbol{\beta}$ 的极大似然估计量。 □

定理 7.2 的证明：取 $\boldsymbol{\theta} \neq \boldsymbol{\theta}_0$，注意到：

$$\begin{aligned}
\ell(\boldsymbol{\theta}) - \ell(\boldsymbol{\theta}_0) &= \mathbb{E}\left[\log(f(\mathrm{x} \mid \boldsymbol{\theta})) - \log(f(\mathrm{x} \mid \boldsymbol{\theta}_0))\right] \\
&= \mathbb{E}\left[\log\left(\frac{f(\mathrm{x} \mid \boldsymbol{\theta})}{f(\mathrm{x} \mid \boldsymbol{\theta}_0)}\right)\right],
\end{aligned}$$

即，$\ell(\boldsymbol{\theta}) - \ell(\boldsymbol{\theta}_0)$ 等于 $f(\cdot \mid \boldsymbol{\theta}_0)$ 与 $f(\cdot \mid \boldsymbol{\theta})$ 之间 KL 散度的相反数。由附录 B.7 的 Jensen 不等式，有：

$$\ell(\boldsymbol{\theta}) - \ell(\boldsymbol{\theta}_0) < \log\left(\mathbb{E}\left[\frac{f(\mathrm{x} \mid \boldsymbol{\theta})}{f(\mathrm{x} \mid \boldsymbol{\theta}_0)}\right]\right),$$

其中，严格小于号成立是因为 $f(x \mid \boldsymbol{\theta}) \neq f(x \mid \boldsymbol{\theta}_0)$ 的概率大于 0。因为：

$$\begin{aligned}
\log\left(\int \frac{f(x \mid \boldsymbol{\theta})}{f(x \mid \boldsymbol{\theta}_0)} f(x) dx\right) &= \log\left(\int \frac{f(x \mid \boldsymbol{\theta})}{f(x \mid \boldsymbol{\theta}_0)} f(x \mid \boldsymbol{\theta}_0)\, dx\right) \\
&= \log\left(\int f(x \mid \boldsymbol{\theta}) dx\right) = 0.
\end{aligned}$$

所以，$\ell(\boldsymbol{\theta}) < \ell(\boldsymbol{\theta}_0)$。 □

定理 7.3 的证明：由定理 7.2，我们有：

$$\mathbb{E}[\boldsymbol{S}] = \mathbb{E}\left[\frac{\partial}{\partial\boldsymbol{\theta}}\log f(\mathrm{x}\mid\boldsymbol{\theta}_0)\right] = \frac{\partial}{\partial\boldsymbol{\theta}}\mathbb{E}\left[\log f(\mathrm{x}\mid\boldsymbol{\theta}_0)\right] = \frac{\partial}{\partial\boldsymbol{\theta}}\ell(\boldsymbol{\theta}_0) = \mathbf{0}.$$

□

定理 7.4 的证明：根据期望海塞的定义，我们有：

$$\begin{aligned}\mathscr{H}_{\boldsymbol{\theta}} &= -\frac{\partial^2}{\partial\boldsymbol{\theta}\partial\boldsymbol{\theta}'}\mathbb{E}\left[\log f(\mathrm{x}\mid\boldsymbol{\theta}_0)\right] = -\frac{\partial}{\partial\boldsymbol{\theta}}\mathbb{E}\left[\frac{\frac{\partial}{\partial\boldsymbol{\theta}'}f(\mathrm{x}\mid\boldsymbol{\theta})}{f(\mathrm{x}\mid\boldsymbol{\theta})}\right]\Bigg|_{\boldsymbol{\theta}=\boldsymbol{\theta}_0}\\ &= \underbrace{-\frac{\partial}{\partial\boldsymbol{\theta}}\mathbb{E}\left[\frac{\frac{\partial}{\partial\boldsymbol{\theta}'}f(\mathrm{x}\mid\boldsymbol{\theta})}{f(\mathrm{x}\mid\boldsymbol{\theta}_0)}\right]\Bigg|_{\boldsymbol{\theta}=\boldsymbol{\theta}_0}}_{\mathbf{0}} + \underbrace{\mathbb{E}\left[\frac{\frac{\partial}{\partial\boldsymbol{\theta}}f(\mathrm{x}\mid\boldsymbol{\theta}_0)\frac{\partial}{\partial\boldsymbol{\theta}'}f(\mathrm{x}\mid\boldsymbol{\theta}_0)}{f(\mathrm{x}\mid\boldsymbol{\theta}_0)^2}\right]}_{\mathscr{I}_{\boldsymbol{\theta}}},\end{aligned}$$

其中，第三个等号成立是根据乘法的求导法则。注意到：

$$\begin{aligned}-\frac{\partial}{\partial\boldsymbol{\theta}}\mathbb{E}\left[\frac{\frac{\partial}{\partial\boldsymbol{\theta}'}f(\mathrm{x}\mid\boldsymbol{\theta})}{f(\mathrm{x}\mid\boldsymbol{\theta}_0)}\right]\Bigg|_{\boldsymbol{\theta}=\boldsymbol{\theta}_0} &= -\frac{\partial^2}{\partial\boldsymbol{\theta}\partial\boldsymbol{\theta}'}\mathbb{E}\left[\frac{f(\mathrm{x}\mid\boldsymbol{\theta})}{f(\mathrm{x}\mid\boldsymbol{\theta}_0)}\right]\Bigg|_{\boldsymbol{\theta}=\boldsymbol{\theta}_0}\\ &= -\frac{\partial^2}{\partial\boldsymbol{\theta}\partial\boldsymbol{\theta}'}\int\frac{f(x\mid\boldsymbol{\theta})}{f(x\mid\boldsymbol{\theta}_0)}f(x\mid\boldsymbol{\theta}_0)dx\Bigg|_{\boldsymbol{\theta}=\boldsymbol{\theta}_0} = \mathbf{0}.\end{aligned}$$

于是，我们有 $\mathscr{I}_{\boldsymbol{\theta}} = \mathscr{H}_{\boldsymbol{\theta}}$。 □

定理 7.5 的证明：记 $\boldsymbol{x} = (x_1,\ldots,x_n)'$，$\mathbf{x} = (\mathrm{x}_1,\ldots,\mathrm{x}_n)'$，$\mathbf{x}$ 的联合密度为 $f(\boldsymbol{x}\mid\boldsymbol{\theta}) = \prod_{i=1}^n f(x_i\mid\boldsymbol{\theta})$。于是，似然得分可以表示为 $\boldsymbol{S}_n(\boldsymbol{\theta}) = \frac{\partial}{\partial\boldsymbol{\theta}}\log f(\boldsymbol{x}\mid\boldsymbol{\theta})$。对所有的 $\boldsymbol{\theta}$，$\tilde{\boldsymbol{\theta}}$ 无偏意味着：

$$\boldsymbol{\theta} = \mathbb{E}_{\boldsymbol{\theta}}[\tilde{\boldsymbol{\theta}}(\mathbf{x})] = \int\tilde{\boldsymbol{\theta}}(\boldsymbol{x})f(\boldsymbol{x}\mid\boldsymbol{\theta})d\boldsymbol{x}.$$

将上式两端对 $\boldsymbol{\theta}'$ 求导，左边为：

$$\frac{\partial}{\partial\boldsymbol{\theta}'}\boldsymbol{\theta} = \mathbf{I}_p.$$

右边为：

$$\begin{aligned}\frac{\partial}{\partial\boldsymbol{\theta}'}\int\tilde{\boldsymbol{\theta}}(\boldsymbol{x})f(\boldsymbol{x}\mid\boldsymbol{\theta})d\boldsymbol{x} &= \int\tilde{\boldsymbol{\theta}}(\boldsymbol{x})\frac{\partial}{\partial\boldsymbol{\theta}'}f(\boldsymbol{x}\mid\boldsymbol{\theta})d\boldsymbol{x}\\ &= \int\tilde{\boldsymbol{\theta}}(\boldsymbol{x})\left(\frac{\partial}{\partial\boldsymbol{\theta}'}\log f(\boldsymbol{x}\mid\boldsymbol{\theta})\right)f(\boldsymbol{x}\mid\boldsymbol{\theta})d\boldsymbol{x}.\end{aligned}$$

将上式第二个等号右边的表达式在参数真实值 $\boldsymbol{\theta}_0$ 处取值，得到：

$$\int\tilde{\boldsymbol{\theta}}(\boldsymbol{x})\left(\frac{\partial}{\partial\boldsymbol{\theta}'}\log f(\boldsymbol{x}\mid\boldsymbol{\theta})\right)f(\boldsymbol{x}\mid\boldsymbol{\theta})d\boldsymbol{x}\Bigg|_{\boldsymbol{\theta}=\boldsymbol{\theta}_0} = \mathbb{E}\left[\tilde{\boldsymbol{\theta}}(\mathbf{x})\boldsymbol{S}_n(\boldsymbol{\theta}_0)'\right],$$

再由定理 7.3，容易验证 $\mathbb{E}[\boldsymbol{S}_n(\boldsymbol{\theta}_0)] = \mathbf{0}$。因此，我们有：

$$\mathbb{E}\left[\tilde{\boldsymbol{\theta}}(\mathbf{x})\boldsymbol{S}_n(\boldsymbol{\theta}_0)'\right] = \mathbb{E}\left[\left(\tilde{\boldsymbol{\theta}}-\boldsymbol{\theta}_0\right)\boldsymbol{S}_n(\boldsymbol{\theta}_0)'\right].$$

所以，堆叠 $\tilde{\boldsymbol{\theta}}-\boldsymbol{\theta}_0$ 和 $\boldsymbol{S}_n(\boldsymbol{\theta}_0)$ 的向量具有如下的协方差矩阵：

$$\begin{bmatrix}\boldsymbol{V} & \mathbf{I}_p\\ \mathbf{I}_p & n\mathscr{I}_{\boldsymbol{\theta}}\end{bmatrix},$$

其中，$\boldsymbol{V} = \mathrm{Var}[\tilde{\boldsymbol{\theta}}]$。因为协方差矩阵半正定，则有：

$$\begin{bmatrix} \boldsymbol{I}_p & -(n\mathscr{I}_{\boldsymbol{\theta}})^{-1} \end{bmatrix} \begin{bmatrix} \boldsymbol{V} & \boldsymbol{I}_p \\ \boldsymbol{I}_p & n\mathscr{I}_{\boldsymbol{\theta}} \end{bmatrix} \begin{bmatrix} \boldsymbol{I}_p \\ -(n\mathscr{I}_{\boldsymbol{\theta}})^{-1} \end{bmatrix} = \boldsymbol{V} - (n\mathscr{I}_{\boldsymbol{\theta}})^{-1} \succeq \mathbf{0}.$$

□

定理 7.7 的证明：令 $\mathcal{N}$ 是 $\mathbb{R}^p$ 中包含 $\boldsymbol{\theta}_0$ 的一个开邻域，则 $\mathcal{N}^C \cap \boldsymbol{\Theta}$ 是紧致集，因此，$\max\limits_{\boldsymbol{\theta}\in\mathcal{N}^C\cap\boldsymbol{\Theta}} \ell(\boldsymbol{\theta})$ 存在。令

$$\epsilon = \ell(\boldsymbol{\theta}_0) - \max_{\boldsymbol{\theta}\in\mathcal{N}^C\cap\boldsymbol{\Theta}} \ell(\boldsymbol{\theta}). \tag{7.24}$$

再令 A_n 表示事件“对所有的 $\boldsymbol{\theta}$，$|\bar{\ell}_n(\boldsymbol{\theta}) - \ell(\boldsymbol{\theta})| < \epsilon/2$”，则有：

$$A_n \quad \Rightarrow \quad \ell(\hat{\boldsymbol{\theta}}) > \bar{\ell}_n(\hat{\boldsymbol{\theta}}) - \epsilon/2 \tag{7.25}$$

和

$$A_n \quad \Rightarrow \quad \bar{\ell}_n(\boldsymbol{\theta}_0) > \ell(\boldsymbol{\theta}_0) - \epsilon/2. \tag{7.26}$$

因为，$\bar{\ell}_n(\hat{\boldsymbol{\theta}}) \geq \bar{\ell}_n(\boldsymbol{\theta}_0)$，由式 (7.25)，有：

$$A_n \quad \Rightarrow \quad \ell(\hat{\boldsymbol{\theta}}) > \bar{\ell}_n(\boldsymbol{\theta}_0) - \epsilon/2. \tag{7.27}$$

将 (7.26) 和 (7.27) 两端相加得到：

$$A_n \quad \Rightarrow \quad \ell(\hat{\boldsymbol{\theta}}) > \ell(\boldsymbol{\theta}_0) - \epsilon. \tag{7.28}$$

根据 (7.24) 和 (7.28) 可以推出：

$$A_n \quad \Rightarrow \quad \hat{\boldsymbol{\theta}} \in \mathcal{N},$$

进而有：

$$\mathbb{P}(A_n) \leqslant \mathbb{P}(\hat{\boldsymbol{\theta}} \in \mathcal{N}).$$

由一致收敛，$\lim\limits_{n\to\infty} \mathbb{P}(A_n) = 1$，于是有：$\hat{\boldsymbol{\theta}} \underset{p}{\to} \boldsymbol{\theta}_0$。 □

定理 7.8 的证明：由中值定理，我们有：

$$\begin{aligned}
\frac{\partial \bar{\ell}_n(\hat{\boldsymbol{\theta}})}{\partial \boldsymbol{\theta}} &= \frac{\partial \bar{\ell}_n(\boldsymbol{\theta}_0)}{\partial \boldsymbol{\theta}} + \frac{\partial^2 \bar{\ell}_n(\bar{\boldsymbol{\theta}})}{\partial \boldsymbol{\theta}\partial \boldsymbol{\theta}'}(\hat{\boldsymbol{\theta}} - \boldsymbol{\theta}_0) \\
&= \frac{1}{n}\sum_{i=1}^n \frac{\partial}{\partial \boldsymbol{\theta}} \log f\left(x_i \mid \boldsymbol{\theta}_0\right) + \left[\frac{1}{n}\sum_{i=1}^n \frac{\partial^2}{\partial \boldsymbol{\theta}\partial \boldsymbol{\theta}'} \log f\left(x_i \mid \bar{\boldsymbol{\theta}}\right)\right](\hat{\boldsymbol{\theta}} - \boldsymbol{\theta}_0) \\
&= \mathbf{0},
\end{aligned}$$

其中，$\bar{\boldsymbol{\theta}}$ 是位于 $\boldsymbol{\theta}_0$ 和 $\hat{\boldsymbol{\theta}}$ 之间的一点。对上式进行移项整理可以得到：

$$\sqrt{n}(\hat{\boldsymbol{\theta}} - \boldsymbol{\theta}_0) = -\left[\frac{1}{n}\sum_{i=1}^n \frac{\partial^2}{\partial \boldsymbol{\theta}\partial \boldsymbol{\theta}'} \log f\left(x_i \mid \bar{\boldsymbol{\theta}}\right)\right]^{-1} \frac{1}{\sqrt{n}}\sum_{i=1}^n \frac{\partial}{\partial \boldsymbol{\theta}} \log f\left(x_i \mid \boldsymbol{\theta}_0\right). \tag{7.29}$$

注意到 $\hat{\boldsymbol{\theta}}$ 是 $\boldsymbol{\theta}_0$ 的一致估计量，根据 i.i.d. 以及条件 (2)-(4)，

$$\begin{aligned}
\frac{1}{\sqrt{n}}\sum_{i=1}^n \frac{\partial}{\partial \boldsymbol{\theta}} \log f\left(x_i \mid \boldsymbol{\theta}_0\right) &\underset{d}{\to} \mathcal{N}(\mathbf{0}, \mathscr{I}_{\boldsymbol{\theta}}), \\
-\frac{1}{n}\sum_{i=1}^n \frac{\partial^2}{\partial \boldsymbol{\theta}\partial \boldsymbol{\theta}'} \log f\left(x_i \mid \bar{\boldsymbol{\theta}}\right) &\underset{p}{\to} \mathscr{H}_{\boldsymbol{\theta}}.
\end{aligned}$$

因此，

$$\sqrt{n}(\hat{\boldsymbol{\theta}} - \boldsymbol{\theta}_0) \underset{d}{\to} \mathscr{H}_{\boldsymbol{\theta}}^{-1}\mathcal{N}(\mathbf{0}, \mathscr{I}_{\boldsymbol{\theta}}) = \mathcal{N}(\mathbf{0}, \mathscr{I}_{\boldsymbol{\theta}}^{-1}).$$

□

第七章习题

1. 证明：定义 $\boldsymbol{S}_n(\boldsymbol{\theta}) = \dfrac{\partial \ell_n(\boldsymbol{\theta})}{\partial \boldsymbol{\theta}}$，在适当的假设条件下，证明 $\mathbb{E}[\boldsymbol{S}_n(\boldsymbol{\theta}_0)] = \mathbf{0}$。
2. 证明：定义 $\mathbf{I}(\boldsymbol{\theta}_0) \equiv \mathbb{E}[\boldsymbol{S}_n(\boldsymbol{\theta}_0)\boldsymbol{S}_n(\boldsymbol{\theta}_0)']$，在适当的假设条件下，证明如下结论：
$$\mathbf{I}(\boldsymbol{\theta}_0) = -\mathbb{E}\left[\frac{\partial^2 \ell_n(\boldsymbol{\theta}_0)}{\partial \boldsymbol{\theta} \partial \boldsymbol{\theta}'}\right].$$
3. 证明：如果 $\tilde{\boldsymbol{\theta}}$ 是 $\boldsymbol{\theta}$ 的无偏估计量，在适当的假设条件下，证明如下结论：
$$\mathrm{Var}[\tilde{\boldsymbol{\theta}}] \succeq \mathbf{I}(\boldsymbol{\theta}_0)^{-1}. \tag{7.30}$$
4. 分析：定理 7.5 和 (7.30) 给出的两个无偏估计量的方差下界具有怎样的关系？
5. 编程：根据极大似然估计的原理实现 Probit 模型的估计。

第三部分 微观计量方法

第八章 离散选择模型

第九章 因果推断

参考文献

陈公宁, 2007. 矩阵理论与应用 [M]. 北京: 科学出版社.

方颖，赵扬, 2011. 寻找制度的工具变量：估计产权保护对中国经济增长的贡献 [J]. 经济研究(5): 138-148.

李高荣，吴密霞, 2021. 多元统计分析 [M]. 北京: 科学出版社.

李航, 2022. 机器学习方法 [M]. 北京: 清华大学出版社.

刘浩洋，户将，李勇锋，文再文, 2020. 最优化：建模、算法与理论 [M]. 北京: 高等教育出版社.

丘维声, 2015. 解析几何（第三版）[M]. 北京: 北京大学出版社.

苏淳，冯群强, 2020. 概率论（第三版）[M]. 北京: 科学出版社.

王松桂，史建红，尹素菊，吴密霞, 2004. 线性模型引论 [M]. 北京: 科学出版社.

ABADIE A, ATHEY S, IMBENS G W, et al., 2020. Sampling-based versus design-based uncertainty in regression analysis[J]. Econometrica, 88(1): 265-296.

ABADIE A, ATHEY S, IMBENS G W, et al., 2022. When should you adjust standard errors for clustering?[J]. arXiv preprint arXiv:1710.02926v3.

ABADIR K M, MAGNUS J R, 2005. Matrix algebra[M]. New York: Cambridge University Press.

ADRIAN T, BRUNNERMEIER M K, 2016. CoVaR[J]. American Economic Review, 106(7): 1705-1741.

AMEMIYA T, 1977. A note on a heteroscedastic model[J]. Journal of Econometrics, 6(3): 365-370.

ANDERSON T W, DARLING D A, 1954. A test of goodness of fit[J]. Journal of the American Statistical Association, 49(268): 765-769.

ANDREWS D W, 1991. Heteroskedasticity and autocorrelation consistent covariance matrix estimation[J]. Econometrica: 817-858.

ANGRIST J D, PISCHKE J S, 2008. Mostly harmless econometrics: An empiricist's companion[M]. Princeton: Princeton University Press.

ANSELIN L, 1988. Spatial econometrics: methods and models[M]. Netherlands: Kluwer Academic Publishers.

BAI J, 2009. Panel data models with interactive fixed effects[J]. Econometrica, 77(4): 1229-1279.

BALI T G, ENGLE R F, MURRAY S, 2016. Empirical asset pricing: The cross section of stock returns[M]. New Jersey: John Wiley & Sons.

BELL R M, MCCAFFREY D F, 2002. Bias reduction in standard errors for linear regression with multi-stage samples[J]. Survey Methodology, 28(2): 169-182.

BELSLEY D A, KUH E, WELSCH R E, 2004. Regression diagnostics: Identifying influential data and sources of collinearity[M]. New Jersey: John Wiley & Sons.

BERKOWITZ D, CANER M, FANG Y, 2012. The validity of instruments revisited[J]. Journal of Econometrics, 166 (2): 255-266.

BERTSEKAS D, 2009. Convex optimization theory[M]. New Hampshire: Athena Scientific.

BILLINGSLEY P, 1961. The Lindeberg-Levy theorem for martingales[J]. Proceedings of the American Mathematical Society, 12(5): 788-792.

BILLINGSLEY P, 1995. Probability and measure[M]. 3rd ed. New York: John Wiley & Sons.

BISHOP C M, 2006. Pattern recognition and machine learning[M]. New York: Springer.

BOX G E, PIERCE D A, 1970. Distribution of residual autocorrelations in autoregressive-integrated moving average time series models[J]. Journal of the American Statistical Association, 65(332): 1509-1526.

BOYD S, VANDENBERGHE L, 2004. Convex optimization[M]. Cambridge: Cambridge University Press.

BREDON G E, 2013. Topology and geometry[M]. New York: Springer.

BREUSCH T S, 1978. Testing for autocorrelation in dynamic linear models[J]. Australian economic papers, 17(31): 334-355.

BREUSCH T S, PAGAN A R, 1979. A simple test for heteroscedasticity and random coefficient variation[J]. Econometrica: 1287-1294.

BROCKWELL P J, DAVIS R A, 1991. Time series: theory and methods[M]. 2nd ed. New York: Springer Science & Business Media.

CAI Z, FAN J, YAO Q, 2000. Functional-coefficient regression models for nonlinear time series[J]. Journal of the American Statistical Association, 95(451): 941-956.

CALAFIORE G C, EL GHAOUI L, 2014. Optimization models[M]. Cambridge: Cambridge university press.

CAMERON A C, MILLER D L, 2015. A practitioner's guide to cluster-robust inference[J]. Journal of Human Resources, 50(2): 317-372.

CAMERON A C, TRIVEDI P K, 2005. Microeconometrics: methods and applications[M]. New York: Cambridge University Press.

CAMERON A C, GELBACH J B, MILLER D L, 2008. Bootstrap-based improvements for inference with clustered errors[J]. Review of Economics and Statistics, 90(3): 414-427.

CASELLA G, BERGER R L, 2002. Statistical inference[M]. California: Thomson Learning.

CERULLI G, 2015. Econometric evaluation of socio-economic programs theory and applications[M]. Berlin: Springer.

CHABI-YO F, RUENZI S, WEIGERT F, 2018. Crash sensitivity and the cross section of expected stock returns[J]. Journal of Financial and Quantitative Analysis, 53(3): 1059-1100.

CUNNINGHAM S, 2021. Causal inference: The mixtape[M]. New Haven: Yale University Press.

DAVIDSON R, FLACHAIRE E, 2008. The wild bootstrap, tamed at last[J]. Journal of Econometrics, 146(1): 162-169.

DUFLO E, DUPAS P, KREMER M, 2011. Peer effects, teacher incentives, and the impact of tracking: Evidence from a randomized evaluation in Kenya[J]. American Economic Review, 101(5): 1739-74.

EFRON B, 1979. Bootstrap Methods: Another Look at the Jackknife[J]. Annals of Statistics, 7(1): 1 - 26.

EFRON B, 1982. The Jackknife, the Bootstrap and other resampling plans[M]. Philadelphia: Society for Industrial and Applied Mathematics.

EFRON B, 1987. Better Bootstrap confidence intervals[J]. Journal of the American Statistical Association, 82(397): 171-185.

EFRON B, HASTIE T, 2016. Computer age statistical inference: Algorithms, evidence, and data science[M]. New York: Cambridge University Press.

FAMA E F, FRENCH K R, 1992. The cross-section of expected stock returns[J]. Journal of Finance, 47(2): 427-465.

FELLER W, 1971. An introduction to probability theory and its applications: volume 2[M]. 2nd ed. New York: John Wiley & Sons.

GARETH J, DANIELA W, TREVOR H, et al., 2021. An introduction to statistical learning: with applications in R[M]. 2nd ed. New York: Springer Science & Business Media.

GODFREY L G, 1978. Testing against general autoregressive and moving average error models when the regressors include lagged dependent variables[J]. Econometrica: 1293-1301.

GREENE W H, 2018. Econometric analysis[M]. 8th ed. New York: Pearson Education.

HALL P, HEYDE C C, 1980. Martingale limit theory and its application[M]. New York: Academic press.

HAMILTON J D, 1994. Time series analysis[M]. New Jersey: Princeton University Press.

HANSEN B E, 1992. Consistent covariance matrix estimation for dependent heterogeneous processes[J]. Econometrica: 967-972.

HANSEN B E, 2022a. Econometrics[M]. Princeton: Princeton University Press.

HANSEN B E, 2022b. Probability and statistics for economists[M]. Princeton: Princeton University Press.

HANSEN B E, 2022c. A modern Gauss-Markov theorem[J]. forthcoming in Econometrica.

HASTIE T, ROBERT T, FRIEDMAN J, 2016. The elements of statistical learning: Data mining, inference, and prediction[M]. 2nd ed. Berlin: Springer.

HAYASHI F, 2000. Econometrics[M]. Princeton: Princeton University Press.

HINKLEY D V, 1977. Jackknifing in unbalanced situations[J]. Technometrics, 19(3): 285-292.

HONG Y, 2020. Foundations of modern econometrics: A unified approach[M]. London: World Scientific.

HORN R A, JOHNSON C R, 2013. Matrix analysis[M]. New York: Cambridge University Press.

HORN S D, HORN R A, DUNCAN D B, 1975. Estimating heteroscedastic variances in linear models[J]. Journal of the American Statistical Association, 70(350): 380-385.

HOROWITZ J L, 2019. Bootstrap methods in econometrics[J]. Annual Review of Economics, 11: 193-224.

HUANG D, JIANG F, TU J, et al., 2015. Investor sentiment aligned: A powerful predictor of stock returns[J]. Review of Financial Studies, 28(3): 791-837.

JARQUE C M, BERA A K, 1980. Efficient tests for normality, homoscedasticity and serial independence of regression residuals[J]. Economics Letters, 6(3): 255-259.

JIANG L, WU K, ZHOU G, 2018. Asymmetry in stock comovements: An entropy approach[J]. Journal of Financial and Quantitative Analysis, 53(4): 1479-1507.

JOHNSON R A, WICHERN D W, 2007. Applied multivariate statistical analysis[M]. 6th ed. London: Pearson.

KARLIN S, TAYLOR H M, 1975. A first course in stochastic processes[M]. 2nd ed. New York: Academic press.

KOENKER R, 1981. A note on studentizing a test for heteroscedasticity[J]. Journal of Econometrics, 17(1): 107-112.

KOENKER R, 2005. Quantile regression[M]. New York: Cambridge University Press.

LI Q, RACINE J S, 2007. Nonparametric econometrics: theory and practice[M]. New Jersey: Princeton University Press.

LIN Z, BAI Z, 2010. Probability inequalities[M]. Beijing: Science Press Beijing and Springer.

LJUNG G M, BOX G E, 1978. On a measure of lack of fit in time series models[J]. Biometrika, 65(2): 297-303.

MACKINNON J G, 2006. Bootstrap methods in econometrics[J]. Economic Record, 82: S2-S18.

MACKINNON J G, WHITE H, 1985. Some heteroskedasticity-consistent covariance matrix estimators with improved finite sample properties[J]. Journal of Econometrics, 29(3): 305-325.

MACKINNON J G, NIELSEN M Ø, WEBB M D, 2022a. Cluster-robust inference: A guide to empirical practice[J]. Journal of Econometrics.

MACKINNON J G, NIELSEN M Ø, WEBB M D, 2022b. Fast and reliable jackknife and bootstrap methods for cluster-robust inference[R]. Queen's University: Queen's Economics Department Working Paper No.1485.

MACKINNON J G, NIELSEN M Ø, WEBB M D, 2022c. Leverage, influence, and the jackknife in clustered regression models: Reliable inference using summclust[J]. arXiv preprint arXiv:2205.03288.

MAMMEN E, 1993. Bootstrap and wild bootstrap for high dimensional linear models[J]. Annals of Statistics, 21(1): 255-285.

MARTIN V, HURN S, HARRIS D, 2013. Econometric modelling with time series: specification, estimation and testing[M]. New York: Cambridge University Press.

MURPHY K P, 2022. Probabilistic machine learning: An introduction[M]. Cambridge: MIT Press.

MURPHY K P, 2023. Probabilistic machine learning: Advanced topics[M]. Cambridge: MIT Press.

NEWEY W K, WEST K D, 1987. A simple, positive semi-definite, heteroskedasticity and autocorrelation consistent covariance matrix[J]. Econometrica, 55(3): 703-708.

PENROSE R, 1955. A generalized inverse for matrices[J]. Mathematical Proceedings of the Cambridge Philosophical Society, 51(3): 406–413.

PESARAN M H, 2006. Estimation and inference in large heterogeneous panels with a multifactor error structure[J]. Econometrica, 74(4): 967-1012.

PÖTSCHER B M, PREINERSTORFER D, 2022. A Modern Gauss-Markov Theorem? Really?[J]. arXiv preprint arXiv:2203.01425.

PUSTEJOVSKY J E, TIPTON E, 2018. Small-sample methods for cluster-robust variance estimation and hypothesis testing in fixed effects models[J]. Journal of Business & Economic Statistics, 36(4): 672-683.

ROBERTS M R, WHITED T M, 2013. Endogeneity in empirical corporate finance[M]//CONSTANTINIDES G M, HARRIS M, STULZ R M. Handbook of the Economics of Finance: 2A. Amsterdam: Elsevier.

RUDIN W, 1976. Principles of mathematical analysis[M]. New York: McGraw-hill.

SERFLING R J, 1980. Approximation theorems of mathematical statistics[M]. New York: John Wiley & Sons.

SHAO J, 2003. Mathematical statistics[M]. 2nd ed. New York: Springer Science & Business Media.

SHAO J, TU D, 1995. The Jackknife and Bootstrap[M]. New York: Springer.

SHAPIRO S S, WILK M B, 1965. An analysis of variance test for normality (complete samples)[J]. Biometrika, 52: 591-611.

STOCK J H, WATSON M W, 2020. Introduction to Econometrics[M]. 4 (Global Edition) ed. New York: Pearson.

STRANG G, 2016. Introduction to linear algebra[M]. 5th ed. Massachusetts: Wellesley-Cambridge Press.

THADEWALD T, BÜNING H, 2007. Jarque–Bera test and its competitors for testing normality–a power comparison[J]. Journal of Applied Statistics, 34(1): 87-105.

VAN DER VAART A W, 2000. Asymptotic statistics[M]. Cambridge: Cambridge university press.

VERBEEK M, 2021. Panel methods for finance: A guide to panel data econometrics for financial applications[M]. Berlin: De Gruyter.

WHITE H, 1980. A heteroskedasticity-consistent covariance matrix estimator and a direct test for heteroskedasticity[J]. Econometrica: 817-838.

WHITE H, 1982. Maximum likelihood estimation of misspecified models[J]. Econometrica: 1-25.

WHITE H, 2001. Asymptotic theory for econometricians[M]. Rev. ed. California: Academic Press.

WHITE H, DOMOWITZ I, 1984. Nonlinear regression with dependent observations[J]. Econometrica: 143-161.

WOOLDRIDGE J M, 2010. Econometric analysis of cross section and panel data[M]. Cambridge: The MIT Press.

WOOLDRIDGE J M, 2019. Introductory econometrics: a modern approach[M]. 7th ed. Boston: Cengage Learning.

WU C F J, 1986. Jackknife, bootstrap and other resampling methods in regression analysis[J]. Annals of Statistics, 14(4): 1261-1295.

XU Q H, CAI Z W, FANG Y, 2016. Panel data models with cross-sectional dependence: A selective review[J]. Applied Mathematics-A Journal of Chinese Universities, 31(2): 127-147.

YEUNG R W, 2002. A first course in information theory[M]. New York: Springer Science & Business Media.

附录

附录 A 矩阵代数

本附录简要地介绍学习计量经济学所需的矩阵知识。由于篇幅限制，我们未给出文中涉及的多数重要结论的证明过程，但是会引用可以提供证明过程的文献供读者参考。矩阵理论是计量经济学、最优化理论、机器学习以及深度学习等课程的最重要数学基础，著名的线性代数教材 Strang (2016) 在前言中写道："The century of data has begun! ..... The truth is that vectors and matrices have become the language to know"，可见向量和矩阵知识的重要性。本附录的写作主要参考了 Calafiore et al. (2014)，此书的特点是突出强调向量和矩阵相关概念以及运算的几何意义，推荐读者进一步阅读此书以便加深理解。[1]

A.1 向量

向量（vector）被定义为由有限个元素组成的列，例如，由 $a_1, \ldots, a_n$ 构成的 $n \times 1$ 维向量表示为：

$$\boldsymbol{a} = \begin{pmatrix} a_1 \\ a_2 \\ \vdots \\ a_n \end{pmatrix}.$$

a_i 称为向量 $\boldsymbol{a}$ 的第 i 个元素（或第 i 个分量）。若 $\boldsymbol{a} \in \mathbb{R}^n$，则 $\boldsymbol{a}$ 可视为 n 维欧氏空间中的一个点，此时，称 a_i 为 $\boldsymbol{a}$ 在第 i 个坐标轴上的坐标。

$\boldsymbol{a}$ 的转置定义为：

$$\boldsymbol{a}' \equiv (a_1, \ldots, a_n),$$

即，由 $a_1, \ldots, a_n$ 构成的 $1 \times n$ 维行向量。本书按照文献中的惯例，在引入向量时将其记为行向量的转置，如，$\boldsymbol{a} = (a_1, \ldots, a_n)'$。

此外，为了体现随机变量与其实现值的区别，本书将随机变量构成的向量用英文正体加粗记号表示，如，$\mathbf{x}$，其每个分量的一个实现值构成的向量则表示为 $\boldsymbol{x}$。当 $n = 1$ 时，称 1×1 维的向量为标量（scalar），本书在使用符号表示标量时不进行加粗处理，如，x（非随机变量）或 x（随机变量）。

令 $\boldsymbol{a}^{(1)} = \left(a_1^{(1)}, \ldots, a_n^{(1)}\right)'$ 和 $\boldsymbol{a}^{(2)} = \left(a_1^{(2)}, \ldots, a_n^{(2)}\right)'$ 同为 $n \times 1$ 维的向量，分别定义 $\boldsymbol{a}^{(1)}$ 与 $\boldsymbol{a}^{(2)}$ 的和与差为：

$$\begin{aligned} \boldsymbol{a}^{(1)} + \boldsymbol{a}^{(2)} &= \left(a_1^{(1)} + a_1^{(2)}, \ldots, a_n^{(1)} + a_n^{(2)}\right)', \\ \boldsymbol{a}^{(1)} - \boldsymbol{a}^{(2)} &= \left(a_1^{(1)} - a_1^{(2)}, \ldots, a_n^{(1)} - a_n^{(2)}\right)'. \end{aligned}$$

令 α 为标量，α 与向量 $\boldsymbol{a} = (a_1, \ldots, a_n)'$ 的数乘定义为：

$$\alpha \boldsymbol{a} = (\alpha a_1, \ldots, \alpha a_n)'.$$

[1] 为了内容的相对完整，本附录会涉及本书正文未涉及的矩阵代数知识，读者可以有选择地阅读。

向量空间是由向量构成的集合，满足对向量加法和数乘运算的封闭性，关于向量空间的详细定义请参考 Horn et al. (2013) 的第 1 页[2]。向量空间的一个常见例子就是 $\mathbb{R}^n$。若向量空间 $\mathcal{X}$ 的非空子集 $\mathcal{V}$ 满足：对任意的标量 α 和 β，

$$\boldsymbol{x},\ \boldsymbol{y} \in \mathcal{V} \quad \Rightarrow \quad \alpha\boldsymbol{x} + \beta\boldsymbol{y} \in \mathcal{V},$$

则称 $\mathcal{V}$ 为 $\mathcal{X}$ 的子空间。注意子空间总是包含 $\mathbf{0}$ 向量的。考虑一组向量构成的集合 $S = \left\{\boldsymbol{x}^{(1)}, \ldots, \boldsymbol{x}^{(m)}\right\}$。将 S 中的向量的所有线性组合构成的集合称为由 S 张成的子空间，记为 $\operatorname{span}(S)$，即，

$$\operatorname{span}(S) \equiv \left\{\alpha_1\boldsymbol{x}^{(1)} + \cdots + \alpha_m\boldsymbol{x}^{(m)} \mid \alpha_1, \ldots, \alpha_m\text{为标量}\right\}.$$

在 $\mathbb{R}^n$ 中，当 $S = \left\{\boldsymbol{x}^{(1)}\right\}$ 时，$\operatorname{span}(S)$ 为沿着 $\boldsymbol{x}^{(1)}$ 的方向并且经过原点的一条直线，如图 A.1 所示；当 $S = \left\{\boldsymbol{x}^{(1)}, \boldsymbol{x}^{(2)}\right\}$ 且 $\boldsymbol{x}^{(1)}$ 与 $\boldsymbol{x}^{(2)}$ 不共线时，$\operatorname{span}(S)$ 为经过原点、$\boldsymbol{x}^{(1)}$ 和 $\boldsymbol{x}^{(2)}$ 的平面，如图 A.2 所示。[3]

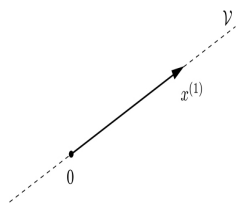

图 A.1: 由 $\boldsymbol{x}^{(1)}$ 张成的子空间

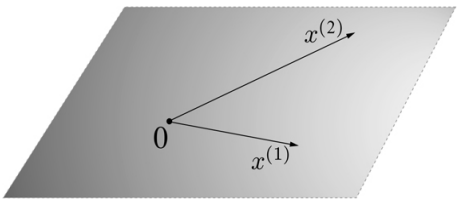

图 A.2: 由 $\boldsymbol{x}^{(1)}$ 和 $\boldsymbol{x}^{(2)}$ 张成的子空间

给定 $\mathbb{R}^n$ 中的两个子空间 $\mathcal{X}$ 和 $\mathcal{Y}$，$\mathcal{X}$ 与 $\mathcal{Y}$ 的直和，记为 $\mathcal{X} \oplus \mathcal{Y}$，定义为：

$$\{\boldsymbol{x} + \boldsymbol{y} \in \mathbb{R}^n \mid \boldsymbol{x} \in \mathcal{X},\ \boldsymbol{y} \in \mathcal{Y}\}.$$

给定向量空间 $\mathcal{X}$ 中的一组向量 $\boldsymbol{x}^{(1)}, \ldots, \boldsymbol{x}^{(m)}$，若满足

$$\sum_{i=1}^{m} \alpha_i\boldsymbol{x}^{(i)} = \mathbf{0} \quad \Rightarrow \quad \boldsymbol{\alpha} = (\alpha_1, \ldots, \alpha_m)' = \mathbf{0},$$

则称 $\boldsymbol{x}^{(1)}, \ldots, \boldsymbol{x}^{(m)}$ 线性独立。对于前文定义的 S，若存在一组向量 $S^* = \left\{\boldsymbol{x}^{(1)}, \ldots, \boldsymbol{x}^{(d)}\right\}$，$d \leqslant m$，使得 $\operatorname{span}(S^*) = \operatorname{span}(S)$ 且 $\boldsymbol{x}^{(1)}, \ldots, \boldsymbol{x}^{(d)}$ 线性独立，则称 $\boldsymbol{x}^{(1)}, \ldots, \boldsymbol{x}^{(d)}$ 为 $\operatorname{span}(S)$ 的一组基，称 d 为 $\operatorname{span}(S)$ 的维度。

与子空间密切相关的概念是仿射集，它本质上是子空间的平移。具体地，令 $\mathcal{V}$ 为 $\mathcal{X}$ 的子空间，由 $\mathcal{V}$ 生成的仿射集 $\mathcal{A}$ 定义为：

$$\mathcal{A} = \left\{\boldsymbol{x} \in \mathcal{X} \mid \boldsymbol{x} = \boldsymbol{v} + \boldsymbol{x}^{(0)},\ \boldsymbol{v} \in \mathcal{V}\right\},$$

其中，$\boldsymbol{x}^{(0)}$ 是给定的 $\mathcal{X}$ 中的点。直线是仿射集的一个例子，经过点 $\boldsymbol{x}_0$ 且与 $\boldsymbol{u}$ 平行的直线可以表示为：

$$\mathcal{L} = \{\boldsymbol{x} \in \mathcal{X} \mid \boldsymbol{x} = \boldsymbol{x}_0 + \lambda\boldsymbol{u},\ \lambda \in \mathbb{R}\}.$$

[2] 事实上，向量空间中的“向量”不仅仅局限于我们这里定义的向量。在现代数学中，任何满足对加法和数乘运算封闭且满足 Horn et al. (2013) 第 1 页列出的其他公理的数学对象都可以被当作是向量处理。例如，$n \times n$ 维实对称阵构成的集合是一个向量空间。

[3] 感谢 Calafiore et al. (2014) 的作者和剑桥出版社提供的图片。

A.2 向量范数和内积

向量范数是欧氏空间中长度概念的推广，本质上向量范数是一个非负的实值函数，其定义如下：

定义 A.1. 向量范数

若从向量空间 $\mathcal{X}$ 到实数域 $\mathbb{R}$ 的一个非负映射 $\|\cdot\|$ 满足如下条件：

1. 正定性：对所有的 $\boldsymbol{x} \in \mathcal{X}$，有 $\|\boldsymbol{x}\| \geqslant 0$；并且，$\|\boldsymbol{x}\| = 0$ 当且仅当 $\boldsymbol{x} = \mathbf{0}$；
2. 齐次性：对所有的 $\boldsymbol{x} \in \mathcal{X}$ 和 $\alpha \in \mathbb{R}$，有 $\|\alpha\boldsymbol{x}\| = |\alpha| \cdot \|\boldsymbol{x}\|$；
3. 三角不等式：对所有的 $\boldsymbol{x}, \boldsymbol{y} \in \mathcal{X}$，有 $\|\boldsymbol{x} + \boldsymbol{y}\| \leqslant \|\boldsymbol{x}\| + \|\boldsymbol{y}\|$，

则称这个映射为向量范数。 ♣

最常用的向量范数为 $\mathcal{X} = \mathbb{R}^n$ 上的 ℓ_p 范数，其定义如下：

$$\|\boldsymbol{x}\|_p \equiv \left(\sum_{k=1}^{n} |x_k|^p\right)^{1/p}, 1 \leqslant p < \infty.$$

当 $p = 2$ 时，向量的 ℓ_2 范数是它的欧氏长度：

$$\|\boldsymbol{x}\|_2 = \sqrt{\sum_{k=1}^{n} x_k^2};$$

当 $p = 1$ 时，向量的 ℓ_1 范数是它的各个元素的绝对值之和：

$$\|\boldsymbol{x}\|_1 = \sum_{k=1}^{n} |x_k|;$$

当 $p \to \infty$ 时，向量的 ℓ_∞ 范数是它的绝对值最大的元素：

$$\|\boldsymbol{x}\|_\infty = \max_{k=1,\ldots,n} |x_k|.$$

除了求和，两个向量之间的另一个基本运算是向量的内积（inner product）：

定义 A.2. 向量内积

向量空间 $\mathcal{X}$ 上的内积是一个实值函数，它将任意一对 $\mathcal{X}$ 中的元素 $\boldsymbol{x}$ 和 $\boldsymbol{y}$ 映射为一个标量，记为 $\langle \boldsymbol{x}, \boldsymbol{y} \rangle$。内积满足如下公理：对任意的 $\boldsymbol{x}, \boldsymbol{y}, \boldsymbol{z} \in \mathcal{X}$ 和标量 α，

1. 非负性：$\langle \boldsymbol{x}, \boldsymbol{x} \rangle \geqslant 0$；
2. 非退化性：$\langle \boldsymbol{x}, \boldsymbol{x} \rangle = 0$ 当且仅当 $\boldsymbol{x} = \mathbf{0}$；
3. 线性：$\langle \alpha\boldsymbol{x}, \boldsymbol{y} \rangle = \alpha\langle \boldsymbol{x}, \boldsymbol{y} \rangle$，$\langle \boldsymbol{x} + \boldsymbol{y}, \boldsymbol{z} \rangle = \langle \boldsymbol{x}, \boldsymbol{z} \rangle + \langle \boldsymbol{y}, \boldsymbol{z} \rangle$；
4. 对称性：$\langle \boldsymbol{x}, \boldsymbol{y} \rangle = \langle \boldsymbol{y}, \boldsymbol{x} \rangle$.

称定义了内积的向量空间为内积空间。 ♣

$\mathbb{R}^n$ 上的标准内积定义为：

$$\langle \boldsymbol{x}, \boldsymbol{y} \rangle = \boldsymbol{x}'\boldsymbol{y} = \sum_{k=1}^{n} x_k y_k.$$

注意到，在一个内积空间中，$\sqrt{\langle \boldsymbol{x}, \boldsymbol{x} \rangle}$ 满足范数的定义，通常将其记为 $\|\boldsymbol{x}\|$。在定义了标

准内积的内积空间 $\mathbb{R}^n$ 中，我们有：

$$\|\boldsymbol{x}\| = \sqrt{\langle \boldsymbol{x}, \boldsymbol{x} \rangle} = \|\boldsymbol{x}\|_2.$$

令 $\boldsymbol{x}$，$\boldsymbol{y} \in \mathbb{R}^n$ 为两个非 $\mathbf{0}$ 向量，它们之间夹角 θ 的余弦为：[4]

$$\cos\theta = \frac{\boldsymbol{x}'\boldsymbol{y}}{\|\boldsymbol{x}\|_2\|\boldsymbol{y}\|_2}.$$

当 $\boldsymbol{x}'\boldsymbol{y} = 0$ 时，$\cos\theta = 0$，此时称这两个向量正交。因为 $|\cos\theta| \leqslant 1$，我们有：

定理 A.1. 柯西-施瓦茨不等式

对任意的 $\boldsymbol{x}$，$\boldsymbol{y} \in \mathbb{R}^n$，

$$|\boldsymbol{x}'\boldsymbol{y}| \leqslant \|\boldsymbol{x}\|_2\|\boldsymbol{y}\|_2.$$

一般地，令 $\boldsymbol{x}$，$\boldsymbol{y} \in \mathcal{X}$，

$$|\langle \boldsymbol{x}, \boldsymbol{y} \rangle| \leqslant \|\boldsymbol{x}\|\|\boldsymbol{y}\|.$$

上面两个式子都在 $\boldsymbol{x}$ 与 $\boldsymbol{y}$ 共线时取等号。

对于 n 维随机向量 $\mathbf{x}$ 和 $\mathbf{y}$，若将它们的内积定义为：

$$\langle \mathbf{x}, \mathbf{y} \rangle = \mathbb{E}(|\mathbf{x}'\mathbf{y}|),$$

则有概率论版本的柯西-施瓦茨不等式：

$$\mathbb{E}(|\mathbf{x}'\mathbf{y}|) \leqslant \left(\mathbb{E}\|\mathbf{x}\|^2\right)^{1/2}\left(\mathbb{E}\|\mathbf{y}\|^2\right)^{1/2}. \tag{A.1}$$

A.3 正交与正交补

前文提到的正交概念可以推广到一般的内积空间：如果内积空间 $\mathcal{X}$ 中的两个向量 $\boldsymbol{x}$ 和 $\boldsymbol{y}$ 满足 $\langle \boldsymbol{x}, \boldsymbol{y} \rangle = 0$，则称 $\boldsymbol{x}$ 与 $\boldsymbol{y}$ 正交，记为 $\boldsymbol{x} \perp \boldsymbol{y}$。考虑 d 个非零向量 $\boldsymbol{x}^{(1)}, \ldots, \boldsymbol{x}^{(d)}$，如果对任意的 $1 \leqslant i \neq j \leqslant d$，有 $\boldsymbol{x}^{(i)} \perp \boldsymbol{x}^{(j)}$，则称 $\boldsymbol{x}^{(1)}, \ldots, \boldsymbol{x}^{(d)}$ 是相互正交的。可以证明（见 Calafiore et al. (2014) 的命题 2.1）：相互正交的向量是线性独立的。

令 S 是由一组向量构成的集合，即，$S = \left\{\boldsymbol{x}^{(1)}, \ldots, \boldsymbol{x}^{(d)}\right\}$，若这组向量满足：对任意的 $1 \leqslant i$，$j \leqslant d$，

$$\left\langle \boldsymbol{x}^{(i)}, \boldsymbol{x}^{(j)} \right\rangle = \begin{cases} 0 & \text{如果 } i \neq j, \\ 1 & \text{如果 } i = j, \end{cases}$$

则称 S 为标准正交向量组。

令 $\mathcal{S} \subseteq \mathcal{X}$，若向量 $\boldsymbol{x} \in \mathcal{X}$ 满足：对任意的 $\boldsymbol{s} \in \mathcal{S}$，$\boldsymbol{x} \perp \boldsymbol{s}$，则称 $\boldsymbol{x}$ 与 $\mathcal{S}$ 正交。$\mathcal{X}$ 中所有与 $\mathcal{S}$ 正交的向量构成的集合称为 $\mathcal{S}$ 的正交补，记为 $\mathcal{S}^{\perp}$。容易验证 $\mathcal{S} \cap \mathcal{S}^{\perp} = \mathbf{0}$。如果对任意的 $\boldsymbol{x} \in \mathcal{X}$，存在唯一的方式将 $\boldsymbol{x}$ 表示为 $\boldsymbol{x} = \boldsymbol{a} + \boldsymbol{b}$，其中，$\boldsymbol{a} \in \mathcal{A}$，$\boldsymbol{b} \in \mathcal{B}$，$\mathcal{A}$ 和 $\mathcal{B}$ 为两个子空间，则称 $\mathcal{X}$ 为 $\mathcal{A}$ 和 $\mathcal{B}$ 的直和，记为 $\mathcal{X} = \mathcal{A} \oplus \mathcal{B}$。子空间和其正交补具有如下性质（证明见 Calafiore et al. (2014) 的定理 2.1）：

[4] 在直角坐标系下的证明过程请见 Calafiore et al. (2014) 的第 32 页。

定理 A.2. 正交分解定理

若 $\mathcal{S}$ 是内积空间 $\mathcal{X}$ 的一个子空间，则有：

$$\mathcal{X} = \mathcal{S} \oplus \mathcal{S}^{\perp}.$$

♡

A.4 矩阵

矩阵是由数字构成的矩形阵列，例如，一个包含 m 行和 n 列的矩阵可以表示为：

$$\boldsymbol{A} = \begin{bmatrix} a_{11} & a_{12} & \cdots & a_{1n} \\ a_{21} & a_{22} & \cdots & a_{2n} \\ \vdots & \vdots & \ddots & \vdots \\ a_{m1} & a_{m2} & \cdots & a_{mn} \end{bmatrix}.$$

若 $\boldsymbol{A}$ 中的元素都为实数，则记为 $\boldsymbol{A} \in \mathbb{R}^{m\times n}$。矩阵 $\boldsymbol{A}$ 的第 i 行和第 j 列位置上的元素记为 $[\boldsymbol{A}]_{ij}$，并将其称为 $\boldsymbol{A}$ 的第 (i,j) 位置上的元素。在上述例子中，$[\boldsymbol{A}]_{ij} = a_{ij}$。矩阵 $\boldsymbol{A}$ 的转置 $\boldsymbol{A}'$ 定义为：

$$[\boldsymbol{A}']_{ij} \equiv [\boldsymbol{A}]_{ji},$$

即，矩阵 $\boldsymbol{A}$ 的转置是将其行和列进行调换得到的矩阵。若 $\boldsymbol{A} \in \mathbb{R}^{m\times n}$，则 $\boldsymbol{A}' \in \mathbb{R}^{n\times m}$。

两个 $m \times n$ 维矩阵 $\boldsymbol{A}$ 与 $\boldsymbol{B}$ 的和定义为 $m \times n$ 维矩阵，其第 (i,j) 位置上的元素是：

$$[\boldsymbol{A} + \boldsymbol{B}]_{ij} = [\boldsymbol{A}]_{ij} + [\boldsymbol{B}]_{ij}.$$

矩阵 $\boldsymbol{A}$ 与标量 α 的数乘定义为 $m \times n$ 维矩阵，其第 (i,j) 位置上的元素是：

$$[\alpha\boldsymbol{A}]_{ij} = \alpha \cdot [\boldsymbol{A}]_{ij}.$$

有了加法和数乘的定义，可以将 $\mathbb{R}^{m\times n}$ 视为向量空间。

令 $\boldsymbol{A} \in \mathbb{R}^{m\times n}$，$\boldsymbol{B} \in \mathbb{R}^{n\times q}$，矩阵 $\boldsymbol{A}$ 和 $\boldsymbol{B}$ 的乘积 $\boldsymbol{AB}$ 为 $m \times q$ 维矩阵，其第 (i,j) 位置上的元素是：

$$[\boldsymbol{AB}]_{ij} = \sum_{k=1}^{n} [\boldsymbol{A}]_{ik} \cdot [\boldsymbol{B}]_{kj}.$$

一般情况下，矩阵乘积不满足交换律，即，$\boldsymbol{AB} \neq \boldsymbol{BA}$。此外，两个矩阵乘积的转置满足：

$$(\boldsymbol{AB})' = \boldsymbol{B}'\boldsymbol{A}'.$$

令 $\boldsymbol{A} \in \mathbb{R}^{m\times n}$，当 $m = n$ 时，矩阵 $\boldsymbol{A}$ 称为 n 阶方阵。最常用的 n 阶方阵为 n 阶单位阵，记为 $\mathbf{I}_n$，其主对角线上的元素都为 1，其余位置上的元素都为 0。单位阵在矩阵运算中扮演着 1 在实数运算中的角色。例如，$\boldsymbol{A}\mathbf{I}_n = \boldsymbol{A}$。

将 $\boldsymbol{A} \in \mathbb{R}^{m\times n}$ 视为由 n 个列向量组成或由 m 个行向量组成有助于理解特定的矩阵运算。具体地，若将 $\boldsymbol{A}$ 理解为由 n 个列向量组成，则 $\boldsymbol{A}$ 可以表示为：

$$\boldsymbol{A} = \begin{bmatrix} \boldsymbol{a}_1 & \boldsymbol{a}_2 & \cdots & \boldsymbol{a}_n \end{bmatrix},$$

其中，$\boldsymbol{a}_1,\ldots,\boldsymbol{a}_n \in \mathbb{R}^m$；若将 $\boldsymbol{A}$ 理解为由 m 个行向量组成，则 $\boldsymbol{A}$ 可以表示为：

$$\boldsymbol{A} = \begin{bmatrix} \boldsymbol{\alpha}_1' \\ \boldsymbol{\alpha}_2' \\ \vdots \\ \boldsymbol{\alpha}_m' \end{bmatrix},$$

其中，$\boldsymbol{\alpha}_1,\ldots,\boldsymbol{\alpha}_m \in \mathbb{R}^n$，$\boldsymbol{\alpha}_i'$ 表示 $\boldsymbol{A}$ 的第 i 行，$1 \leqslant i \leqslant m$。利用上述两种表示矩阵的方式，我们可以通过以下三种不同的方式理解矩阵乘积：

- 将 $\boldsymbol{AB}$ 看作 $\boldsymbol{A}$ 与 $\boldsymbol{B}$ 的各列相乘：

$$\boldsymbol{AB} = \boldsymbol{A}\begin{bmatrix} \boldsymbol{b}_1 & \ldots & \boldsymbol{b}_q \end{bmatrix} = \begin{bmatrix} \boldsymbol{Ab}_1 & \ldots & \boldsymbol{Ab}_q \end{bmatrix}.$$

- 将 $\boldsymbol{AB}$ 看作 $\boldsymbol{A}$ 的各行与 $\boldsymbol{B}$ 相乘：

$$\boldsymbol{AB} = \begin{bmatrix} \boldsymbol{\alpha}_1' \\ \boldsymbol{\alpha}_2' \\ \vdots \\ \boldsymbol{\alpha}_m' \end{bmatrix}\boldsymbol{B} = \begin{bmatrix} \boldsymbol{\alpha}_1'\boldsymbol{B} \\ \boldsymbol{\alpha}_2'\boldsymbol{B} \\ \vdots \\ \boldsymbol{\alpha}_m'\boldsymbol{B} \end{bmatrix}.$$

- 将 $\boldsymbol{AB}$ 看作秩为 1 的矩阵之和：

$$\boldsymbol{AB} = \begin{bmatrix} \boldsymbol{a}_1 & \boldsymbol{a}_2 & \cdots & \boldsymbol{a}_n \end{bmatrix}\begin{bmatrix} \boldsymbol{\beta}_1' \\ \boldsymbol{\beta}_2' \\ \vdots \\ \boldsymbol{\beta}_n' \end{bmatrix} = \sum_{i=1}^{n} \boldsymbol{a}_i\boldsymbol{\beta}_i',$$

  其中，$\boldsymbol{\beta}_i'$ 是 $\boldsymbol{B}$ 的第 i 行。

此外，矩阵 $\boldsymbol{A} \in \mathbb{R}^{m\times n}$ 与向量 $\boldsymbol{b} \in \mathbb{R}^n$ 的乘积可以表示为：

$$\boldsymbol{Ab} = \begin{bmatrix} \boldsymbol{a}_1 & \boldsymbol{a}_2 & \cdots & \boldsymbol{a}_n \end{bmatrix}\begin{bmatrix} b_1 & b_2 & \cdots & b_n \end{bmatrix}' = \sum_{k=1}^{n} \boldsymbol{a}_k b_k.$$

上式表明，$\boldsymbol{Ab}$ 是 $\boldsymbol{A}$ 的列向量的线性组合，$\boldsymbol{b}$ 中的元素是此线性组合中 $\boldsymbol{A}$ 的各列的系数。同理，矩阵 $\boldsymbol{A} \in \mathbb{R}^{m\times n}$ 左乘 $\boldsymbol{c} \in \mathbb{R}^m$ 的转置可以表示为：

$$\boldsymbol{c}'\boldsymbol{A} = \sum_{j=1}^{m} c_j\boldsymbol{\alpha}_j'.$$

上式表明，$\boldsymbol{c}'\boldsymbol{A}$ 是 $\boldsymbol{A}$ 的行向量的线性组合，$\boldsymbol{c}$ 中的元素是此线性组合中 $\boldsymbol{A}$ 的各行的系数。

对于 n 阶方阵 $\boldsymbol{A}$，$\boldsymbol{A}$ 的迹，记为 $\operatorname{tr}\boldsymbol{A}$，定义为 $\boldsymbol{A}$ 的主对角线上的元素之和。令 $\boldsymbol{A} \in \mathbb{R}^{m\times n}$，$\boldsymbol{B} \in \mathbb{R}^{n\times m}$，迹的运算满足：

$$\operatorname{tr}\boldsymbol{AB} = \operatorname{tr}\boldsymbol{BA}. \tag{A.2}$$

更一般地，令 $\boldsymbol{A} \in \mathbb{R}^{m\times n}$，$\boldsymbol{B} \in \mathbb{R}^{n\times q}$，$\boldsymbol{C} \in \mathbb{R}^{q\times m}$，迹的运算满足：

$$\operatorname{tr}\boldsymbol{ABC} = \operatorname{tr}\boldsymbol{BCA} = \operatorname{tr}\boldsymbol{CAB}. \tag{A.3}$$

此外，迹还满足如下性质：

$$\begin{aligned} \operatorname{tr}(c\boldsymbol{A}) &= c\operatorname{tr}(\boldsymbol{A}), \\ \operatorname{tr}(\boldsymbol{A}') &= \operatorname{tr}(\boldsymbol{A}), \end{aligned}$$

$$\operatorname{tr}(\boldsymbol{A}+\boldsymbol{B}) \quad = \quad \operatorname{tr}(\boldsymbol{A})+\operatorname{tr}(\boldsymbol{B}). \tag{A.4}$$

矩阵 $\boldsymbol{A} \in \mathbb{R}^{m\times n}$ 的值域（range）定义为：

$$\mathcal{R}(\boldsymbol{A}) = \{\boldsymbol{A}\boldsymbol{x} \mid \boldsymbol{x} \in \mathbb{R}^n\}.$$

根据此定义，矩阵的值域是其列向量张成的子空间。称值域 $\mathcal{R}(\boldsymbol{A})$ 的维度为 $\boldsymbol{A}$ 的秩，记为 $\operatorname{rank}(\boldsymbol{A})$。由子空间维度的定义，矩阵 $\boldsymbol{A}$ 的秩等于其线性独立的列的个数。可以证明（见 Abadir et al. (2005) 的 Exercise 4.5），矩阵 $\boldsymbol{A}$ 的秩也等于其线性独立的行的个数，即，$\operatorname{rank}(\boldsymbol{A}) = \operatorname{rank}(\boldsymbol{A}')$。于是，$0 \leqslant \operatorname{rank}(\boldsymbol{A}) \leqslant \min(m,n)$。若 $\operatorname{rank}(\boldsymbol{A}) = n$，称 $\boldsymbol{A}$ 为列满秩；若 $\operatorname{rank}(\boldsymbol{A}) = m$，称 $\boldsymbol{A}$ 为行满秩。矩阵 $\boldsymbol{A}$ 的零空间（null space）定义为：

$$\mathcal{N}(\boldsymbol{A}) = \{\boldsymbol{x} \in \mathbb{R}^n \mid \boldsymbol{A}\boldsymbol{x} = \boldsymbol{0}\}.$$

线性代数基本定理建立了矩阵的零空间和其转置的值域之间的联系：（证明过程请参考 Calafiore et al. (2014) 的第 63 页）

定理 A.3. 线性代数基本定理

对任意给定的矩阵 $\boldsymbol{A} \in \mathbb{R}^{m\times n}$，$\mathcal{N}(\boldsymbol{A})^{\perp} = \mathcal{R}(\boldsymbol{A}')$，$\mathcal{R}(\boldsymbol{A})^{\perp} = \mathcal{N}(\boldsymbol{A}')$，因此，

$$\begin{aligned}\mathcal{N}(\boldsymbol{A}) \oplus \mathcal{R}(\boldsymbol{A}') &= \mathbb{R}^n,\\ \mathcal{R}(\boldsymbol{A}) \oplus \mathcal{N}(\boldsymbol{A}') &= \mathbb{R}^m,\end{aligned}$$

并且，

$$\begin{aligned}\dim \mathcal{N}(\boldsymbol{A}) + \operatorname{rank}(\boldsymbol{A}) &= n,\\ \dim \mathcal{N}(\boldsymbol{A}') + \operatorname{rank}(\boldsymbol{A}) &= m,\end{aligned}$$

其中，$\dim \mathcal{S}$ 表示子空间 $\mathcal{S}$ 的维度。 ♡

A.5 具有特殊结构的矩阵

对称矩阵

令 $\boldsymbol{A}$ 是 n 阶方阵，若满足 $[\boldsymbol{A}]_{ij} = [\boldsymbol{A}]_{ji}$，$1 \leqslant i,j \leqslant n$，则称 $\boldsymbol{A}$ 为 n 阶对称矩阵。显然，对称矩阵 $\boldsymbol{A}$ 满足 $\boldsymbol{A} = \boldsymbol{A}'$。

对角矩阵

令 $\boldsymbol{A}$ 是 n 阶方阵，若满足 $[\boldsymbol{A}]_{ij} = 0$，$1 \leqslant i \neq j \leqslant n$，则称 $\boldsymbol{A}$ 为 n 阶对角矩阵。若 $\boldsymbol{A}$ 的主对角线上的元素构成的向量为 $\boldsymbol{a} = (a_{11},\ldots,a_{nn})'$，则 $\boldsymbol{A}$ 常表示为 $\operatorname{diag}(\boldsymbol{a})$。

三角矩阵

若 n 阶方阵的主对角线以上元素都为 0，则称此类方阵为下三角矩阵；若 n 阶方阵的主对角线以下元素都为 0，则称此类方阵为上三角矩阵。

正交矩阵

令 $\boldsymbol{U} = \begin{bmatrix} \boldsymbol{u}_1 & \dots & \boldsymbol{u}_n \end{bmatrix}$ 是 n 阶方阵，若 $\boldsymbol{u}_1, \dots, \boldsymbol{u}_n$ 构成 $\mathbb{R}^n$ 的一组标准正交基，即，

$$\boldsymbol{u}_i'\boldsymbol{u}_j = \begin{cases} 1 & \text{如果 } i = j, \\ 0 & \text{如果 } i \neq j, \end{cases}$$

则称 $\boldsymbol{U}$ 为正交矩阵。显然，正交矩阵 $\boldsymbol{U}$ 满足 $\boldsymbol{U}'\boldsymbol{U} = \boldsymbol{U}\boldsymbol{U}' = \mathbf{I}_n$。

向量左乘正交矩阵可以保持范数不变，事实上，对任意的 $\boldsymbol{x} \in \mathbb{R}^n$，

$$\|\boldsymbol{U}\boldsymbol{x}\|_2^2 = (\boldsymbol{U}\boldsymbol{x})'(\boldsymbol{U}\boldsymbol{x}) = \boldsymbol{x}'\boldsymbol{U}'\boldsymbol{U}\boldsymbol{x} = \boldsymbol{x}'\boldsymbol{x} = \|\boldsymbol{x}\|_2^2.$$

此外，左乘正交矩阵还可以保持两个向量之间的夹角不变。令 $\boldsymbol{x}$，$\boldsymbol{y} \in \mathbb{R}^n$，

$$(\boldsymbol{U}\boldsymbol{x})'(\boldsymbol{U}\boldsymbol{y}) = \boldsymbol{x}'\boldsymbol{U}'\boldsymbol{U}\boldsymbol{y} = \boldsymbol{x}'\boldsymbol{y}.$$

于是，$\boldsymbol{U}\boldsymbol{x}$ 和 $\boldsymbol{U}\boldsymbol{y}$ 之间的夹角 θ^* 的余弦为：

$$\cos\theta^* = \frac{\boldsymbol{U}\boldsymbol{x}'\boldsymbol{U}\boldsymbol{y}}{\|\boldsymbol{U}\boldsymbol{x}\|_2\|\boldsymbol{U}\boldsymbol{y}\|_2} = \cos\theta.$$

幂等矩阵

如果 n 阶方阵 $\boldsymbol{A}$ 满足 $\boldsymbol{A}^2 = \boldsymbol{A}$，则称 $\boldsymbol{A}$ 为幂等矩阵。例如，本书正文第二章提到的投影矩阵 $\mathbf{P}_{\mathbf{X}} = \mathbf{X}\left(\mathbf{X}'\mathbf{X}\right)^{-1}\mathbf{X}'$ 是幂等矩阵。同时，$\mathbf{P}_{\mathbf{X}}$ 也是对称矩阵。但是，并非所有的幂等矩阵都是对称矩阵，例如：考虑

$$\boldsymbol{A} = \begin{pmatrix} 1 & 0 \\ 1 & 0 \end{pmatrix},$$

容易验证 $\boldsymbol{A}$ 是非对称的幂等矩阵。

并矢矩阵（向量的直积）

若 $\mathbb{R}^{m\times n}$ 中的矩阵 $\boldsymbol{A}$ 可以表示为 $\boldsymbol{A} = \boldsymbol{u}\boldsymbol{v}'$，其中，$\boldsymbol{u} \in \mathbb{R}^m$，$\boldsymbol{v} \in \mathbb{R}^n$，则称 $\boldsymbol{A}$ 为并矢矩阵或向量的直积。注意到 $[\boldsymbol{A}]_{ij} = u_i v_j$，因此，并矢矩阵的每一行是其他行的缩放，缩放比例由 $\boldsymbol{u}$ 确定；它的每一列是其他列的缩放，缩放比例由 $\boldsymbol{v}$ 确定。事实上（以行为例），$\boldsymbol{A}$ 的第 i 和第 j 行分别为 $u_i \cdot (v_1, \dots, v_n)$ 和 $u_j \cdot (v_1, \dots, v_n)$，于是，$\boldsymbol{A}$ 的第 j 行可以表示为它的第 i 行乘以 u_j/u_i。

此外，并矢矩阵 $\boldsymbol{A}$ 的值域为一条直线，这是因为：对于任意输入向量 $\boldsymbol{x} \in \mathbb{R}^n$，

$$\boldsymbol{A}\boldsymbol{x} = (\boldsymbol{u}\boldsymbol{v}')\boldsymbol{x} = (\boldsymbol{v}'\boldsymbol{x})\boldsymbol{u}.$$

从上式可以看出，$\boldsymbol{A}$ 的值域是由 $\boldsymbol{u}$ 张成的直线。因为直线的维度是 1，所以 $\operatorname{rank}(\boldsymbol{A}) = 1$。

A.6 矩阵范数

与向量范数类似，矩阵范数的定义如下：

定义 A.3.（广义）矩阵范数

若从 $\mathbb{R}^{m\times n}$ 到实数域 $\mathbb{R}$ 的一个非负映射 $\|\cdot\|$ 满足如下条件：

1. 正定性：对所有的 $\boldsymbol{A}\in\mathbb{R}^{m\times n}$，有 $\|\boldsymbol{A}\|\geqslant 0$；并且，$\|\boldsymbol{A}\|=0$ 当且仅当 $\boldsymbol{A}=\boldsymbol{0}$；
2. 齐次性：对所有的 $\boldsymbol{A}\in\mathbb{R}^{m\times n}$ 和 $\alpha\in\mathbb{R}$，有 $\|\alpha\boldsymbol{A}\|=|\alpha|\cdot\|\boldsymbol{A}\|$；
3. 三角不等式：对所有的 $\boldsymbol{A}$，$\boldsymbol{B}\in\mathbb{R}^{m\times n}$，有 $\|\boldsymbol{A}+\boldsymbol{B}\|\leqslant\|\boldsymbol{A}\|+\|\boldsymbol{B}\|$，

则称这个映射为广义矩阵范数。

若 $m=n$，并且广义矩阵范数 $\|\cdot\|$ 还满足如下性质：

4. 次可乘性：$\|\boldsymbol{AB}\|\leqslant\|\boldsymbol{A}\|\cdot\|\boldsymbol{B}\|$，

则称 $\|\cdot\|$ 为矩阵范数。 ♣

向量的 ℓ_p 范数可以容易地推广到矩阵的 ℓ_p 范数，常用的是 $p=1,2$ 的情形：

- 矩阵 $\boldsymbol{A}\in\mathbb{R}^{m\times n}$ 的 ℓ_1 范数定义为：
$$\|\boldsymbol{A}\|_1=\sum_{i=1}^{m}\sum_{j=1}^{n}|a_{ij}|,$$
即，$\|\boldsymbol{A}\|_1$ 为 $\boldsymbol{A}$ 中所有元素的绝对值之和。
- 矩阵 $\boldsymbol{A}\in\mathbb{R}^{m\times n}$ 的 ℓ_2 范数称为 Frobenius 范数，其定义为：
$$\|\boldsymbol{A}\|_F=\sqrt{\operatorname{tr}(\boldsymbol{AA}')}=\sqrt{\sum_{i,j}a_{ij}^2}, \tag{A.5}$$
即，$\|\boldsymbol{A}\|_F$ 为 $\boldsymbol{A}$ 中所有元素的平方和开根号。显然，矩阵的 Frobenius 范数是向量 ℓ_2 范数的一个自然推广。本书提到矩阵范数时如无特殊说明都是指矩阵的 Frobenius 范数，并简单地记为 $\|\boldsymbol{A}\|$。

矩阵的 Frobenius 范数具有正交不变性，即，对任意的正交矩阵 $\boldsymbol{U}\in\mathbb{R}^{m\times m}$ 和 $\boldsymbol{V}\in\mathbb{R}^{n\times n}$，
$$\|\boldsymbol{UAV}\|_F^2=\operatorname{tr}(\boldsymbol{UAVV}'\boldsymbol{A}'\boldsymbol{U}')=\operatorname{tr}(\boldsymbol{AA}')=\|\boldsymbol{A}\|_F^2.$$
令 $\boldsymbol{A}$ 的行为 $\boldsymbol{\alpha}_1',\ldots,\boldsymbol{\alpha}_m'$，则有：
$$\|\boldsymbol{A}\|_F^2=\sum_{i=1}^{m}\|\boldsymbol{\alpha}_i'\|_2^2.$$
因此，对任意的 $\boldsymbol{x}\in\mathbb{R}^n$，有：
$$\|\boldsymbol{Ax}\|_2^2=\sum_{i=1}^{m}|\boldsymbol{\alpha}_i'\boldsymbol{x}|^2\leqslant\sum_{i=1}^{m}\|\boldsymbol{\alpha}_i'\|_2^2\|\boldsymbol{x}\|_2^2=\|\boldsymbol{A}\|_F^2\|\boldsymbol{x}\|_2^2,$$
其中，不等号成立用到了柯西-施瓦茨不等式。上式意味着：
$$\|\boldsymbol{Ax}\|_2\leqslant\|\boldsymbol{A}\|_F\|\boldsymbol{x}\|_2. \tag{A.6}$$
式 (A.6) 称为 Frobenius 范数与向量范数是相容的，利用这一结果可以验证矩阵的 Frobenius 范数满足次可乘性：令 $\boldsymbol{B}\in\mathbb{R}^{n\times q}$，并将 $\boldsymbol{B}$ 记为 $\begin{bmatrix}\boldsymbol{b}_1 & \ldots & \boldsymbol{b}_q\end{bmatrix}$，则有：
$$\|\boldsymbol{AB}\|_F^2=\sum_{j=1}^{q}\|\boldsymbol{Ab}_j\|_2^2\leqslant\sum_{j=1}^{q}\|\boldsymbol{A}\|_F^2\|\boldsymbol{b}_j\|_2^2=\|\boldsymbol{A}\|_F^2\|\boldsymbol{B}\|_F^2.$$

除了上述矩阵的 ℓ_p 范数之外，还可以定义矩阵的算子范数，算子范数是由向量范数诱导出的矩阵范数。

定义 A.4. 算子范数

设 $\|\cdot\|_\delta$ 和 $\|\cdot\|_\gamma$ 分别是向量空间 $\mathbb{R}^n$ 和 $\mathbb{R}^m$ 上的向量范数。由下式定义的非负实值函数 $\|\cdot\|_{\gamma\delta}:\mathbb{R}^{m\times n}\to\mathbb{R}$:

$$\|\boldsymbol{A}\|_{\gamma\delta}=\max_{\boldsymbol{u}\neq\boldsymbol{0}}\frac{\|\boldsymbol{A}\boldsymbol{u}\|_\gamma}{\|\boldsymbol{u}\|_\delta}=\max_{\|\boldsymbol{u}\|_\delta=1}\|\boldsymbol{A}\boldsymbol{u}\|_\gamma$$

称为由向量范数 $\|\cdot\|_\delta$ 和 $\|\cdot\|_\gamma$ 诱导的广义矩阵范数，也称为算子范数。若 $\|\cdot\|_\delta$ 和 $\|\cdot\|_\gamma$ 都取为相应向量空间上的 ℓ_p 范数，则称算子范数为矩阵的 p 范数。 ♣

根据算子范数的定义，它满足如下性质:

$$\|\boldsymbol{A}\boldsymbol{u}\|_\gamma\leqslant\|\boldsymbol{A}\|_{\gamma\delta}\|\boldsymbol{u}\|_\delta,$$

此性质称为 $\|\cdot\|_{\gamma\delta}$ 与 $\|\cdot\|_\delta$ 和 $\|\cdot\|_\gamma$ 是相容的。

常用的矩阵 p 范数有:

- 1 范数：由向量的 ℓ_1 范数诱导的算子范数:

$$\|\boldsymbol{A}\|_1=\max_{\|\boldsymbol{u}\|_1=1}\|\boldsymbol{A}\boldsymbol{u}\|_1.$$

- 2 范数：由向量的 ℓ_2 范数诱导的算子范数:

$$\|\boldsymbol{A}\|_2=\max_{\|\boldsymbol{u}\|_2=1}\|\boldsymbol{A}\boldsymbol{u}\|_2.$$

- ∞ 范数：由向量的 ℓ_∞ 范数诱导的算子范数:

$$\|\boldsymbol{A}\|_\infty=\max_{\|\boldsymbol{u}\|_\infty=1}\|\boldsymbol{A}\boldsymbol{u}\|_\infty.$$

可以证明:（见陈公宁 (2007) 的定理 4）

$$\begin{aligned}\|\boldsymbol{A}\|_1 &= \max_{j=1,\ldots,n}\sum_{i=1}^m|a_{ij}|,\quad \|\boldsymbol{A}\|_\infty=\max_{i=1,\ldots,m}\sum_{j=1}^n|a_{ij}|,\\ \|\boldsymbol{A}\|_2 &= \sqrt{\lambda_{\max}(\boldsymbol{A}'\boldsymbol{A})},\end{aligned}$$

其中，$\lambda_{\max}(\cdot)$ 表示矩阵的最大特征值[5]，注意到矩阵 $\boldsymbol{A}'\boldsymbol{A}$ 的特征值是 $\boldsymbol{A}$ 的奇异值的平方[6]，因此，矩阵的 2 范数是该矩阵的最大奇异值。矩阵的 2 范数也称为矩阵的谱（spectral）范数。

与矩阵的 Frobenius 范数密切相关的概念是矩阵的 Frobenius 内积：令 $\boldsymbol{A}$, $\boldsymbol{B}\in\mathbb{R}^{m\times n}$，$\boldsymbol{A}$ 与 $\boldsymbol{B}$ 的 Frobenius 内积定义为:

$$\langle\boldsymbol{A},\boldsymbol{B}\rangle\equiv\operatorname{tr}\left(\boldsymbol{A}\boldsymbol{B}'\right)=\sum_{i=1}^m\sum_{j=1}^n a_{ij}b_{ij}. \tag{A.7}$$

当 $\boldsymbol{A}=\boldsymbol{B}$ 时，$\langle\boldsymbol{A},\boldsymbol{B}\rangle$ 为 $\boldsymbol{A}$ 的 Frobenius 范数的平方。矩阵的内积也有对应的柯西-施瓦茨不等式：令 $\boldsymbol{A}$, $\boldsymbol{B}\in\mathbb{R}^{m\times n}$

$$|\langle\boldsymbol{A},\boldsymbol{B}\rangle|\leqslant\|\boldsymbol{A}\|_F\|\boldsymbol{B}\|_F,$$

当且仅当 $\boldsymbol{A}$ 和 $\boldsymbol{B}$ 线性相关时，上式可以取到等号。

[5] 见下一小节中关于特征值的定义。

[6] 见 A.13 中关于奇异值的定义。

A.7 行列式、特征值和特征向量

任意矩阵 $\boldsymbol{A} \in \mathbb{R}^{m\times n}$ 都可以看作是从 $\mathbb{R}^n$ 到 $\mathbb{R}^m$ 的线性映射，这是因为对任意的 $\boldsymbol{x} \in \mathbb{R}^n$，$\boldsymbol{x} \longmapsto \boxed{\boldsymbol{A}} \longmapsto \boldsymbol{A}\boldsymbol{x} \in \mathbb{R}^m$；并且，

$$\boldsymbol{A}(\alpha\boldsymbol{x} + \beta\boldsymbol{y}) = \alpha\boldsymbol{A}\boldsymbol{x} + \beta\boldsymbol{A}\boldsymbol{y},$$

其中，α, β 是标量，$\boldsymbol{y} \in \mathbb{R}^n$，即，$\boldsymbol{A}(\boldsymbol{x}) \equiv \boldsymbol{A}\boldsymbol{x}$ 是线性映射。若 $\boldsymbol{A}$ 为 n 阶方阵，则它可以看作是 $\mathbb{R}^n$ 到其自身的线性映射。

为了介绍特征值等概念及其几何意义，本节先考虑 $\mathbb{R}^n$ 中过原点的直线经过 n 阶方阵 $\boldsymbol{A}$ 映射之后的效果。具体地，令 $\boldsymbol{u}$ 是 $\mathbb{R}^n$ 中的非零向量，过原点和 $\boldsymbol{u}$ 的直线记为：

$$\mathcal{L}_{\boldsymbol{u}} = \{\boldsymbol{x} = \alpha\boldsymbol{u} \mid \alpha \in \mathbb{R}\}.$$

对直线 $\mathcal{L}_{\boldsymbol{u}}$ 上的任意一点 $\boldsymbol{x}$，经过 $\boldsymbol{A}$ 映射之后得到：

$$\boldsymbol{y} = \boldsymbol{A}\boldsymbol{x} = \alpha\boldsymbol{A}\boldsymbol{u}.$$

关于 $\boldsymbol{y}$ 的长度，我们有如下结论：

$$\|\boldsymbol{y}\|_2 = \|\boldsymbol{A}\boldsymbol{x}\|_2 = |\alpha|\|\boldsymbol{A}\boldsymbol{u}\|_2 = \frac{\|\boldsymbol{A}\boldsymbol{u}\|_2}{\|\boldsymbol{u}\|_2}|\alpha|\|\boldsymbol{u}\|_2 = \gamma_{\boldsymbol{u}}\|\boldsymbol{x}\|_2,$$

其中，$\gamma_{\boldsymbol{u}} = \|\boldsymbol{A}\boldsymbol{u}\|_2/\|\boldsymbol{u}\|_2$。类似地，$\boldsymbol{y}$ 与 $\boldsymbol{x}$ 之间夹角 $\theta_{\boldsymbol{u}}$ 的余弦为：

$$\cos\theta_{\boldsymbol{u}} = \frac{\boldsymbol{y}'\boldsymbol{x}}{\|\boldsymbol{x}\|_2\|\boldsymbol{y}\|_2} = \frac{\boldsymbol{x}'\boldsymbol{A}'\boldsymbol{x}}{\|\boldsymbol{x}\|_2\|\boldsymbol{y}\|_2} = \frac{\boldsymbol{u}'\boldsymbol{A}'\boldsymbol{u}}{\gamma_{\boldsymbol{u}}\|\boldsymbol{u}\|_2^2}.$$

注意到 $\gamma_{\boldsymbol{u}}$ 和 $\cos\theta_{\boldsymbol{u}}$ 都只与 $\boldsymbol{u}$ 和 $\boldsymbol{A}$ 有关，而与 $\boldsymbol{x}$ 在直线上的具体位置无关。因此，$\boldsymbol{A}\boldsymbol{x}$ 的作用是先将 $\boldsymbol{x}$ 旋转固定的角度 $\theta_{\boldsymbol{u}}$，再将旋转后的向量的长度缩放固定比例 $\gamma_{\boldsymbol{u}}$。此外，容易验证：在 $\boldsymbol{u}$ 上乘以任意非零的常数都不会改变 $\gamma_{\boldsymbol{u}}$ 和 $\cos\theta_{\boldsymbol{u}}$ 的取值，因此可以将 $\boldsymbol{u}$ 标准化为单位长度的向量。

矩阵的行列式

首先考虑 2 阶方阵：

$$\boldsymbol{A} = \begin{bmatrix} a_{11} & a_{12} \\ a_{21} & a_{22} \end{bmatrix},$$

其行列式定义为：

$$\det\boldsymbol{A} \equiv a_{11}a_{22} - a_{12}a_{21}.$$

为了说明上述定义的几何意义，取 $\mathbb{R}^2$ 中的单位正方形，其四个顶点分别为：$\boldsymbol{x}^{(1)} = (0,0)'$、$\boldsymbol{x}^{(2)} = (1,0)'$、$\boldsymbol{x}^{(3)} = (0,1)'$ 和 $\boldsymbol{x}^{(4)} = (1,1)'$。将这四个向量经过 $\boldsymbol{A}$ 进行映射之后得到：

$$\begin{aligned} \boldsymbol{y}^{(1)} &= \boldsymbol{A}\boldsymbol{x}^{(1)} = (0,0)'; \quad \boldsymbol{y}^{(2)} = \boldsymbol{A}\boldsymbol{x}^{(2)} = (a_{11}, a_{21})'; \\ \boldsymbol{y}^{(3)} &= \boldsymbol{A}\boldsymbol{x}^{(3)} = (a_{12}, a_{22})'; \quad \boldsymbol{y}^{(4)} = \boldsymbol{A}\boldsymbol{x}^{(4)} = (a_{11}+a_{12}, a_{21}+a_{22})'. \end{aligned}$$

容易验证经过旋转和缩放之后的向量围成的平行四边形面积为 $|\det\boldsymbol{A}|$，如图 A.3 所示。因此，2 阶方阵的行列式的绝对值等于 $\mathbb{R}^2$ 中的单位正方形经过该方阵映射之后得到的平行四边形的面积。

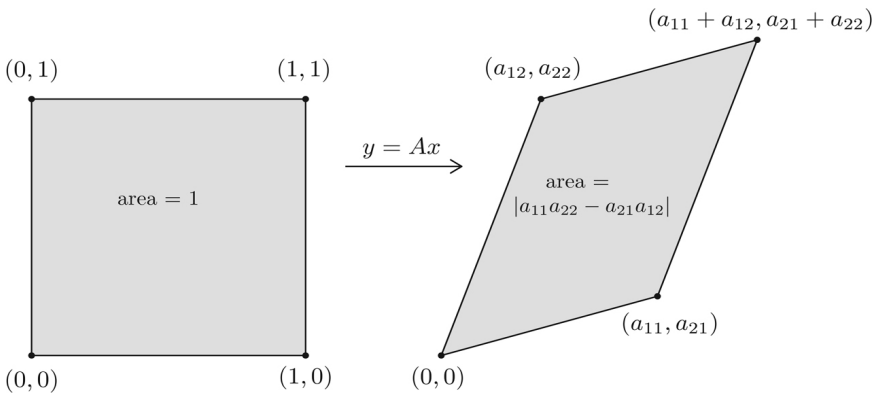

图 A.3: 行列式的几何意义（图片来源：Calafiore et al. (2014) 中图 3.7）

对于一般的 n 阶方阵 $\boldsymbol{A}$，其行列式可以采用如下的递归方式定义：

$$\det \boldsymbol{A} = \sum_{j=1}^{n} (-1)^{i+j} a_{ij} \det \boldsymbol{A}_{(i,j)}, \tag{A.8}$$

其中，i 是 $\boldsymbol{A}$ 的任意一行的行标；$\boldsymbol{A}_{(i,j)}$ 是从 $\boldsymbol{A}$ 中删除第 i 行和第 j 列之后得到的 $(n-1)\times(n-1)$ 维子矩阵。可以证明，n 阶方阵 $\boldsymbol{A}$ 的行列式的绝对值等于 n 维欧氏空间的超立方体（hypercube）经过 $\boldsymbol{A}$ 映射之后得到的超平行体（parallelotope）的体积。

若方阵 $\boldsymbol{A}$ 的行列式等于 0，则称 $\boldsymbol{A}$ 为奇异（singular）阵。对于 2 阶方阵这意味着 $a_{11}a_{22} = a_{12}a_{21}$，即，$a_{11}/a_{21} = a_{12}/a_{22}$（假设 2 阶方阵的第二行不为 $\mathbf{0}$）。因此，若 2 阶方阵的一行（列）是另一行（列）的倍数时，其行列式为 0。换言之，若 2 阶方阵的行（列）线性相关时，其行列式为 0。对于一般的 n 阶方阵 $\boldsymbol{A}$，我们有如下结论：

$$\boldsymbol{A} \text{ 是奇异阵} \quad \Leftrightarrow \quad \det \boldsymbol{A} = 0 \quad \Leftrightarrow \quad \mathcal{N}(\boldsymbol{A}) \neq \{\mathbf{0}\}.$$

注意 $\mathcal{N}(\boldsymbol{A}) \neq \{\mathbf{0}\}$ 意味着存在非零向量 $\boldsymbol{x}$ 使得 $\boldsymbol{A}\boldsymbol{x} = \mathbf{0}$，因此，$\boldsymbol{A}$ 的列线性相关。从几何的角度看，这意味着在输入空间中存在一个方向，所有沿着此方向的输入向量都被 $\boldsymbol{A}$ 映射成 $\mathbf{0}$。

对任意的 n 阶方阵 $\boldsymbol{A}$ 和 $\boldsymbol{B}$，矩阵的行列式满足：

$$\begin{aligned} \det \boldsymbol{A} &= \det \boldsymbol{A}'; \\ \det \boldsymbol{A}\boldsymbol{B} &= \det \boldsymbol{B}\boldsymbol{A} = \det \boldsymbol{A} \det \boldsymbol{B}; \\ \det \alpha \boldsymbol{A} &= \alpha^n \det \boldsymbol{A}. \end{aligned}$$

第二个结论的证明可以参考 Abadir et al. (2005) 的 Exercise 4.42。

容易验证：若矩阵 $\boldsymbol{A}$ 是对角阵或三角阵，$\boldsymbol{A}$ 的行列式为其主对角线上元素的乘积。

特征值和特征向量

令 $\boldsymbol{A}$ 是 $\mathbb{C}^n$ 到其自身的线性映射，其中，$\mathbb{C}^n$ 是 n 维复向量构成的向量空间。如果 $\lambda \in \mathbb{C}$ 和 $\boldsymbol{u} \in \mathbb{C}^n$ 满足：

$$\boldsymbol{A}\boldsymbol{u} = \lambda \boldsymbol{u}, \quad \boldsymbol{u} \neq \mathbf{0}, \tag{A.9}$$

或，等价地，

$$(\lambda \mathbf{I}_n - \boldsymbol{A})\boldsymbol{u} = \mathbf{0}, \quad \boldsymbol{u} \neq \mathbf{0}, \tag{A.10}$$

则称 λ 为矩阵 $\boldsymbol{A} \in \mathbb{R}^{n\times n}$ 的特征值，$\boldsymbol{u}$ 为特征值 λ 对应的特征向量。

由式 (A.9)，特征向量经过 $\boldsymbol{A}$ 映射之后不进行旋转，只进行缩放，经过 $\boldsymbol{A}$ 映射的效果此时和标量 λ 数乘的效果完全相同。简言之，特征向量的方向是在 $\boldsymbol{A}$ 映射下保持角度不变的方向。此外，由式 (A.10)，$\lambda\mathbf{I}_n - \boldsymbol{A}$ 为奇异阵，$\boldsymbol{u} \in \mathcal{N}(\lambda\mathbf{I}_n - \boldsymbol{A})$。因此，特征值是如下方程的根：

$$\det(\lambda\mathbf{I}_n - \boldsymbol{A}) = 0.$$

因为一个矩阵和其转置具有相同的行列式，所以 $\boldsymbol{A}$ 和 $\boldsymbol{A}'$ 有相同的特征值。称 $p(\lambda) \equiv \det(\lambda\mathbf{I}_n - \boldsymbol{A})$ 为 $\boldsymbol{A}$ 的特征多项式，它是关于 λ 的 n 次多项式。因此，我们有：

定理 A.4. 代数基本定理

任意方阵 $\boldsymbol{A} \in \mathbb{R}^{n\times n}$ 都有 n 个（代数重数为 p 的特征值按 p 个特征值处理）特征值 λ_i，$i = 1, \ldots, n$。 ♡

在定义中出现的代数重数定义为：若特征值 λ 是特征多项式的 p 重根，则称 λ 的代数重数为 p。令 n 阶方阵 $\boldsymbol{A}$ 的不同特征值（不计算代数重数）为 λ_i，$i = 1, \ldots, k$，λ_i 对应的代数重数为 μ_i，则有 $\sum_{i=1}^{k} \mu_i = n$。

对每一 λ_i，$1 \leqslant i \leqslant k$，与其对应的特征空间定义为 $\phi_i \equiv \mathcal{N}(\lambda_i\mathbf{I}_n - \boldsymbol{A})$。$\lambda_i$ 的特征空间是由与其对应的特征向量和 $\mathbf{0}$ 向量构成的子空间。对于特征空间，有如下重要的结论：（证明过程请参考 Calafiore et al. (2014) 的定理 3.3）

定理 A.5. 特征向量的线性独立性

令 λ_i，$i = 1, \ldots, k$，是 n 阶方阵 $\boldsymbol{A}$ 的不同特征值，$\phi_i \equiv \mathcal{N}(\lambda_i\mathbf{I}_n - \boldsymbol{A})$。再令 $\boldsymbol{u}^{(i)}$ 是任意使得 $\boldsymbol{u}^{(i)} \in \phi_i$ 的非零向量，$i = 1, \ldots, k$，则有 $\boldsymbol{u}^{(i)}$ 彼此线性独立。 ♡

容易验证：若矩阵 $\boldsymbol{A}$ 是对角阵或三角阵，$\boldsymbol{A}$ 的特征值为其主对角线上元素。

A.8 矩阵的逆

若 n 阶方阵 $\boldsymbol{A}$ 非奇异，则其逆矩阵 $\boldsymbol{A}^{-1}$ 定义为唯一满足如下条件的 n 阶方阵：

$$\boldsymbol{A}\boldsymbol{A}^{-1} = \boldsymbol{A}^{-1}\boldsymbol{A} = \mathbf{I}_n.$$

令 $\boldsymbol{A}$，$\boldsymbol{B}$ 为同阶非奇异方阵，则有：

$$\begin{aligned}
(\boldsymbol{A}\boldsymbol{B})^{-1} &= \boldsymbol{B}^{-1}\boldsymbol{A}^{-1}; \\
(\boldsymbol{A}')^{-1} &= (\boldsymbol{A}^{-1})'; \\
\det \boldsymbol{A} &= \det \boldsymbol{A}' = \frac{1}{\det \boldsymbol{A}^{-1}}.
\end{aligned}$$

矩阵求逆的一般公式为：（证明过程请参考 Abadir et al. (2005) 的 Exercise 4.46）

$$\boldsymbol{A}^{-1} = \det(\boldsymbol{A})^{-1} \operatorname{adj}(\boldsymbol{A}), \tag{A.11}$$

其中，$\mathrm{adj}(\boldsymbol{A})$ 为 $\boldsymbol{A}$ 的伴随矩阵，其定义为：

$$\mathrm{adj}(\boldsymbol{A}) = \boldsymbol{C}',$$

其中，

$$[\boldsymbol{C}]_{ij} = (-1)^{i+j} \det \boldsymbol{A}_{(i,j)}.$$

对于对角阵 $\boldsymbol{A} = \mathrm{diag}\,(\boldsymbol{a})$，$\boldsymbol{a} = (a_{11}, \ldots, a_{nn})'$，因为 $\det \boldsymbol{A} = a_{11}a_{22}\cdots a_{nn}$，所以 $\boldsymbol{A}$ 非奇异当且仅当 $a_{ii} \neq 0$，$i = 1, \ldots, n$。容易验证：若 $\boldsymbol{A}$ 非奇异，则有：$\boldsymbol{A}^{-1} = \mathrm{diag}\,(1/a_{11}, \ldots, 1/a_{nn})$。

A.9 分块矩阵及其逆矩阵公式

分块矩阵是把矩阵分别按照行和列分割成一些小的子矩阵，分割出来的每个小矩阵看成分块矩阵的一个元素。例如，将矩阵 $\boldsymbol{A} \in \mathbb{R}^{m\times n}$ 分成四块：

$$\boldsymbol{A} = \begin{bmatrix} \underset{(m_1\times n_1)}{\boldsymbol{A}_{11}} & \underset{(m_1\times n_2)}{\boldsymbol{A}_{12}} \\ \underset{(m_2\times n_1)}{\boldsymbol{A}_{21}} & \underset{(m_2\times n_2)}{\boldsymbol{A}_{22}} \end{bmatrix}, \quad m_1 + m_2 = m,\ n_1 + n_2 = n. \tag{A.12}$$

前文定义的矩阵运算对分块矩阵同样适用。例如，考虑 $m \times n$ 维矩阵 $\boldsymbol{A}$ 和 $n \times q$ 维矩阵 $\boldsymbol{B}$ 相乘，若将 $\boldsymbol{A}$ 分块为 $[\boldsymbol{A}_1, \boldsymbol{A}_2]$，其中，$\boldsymbol{A}_i$ 是 $m \times n_i$ 维矩阵，$i = 1, 2$，$n_1 + n_2 = n$；将 $\boldsymbol{B}$ 分块为 $\begin{bmatrix} \boldsymbol{B}_1 \\ \boldsymbol{B}_2 \end{bmatrix}$，其中，$\boldsymbol{B}_i$ 是 $n_i \times q$ 维矩阵，$i = 1, 2$，则有：

$$\boldsymbol{AB} = \begin{bmatrix} \boldsymbol{A}_1 & \boldsymbol{A}_2 \end{bmatrix} \begin{bmatrix} \boldsymbol{B}_1 \\ \boldsymbol{B}_2 \end{bmatrix} = \boldsymbol{A}_1\boldsymbol{B}_1 + \boldsymbol{A}_2\boldsymbol{B}_2.$$

若 $\boldsymbol{A}$ 是方阵，且在 (A.12) 的分块中，$\boldsymbol{A}_{11}$ 和 $\boldsymbol{A}_{22}$ 是方阵，$\boldsymbol{A}_{12} = \boldsymbol{0}$，$\boldsymbol{A}_{21} = \boldsymbol{0}$，则称

$$\boldsymbol{A} = \begin{bmatrix} \boldsymbol{A}_{11} & \boldsymbol{0} \\ \boldsymbol{0} & \boldsymbol{A}_{22} \end{bmatrix}$$

为分块对角阵。分块对角阵 $\boldsymbol{A}$ 有如下重要性质：

- 令 $\lambda(\boldsymbol{A})$ 为 $\boldsymbol{A}$ 的特征值构成的集合，则有：

$$\lambda(\boldsymbol{A}) = \lambda(\boldsymbol{A}_{11}) \cup \lambda(\boldsymbol{A}_{22});$$

- $\boldsymbol{A}$ 可逆当且仅当其主对角线上的分块可逆，并且：

$$\begin{bmatrix} \boldsymbol{A}_{11} & 0 \\ 0 & \boldsymbol{A}_{22} \end{bmatrix}^{-1} = \begin{bmatrix} \boldsymbol{A}_{11}^{-1} & 0 \\ 0 & \boldsymbol{A}_{22}^{-1} \end{bmatrix};$$

- $\det \boldsymbol{A} = \det \boldsymbol{A}_{11} \det \boldsymbol{A}_{22}$；
- $\mathrm{tr}\, \boldsymbol{A} = \mathrm{tr}\, \boldsymbol{A}_{11} + \mathrm{tr}\, \boldsymbol{A}_{22}$。

若 $\boldsymbol{A}$ 是方阵，且在 (A.12) 的分块中，$\boldsymbol{A}_{11}$ 和 $\boldsymbol{A}_{22}$ 是方阵，$\boldsymbol{A}_{12} = \boldsymbol{0}$，则称

$$\boldsymbol{A} = \begin{bmatrix} \boldsymbol{A}_{11} & \boldsymbol{0} \\ \boldsymbol{A}_{21} & \boldsymbol{A}_{22} \end{bmatrix}$$

为分块下三角阵。类似地，称

$$\boldsymbol{A}=\begin{bmatrix}\boldsymbol{A}_{11} & \boldsymbol{A}_{12}\\ \boldsymbol{0} & \boldsymbol{A}_{22}\end{bmatrix}$$

为分块上三角阵。分块三角阵 $\boldsymbol{A}$ 有如下重要性质：

- $\lambda(\boldsymbol{A})=\lambda(\boldsymbol{A}_{11})\cup\lambda(\boldsymbol{A}_{22})$；
- $\det\boldsymbol{A}=\det\boldsymbol{A}_{11}\det\boldsymbol{A}_{22}$；
- $\operatorname{tr}\boldsymbol{A}=\operatorname{tr}\boldsymbol{A}_{11}+\operatorname{tr}\boldsymbol{A}_{22}$；
- $\boldsymbol{A}$ 可逆当且仅当其主对角线上的分块可逆，并且：

$$\begin{bmatrix}\boldsymbol{A}_{11} & \boldsymbol{0}\\ \boldsymbol{A}_{21} & \boldsymbol{A}_{22}\end{bmatrix}^{-1}=\begin{bmatrix}\boldsymbol{A}_{11}^{-1} & \boldsymbol{0}\\ -\boldsymbol{A}_{22}^{-1}\boldsymbol{A}_{21}\boldsymbol{A}_{11}^{-1} & \boldsymbol{A}_{22}^{-1}\end{bmatrix},$$

$$\begin{bmatrix}\boldsymbol{A}_{11} & \boldsymbol{A}_{12}\\ \boldsymbol{0} & \boldsymbol{A}_{22}\end{bmatrix}^{-1}=\begin{bmatrix}\boldsymbol{A}_{11}^{-1} & -\boldsymbol{A}_{11}^{-1}\boldsymbol{A}_{12}\boldsymbol{A}_{22}^{-1}\\ \boldsymbol{0} & \boldsymbol{A}_{22}^{-1}\end{bmatrix}.$$

本节最后讨论一般的分块矩阵的逆和行列式的计算。令 $\boldsymbol{A}$ 为 n 阶方阵，将其按照如下方式分块：

$$\boldsymbol{A}=\begin{bmatrix}\boldsymbol{A}_{11} & \boldsymbol{A}_{12}\\ \boldsymbol{A}_{21} & \boldsymbol{A}_{22}\end{bmatrix},$$

其中，$\boldsymbol{A}_{11}$ 和 $\boldsymbol{A}_{22}$ 是方阵。关于 $\boldsymbol{A}$ 的逆，有如下结论：（证明过程请参考李高荣，吴密霞 (2021) 的定理 1.2.13）

定理 A.6. 分块矩阵求逆公式

设 $\boldsymbol{A}$ 为可逆矩阵，若 $\boldsymbol{A}_{11}$ 非奇异，则

$$\boldsymbol{A}^{-1}=\begin{bmatrix}\boldsymbol{A}_{11}^{-1}+\boldsymbol{A}_{11}^{-1}\boldsymbol{A}_{12}\boldsymbol{F}_2\boldsymbol{A}_{21}\boldsymbol{A}_{11}^{-1} & -\boldsymbol{A}_{11}^{-1}\boldsymbol{A}_{12}\boldsymbol{F}_2\\ -\boldsymbol{F}_2\boldsymbol{A}_{21}\boldsymbol{A}_{11}^{-1} & \boldsymbol{F}_2\end{bmatrix}; \tag{A.13}$$

若 $\boldsymbol{A}_{22}$ 非奇异，则

$$\boldsymbol{A}^{-1}=\begin{bmatrix}\boldsymbol{F}_1 & -\boldsymbol{F}_1\boldsymbol{A}_{12}\boldsymbol{A}_{22}^{-1}\\ -\boldsymbol{A}_{22}^{-1}\boldsymbol{A}_{21}\boldsymbol{F}_1 & \boldsymbol{A}_{22}^{-1}+\boldsymbol{A}_{22}^{-1}\boldsymbol{A}_{21}\boldsymbol{F}_1\boldsymbol{A}_{12}\boldsymbol{A}_{22}^{-1}\end{bmatrix},$$

其中，

$$\boldsymbol{F}_1=(\boldsymbol{A}_{11}-\boldsymbol{A}_{12}\boldsymbol{A}_{22}^{-1}\boldsymbol{A}_{21})^{-1},\quad \boldsymbol{F}_2=(\boldsymbol{A}_{22}-\boldsymbol{A}_{21}\boldsymbol{A}_{11}^{-1}\boldsymbol{A}_{12})^{-1}.$$

♡

关于 $\boldsymbol{A}$ 的行列式，有如下结论：（证明过程请参考李高荣，吴密霞 (2021) 的式 (1.9)）

定理 A.7. 分块矩阵的行列式

设 $\boldsymbol{A}$ 为可逆矩阵，若 $\boldsymbol{A}_{11}$ 非奇异，则

$$\det\boldsymbol{A}=\det\boldsymbol{A}_{11}\det\boldsymbol{F}_2^{-1};$$

若 $\boldsymbol{A}_{22}$ 非奇异，则

$$\det\boldsymbol{A}=\det\boldsymbol{A}_{22}\det\boldsymbol{F}_1^{-1}.$$

♡

A.10 相似矩阵

令 $\boldsymbol{A}$ 和 $\boldsymbol{B}$ 为 n 阶方阵，如果存在 n 阶非奇异阵 $\boldsymbol{P}$ 使得

$$\boldsymbol{B} = \boldsymbol{P}^{-1}\boldsymbol{A}\boldsymbol{P},$$

则称 $\boldsymbol{A}$ 和 $\boldsymbol{B}$ 是相似矩阵。相似矩阵涉及到同一线性映射的不同表示，之所以不同是因为输入空间的基发生了变化。具体地，考虑线性映射

$$\boldsymbol{y} = \boldsymbol{A}\boldsymbol{x}, \quad \boldsymbol{x} \in \mathbb{R}^n.$$

注意到，$\boldsymbol{P}$ 非奇异，它的列是线性独立的，构成了向量空间 $\mathbb{R}^n$ 的一组基。在这组新基下，存在向量 $\tilde{\boldsymbol{x}}$ 和 $\tilde{\boldsymbol{y}}$ 使得：

$$\boldsymbol{x} = \boldsymbol{P}\tilde{\boldsymbol{x}}, \quad \boldsymbol{y} = \boldsymbol{P}\tilde{\boldsymbol{y}}.$$

于是，

$$\boldsymbol{P}\tilde{\boldsymbol{y}} = \boldsymbol{A}\boldsymbol{P}\tilde{\boldsymbol{x}}.$$

两端同时左乘 $\boldsymbol{P}^{-1}$ 得到：

$$\tilde{\boldsymbol{y}} = \boldsymbol{P}^{-1}\boldsymbol{A}\boldsymbol{P}\tilde{\boldsymbol{x}} = \boldsymbol{B}\tilde{\boldsymbol{x}}.$$

因此，$\boldsymbol{B}$ 将 $\boldsymbol{x}$ 在新基下的表示 $\tilde{\boldsymbol{x}}$ 映射为 $\boldsymbol{y}$ 在新基下的表示 $\tilde{\boldsymbol{y}}$，本质上和 $\boldsymbol{y} = \boldsymbol{A}\boldsymbol{x}$ 是同一个线性映射。

对于任意的 n 阶方阵，都存在分块三角阵与其相似：（证明过程请参考 Calafiore et al. (2014) 的推论 3.1）

定理 A.8. 方阵与分块三角阵的相似性

任意的 n 阶方阵 $\boldsymbol{A}$ 都相似于主对角线上包含分块 $\lambda_i \mathbf{I}_{v_i}$ 的分块三角阵，其中，λ_i 是 $\boldsymbol{A}$ 的特征值；v_i 是 λ_i 对应的特征空间 ϕ_i 的维度，称为 λ_i 的几何重数。 ♡

注意到：

$$\begin{aligned}
\det(\lambda\mathbf{I}_n - \boldsymbol{B}) &= \det(\lambda\mathbf{I}_n - \boldsymbol{P}^{-1}\boldsymbol{A}\boldsymbol{P}) = \det(\boldsymbol{P}^{-1}(\lambda\mathbf{I}_n - \boldsymbol{A})\boldsymbol{P}) \\
&= \det \boldsymbol{P}^{-1} \det(\lambda\mathbf{I}_n - \boldsymbol{A}) \det \boldsymbol{P} \\
&= \det(\lambda\mathbf{I}_n - \boldsymbol{A}).
\end{aligned}$$

这表明相似矩阵具有相同的特征值。又因为分块三角阵的特征值由其主对角线上的分块矩阵的特征值构成，则根据定理 A.8：$v_i \leqslant \mu_i$，即，特征值的几何重数不大于它的代数重数。而且，进一步，我们有如下重要结论：（证明过程请参考 Calafiore et al. (2014) 的定理 3.4）

定理 A.9. 可对角化矩阵

令 n 阶方阵 $\boldsymbol{A}$ 的不同特征值为 λ_i，$i = 1, \ldots, k$，μ_i 是 λ_i 的代数重数，ϕ_i 是 λ_i 对应的特征空间，v_i 是 λ_i 的几何重数。再令 $\boldsymbol{u}_1^{(i)}, \ldots, \boldsymbol{u}_{v_i}^{(i)}$ 为 ϕ_i 的一组基向量，由这一组基向量作为列构成的矩阵记为 $\boldsymbol{U}^{(i)}$，则有：$v_i \leqslant \mu_i$，并且，如果 $v_i = \mu_i$，

$i=1,\ldots,k$，则：

$$\boldsymbol{\mathcal{U}}=\left[\boldsymbol{\mathcal{U}}^{(1)}\ \cdots\ \boldsymbol{\mathcal{U}}^{(k)}\right]$$

可逆，并且，

$$\boldsymbol{A}=\boldsymbol{\mathcal{U}}\boldsymbol{\Lambda}\boldsymbol{\mathcal{U}}^{-1},$$

其中，

$$\boldsymbol{\Lambda}=\begin{bmatrix}\lambda_1\mathbf{I}_{\mu_1} & \mathbf{0} & \cdots & \mathbf{0}\\ \mathbf{0} & \lambda_2\mathbf{I}_{\mu_2} & \cdots & \mathbf{0}\\ \vdots & \vdots & \ddots & \vdots\\ \mathbf{0} & \cdots & \mathbf{0} & \lambda_k\mathbf{I}_{\mu_k}\end{bmatrix}.$$

♡

这一定理表明：在定理条件成立的情况下，$\boldsymbol{A}$ 与对角阵 $\boldsymbol{\Lambda}$ 相似，此时称矩阵 $\boldsymbol{A}$ 可对角化。

A.11 对称矩阵的性质

对称矩阵是计量经济学中经常出现的矩阵类型，在 A.5 中，我们已经给出了对称矩阵的定义，这里我们讨论对称矩阵的一些重要性质。在下文中，将 $\boldsymbol{A}$ 为 n 阶对称方阵记为 $\boldsymbol{A}\in\mathbb{S}^n$。

关于对称矩阵的特征值，有如下重要结论：（证明过程请参考 Calafiore et al. (2014) 的定理 4.1）

定理 A.10. 对称矩阵的特征分解

令 $\boldsymbol{A}\in\mathbb{S}^n$，$\lambda_i$，$i=1,\ldots,k$，是 $\boldsymbol{A}$ 的不同特征值，对任意的 $i=1,\ldots,k$，有：

- $\lambda_i\in\mathbb{R}$；
- $\phi_i\perp\phi_j$，$i\neq j$；
- $v_i=\mu_i$。

♡

合并定理 A.9 和定理 A.10 的结论可以得到对称矩阵的谱分解定理：

定理 A.11. 谱分解定理

令 $\boldsymbol{A}\in\mathbb{S}^n$，$\lambda_i$，$i=1,\ldots,n$，是 $\boldsymbol{A}$ 的特征值（代数重数计算在内），则存在一组标准正交向量 $\boldsymbol{u}_i\in\mathbb{R}^n$，$i=1,\ldots,n$，使得 $\boldsymbol{A}\boldsymbol{u}_i=\lambda_i\boldsymbol{u}_i$。也可以等价地表述为，存在正交矩阵 $\boldsymbol{\mathcal{U}}=[\boldsymbol{u}_1,\ldots,\boldsymbol{u}_n]$ 使得：

$$\boldsymbol{A}=\boldsymbol{\mathcal{U}}\boldsymbol{\Lambda}\boldsymbol{\mathcal{U}}'=\sum_{i=1}^{n}\lambda_i\boldsymbol{u}_i\boldsymbol{u}_i',\quad \boldsymbol{\Lambda}=\operatorname{diag}(\lambda_1,\ldots,\lambda_n).\tag{A.14}$$

♡

将 $\boldsymbol{A}\in\mathbb{S}^n$ 的 n 个实特征值按从大到小顺序排列：

$$\lambda_{\max}(\boldsymbol{A})=\lambda_1(\boldsymbol{A})\geqslant\lambda_2(\boldsymbol{A})\geqslant\cdots\geqslant\lambda_n(\boldsymbol{A})=\lambda_{\min}(\boldsymbol{A}).$$

关于特征值的最大值 $\lambda_{\max}(\boldsymbol{A})$ 和最小值 $\lambda_{\min}(\boldsymbol{A})$，有如下结论：（证明过程请参考 Calafiore et al. (2014) 的定理 4.3）

定理 A.12. Rayleigh 商

给定 $\boldsymbol{A} \in \mathbb{S}^n$，$\boldsymbol{A}$ 的最大特征值和最小特征值满足：

$$\lambda_{\min}(\boldsymbol{A}) \leqslant \frac{\boldsymbol{x}'\boldsymbol{A}\boldsymbol{x}}{\boldsymbol{x}'\boldsymbol{x}} \leqslant \lambda_{\max}(\boldsymbol{A}), \quad \forall\, \boldsymbol{x} \neq \boldsymbol{0},$$

此外，

$$\begin{aligned} \lambda_{\max}(\boldsymbol{A}) &= \max_{\boldsymbol{x}:\|\boldsymbol{x}\|_2=1} \boldsymbol{x}'\boldsymbol{A}\boldsymbol{x}; \\ \lambda_{\min}(\boldsymbol{A}) &= \min_{\boldsymbol{x}:\|\boldsymbol{x}\|_2=1} \boldsymbol{x}'\boldsymbol{A}\boldsymbol{x}, \end{aligned}$$

并且，最大值在 $\boldsymbol{x} = \boldsymbol{u}_1$ 时取到，最小值在 $\boldsymbol{x} = \boldsymbol{u}_n$ 时取到，其中 $\boldsymbol{u}_1$ 和 $\boldsymbol{u}_n$ 分别是 $\boldsymbol{A}$ 的最大特征值和最小特征值对应的单位特征向量。 ♡

Rayleigh 商可以帮助我们进一步理解矩阵的 2 范数。根据定义 A.4，矩阵 $\boldsymbol{A} \in \mathbb{R}^{m\times n}$ 的 2 范数为：

$$\|\boldsymbol{A}\|_2 = \max_{\boldsymbol{u}\neq\boldsymbol{0}} \frac{\|\boldsymbol{A}\boldsymbol{u}\|_2}{\|\boldsymbol{u}\|_2}.$$

因为 $\boldsymbol{A} \in \mathbb{R}^{m\times n}$ 可以看作是线性映射（算子），输入向量 $\boldsymbol{u} \in \mathbb{R}^n$ 被映射到空间 $\mathbb{R}^m$ 中的输出向量 $\boldsymbol{A}\boldsymbol{u}$。$\|\boldsymbol{A}\boldsymbol{u}\|_2/\|\boldsymbol{u}\|_2$ 衡量了输出向量与输入向量长度的比例，矩阵 $\boldsymbol{A}$ 的增益（gain），或称算子范数，定义为此比例的最大值。注意到：

$$\frac{\|\boldsymbol{A}\boldsymbol{u}\|_2^2}{\|\boldsymbol{u}\|_2^2} = \frac{\boldsymbol{u}'\boldsymbol{A}'\boldsymbol{A}\boldsymbol{u}}{\boldsymbol{u}'\boldsymbol{u}}.$$

由定理 A.12，

$$\|\boldsymbol{A}\|_2 = \sqrt{\lambda_{\max}(\boldsymbol{A}'\boldsymbol{A})}.$$

A.12 正定和半正定矩阵

令 $\boldsymbol{A} \in \mathbb{S}^n$，如果满足：

$$\boldsymbol{x}'\boldsymbol{A}\boldsymbol{x} \geqslant 0, \quad \forall\, \boldsymbol{x} \in \mathbb{R}^n,$$

则称 $\boldsymbol{A}$ 是半正定的，记为 $\boldsymbol{A} \succeq \boldsymbol{0}$；若进一步满足：

$$\boldsymbol{x}'\boldsymbol{A}\boldsymbol{x} > 0, \quad \forall\, \boldsymbol{x} \in \mathbb{R}^n, \boldsymbol{x} \neq \boldsymbol{0},$$

则称 $\boldsymbol{A}$ 是正定的，记为 $\boldsymbol{A} \succ \boldsymbol{0}$。如果 $-\boldsymbol{A} \succeq \boldsymbol{0}$，则称 $\boldsymbol{A}$ 是半负定的，记为 $\boldsymbol{A} \preceq \boldsymbol{0}$；如果 $-\boldsymbol{A} \succ \boldsymbol{0}$，则称 $\boldsymbol{A}$ 是负定的，记为 $\boldsymbol{A} \prec \boldsymbol{0}$。

（半）正定矩阵具有如下常用性质：

- 若半正定矩阵 $\boldsymbol{A}$ 可逆，则 $\boldsymbol{A}$ 是正定的；反之，若 $\boldsymbol{A}$ 是正定的，则 $\boldsymbol{A}$ 可逆；
- $\boldsymbol{A}$ 是正定矩阵当且仅当 $\boldsymbol{A}$ 的特征值都大于 0；
- $\boldsymbol{A}$ 是半正定矩阵当且仅当 $\boldsymbol{A}$ 的特征值都非负；

- 令 $\boldsymbol{A}, \boldsymbol{B} \in \mathbb{S}^n$，$\boldsymbol{B} \succeq \boldsymbol{0}$，则：

$$\lambda_i(\boldsymbol{A}+\boldsymbol{B}) \geqslant \lambda_i(\boldsymbol{A}), \quad i=1,\ldots,n;$$

- 令 $\boldsymbol{A} \in \mathbb{S}^n$，$\boldsymbol{B} \in \mathbb{R}^{n\times m}$，考虑 $\boldsymbol{C}=\boldsymbol{B}'\boldsymbol{A}\boldsymbol{B} \in \mathbb{S}^m$，我们有：
  1. 若 $\boldsymbol{A} \succeq \boldsymbol{0}$，则 $\boldsymbol{C} \succeq \boldsymbol{0}$；
  2. 若 $\boldsymbol{A} \succ \boldsymbol{0}$，则 $\boldsymbol{C} \succ \boldsymbol{0}$ 当且仅当 $\boldsymbol{B}$ 列满秩；
  3. 若 $\boldsymbol{B}$ 可逆[7]，则 $\boldsymbol{A} \succ \boldsymbol{0}$ 当且仅当 $\boldsymbol{C} \succ \boldsymbol{0}$；$\boldsymbol{A} \succeq \boldsymbol{0}$ 当且仅当 $\boldsymbol{C} \succeq \boldsymbol{0}$；

  （证明见 Calafiore et al. (2014) 的定理 4.5）
- 对任意的 $\boldsymbol{A} \in \mathbb{R}^{m\times n}$，我们有：
  1. $\boldsymbol{A}'\boldsymbol{A} \succeq \boldsymbol{0}$，$\boldsymbol{A}\boldsymbol{A}' \succeq \boldsymbol{0}$；
  2. $\boldsymbol{A}'\boldsymbol{A} \succ \boldsymbol{0}$ 当且仅当 $\boldsymbol{A}$ 列满秩；
  3. $\boldsymbol{A}\boldsymbol{A}' \succ \boldsymbol{0}$ 当且仅当 $\boldsymbol{A}$ 行满秩。

对于（半）正定矩阵，可以定义矩阵的平方根。具体地，令 $\boldsymbol{A} \in \mathbb{S}^n$，由谱分解定理，

$$\boldsymbol{A}=\boldsymbol{\mathcal{U}}\boldsymbol{\Lambda}\boldsymbol{\mathcal{U}}', \quad \boldsymbol{\Lambda}=\operatorname{diag}(\lambda_1,\ldots,\lambda_n).$$

若 $\boldsymbol{A}$ 正定或半正定，则其特征值非负。定义 $\boldsymbol{\Lambda}^{1/2}=\operatorname{diag}\left(\sqrt{\lambda_1},\ldots,\sqrt{\lambda_n}\right)$ 和 $\boldsymbol{B}=\boldsymbol{\mathcal{U}}\boldsymbol{\Lambda}^{1/2}\boldsymbol{\mathcal{U}}'$，则有：

$$\boldsymbol{B}^2=\boldsymbol{\mathcal{U}}\boldsymbol{\Lambda}^{1/2}\boldsymbol{\mathcal{U}}'\boldsymbol{\mathcal{U}}\boldsymbol{\Lambda}^{1/2}\boldsymbol{\mathcal{U}}'=\boldsymbol{\mathcal{U}}\boldsymbol{\Lambda}\boldsymbol{\mathcal{U}}'=\boldsymbol{A}.$$

因此，$\boldsymbol{B}$ 称为 $\boldsymbol{A}$ 的平方根，记为 $\boldsymbol{B}=\boldsymbol{A}^{1/2}$。类似地，对任意的正定阵 $\boldsymbol{A}$ 和 $r \in \mathbb{R}$，定义矩阵 $\boldsymbol{A}$ 的 r 次方为 $\boldsymbol{A}^r=\boldsymbol{\mathcal{U}}\boldsymbol{\Lambda}^r\boldsymbol{\mathcal{U}}'$。

此外，若定义 $\boldsymbol{B}=\boldsymbol{\Lambda}^{1/2}\boldsymbol{\mathcal{U}}'$，则有 $\boldsymbol{A}=\boldsymbol{B}'\boldsymbol{B}$。

A.13 矩阵分解

矩阵分解在分析矩阵性质和数值计算时被广泛使用，本节介绍几种除谱分解之外的常见矩阵分解。

LU 分解

令 $\boldsymbol{A}$ 是方阵，存在下三角阵 $\boldsymbol{L}$ 和上三角阵 $\boldsymbol{U}$ 使得：

$$\boldsymbol{A}=\boldsymbol{L}\boldsymbol{U}.$$

LU 分解是线性方程组求解的高斯消元法的副产品。具体地，对 $\boldsymbol{A}$ 进行高斯消元法得到上三角阵 $\boldsymbol{U}$，这一过程可以看作是 $\boldsymbol{A}$ 左乘一系列的初等消元矩阵，即，存在初等消元矩阵 $\boldsymbol{E}_1,\ldots,\boldsymbol{E}_k$ 使得：

$$\boldsymbol{E}_1\cdots\boldsymbol{E}_k\boldsymbol{A}=\boldsymbol{U}.$$

记 $\boldsymbol{E}=\boldsymbol{E}_1\cdots\boldsymbol{E}_k$，则有：

$$\boldsymbol{E}\boldsymbol{A}=\boldsymbol{U}.$$

[7] 此时称 $\boldsymbol{C}$ 为全等变换，称矩阵 $\boldsymbol{A}$ 与 $\boldsymbol{C}$ 全等。

例如，

$$\boldsymbol{A} = \begin{pmatrix} 2 & 4 & -2 \\ 4 & 9 & -3 \\ -2 & -3 & 7 \end{pmatrix}$$

若将 $(2,1)$ 位置上的元素 4 消去（处理为 0），可以左乘初等消元矩阵

$$\boldsymbol{E}_1 = \begin{pmatrix} 1 & 0 & 0 \\ -2 & 1 & 0 \\ 0 & 0 & 1 \end{pmatrix}.$$

这是因为：

$$\boldsymbol{E}_1\boldsymbol{A} = \begin{pmatrix} 1 & 0 & 0 \\ -2 & 1 & 0 \\ 0 & 0 & 1 \end{pmatrix} \begin{pmatrix} 2 & 4 & -2 \\ 4 & 9 & -3 \\ -2 & -3 & 7 \end{pmatrix} = \begin{pmatrix} 2 & 4 & -2 \\ 0 & 1 & 1 \\ -2 & -3 & 7 \end{pmatrix}.$$

注意到初等矩阵非奇异，所以可以定义 $\boldsymbol{L} = \boldsymbol{E}^{-1}$，则有 $\boldsymbol{L}$ 是下三角阵，并且 $\boldsymbol{A} = \boldsymbol{L}\boldsymbol{U}$。

QR 分解

令 $\boldsymbol{A} \in \mathbb{R}^{m\times n}$ 且 $\operatorname{rank}(\boldsymbol{A}) = n$，则存在 $\boldsymbol{Q} \in \mathbb{R}^{m\times n}$ 满足 $\boldsymbol{Q}'\boldsymbol{Q} = \mathbf{I}_n$ 和主对角线元素为正的 n 阶上三角阵 $\boldsymbol{R}$ 使得 $\boldsymbol{A} = \boldsymbol{Q}\boldsymbol{R}$。此结论的证明可以参考 Calafiore et al. (2014) 的 7.3 节。

若 $\boldsymbol{A}$ 是 n 阶方阵，则 $\boldsymbol{A}$ 可以分解为 $\boldsymbol{A} = \boldsymbol{Q}\boldsymbol{R}$，其中，$\boldsymbol{Q}$ 是正交矩阵，$\boldsymbol{R}$ 是上三角阵。如果 $\boldsymbol{A}$ 非奇异且进一步限制 $\boldsymbol{R}$ 的主对角线元素为正，则 $\boldsymbol{Q}$ 和 $\boldsymbol{R}$ 唯一。

特征分解

令 $\boldsymbol{A}$ 是 n 阶可对角化方阵，定理 A.9 表明 $\boldsymbol{A}$ 可以分解为：

$$\boldsymbol{A} = \boldsymbol{\mathcal{U}}\boldsymbol{\Lambda}\boldsymbol{\mathcal{U}}^{-1},$$

其中，$\boldsymbol{\Lambda}$ 是对角阵，其主对角线上元素是 $\boldsymbol{A}$ 的 n 个特征值；$\boldsymbol{\mathcal{U}}$ 是由 $\boldsymbol{A}$ 的特征向量作为列构成的可逆矩阵。

正定矩阵的三角分解

任意的正定矩阵 $\boldsymbol{A}$ 都可以唯一地表示为：

$$\boldsymbol{A} = \boldsymbol{L}\boldsymbol{D}\boldsymbol{L}',$$

其中，$\boldsymbol{L}$ 是主对角线上元素为 1 的下三角阵；$\boldsymbol{D}$ 为对角阵，其主对角线上的元素都大于 0。此结论的证明可以参考 Hamilton (1994) 的 4.4 节。

Cholesky 分解

令 $\boldsymbol{A}$ 为正定阵，其三角分解为 $\boldsymbol{A}=\boldsymbol{L}\boldsymbol{D}\boldsymbol{L}'$。将 $\boldsymbol{D}$ 的主对角线元素开根号得到 $\boldsymbol{D}^{1/2}$，则有：

$$\boldsymbol{A}=\boldsymbol{L}\boldsymbol{D}\boldsymbol{L}'=\boldsymbol{L}\boldsymbol{D}^{1/2}\boldsymbol{D}^{1/2}\boldsymbol{L}'=\boldsymbol{L}\boldsymbol{D}^{1/2}(\boldsymbol{L}\boldsymbol{D}^{1/2})'\equiv\boldsymbol{P}\boldsymbol{P}',$$

其中，$\boldsymbol{P}=\boldsymbol{L}\boldsymbol{D}^{1/2}$，容易验证，$\boldsymbol{P}$ 是下三角矩阵，其主对角线上的元素都大于 0。称 $\boldsymbol{A}=\boldsymbol{P}\boldsymbol{P}'$ 为正定阵 $\boldsymbol{A}$ 的 Cholesky 分解。

奇异值分解

矩阵的谱分解只适用于对称方阵，对于一般的矩阵 $\boldsymbol{A}\in\mathbb{R}^{m\times n}$ 也有类似于谱分解的结论，这就是矩阵的奇异值分解（singular value decomposition, SVD）。和 PCA 一样，SVD 常用来对高维数据进行降维处理。

定理 A.13. 奇异值分解基本定理

若 $\boldsymbol{A}\in\mathbb{R}^{m\times n}$，则 $\boldsymbol{A}$ 可以分解为：

$$\boldsymbol{A}=\boldsymbol{U}\boldsymbol{\Sigma}\boldsymbol{V}',$$

其中，$\boldsymbol{U}$ 是 m 阶正交矩阵，$\boldsymbol{V}$ 是 n 阶正交矩阵，$\boldsymbol{\Sigma}$ 是 $m\times n$ 维的矩形对角阵[a]，其主对角线元素非负，且按降序排列。

[a] 矩形对角阵与对角阵类似，其主对角线元素由行下标和列下标相等的位置上的元素构成，矩形对角阵除主对角线以外的元素都是 0。

此定理的证明请参考李航 (2022) 的定理 15.1。下面给出奇异值分解的具体计算过程：

1. 计算 $\boldsymbol{A}'\boldsymbol{A}$ 的特征值，令 $\operatorname{rank}(\boldsymbol{A})=r$，由 A.17 中的结论 1 和 4，$\boldsymbol{A}'\boldsymbol{A}$ 有 r 个正特征值，$n-r$ 个 0 特征值。将这些特征值按降序排列：

$$\lambda_1\geqslant\lambda_2\geqslant\cdots\geqslant\lambda_r>0,\quad \lambda_{r+1}=\cdots=\lambda_n=0.$$

   计算这些特征值的平方根：$\sigma_i=\sqrt{\lambda_i}$，$i=1,\ldots,n$，$\sigma_i$ 即为 $\boldsymbol{A}$ 的奇异值。

2. 令 $\boldsymbol{\nu}_1,\ldots,\boldsymbol{\nu}_r$ 为 $\boldsymbol{A}'\boldsymbol{A}$ 的正特征值对应的特征向量，$\boldsymbol{\nu}_{r+1},\ldots,\boldsymbol{\nu}_n$ 为 $\boldsymbol{A}'\boldsymbol{A}$ 的 0 特征值对应的特征向量，记 $\boldsymbol{V}_r=[\boldsymbol{\nu}_1,\ldots,\boldsymbol{\nu}_r]$，$\boldsymbol{V}_{n-r}=[\boldsymbol{\nu}_{r+1},\ldots,\boldsymbol{\nu}_n]$，则有：

$$\boldsymbol{V}=[\boldsymbol{V}_r,\ \boldsymbol{V}_{n-r}].$$

3. 将 $\sigma_1,\ldots,\sigma_r$ 构成对角阵：

$$\boldsymbol{\Sigma}_r=\begin{bmatrix}\sigma_1 & & & \\ & \sigma_2 & & \\ & & \ddots & \\ & & & \sigma_r\end{bmatrix}.$$

   则 $m\times n$ 维的矩形对角阵 $\boldsymbol{\Sigma}$ 为：

$$\boldsymbol{\Sigma}=\begin{bmatrix}\boldsymbol{\Sigma}_r & \boldsymbol{0}\\ \boldsymbol{0} & \boldsymbol{0}\end{bmatrix}.$$

4. 令

$$\boldsymbol{u}_j = \frac{1}{\sigma_j}\boldsymbol{A}\boldsymbol{\nu}_j, \quad j = 1, \ldots, r, \quad \boldsymbol{U}_r = [\boldsymbol{u}_1, \ldots, \boldsymbol{u}_r].$$

取 $\mathcal{N}(\boldsymbol{A}')$ 的一组标准正交基 $\boldsymbol{u}_{r+1}, \ldots, \boldsymbol{u}_m$，并令 $\boldsymbol{U}_{m-r} = [\boldsymbol{u}_{r+1}, \ldots, \boldsymbol{u}_m]$，则有：

$$\boldsymbol{U} = [\boldsymbol{U}_r, \boldsymbol{U}_{m-r}].$$

奇异值分解可以提供矩阵的低秩近似，常用来进行图像压缩，这涉及到截断(truncated)分解和紧致（compact）分解的概念：

定义 A.5. 紧致和截断奇异值分解

设 $\boldsymbol{A} \in \mathbb{R}^{m\times n}$，$\operatorname{rank}(\boldsymbol{A}) = r$，称

$$\boldsymbol{A} = \boldsymbol{U}_r\boldsymbol{\Sigma}_r\boldsymbol{V}_r' = \sum_{j=1}^{r}\sigma_j\boldsymbol{u}_j\boldsymbol{\nu}_j'$$

为 $\boldsymbol{A}$ 的紧致奇异值分解。

若 $0 < k < r$，$\boldsymbol{U}_k$、$\boldsymbol{V}_k$ 和 $\boldsymbol{\Sigma}_k$ 分别是 $\boldsymbol{U}_r$、$\boldsymbol{V}_r$ 和 $\boldsymbol{\Sigma}_r$ 的前 k 列构成的矩阵，称

$$\boldsymbol{A} \approx \boldsymbol{U}_k\boldsymbol{\Sigma}_k\boldsymbol{V}_k' = \sum_{j=1}^{k}\sigma_j\boldsymbol{u}_j\boldsymbol{\nu}_j'$$

为 $\boldsymbol{A}$ 的截断奇异值分解。 ♣

由 A.17 中的结论 3，$\sum_{j=1}^{k}\sigma_j\boldsymbol{u}_j\boldsymbol{\nu}_j'$ 的秩为 k，同时，由并矢矩阵的性质，$\sum_{j=1}^{k}\sigma_j\boldsymbol{u}_j\boldsymbol{\nu}_j'$ 是 k 个秩 1 的矩阵的和。如图 A.4 所示，左侧为秩为 200 的灰度图像的低秩近似，用来近似的矩阵秩为 20；右侧为原始灰度图像的紧致奇异值分解。

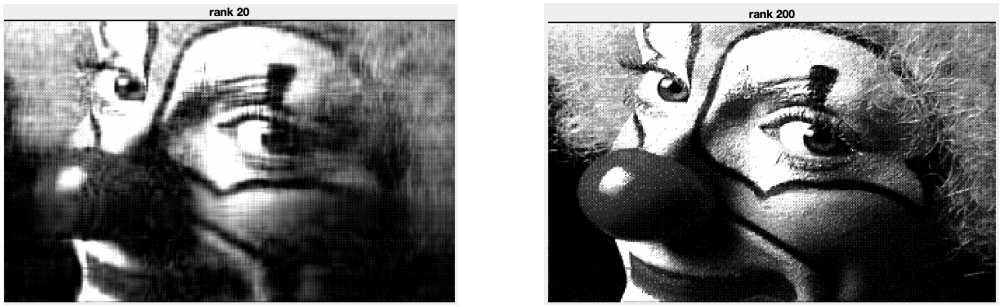

图 A.4: 奇异值分解用于图像压缩：截断分解（左）和紧致分解（右）

事实上，奇异值分解提供了矩阵的最优近似：

定理 A.14. 矩阵的最优近似

设矩阵 $\boldsymbol{A} \in \mathbb{R}^{m\times n}$ 的奇异值分解为 $\boldsymbol{U}\boldsymbol{\Sigma}\boldsymbol{V}'$，则

$$\|\boldsymbol{A}\|_F = \left(\sigma_1^2 + \sigma_2^2 + \cdots + \sigma_n^2\right)^{1/2}.$$

令 $\operatorname{rank}(\boldsymbol{A}) = r$，设 $\mathcal{M}$ 为 $\mathbb{R}^{m\times n}$ 中所有秩不超过 k 的矩阵的集合，$0 < k < r$，若秩为 k 的矩阵 $\boldsymbol{X} \in \mathcal{M}$ 满足：

$$\|\boldsymbol{A} - \boldsymbol{X}\|_F = \min_{\boldsymbol{S}\in\mathcal{M}}\|\boldsymbol{A} - \boldsymbol{S}\|_F,$$

则有：

$$\|\boldsymbol{A}-\boldsymbol{X}\|_F=\left(\sigma_{k+1}^2+\sigma_2^2+\cdots+\sigma_n^2\right)^{1/2}.$$

特别地，$\boldsymbol{A}_k=\sum_{j=1}^k\sigma_j\boldsymbol{u}_j\boldsymbol{v}_j'$ 满足：

$$\|\boldsymbol{A}-\boldsymbol{A}_k\|_F=\left(\sigma_{k+1}^2+\sigma_{k+2}^2+\cdots+\sigma_n^2\right)^{1/2}=\min_{\boldsymbol{S}\in\mathcal{M}}\|\boldsymbol{A}-\boldsymbol{S}\|_F.$$

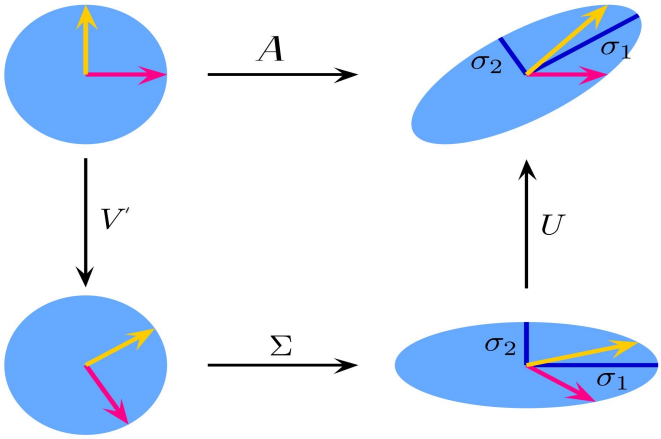

图 A.5: 奇异值分解的几何意义（图片来源：Wikipedia 奇异值分解词条）

图 A.5 说明了奇异值分解的几何意义：原始空间的一组标准正交基（左上单位圆中的红黄向量）经过坐标系的旋转变换 $\boldsymbol{V}'$（向量经过正交矩阵映射不改变向量长度，不改变向量间的夹角）、坐标轴的缩放变换 $\boldsymbol{\Sigma}$（纵轴缩短至 σ_2，长轴放大至 σ_1）以及坐标系的旋转变换 $\boldsymbol{U}$ 之后得到与直接经过 $\boldsymbol{A}$ 进行线性映射等价的结果。

A.14 矩阵的广义逆

在 A.8 中定义的矩阵的逆只适用于方阵，当矩阵不可逆或根本不是方阵时，可以定义矩阵的广义逆（generalized inverse）。

对于任意的矩阵 $\boldsymbol{A}\in\mathbb{R}^{m\times n}$，Penrose (1955) 证明满足下面四个条件的矩阵 $\boldsymbol{X}$ 是唯一的：

$$\begin{aligned}\boldsymbol{AXA}&=\boldsymbol{A};\\ \boldsymbol{XAX}&=\boldsymbol{X};\\ (\boldsymbol{AX})'&=\boldsymbol{AX};\\ (\boldsymbol{XA})'&=\boldsymbol{XA}.\end{aligned}$$

称这样的矩阵 $\boldsymbol{X}$ 为矩阵 $\boldsymbol{A}$ 的 Moore-Penrose 广义逆，记为 $\boldsymbol{A}^+$。此外，只满足第一个条件的矩阵 $\boldsymbol{X}$ 在研究线性方程组 $\boldsymbol{Ax}=\boldsymbol{b}$ 的解的表征时具有重要作用，被称为矩阵 $\boldsymbol{A}$ 的广义逆，记为 $\boldsymbol{A}^-$。

下面的定理表明：对任意的矩阵 $\boldsymbol{A}\in\mathbb{R}^{m\times n}$，$\boldsymbol{A}^-$ 总是存在的。

定理 A.15. 广义逆 A^- 的存在性

设 $\boldsymbol{A} \in \mathbb{R}^{m\times n}$，$\operatorname{rank}(\boldsymbol{A}) = r$。若

$$\boldsymbol{A} = \boldsymbol{P}\begin{pmatrix} \mathbf{I}_r & \mathbf{0} \\ \mathbf{0} & \mathbf{0} \end{pmatrix}\boldsymbol{Q},$$

其中，$\boldsymbol{P}$ 和 $\boldsymbol{Q}$ 非奇异，则

$$\boldsymbol{A}^- = \boldsymbol{Q}^{-1}\begin{pmatrix} \mathbf{I}_r & \boldsymbol{B} \\ \boldsymbol{C} & \boldsymbol{D} \end{pmatrix}\boldsymbol{P}^{-1},$$

这里的 $\boldsymbol{B}$、$\boldsymbol{C}$ 和 $\boldsymbol{D}$ 为满足维数要求的任意矩阵。 ♡

证明过程请参考李高荣，吴密霞 (2021) 的定理 1.2.6。此定理的另一个推论是：$\boldsymbol{A}^-$ 唯一当且仅当 $\boldsymbol{A}$ 为可逆方阵。

通常，广义逆 $\boldsymbol{A}^-$ 有无穷多个，但是矩阵的 Moore-Penrose 广义逆 $\boldsymbol{A}^+$ 是唯一的：

定理 A.16. 广义逆 A^+ 的存在唯一性

对任意的 $\boldsymbol{A} \in \mathbb{R}^{m\times n}$，$\boldsymbol{A}^+$ 是唯一的；若 $\boldsymbol{A}$ 的奇异值分解为

$$\boldsymbol{A} = \boldsymbol{U}\begin{pmatrix} \boldsymbol{\Sigma}_r & \mathbf{0} \\ \mathbf{0} & \mathbf{0} \end{pmatrix}\boldsymbol{V}',$$

则

$$\boldsymbol{A}^+ = \boldsymbol{V}\begin{pmatrix} \boldsymbol{\Sigma}_r^{-1} & \mathbf{0} \\ \mathbf{0} & \mathbf{0} \end{pmatrix}\boldsymbol{U}'.$$

♡

证明过程请参考李高荣，吴密霞 (2021) 的定理 1.2.8。

A.15 Kronecker 积与向量化算子

本节介绍矩阵的 Kronecker 积与向量化算子，它们在线性模型的参数估计中具有广泛的应用。

定义 A.6. Kronecker 积

设 $\boldsymbol{A} = (a_{ij})_{i=1,\,j=1}^{m,\,n} \in \mathbb{R}^{m\times n}$ 和 $\boldsymbol{B} = (b_{ij})_{i=1,\,j=1}^{p,\,q} \in \mathbb{R}^{p\times q}$，定义矩阵 $\boldsymbol{Q} = (a_{ij}\boldsymbol{B})_{i=1,\,j=1}^{m,\,n}$，称为 $\boldsymbol{A}$ 和 $\boldsymbol{B}$ 的 Kronecker 积，记为 $\boldsymbol{Q} = \boldsymbol{A}\otimes\boldsymbol{B}$，即，

$$\boldsymbol{A}\otimes\boldsymbol{B} = \begin{pmatrix} a_{11}\boldsymbol{B} & a_{12}\boldsymbol{B} & \cdots & a_{1n}\boldsymbol{B} \\ a_{21}\boldsymbol{B} & a_{22}\boldsymbol{B} & \cdots & a_{2n}\boldsymbol{B} \\ \vdots & \vdots & & \vdots \\ a_{m1}\boldsymbol{B} & a_{m2}\boldsymbol{B} & \cdots & a_{mn}\boldsymbol{B} \end{pmatrix}.$$

♣

Kronecker 积具有如下主要性质：

1. (结合律) $(\boldsymbol{A}\otimes\boldsymbol{B})\otimes\boldsymbol{C} = \boldsymbol{A}\otimes(\boldsymbol{B}\otimes\boldsymbol{C})$；
2. $(\alpha\boldsymbol{A})\otimes(\beta\boldsymbol{B}) = \alpha\beta(\boldsymbol{A}\otimes\boldsymbol{B})$，其中，$\alpha$，$\beta$ 是标量；

3. (分配律) $(\boldsymbol{A}_1+\boldsymbol{A}_2)\otimes\boldsymbol{B}=(\boldsymbol{A}_1\otimes\boldsymbol{B})+(\boldsymbol{A}_2\otimes\boldsymbol{B})$，$\boldsymbol{A}\otimes(\boldsymbol{B}_1+\boldsymbol{B}_2)=(\boldsymbol{A}\otimes\boldsymbol{B}_1)+(\boldsymbol{A}\otimes\boldsymbol{B}_2)$；
4. $(\boldsymbol{A}_1\otimes\boldsymbol{B}_1)(\boldsymbol{A}_2\otimes\boldsymbol{B}_2)=(\boldsymbol{A}_1\boldsymbol{A}_2)\otimes(\boldsymbol{B}_1\boldsymbol{B}_2)$；
5. $(\boldsymbol{A}\otimes\boldsymbol{B})'=\boldsymbol{A}'\otimes\boldsymbol{B}'$；
6. $(\boldsymbol{A}\otimes\boldsymbol{B})^{-1}=\boldsymbol{A}^{-1}\otimes\boldsymbol{B}^{-1}$；
7. $\operatorname{tr}(\boldsymbol{A}\otimes\boldsymbol{B})=\operatorname{tr}(\boldsymbol{A})\operatorname{tr}(\boldsymbol{B})$；
8. $\operatorname{rank}(\boldsymbol{A}\otimes\boldsymbol{B})=\operatorname{rank}(\boldsymbol{A})\operatorname{rank}(\boldsymbol{B})$；
9. $\boldsymbol{A}$ 和 $\boldsymbol{B}$ 分别是 n 阶和 m 阶方阵，$\det(\boldsymbol{A}\otimes\boldsymbol{B})=(\det\boldsymbol{A})^m(\det\boldsymbol{B})^n$。

定义 A.7. 向量化算子

设 $\boldsymbol{A}\in\mathbb{R}^{m\times n}$，将其按列分块为 $\begin{bmatrix}\boldsymbol{a}_1 & \dots & \boldsymbol{a}_n\end{bmatrix}$，把 $\boldsymbol{A}$ 的列依次排成 $mn\times 1$ 维列向量的运算称为向量化运算，记为：

$$\operatorname{vec}(\boldsymbol{A})=\begin{pmatrix}\boldsymbol{a}_1\\ \vdots\\ \boldsymbol{a}_n\end{pmatrix},$$

并称 $\operatorname{vec}(\cdot)$ 为向量化算子。 ♣

向量化运算具有如下主要性质：

1. $\operatorname{vec}(\boldsymbol{A}+\boldsymbol{B})=\operatorname{vec}(\boldsymbol{A})+\operatorname{vec}(\boldsymbol{B})$；
2. $\operatorname{vec}(\alpha\boldsymbol{A})=\alpha\operatorname{vec}(\boldsymbol{A})$，其中，$\alpha$ 是标量；
3. $\operatorname{tr}(\boldsymbol{AB})=(\operatorname{vec}(\boldsymbol{A}'))'\operatorname{vec}(\boldsymbol{B})$；
4. 设 $\boldsymbol{a}$ 和 $\boldsymbol{b}$ 分别是 $n\times 1$ 和 $m\times 1$ 维列向量，则 $\operatorname{vec}(\boldsymbol{ab}')=\boldsymbol{b}\otimes\boldsymbol{a}$；
5. $\operatorname{vec}(\boldsymbol{ABC})=(\boldsymbol{C}'\otimes\boldsymbol{A})\operatorname{vec}(\boldsymbol{B})$。

A.16 矩阵求导

求解计量经济学中遇到的最优化问题常会涉及矩阵的求导，本质上，矩阵求导就是多元函数的求导。本节给出一些关于矩阵求导的常用结论，想进一步学习相关知识的读者可以参考王松桂，史建红，尹素菊，吴密霞 (2004)。

令 $\boldsymbol{X}\in\mathbb{R}^{m\times n}$，$y=f(\boldsymbol{X})$ 是 $\boldsymbol{X}$ 的实值函数，这里我们假设 $\boldsymbol{X}$ 中的每个元素 x_{ij} 不是其他元素的函数，$i=1,\dots,m$，$j=1,\dots,n$。类似于数学分析中的方向导数，矩阵可微的定义为：

定义 A.8. Gâteaux 可微

设 $f(\boldsymbol{X})$ 为矩阵 $\boldsymbol{X}$ 的实值函数，如果存在矩阵 $\boldsymbol{G}\in\mathbb{R}^{m\times n}$，对任意的方向 $\boldsymbol{V}\in\mathbb{R}^{m\times n}$ 满足：

$$\lim_{t\to 0}\frac{f(\boldsymbol{X}+t\boldsymbol{V})-f(\boldsymbol{X})-t\langle\boldsymbol{G},\boldsymbol{V}\rangle}{t}=0, \tag{A.15}$$

则称 f 关于 $\boldsymbol{X}$ 是 Gâteaux 可微的，满足上式的 $\boldsymbol{G}$ 称为 f 在 $\boldsymbol{X}$ 处（Gâteaux 可微意义上）的梯度。 ♣

$f(\boldsymbol{X})$ 的梯度可以用其偏导数表示为：

$$\nabla f(\boldsymbol{X}) = \begin{pmatrix} \frac{\partial y}{\partial x_{11}} & \frac{\partial y}{\partial x_{12}} & \cdots & \frac{\partial y}{\partial x_{1n}} \\ \frac{\partial y}{\partial x_{21}} & \frac{\partial y}{\partial x_{22}} & \cdots & \frac{\partial y}{\partial x_{2n}} \\ \vdots & \vdots & & \vdots \\ \frac{\partial y}{\partial x_{m1}} & \frac{\partial y}{\partial x_{m2}} & \cdots & \frac{\partial y}{\partial x_{mn}} \end{pmatrix}.$$

若 $\boldsymbol{x}$ 是 n 维列向量，$f(\boldsymbol{x})$ 在 $\boldsymbol{x}$ 处的梯度表示为：

$$\nabla f(\boldsymbol{x}) \equiv \frac{\partial f(\boldsymbol{x})}{\partial \boldsymbol{x}} = \left(\frac{\partial y}{\partial x_1}, \ldots, \frac{\partial y}{\partial x_n}\right)'.$$

本书中约定：

$$\frac{\partial f(\boldsymbol{x})}{\partial \boldsymbol{x}'} \equiv \left(\frac{\partial y}{\partial x_1}, \ldots, \frac{\partial y}{\partial x_n}\right).$$

此外，设 f 二阶可微，将 $\nabla f(\boldsymbol{x})$ 关于 $\boldsymbol{x}'$ 的导数称为 f 在 $\boldsymbol{x}$ 处的海塞矩阵：

$$\nabla^2 f(\boldsymbol{x}) \equiv \frac{\partial \nabla f(\boldsymbol{x})}{\partial \boldsymbol{x}'} = \begin{bmatrix} \frac{\partial^2 y}{\partial x_1^2} & \frac{\partial^2 y}{\partial x_1 \partial x_2} & \cdots & \frac{\partial^2 y}{\partial x_1 \partial x_n} \\ \frac{\partial^2 y}{\partial x_2 \partial x_1} & \frac{\partial^2 y}{\partial x_2^2} & \cdots & \frac{\partial^2 y}{\partial x_2 \partial x_n} \\ \vdots & \vdots & \ddots & \vdots \\ \frac{\partial^2 y}{\partial x_n \partial x_1} & \frac{\partial^2 y}{\partial x_n \partial x_2} & \cdots & \frac{\partial^2 y}{\partial x_n^2} \end{bmatrix}.$$

下面总结一些常用的矩阵（向量）求导结论：

1. $\frac{\partial}{\partial \boldsymbol{x}}(\boldsymbol{a}'\boldsymbol{x}) = \frac{\partial}{\partial \boldsymbol{x}}(\boldsymbol{x}'\boldsymbol{a}) = \boldsymbol{a}$；
2. $\frac{\partial}{\partial \boldsymbol{x}}(\boldsymbol{x}'\boldsymbol{A}) = \boldsymbol{A}$，$\frac{\partial}{\partial \boldsymbol{x}'}(\boldsymbol{A}\boldsymbol{x}) = \boldsymbol{A}$，$\boldsymbol{A} \in \mathbb{R}^{m\times n}$；
3. $\frac{\partial}{\partial \boldsymbol{x}}(\boldsymbol{x}'\boldsymbol{A}\boldsymbol{x}) = (\boldsymbol{A}+\boldsymbol{A}')\boldsymbol{x}$，$\boldsymbol{A} \in \mathbb{R}^{n\times n}$；
4. $\frac{\partial^2}{\partial \boldsymbol{x}\partial \boldsymbol{x}'}(\boldsymbol{x}'\boldsymbol{A}\boldsymbol{x}) = \boldsymbol{A}+\boldsymbol{A}'$，$\boldsymbol{A} \in \mathbb{R}^{n\times n}$；
5. $\frac{\partial}{\partial \boldsymbol{A}}\operatorname{tr}(\boldsymbol{B}\boldsymbol{A}) = \boldsymbol{B}'$，$\boldsymbol{A} \in \mathbb{R}^{m\times n}$，$\boldsymbol{B} \in \mathbb{R}^{n\times m}$；
6. $\frac{\partial}{\partial \boldsymbol{A}}\log\det(\boldsymbol{A}) = (\boldsymbol{A}^{-1})'$，$\boldsymbol{A}$ 非奇异。

证明

1. 注意到

$$\frac{\partial \boldsymbol{a}'\boldsymbol{x}}{\partial x_j} = \frac{\partial}{\partial x_j}(a_1x_1 + \cdots + a_nx_n) = a_j.$$

于是，

$$\frac{\partial \boldsymbol{a}'\boldsymbol{x}}{\partial \boldsymbol{x}} = \left(\frac{\partial \boldsymbol{a}'\boldsymbol{x}}{\partial x_1}, \ldots, \frac{\partial \boldsymbol{a}'\boldsymbol{x}}{\partial x_n}\right)' = \boldsymbol{a}.$$

2. 将 $\boldsymbol{A}$ 记为 $\begin{bmatrix} \boldsymbol{a}_1 & \ldots & \boldsymbol{a}_n \end{bmatrix}$，则有：

$$\frac{\partial}{\partial \boldsymbol{x}}(\boldsymbol{x}'\boldsymbol{A}) = \frac{\partial}{\partial \boldsymbol{x}}\begin{bmatrix} \boldsymbol{x}'\boldsymbol{a}_1 & \ldots & \boldsymbol{x}'\boldsymbol{a}_n \end{bmatrix} = \begin{bmatrix} \boldsymbol{a}_1 & \ldots & \boldsymbol{a}_n \end{bmatrix} = \boldsymbol{A}.$$

将 $\boldsymbol{A}$ 记为 $\begin{bmatrix} \boldsymbol{\alpha}_1 & \ldots & \boldsymbol{\alpha}_m \end{bmatrix}'$，则有：

$$\frac{\partial}{\partial \boldsymbol{x}'}(\boldsymbol{A}\boldsymbol{x}) = \frac{\partial}{\partial \boldsymbol{x}'}\begin{bmatrix} \boldsymbol{\alpha}_1'\boldsymbol{x} & \ldots & \boldsymbol{\alpha}_m'\boldsymbol{x} \end{bmatrix}' = \begin{bmatrix} \boldsymbol{\alpha}_1 & \ldots & \boldsymbol{\alpha}_m \end{bmatrix}' = \boldsymbol{A}.$$

3. 注意到 $\boldsymbol{x}'\boldsymbol{A}\boldsymbol{x} = \boldsymbol{x}'\boldsymbol{A}'\boldsymbol{x}$，由求导的乘法法则，我们有：

$$\frac{\partial}{\partial \boldsymbol{x}}(\boldsymbol{x}'\boldsymbol{A}\boldsymbol{x}) = \frac{\partial}{\partial \boldsymbol{x}}(\boldsymbol{x}'\mathbf{I}_n)\boldsymbol{A}\boldsymbol{x} + \frac{\partial}{\partial \boldsymbol{x}}(\boldsymbol{x}'\boldsymbol{A}')\boldsymbol{x} = \mathbf{I}_n\boldsymbol{A}\boldsymbol{x} + \boldsymbol{A}'\boldsymbol{x} = (\boldsymbol{A}+\boldsymbol{A}')\boldsymbol{x}.$$

4. 由结论 3，
$$\frac{\partial^2}{\partial \boldsymbol{x}\partial \boldsymbol{x}'}\left(\boldsymbol{x}'\boldsymbol{A}\boldsymbol{x}\right)=\frac{\partial}{\partial \boldsymbol{x}}\frac{\partial}{\partial \boldsymbol{x}'}\left(\boldsymbol{x}'\boldsymbol{A}\boldsymbol{x}\right)=\frac{\partial}{\partial \boldsymbol{x}}\boldsymbol{x}'\left(\boldsymbol{A}+\boldsymbol{A}'\right)=\boldsymbol{A}+\boldsymbol{A}'.$$
5. 注意到 $\operatorname{tr}(\boldsymbol{B}\boldsymbol{A})=\sum_{i=1}^{m}\sum_{j=1}^{n}a_{ij}b_{ji}$，因此，
$$\frac{\partial}{\partial a_{ij}}\operatorname{tr}(\boldsymbol{B}\boldsymbol{A})=b_{ji},$$
即，
$$\left[\frac{\partial}{\partial \boldsymbol{A}}\operatorname{tr}(\boldsymbol{B}\boldsymbol{A})\right]_{ij}=b_{ji}.$$
结论 5 得证。此定理也可以从定义 A.8 直接推出。事实上，
$$\lim_{t\to 0}\frac{\operatorname{tr}[\boldsymbol{B}(\boldsymbol{A}+t\boldsymbol{V})]-\operatorname{tr}(\boldsymbol{B}\boldsymbol{A})}{t}=\operatorname{tr}(\boldsymbol{B}\boldsymbol{V})=\operatorname{tr}(\boldsymbol{V}\boldsymbol{B})=\langle \boldsymbol{B}',\boldsymbol{V}\rangle,$$
其中，第一个等号用到了式 (A.4)，第二个等号用到了式 (A.2)，最后一个等号用到了式 (A.7)。
6. 由计算行列式的公式 (A.8)、矩阵求逆公式 (A.11) 和复合函数求导公式，我们有：
$$\frac{\partial}{\partial a_{ij}}\log\det(\boldsymbol{A})=(\det\boldsymbol{A})^{-1}\frac{\partial}{\partial a_{ij}}\det\boldsymbol{A}=(\det\boldsymbol{A})^{-1}[\boldsymbol{C}]_{ij},$$
因此，
$$\frac{\partial}{\partial \boldsymbol{A}}\log\det(\boldsymbol{A})=(\det\boldsymbol{A})^{-1}\boldsymbol{C}=(\det\boldsymbol{A})^{-1}[\operatorname{adj}(\boldsymbol{A})]'=\left(\boldsymbol{A}^{-1}\right)'.$$

A.17 其他重要结论

在介绍了向量和矩阵涉及的主要概念之后，本附录最后总结一些常用的矩阵代数相关结论，供读者查阅。

1. 对任意的矩阵 $\boldsymbol{A}$，$\mathcal{R}(\boldsymbol{A})=\mathcal{R}(\boldsymbol{A}\boldsymbol{A}')$。
2. 令 $\boldsymbol{A}\in\mathbb{R}^{m\times n}$，则有：
$$\operatorname{rank}(\boldsymbol{A})=\operatorname{rank}(\boldsymbol{A}\boldsymbol{A}')=\operatorname{rank}(\boldsymbol{A}'\boldsymbol{A}). \tag{A.16}$$
（结论 1 和 2 的证明见 Abadir et al. (2005) 的 Exercise 4.13）
3. 令 $\boldsymbol{A}\in\mathbb{R}^{m\times n}$，$\boldsymbol{B}$ 和 $\boldsymbol{C}$ 分别是 m 阶和 n 阶非奇异阵，则有：
$$\operatorname{rank}(\boldsymbol{B}\boldsymbol{A})=\operatorname{rank}(\boldsymbol{A}\boldsymbol{C})=\operatorname{rank}(\boldsymbol{B}\boldsymbol{A}\boldsymbol{C})=\operatorname{rank}(\boldsymbol{A}).$$
（证明见 Abadir et al. (2005) 的 Exercise 4.24）
4. 假设矩阵 $\boldsymbol{A}$、$\boldsymbol{B}$ 和 $\boldsymbol{C}$ 满足可相乘条件，则有：
$$\begin{aligned}\operatorname{rank}(\boldsymbol{B}\boldsymbol{A}) &= \operatorname{rank}(\boldsymbol{A}), \quad \text{如果 } \boldsymbol{B} \text{ 列满秩},\\ \operatorname{rank}(\boldsymbol{A}\boldsymbol{C}) &= \operatorname{rank}(\boldsymbol{A}), \quad \text{如果 } \boldsymbol{C} \text{ 行满秩}.\end{aligned}$$
（证明见 Abadir et al. (2005) 的 Exercise 4.25）
5. 若 $\boldsymbol{A}\in\mathbb{S}^n$，且具有 r 个非零特征值，则 $\operatorname{rank}(\boldsymbol{A})=r$。（利用谱分解定理和本节结论 2 即可证明）
6. 设 $\boldsymbol{A}$ 是 n 阶对称方阵，则 $\operatorname{tr}\boldsymbol{A}=\sum_{i=1}^{n}\lambda_i$，$\det\boldsymbol{A}=\prod_{i=1}^{n}\lambda_i$。（利用谱分解定理即

可证明）

7. 设 $\boldsymbol{A}$ 是 n 阶方阵，则 $\operatorname{tr}\boldsymbol{A} = \sum_{i=1}^{n}\lambda_i$，$\det\boldsymbol{A} = \prod_{i=1}^{n}\lambda_i$。（证明见 Abadir et al. (2005) 的 Exercise 7.26 和 7.27）
8. 令 λ 是 $\boldsymbol{A}$ 的特征值，其对应的特征向量为 $\boldsymbol{\nu}$，则有：
   - 对任意的标量 s 和 t，$s - t\lambda$ 是矩阵 $s\mathbf{I} - t\boldsymbol{A}$ 的特征值，其对应的特征向量为 $\boldsymbol{\nu}$；
   - λ^k 是矩阵 $\boldsymbol{A}^k$ 的特征值，$k = 2, 3, \ldots$，其对应的特征向量为 $\boldsymbol{\nu}$；
   - λ^{-1} 是矩阵 $\boldsymbol{A}^{-1}$ 的特征值，其对应的特征向量为 $\boldsymbol{\nu}$。

   （证明见 Abadir et al. (2005) 的 Exercise 7.14）
9. 令 $\boldsymbol{A} \in \mathbb{R}^{m\times n}$ 和 $\boldsymbol{B} \in \mathbb{R}^{n\times m}$，则有 $\det(\mathbf{I}_m - \boldsymbol{AB}) = \det(\mathbf{I}_n - \boldsymbol{BA})$，并且 $\boldsymbol{BA}$ 和 $\boldsymbol{AB}$ 的非零特征值是相同的。（证明见 Abadir et al. (2005) 的 Exercise 7.25）
10. $\boldsymbol{A} \succ \mathbf{0}$ 当且仅当 $\boldsymbol{A}^{-1} \succ \mathbf{0}$。（证明见 Abadir et al. (2005) 的 Exercise 8.14）
11. 幂等阵的特征值只能是 0 和 1，反之不成立。（证明见 Abadir et al. (2005) 的 Exercise 8.56）
12. 对任意的幂等阵 $\boldsymbol{A}$（不一定是对称阵），$\operatorname{rank}(\boldsymbol{A}) = \operatorname{tr}(\boldsymbol{A})$。（证明见 Abadir et al. (2005) 的 Exercise 8.61）

附录 B 概率论与数理统计

概率论与数理统计是计量经济学的重要数学基础，本附录汇总了书中涉及到的相关概念和结果，主要内容包括：随机序列的收敛方式、时间序列的渐近理论、Bootstrap 的渐近理论、多元正态分布及其性质和常用概率不等式。进一步深入学习概率论与数理统计的基础知识可以参考 Hansen (2022b) 和苏淳，冯群强 (2020)；李高荣，吴密霞 (2021) 对多元统计分析进行了较全面地介绍；Lin et al. (2010) 总结了大多数常用的概率不等式；时间序列的渐近理论可以参考 Hall et al. (1980)。

B.1 矩生成函数

顾名思义，矩生成函数（moment generating function, mgf）可以用来计算随机变量的各阶矩。然而，计算矩并不是 mgf 的唯一用途，它的另一大用途是刻画概率分布，通过随机变量的 mgf 的具体形式，可以判断随机变量服从何种分布。下面给出 mgf 的定义：

定义 B.1. 矩生成函数

令 x 是随机变量，其分布函数为 F_{x}，x 的矩生成函数，或称为 F_{x} 的矩生成函数，定义为：

$$M_{\mathrm{x}}(t) = \mathbb{E}\left[\exp(t\mathrm{x})\right].$$

如果存在 $\delta > 0$ 使得，对所有的 $-\delta < t < \delta$，$\mathbb{E}\left[\exp(t\mathrm{x})\right]$ 存在，则称 x 的矩生成函数存在；否则，称 x 的矩生成函数不存在。 ♣

矩生成函数具有如下重要的性质：

性质 （矩生成性质）如果 x 的 mgf 为 $M_{\mathrm{x}}(t)$，则：

$$\mathbb{E}(\mathrm{x}^k) = M_{\mathrm{x}}^{(k)}(0),$$

其中，

$$M_{\mathrm{x}}^{(k)}(0) \equiv \frac{d^k}{dt^k} M_{\mathrm{x}}(t)\bigg|_{t=0},$$

即，x 的 k 阶矩等于 $M_{\mathrm{x}}(t)$ 的 k 阶导在 $t = 0$ 处的取值。（证明见 Casella et al. (2002) 的定理 2.3.7）

性质 （唯一性）令 $F_{\mathrm{x}}(x)$ 和 $F_{\mathrm{y}}(y)$ 是两个累积分布函数，并且它们的各阶矩存在，则有：

(a) 如果 x 和 y 具有有限的支撑，则 $F_{\mathrm{x}}(u) = F_{\mathrm{y}}(u)$，$\forall\, u$，当且仅当 $\mathbb{E}(\mathrm{x}^r) = \mathbb{E}(\mathrm{y}^r)$，$r = 0, 1, 2, \ldots$；

(b) 若 x 和 y 的 mgf 存在，并且，对 0 的某一邻域内的所有 t，$M_{\mathrm{x}}(t) = M_{\mathrm{y}}(t)$，则 $F_{\mathrm{x}}(u) = F_{\mathrm{y}}(u)$，$\forall\, u$。

（证明见 Shao (2003) 的定理 1.6）

性质 （收敛性质）令 $\{\mathrm{x}_i,\, i = 1, 2, \ldots\}$ 是随机变量的序列，x_i 的 mgf 为 $M_{\mathrm{x}_i}(t)$。若存在

$\delta > 0$ 使得：

$$\lim_{i\to\infty} M_{\mathrm{x}_i}(t) = M_{\mathrm{x}}(t), \quad \forall\, t \in (-\delta, \delta),$$

其中，$M_{\mathrm{x}}(t)$ 是一 mgf，则存在唯一的累积分布函数 F_{x}，其各阶矩由 $M_{\mathrm{x}}(t)$ 确定，并且，对于所有满足 $F_{\mathrm{x}}(x)$ 连续的 x，我们有：

$$\lim_{i\to\infty} F_{\mathrm{x}_i}(x) = F_{\mathrm{x}}(x).$$

（证明见 Feller (1971) 的 433 页定理 2a）

性质 （仿射变换的矩生成函数）对任意的常数 a 和 b，随机变量 $a\mathrm{x}+b$ 的 mgf 为：

$$M_{a\mathrm{x}+b}(t) = \exp(bt)M_{\mathrm{x}}(at).$$

（证明见 Casella et al. (2002) 的定理 2.3.15）

B.2 变换

令 x 是随机变量，其 cdf 为 $F_{\mathrm{x}}(x)$，样本空间为 $\mathcal{X}$，x 的任意函数 $\mathrm{y} = g(\mathrm{x})$ 也是随机变量，$g(\cdot)$ 定义了从 $\mathcal{X}$ 到新的样本空间 $\mathcal{Y}$ 的一个映射。随机变量 y 的分布由 $F_{\mathrm{x}}(x)$ 和 $g(\cdot)$ 确定：

$$\mathbb{P}\left[\mathrm{y} \in A\right] = \mathbb{P}\left[g(\mathrm{x}) \in A\right] = \mathbb{P}\left[\mathrm{x} \in g^{-1}(A)\right],$$

其中，$g^{-1}(A) = \{x \in \mathcal{X} \mid g(x) \in A\}$。

如果 x 是离散随机变量，则 $\mathcal{X}$ 是可数集，$\mathcal{Y} = \{y \mid y = g(x),\ x \in \mathcal{X}\}$ 也是可数集。因此，y 也是离散随机变量，其概率质量（mass）函数为：

$$f_{\mathrm{y}}(y) = \mathbb{P}(\mathrm{y} = y) = \sum_{x \in g^{-1}(y)} \mathbb{P}(\mathrm{x} = x), \quad \forall\, y \in \mathcal{Y}.$$

如果 x 和 y 是连续随机变量，则 y 的 cdf 为：

$$F_{\mathrm{y}}(y) = \mathbb{P}[g(\mathrm{x}) \leqslant y] = \int_{\{x \in \mathcal{X} \mid g(x) \leqslant y\}} f_{\mathrm{x}}(x)dx.$$

当 $g(\cdot)$ 为单调函数时，有如下结论：（证明过程见 Casella et al. (2002) 的第 50 页）

定理 B.1. 单调变换的累积分布函数

设 $\mathrm{x} \sim F_{\mathrm{x}}(x)$，$\mathrm{y} = g(\mathrm{x})$，定义：

$$\mathcal{X} = \{x \mid f_{\mathrm{x}}(x) > 0\}, \quad \mathcal{Y} = \{y \mid \text{存在 } x \in \mathcal{X} \text{ 使得 } y = g(x)\}. \tag{B.1}$$

(a) 如果 g 是 $\mathcal{X}$ 上的严格单调递增函数，则，对任意的 $y \in \mathcal{Y}$，$F_{\mathrm{y}}(y) = F_{\mathrm{x}}(g^{-1}(y))$；

(b) 如果 g 是 $\mathcal{X}$ 上的严格单调递减函数且 x 是连续随机变量，则，对任意的 $y \in \mathcal{Y}$，$F_{\mathrm{y}}(y) = 1 - F_{\mathrm{x}}(g^{-1}(y))$。

♡

考虑区间 $(x, x+dx)$，其中，dx 是一个微小的增量，函数 $g(\cdot)$ 将此区间映射为 $(y, y+dy)$，容易知道这两个区间的概率质量应该相同，即，$f_{\mathrm{x}}(x)dx = f_{\mathrm{y}}(y)dy$，等价地，

$$f_{\mathrm{y}}(y) = f_{\mathrm{x}}(x)\frac{dx}{dy}.$$

事实上，由定理 B.1 和求导链式法则，可以推出如下重要结论：

定理 B.2. 单调变换的概率密度函数

设 $\mathrm{x} \sim F_{\mathrm{x}}(x)$，$\mathrm{y} = g(\mathrm{x})$，其中，$g(\cdot)$ 是严格单调函数。并且，$f_{\mathrm{x}}(x)$ 在 $\mathcal{X}$ 上连续，$g^{-1}(y)$ 在 $\mathcal{Y}$ 上具有连续导数，其中，$\mathcal{X}$ 和 $\mathcal{Y}$ 的定义与 (B.1) 相同，则随机变量 y 的概率密度函数为：

$$f_{\mathrm{y}}(y) = \begin{cases} f_{\mathrm{x}}\left(g^{-1}(y)\right) \left|\dfrac{d}{dy} g^{-1}(y)\right|, & y \in \mathcal{Y} \\ 0, & y \notin \mathcal{Y}. \end{cases} \tag{B.2}$$

♡

上述结论可以推广到多元情形：设 $\mathbf{x} = (\mathrm{x}_1, \ldots, \mathrm{x}_n)'$ 是 n 维随机向量，其联合密度为 $f_{\mathbf{x}}(\boldsymbol{x})$。进一步，再假设 $\mathbf{y} = \boldsymbol{g}(\mathbf{x}) = (g_1(\mathbf{x}), \ldots, g_n(\mathbf{x}))'$ 是一一对应（one-to-one correspondence）的变换，并且逆变换 $\mathbf{x} = \boldsymbol{g}^{-1}(\mathbf{y})$ 存在，若偏导数 $\frac{\partial x_i}{\partial y_j}$，$(i, j = 1, 2, \ldots, n)$，存在且连续，则 $\mathbf{y} = \boldsymbol{g}(\mathbf{x})$ 的联合密度函数存在，并且可以表达为：

$$f_{\mathbf{y}}(\boldsymbol{y}) = f_{\mathbf{x}}(\boldsymbol{g}^{-1}(\boldsymbol{y})) \cdot |\det \boldsymbol{J}|,$$

其中，

$$[\boldsymbol{J}]_{ij} = \frac{\partial x_i}{\partial y_j}, \quad i, j = 1, 2, \ldots, n,$$

称 $\det \boldsymbol{J}$ 为变换 $\mathbf{y} = \boldsymbol{g}(\mathbf{x})$ 的雅可比行列式。

B.3 随机向量和随机矩阵

若一向量的元素为随机变量，则称此向量为随机向量。类似地，若一矩阵的元素为随机变量，则称此矩阵为随机矩阵。令 $\mathbf{X} = (\mathrm{x}_{ij})$ 为 $m \times n$ 维随机矩阵，$\mathbf{X}$ 的期望（假设期望存在），记为 $\mathbb{E}[\mathbf{X}]$，定义为：

$$\mathbb{E}[\mathbf{X}] = \begin{bmatrix} \mathbb{E}(\mathrm{x}_{11}) & \mathbb{E}(\mathrm{x}_{12}) & \cdots & \mathbb{E}(\mathrm{x}_{1n}) \\ \mathbb{E}(\mathrm{x}_{21}) & \mathbb{E}(\mathrm{x}_{22}) & \cdots & \mathbb{E}(\mathrm{x}_{2n}) \\ \vdots & \vdots & \ddots & \vdots \\ \mathbb{E}(\mathrm{x}_{m1}) & \mathbb{E}(\mathrm{x}_{n2}) & \cdots & \mathbb{E}(\mathrm{x}_{mn}) \end{bmatrix}.$$

特别地，当 $n = 1$ 时，随机向量 $\mathbf{x} = (\mathrm{x}_1, \ldots, \mathrm{x}_m)'$ 的期望为：

$$\mathbb{E}[\mathbf{x}] = \begin{bmatrix} \mathbb{E}(\mathrm{x}_1) \\ \mathbb{E}(\mathrm{x}_2) \\ \vdots \\ \mathbb{E}(\mathrm{x}_m) \end{bmatrix} = \begin{bmatrix} \mu_1 \\ \mu_2 \\ \vdots \\ \mu_m \end{bmatrix} \equiv \boldsymbol{\mu}.$$

随机矩阵的期望具有如下线性性质：令 $\mathbf{X}$ 和 $\mathbf{Y}$ 为随机矩阵，常数矩阵 $\boldsymbol{A}$ 和 $\boldsymbol{B}$ 满足可相乘条件，则有：

$$\mathbb{E}(\mathbf{X} + \mathbf{Y}) = \mathbb{E}[\mathbf{X}] + \mathbb{E}[\mathbf{Y}]; \tag{B.3}$$

$$\mathbb{E}(\boldsymbol{A}\mathbf{X}\boldsymbol{B}) = \boldsymbol{A}\mathbb{E}[\mathbf{X}]\boldsymbol{B}. \tag{B.4}$$

随机向量 $\mathbf{x}$ 的协方差矩阵定义为：$\mathrm{Var}(\mathbf{x}) \equiv \mathbb{E}\left[(\mathbf{x}-\boldsymbol{\mu})(\mathbf{x}-\boldsymbol{\mu})'\right]$。具体地，

$$
\begin{aligned}
\boldsymbol{\Sigma} &= \mathbb{E}\left[(\mathbf{x}-\boldsymbol{\mu})(\mathbf{x}-\boldsymbol{\mu})'\right] \\
&= \mathbb{E}\left(\begin{bmatrix} \mathrm{x}_1-\mu_1 \\ \mathrm{x}_2-\mu_2 \\ \vdots \\ \mathrm{x}_m-\mu_m \end{bmatrix}\left[\mathrm{x}_1-\mu_1, \mathrm{x}_2-\mu_2, \ldots, \mathrm{x}_m-\mu_m\right]\right) \\
&= \begin{bmatrix} \mathbb{E}\left(\mathrm{x}_1-\mu_1\right)^2 & \mathbb{E}\left(\mathrm{x}_1-\mu_1\right)\left(\mathrm{x}_2-\mu_2\right) & \cdots & \mathbb{E}\left(\mathrm{x}_1-\mu_1\right)\left(\mathrm{x}_m-\mu_m\right) \\ \mathbb{E}\left(\mathrm{x}_2-\mu_2\right)\left(\mathrm{x}_1-\mu_1\right) & \mathbb{E}\left(\mathrm{x}_2-\mu_2\right)^2 & \cdots & \mathbb{E}\left(\mathrm{x}_2-\mu_2\right)\left(\mathrm{x}_m-\mu_m\right) \\ \vdots & \vdots & \ddots & \vdots \\ \mathbb{E}\left(\mathrm{x}_m-\mu_m\right)\left(\mathrm{x}_1-\mu_1\right) & \mathbb{E}\left(\mathrm{x}_m-\mu_m\right)\left(\mathrm{x}_2-\mu_2\right) & \cdots & \mathbb{E}\left(\mathrm{x}_m-\mu_m\right)^2 \end{bmatrix} \\
&= \begin{bmatrix} \sigma_1^2 & \sigma_{12} & \cdots & \sigma_{1m} \\ \sigma_{21} & \sigma_2^2 & \cdots & \sigma_{2m} \\ \vdots & \vdots & \ddots & \vdots \\ \sigma_{m1} & \sigma_{m2} & \cdots & \sigma_m^2 \end{bmatrix}.
\end{aligned}
$$

因为 $\sigma_{ij} = \mathbb{E}\left(\mathrm{x}_i-\mu_i\right)\left(\mathrm{x}_j-\mu_j\right) = \mathbb{E}\left(\mathrm{x}_j-\mu_j\right)\left(\mathrm{x}_i-\mu_i\right) = \sigma_{ji}$，所以 $\boldsymbol{\Sigma}$ 是对称矩阵。同时，容易验证：$\boldsymbol{\Sigma}$ 是半正定矩阵。

随机向量的期望和协方差矩阵具有如下性质：

- 令 $\boldsymbol{c}$ 为 m 维常数向量，则有：

$$\mathbb{E}(\boldsymbol{c}'\mathbf{x}) = \boldsymbol{c}'\boldsymbol{\mu}, \quad \mathrm{Var}(\boldsymbol{c}'\mathbf{x}) = \boldsymbol{c}'\boldsymbol{\Sigma}\boldsymbol{c}. \tag{B.5}$$

- 令 $\mathbf{z} = \boldsymbol{C}\mathbf{x}$，其中，$\boldsymbol{C}$ 为 $n \times m$ 维常数矩阵，则有：

$$\mathbb{E}(\mathbf{z}) = \boldsymbol{C}\boldsymbol{\mu}, \quad \mathrm{Var}(\mathbf{z}) = \boldsymbol{C}\boldsymbol{\Sigma}\boldsymbol{C}'. \tag{B.6}$$

- 令 $\boldsymbol{A}$ 是 $m \times m$ 维常数矩阵，则有：

$$\mathbb{E}(\mathbf{x}'\boldsymbol{A}\mathbf{x}) = \mathrm{tr}(\boldsymbol{A}\boldsymbol{\Sigma}) + \boldsymbol{\mu}'\boldsymbol{A}\boldsymbol{\mu}. \tag{B.7}$$

令 $\mathbf{x}$ 和 $\mathbf{y}$ 分别是 m 维和 n 维随机向量，若对于任意的 $1 \leqslant i \leqslant m$，$1 \leqslant j \leqslant n$，$\mathrm{x}_i$ 和 y_j 的协方差 $\mathrm{Cov}(\mathrm{x}_i, \mathrm{y}_j)$ 存在，则称

$$\mathrm{Cov}(\mathbf{x}, \mathbf{y}) \equiv \mathbb{E}\left[(\mathbf{x}-\boldsymbol{\mu}_{\mathbf{x}})(\mathbf{y}-\boldsymbol{\mu}_{\mathbf{y}})'\right]$$

为随机向量 $\mathbf{x}$ 和 $\mathbf{y}$ 的协方差矩阵，其中，$\boldsymbol{\mu}_{\mathbf{x}}$ 和 $\boldsymbol{\mu}_{\mathbf{y}}$ 分别是 $\mathbf{x}$ 和 $\mathbf{y}$ 的期望向量。简单计算可知 $[\mathrm{Cov}(\mathbf{x}, \mathbf{y})]_{ij} = \mathrm{Cov}(\mathrm{x}_i, \mathrm{y}_j)$。两个随机向量的协方差矩阵具有如下性质：令常数矩阵 $\boldsymbol{A}$ 和 $\boldsymbol{B}$ 满足可相乘条件，则有：

$$\mathrm{Cov}(\boldsymbol{A}\mathbf{x}, \boldsymbol{B}\mathbf{y}) = \boldsymbol{A}\,\mathrm{Cov}(\mathbf{x}, \mathbf{y})\boldsymbol{B}'.$$

B.4 渐近理论

渐近理论是分析估计量和检验统计量大样本性质的理论基础，它首先涉及的是随机变量序列的不同收敛方式。令随机变量的序列 $\{\mathrm{x}_n,\ n \in \mathbb{N}\}$ 和随机变量 x 定义在同一个

概率空间 $(\boldsymbol{\Omega}, \mathscr{F}, \mathbb{P})$ 上，如果，对任意的 $\varepsilon > 0$，

$$\lim_{n\to\infty} \mathbb{P}(|\mathrm{x}_n - \mathrm{x}| > \varepsilon) = 0,$$

则称 $\{\mathrm{x}_n\}$ 依概率收敛（convergence in probability）到随机变量 x，记为 $\operatorname*{plim}_{n\to\infty} \mathrm{x}_n = \mathrm{x}$，或者，$\mathrm{x}_n \underset{p}{\to} \mathrm{x}$。类似地，设 $\{\mathbf{x}_n\}$ 是 K 维随机向量的序列，$\mathbf{x}$ 是 K 维随机向量，若对任意的 $k = 1, \ldots, K$，$\{\mathrm{x}_{nk}\}$ 依概率收敛到 x_k，其中，x_{nk} 和 x_k 分别表示 $\mathbf{x}_n$ 和 $\mathbf{x}$ 的第 k 个元素，则称 $\{\mathbf{x}_n\}$ 依概率收敛到 $\mathbf{x}$。

如果 $\{\mathrm{x}_n, n \in \mathbb{N}\}$ 和 x 满足：

$$\mathbb{P}\left\{\omega \mid \lim_{n\to\infty} \mathrm{x}_n(\omega) = \mathrm{x}(\omega)\right\} = 1,$$

则称 $\{\mathrm{x}_n, n \in \mathbb{N}\}$ 以概率 1 收敛到 x，或，几乎必然（almost sure）收敛到 x，记为 $\mathrm{x}_n \underset{a.s.}{\to} \mathrm{x}$。

如果 $\{\mathrm{x}_n, n \in \mathbb{N}\}$ 和 x 满足：对 $r > 0$，有：

$$\lim_{n\to\infty} \mathbb{E}\,|\mathrm{x}_n - \mathrm{x}|^r = 0,$$

则称 $\{\mathrm{x}_n, n \in \mathbb{N}\}$ 依 r 阶平均（r-th mean）收敛到 x，或，L_r 收敛到 x，记为 $\mathrm{x}_n \underset{L_r}{\to} \mathrm{x}$。当 $r = 2$ 时，称 $\{\mathrm{x}_n, n \in \mathbb{N}\}$ 依均方（mean square）收敛到 x，记为 $\mathrm{x}_n \underset{m.s.}{\to} \mathrm{x}$。以概率 1 收敛和依 r 阶平均收敛都可以按照依概率收敛的方式推广到随机向量的情形。

令 $\{\mathrm{x}_n, n \in \mathbb{N}\}$ 是随机标量序列满足 $\mathrm{x}_n \sim F_n(x)$，随机变量 x 的分布函数为 $F(x)$（x 和 $\{\mathrm{x}_n, n \in \mathbb{N}\}$ 可以具有不同的概率空间），如果

$$\lim_{n\to\infty} F_n(x) = F(x), \quad \text{对任意的 } x \text{ 满足 } F(x) \text{ 连续},$$

则称 $\{\mathrm{x}_n, n \in \mathbb{N}\}$ 依分布收敛到 x，或，依法则（convergence in law）收敛到 x，并且，称 F 为 x_n 的渐近分布，记为 $\mathrm{x}_n \underset{d}{\to} \mathrm{x}$，或，$\mathrm{x}_n \underset{L}{\to} \mathrm{x}$。

若 $\{\mathbf{x}_n\}$ 是随机向量，逐个元素的依分布收敛不一定能推出随机向量的依分布收敛。然而，我们有如下 Cramér-Wold 定理（证明见 Billingsley (1995) 的定理 29.4）：

- 令 $\{\mathbf{x}_n\}$ 是 K 维随机向量的序列，则有：

$$\mathbf{x}_n \underset{d}{\to} \mathbf{x} \;\Leftrightarrow\; \boldsymbol{\lambda}'\mathbf{x}_n \underset{d}{\to} \boldsymbol{\lambda}'\mathbf{x}, \quad \forall\, \boldsymbol{\lambda} \in \mathbb{R}^K.$$

上述四种不同的收敛方式之间具有如下关系：

- L_r 收敛蕴涵依概率收敛，反之不成立；
- 如果 $\mathrm{x}_n \underset{p}{\to} \mathrm{x}$，则有 $\mathrm{x}_n \underset{d}{\to} \mathrm{x}$，反之不成立；
- $\mathrm{x}_n \underset{p}{\to} c$ 等价于 $\mathrm{x}_n \underset{d}{\to} c$，其中，$c$ 为常数；
- 如果 $\mathrm{x}_n \underset{a.s.}{\to} \mathrm{x}$，则有 $\mathrm{x}_n \underset{p}{\to} \mathrm{x}$，反之不成立；
- L_r 收敛与几乎必然收敛互不蕴涵。

苏淳，冯群强 (2020) 的第六章给出了上述关系的证明和不成立的逆命题的反例。

在第 2.6 节中给出的最小二乘估计量的一致性是指最小二乘估计量依概率收敛到待估参数的真实值。一般地，令 $\hat{\boldsymbol{\theta}}_n$ 为参数向量 $\boldsymbol{\theta}$ 的估计量，下标 n 表示 $\hat{\boldsymbol{\theta}}_n$ 是基于样本量为 n 的样本计算得到，如果 $\hat{\boldsymbol{\theta}}_n \underset{p}{\to} \boldsymbol{\theta}$，则称 $\hat{\boldsymbol{\theta}}_n$ 是 $\boldsymbol{\theta}$ 的一致估计量。

收敛序列的连续映射具有如下性质：（证明见 Van der Vaart (2000) 的定理 2.3）

定理 B.3. 连续映射定理（Continuous Mapping Theorem）

令 $\boldsymbol{g}:\mathbb{R}^K \to \mathbb{R}^M$ 在集合 C 上的每一点连续，集合 C 满足 $\mathbb{P}(\mathrm{x} \in C) = 1$，

- 如果 $\mathbf{x}_n \underset{d}{\to} \mathbf{x}$，则 $\boldsymbol{g}(\mathbf{x}_n) \underset{d}{\to} \boldsymbol{g}(\mathbf{x})$；
- 如果 $\mathbf{x}_n \underset{p}{\to} \mathbf{x}$，则 $\boldsymbol{g}(\mathbf{x}_n) \underset{p}{\to} \boldsymbol{g}(\mathbf{x})$；
- 如果 $\mathbf{x}_n \underset{a.s.}{\to} \mathbf{x}$，则 $\boldsymbol{g}(\mathbf{x}_n) \underset{a.s.}{\to} \boldsymbol{g}(\mathbf{x})$。

♡

如下性质将依概率收敛和依分布收敛相结合，在推导估计量的大样本性质时经常会被用到：

定理 B.4. Slutsky 定理

令 $\mathbf{x}_n$ 和 $\mathbf{y}_n$ 是 K 维随机向量，如果 $\mathbf{x}_n \underset{d}{\to} \mathbf{x}$，$\mathbf{y}_n \underset{p}{\to} \boldsymbol{\alpha}$，其中，$\boldsymbol{\alpha}$ 为常数向量，则有 $\mathbf{x}_n + \mathbf{y}_n \underset{d}{\to} \mathbf{x} + \boldsymbol{\alpha}$；此外，令 $\mathbf{A}_n$ 为 $M \times K$ 维随机矩阵，满足 $\mathbf{A}_n \underset{p}{\to} \mathbf{A}$（可以理解为 $\mathrm{vec}\,(\mathbf{A}_n) \underset{p}{\to} \mathrm{vec}\,(\mathbf{A})$），则有 $\mathbf{A}_n\mathbf{x}_n \underset{d}{\to} \mathbf{A}\mathbf{x}$。

♡

除了 Slutsky 定理外，容易验证以下两个结论也是成立的：

- 如果 $\mathbf{x}_n \underset{d}{\to} \mathbf{x}$，$\mathbf{y}_n \underset{p}{\to} \mathbf{0}$，则有 $\mathbf{y}_n'\mathbf{x}_n \underset{p}{\to} 0$；
- 如果 $\mathbf{x}_n \underset{d}{\to} \mathbf{x}$，$\mathbf{A}_n \underset{p}{\to} \mathbf{A}$，其中，$\mathbf{A}$ 非奇异，则有：

$$\mathbf{x}_n'\mathbf{A}_n^{-1}\mathbf{x}_n \underset{d}{\to} \mathbf{x}'\mathbf{A}^{-1}\mathbf{x}. \tag{B.8}$$

若已知 $\mathbf{x}_n$ 的渐近分布，其非线性一阶连续可微函数的渐近分布可以通过如下方法得到：（证明见 Hayashi (2000) 的引理 2.5）

定理 B.5. Delta 方法

令 $\{\mathbf{x}_n\}$ 是 K 维随机向量的序列满足 $\mathbf{x}_n \underset{p}{\to} \boldsymbol{\beta}$，并且，

$$\sqrt{n}\,(\mathbf{x}_n - \boldsymbol{\beta}) \underset{d}{\to} \mathbf{z}.$$

进一步，假设 $\mathbf{a}(\cdot):\mathbb{R}^K \to \mathbb{R}^r$ 一阶连续可微，其在 $\boldsymbol{\beta}$ 处的一阶导数为 $r \times K$ 维矩阵，记为 $\mathbf{A}(\boldsymbol{\beta})$，即，

$$\mathbf{A}(\boldsymbol{\beta}) \equiv \frac{\partial \mathbf{a}(\boldsymbol{\beta})}{\partial \boldsymbol{\beta}'},$$

则有：

$$\sqrt{n}\,[\mathbf{a}(\mathbf{x}_n) - \mathbf{a}(\boldsymbol{\beta})] \underset{d}{\to} \mathbf{A}(\boldsymbol{\beta})\mathbf{z}.$$

♡

随机 O 和 o 符号

在渐近分析中，常引入一些特殊符号使推导过程得到简化，本小节介绍两种符号：O_p 和 o_p。

若随机向量序列 $\{\mathbf{x}_n,\ n \in \mathbb{N}\}$ 依概率收敛到 $\mathbf{0}$，则将其记为 $\mathbf{x}_n = o_p(1)$。在引入 O_p 之前，先定义何为依概率有界。具体地，令 $\{\mathbf{x}_n,\ n \in \mathbb{N}\}$ 为随机向量序列，若对任意的

$\varepsilon > 0$，存在常数 B 使得：

$$\sup_n \mathbb{P}\left(\|\mathbf{x}_n\| > B\right) < \varepsilon,$$

则称 $\{\mathbf{x}_n,\, n \in \mathbb{N}\}$ 依概率有界，记为 $\mathbf{x}_n = O_p(1)$。一般地，令 $\{\mathrm{x}_n\}$ 和 $\{\mathrm{y}_n\}$ 是两个随机变量的序列，符号 $\mathrm{y}_n = O_p(\mathrm{x}_n)$ 表示 $\{\mathrm{y}_n/\mathrm{x}_n\}$ 是 $O_p(1)$；符号 $\mathrm{y}_n = o_p(\mathrm{x}_n)$ 表示 $\mathrm{y}_n/\mathrm{x}_n \underset{p}{\to} 0$。

若随机向量序列 $\{\mathbf{y}_n\}$ 可以表示为 $\mathbf{y}_n = \mathbf{x}_n + o_p(1)$，则称 $\{\mathbf{y}_n\}$ 与 $\{\mathbf{x}_n\}$ 渐近等价，记为 $\mathbf{y}_n \underset{a}{\sim} \mathbf{x}_n$。

大数定律和中心极限定理

大数定律和中心极限定理分别涉及的是样本均值的概率极限和渐近分布，在样本独立同分布的情况下，常用的大数定律有：

- Khintchine 弱大数定律：令 $\{\mathrm{x}_i\}$ 满足独立同分布且具有有限期望 μ，则有：

$$\bar{\mathrm{x}}_n \equiv \frac{1}{n}\sum_{i=1}^{n} \mathrm{x}_i \underset{p}{\to} \mu.$$

- Kolmogorov 强大数定律：令 $\{\mathrm{x}_i\}$ 独立同分布，则有：

$$\bar{\mathrm{x}}_n \underset{a.s.}{\to} \mu \quad \text{当且仅当} \quad \mathbb{E}|\mathrm{x}_i| < \infty \text{ 且 } \mathbb{E}(\mathrm{x}_i) = \mu.$$

常用的中心极限定理有：

- Lindeberg-Levy 中心极限定理：令 $\{\mathbf{x}_i\}$ 满足独立同分布，$\mathbb{E}(\mathbf{x}_i) = \boldsymbol{\mu}$，$\mathrm{Var}(\mathbf{x}_i) = \boldsymbol{\Sigma}$，则有：

$$\sqrt{n}\left(\bar{\mathbf{x}}_n - \boldsymbol{\mu}\right) = \frac{1}{\sqrt{n}}\sum_{i=1}^{n}(\mathbf{x}_i - \boldsymbol{\mu}) \underset{d}{\to} \mathcal{N}(\mathbf{0}, \boldsymbol{\Sigma}).$$

平滑函数模型

平滑函数模型是指 $\boldsymbol{\theta} = \boldsymbol{g}(\boldsymbol{\mu})$，其中，$\boldsymbol{\mu} = \mathbb{E}[\boldsymbol{h}(\mathbf{x})]$，并且 $\boldsymbol{g}(\boldsymbol{\mu})$ 是平滑（即具有适当的连续性）函数。因为 $\boldsymbol{\theta}$ 不是总体矩，所以不能直接使用矩估计。估计 $\boldsymbol{g}(\boldsymbol{\mu})$ 的常用方法是先计算样本均值 $\hat{\boldsymbol{\mu}} = n^{-1}\sum_{i=1}^{n}\boldsymbol{h}(\boldsymbol{x}_i)$，再将 $\hat{\boldsymbol{\mu}}$ 代入 $\boldsymbol{\theta}$ 的表达式得到 $\hat{\boldsymbol{\theta}} = \boldsymbol{g}(\hat{\boldsymbol{\mu}})$。许多估计量可以看作是平滑函数模型的特例，其中包括样本方差和最小二乘估计量。

下面的定理建立了平滑函数模型估计的一致性和渐近正态性：

定理 B.6. 平滑函数模型估计的渐近性质

令 $\{\boldsymbol{x}_1, \ldots, \boldsymbol{x}_n\}$ 是简单随机样本，$\boldsymbol{x}_i \in \mathbb{R}^m$，$\boldsymbol{h}(\cdot): \mathbb{R}^m \to \mathbb{R}^k$，$\mathbb{E}\|\boldsymbol{h}(\mathbf{x})\| < \infty$，并且，$\boldsymbol{g}(\cdot): \mathbb{R}^k \to \mathbb{R}^q$ 在 $\boldsymbol{\mu}$ 处连续，则有：

$$\hat{\boldsymbol{\theta}} \underset{p}{\to} \boldsymbol{\theta}, \quad n \to \infty.$$

若进一步，$\mathbb{E}\|\boldsymbol{h}(\mathbf{x})\|^2 < \infty$，$\mathbf{G}(\boldsymbol{u}) \equiv \dfrac{\partial}{\partial \boldsymbol{u}}\boldsymbol{g}(\boldsymbol{u})'$ 在 $\boldsymbol{\mu}$ 的邻域内连续，则有：

$$\sqrt{n}\left(\hat{\boldsymbol{\theta}} - \boldsymbol{\theta}\right) \underset{d}{\to} \mathcal{N}(\mathbf{0},\, \boldsymbol{V}_{\boldsymbol{\theta}}), \quad n \to \infty,$$

其中，$\boldsymbol{V}_{\boldsymbol{\theta}} = \mathbf{G}'\boldsymbol{V}\mathbf{G}$，$\boldsymbol{V} = \mathbb{E}[(\boldsymbol{h}(\mathbf{x}) - \boldsymbol{\mu})(\boldsymbol{h}(\mathbf{x}) - \boldsymbol{\mu})']$，$\mathbf{G} = \mathbf{G}(\boldsymbol{\mu})$。

时间序列的基本概念

为了定义时间序列，本小节先讨论随机过程。设 $(\mathbf{\Omega}, \mathscr{F}, \mathbb{P})$ 为一概率空间，T 为指标集，如果对于任意的 $t \in T$，均有定义在 $(\mathbf{\Omega}, \mathscr{F}, \mathbb{P})$ 上的随机变量 x_t，则集合 $\{\mathrm{x}_t,\ t \in T\}$ 称为随机过程。

根据随机过程的定义，对任意给定的 $t \in T$，x_t 是定义在 $\mathbf{\Omega}$ 上的函数；另一方面，若固定 $\omega \in \mathbf{\Omega}$，$\{\mathrm{x}_t(\omega),\ t \in T\}$ 是定义在 T 上的函数，此函数被称为随机过程 $\{\mathrm{x}_t,\ t \in T\}$ 的一次实现（realization），也称为 $\{\mathrm{x}_t,\ t \in T\}$ 的一条样本路径。在计量经济学中提及的时间序列数据是指某一随机过程的一次实现，例如，上证指数日收益率的历史数据实际上是日收益率[1]构成的随机过程的一次实现。虽然这里区分了随机过程和随机过程的一次实现，但是，通常在计量经济学中时间序列既可以指代随机过程，又可以指代随机过程的一次实现。

为了对时间序列数据进行统计分析，需要实现时间序列数据背后的随机过程满足类似于独立同分布的性质，为此，首先定义如下平稳性的概念，其在统计推断中的作用与 i.i.d. 中的同分布相似：

定义 B.2. 平稳性（Stationarity）

若随机过程 $\{\mathbf{x}_t\}$ 满足：对任意的 $r \in \mathbb{N}$ 和 $k \in \mathbb{Z}$，$(\mathbf{x}_{t_1}, \ldots, \mathbf{x}_{t_r})$ 和 $(\mathbf{x}_{t_1+k}, \ldots, \mathbf{x}_{t_r+k})$ 的联合分布相同，则称 $\{\mathbf{x}_t\}$ 为（严）平稳随机过程。

若 $\{\mathbf{x}_t\}$ 满足：

- $\mathbb{E}(\|\mathbf{x}_t\|^2) < \infty$；
- $\mathbb{E}(\mathbf{x}_t)$ 与 t 无关；
- $\mathrm{Cov}(\mathbf{x}_t, \mathbf{x}_{t-s})$ 存在且有限，其取值只与 s 有关，而与 t 无关，

则称 $\{\mathbf{x}_t\}$ 为弱平稳随机过程，也称为协方差平稳或二阶平稳随机过程。 ♣

从上述定义可以看出平稳性定义了随机过程在时间维度上的某种稳定性，严平稳是从联合分布的角度定义稳定性，而弱平稳是从一阶矩和二阶矩的角度定义稳定性。值得注意的是，严平稳并不一定蕴涵弱平稳，这是因为有些概率分布（如 Cauchy 分布）不存在有限的一阶矩和二阶矩。

时间序列分析中的一类重要弱平稳过程是如下定义的白噪声：

定义 B.3. 白噪声（White Noise, WN）

令 $\{\mathbf{x}_t\}$ 为弱平稳随机过程，如果：

$$\mathbb{E}(\mathbf{x}_t) = \mathbf{0}, \tag{B.9}$$

$$\mathrm{Cov}(\mathbf{x}_t, \mathbf{x}_{t-s}) = \mathbf{0}, \quad \forall\, s \neq 0, \tag{B.10}$$

则称 $\{\mathbf{x}_t\}$ 为白噪声，记为 $\mathbf{x}_t \sim \mathrm{WN}$。若将条件 (B.10) 替换为：对任意的 $s \neq 0$，$\mathbf{x}_t$ 和 $\mathbf{x}_{t-s}$ 相互独立，则称 $\{\mathbf{x}_t\}$ 为独立白噪声过程；若 $\{\mathbf{x}_t\}$ 满足条件 (B.10)，且对任意的 t，$\mathbf{x}_t$ 服从多元正态分布 $\mathcal{N}(\mathbf{0}, \mathbf{\Sigma})$，则称 $\{\mathbf{x}_t\}$ 为高斯白噪声过程。 ♣

[1] 将日收益率理解为是随机变量。

除了时间维度上分布的稳定性，为了建立适用于时间序列的大数定律和中心极限定理还需要时间序列具有某种程度的独立性，为此引入如下遍历性的概念：

定义 B.4. 遍历性（Ergodicity）

令 $\{\mathrm{x}_t\}$ 为一平稳随机过程，如果对任意两个有界函数 $f:\mathbb{R}^{k+1}\to\mathbb{R}$ 和 $g:\mathbb{R}^{l+1}\to\mathbb{R}$，有：

$$\lim_{h\to\infty}\left|\mathbb{E}[f(\mathrm{x}_t,\ldots,\mathrm{x}_{t+k})g(\mathrm{x}_{t+h},\ldots,\mathrm{x}_{t+h+l})]\right| = \left|\mathbb{E}[f(\mathrm{x}_t,\ldots,\mathrm{x}_{t+k})]\right|\left|\mathbb{E}[g(\mathrm{x}_t,\ldots,\mathrm{x}_{t+l})]\right|,$$

则称 $\{\mathrm{x}_t\}$ 是遍历的，遍历的平稳随机过程称为遍历平稳过程。 ♣

从遍历性的定义可以看出遍历过程具有渐近的独立性。遍历平稳过程具有如下形式的大数定律：（证明见 Karlin et al. (1975) 的第九章定理 5.5）

定理 B.7. 遍历定理（Ergodic Theorem）

令 $\{\mathbf{x}_t\}$ 是遍历平稳过程，$\mathbb{E}(\mathbf{x}_t)=\boldsymbol{\mu}$，则有：

$$\bar{\mathbf{x}}_T \equiv \frac{1}{T}\sum_{t=1}^{T}\mathbf{x}_t \underset{a.s.}{\to} \boldsymbol{\mu}.$$

♡

为了叙述本书使用的遍历平稳时间序列的中心极限定理，需要引入鞅和鞅差序列的概念：令 $\{\mathbf{y}_t,\ t\in T\}$ 和 $\{\mathbf{x}_t,\ t\in T\}$ 为两个随机过程，如果：

- $\mathbf{y}_t$ 是 $\mathbf{x}_1,\ldots,\mathbf{x}_t$ 的（可测）函数；
- $\mathbb{E}[\|\mathbf{y}_t\|]<\infty$，$\forall\, t$；
- $\mathbb{E}[\mathbf{y}_{t+1}\mid\mathbf{x}_1,\ldots,\mathbf{x}_t]=\mathbf{y}_t$，$\forall\, t$，

则称 $\{\mathbf{y}_t,\ t\in T\}$ 是关于 $\{\mathbf{x}_t,\ t\in T\}$ 的鞅（martingale）序列。若 $\{\mathbf{g}_t,\ t\in T\}$ 满足：

- $\mathbf{g}_t$ 是 $\mathbf{x}_1,\ldots,\mathbf{x}_t$ 的（可测）函数；
- $\mathbb{E}[\|\mathbf{g}_t\|]<\infty$，$\forall\, t$；
- $\mathbb{E}[\mathbf{g}_{t+1}\mid\mathbf{x}_1,\ldots,\mathbf{x}_t]=\mathbf{0}$，$\forall\, t$，

则称 $\{\mathbf{g}_t,\ t\in T\}$ 是关于 $\{\mathbf{x}_t,\ t\in T\}$ 的鞅差序列（martingale difference sequence, MDS）。

若 $\{\mathbf{y}_t,\ t\in T\}$ 是关于 $\{\mathbf{x}_t,\ t\in T\}$ 的鞅序列，定义：

$$\mathbf{g}_t=\mathbf{y}_t-\mathbf{y}_{t-1},$$

则有：

$$\mathbb{E}[\mathbf{g}_{t+1}\mid\mathbf{x}_1,\ldots,\mathbf{x}_t]=\mathbb{E}[\mathbf{y}_{t+1}-\mathbf{y}_t\mid\mathbf{x}_1,\ldots,\mathbf{x}_t]=\mathbf{0}.$$

因此，鞅序列的一阶差分序列即为鞅差序列。若 $\{\mathbf{y}_t,\ t\in T\}$ 是关于其自身的鞅序列，则简称 $\{\mathbf{y}_t,\ t\in T\}$ 是鞅序列；类似地，若 $\{\mathbf{g}_t,\ t\in T\}$ 是关于其自身的鞅差序列，则简称 $\{\mathbf{g}_t,\ t\in T\}$ 是鞅差序列。

鞅差序列的一个重要性质是它不存在序列相关。构建时间序列模型通常需要不存在序列相关的零均值弱平稳过程作为基石。到目前为止，按照由强到弱的顺序，此类过程可以设置为：独立白噪声过程 $\Rightarrow$ 具有有限方差的平稳鞅差序列 $\Rightarrow$ 白噪声。

下面的中心极限定理将 Lindeberg-Levy 中心极限定理推广到遍历平稳的 MDS：（证明见 Billingsley (1961)）

定理 B.8. 遍历平稳鞅差序列的中心极限定理

令 $\{\mathbf{g}_t\}$ 是遍历平稳的向量鞅差序列，满足 $\mathbb{E}(\mathbf{g}_t\mathbf{g}_t') = \boldsymbol{\Sigma}$，定义：

$$\bar{\mathbf{g}} \equiv \frac{1}{T}\sum_{t=1}^{T}\mathbf{g}_t,$$

则有：

$$\sqrt{T}\,\bar{\mathbf{g}} = \frac{1}{\sqrt{T}}\sum_{t=1}^{T}\mathbf{g}_t \underset{d}{\to} \mathcal{N}(\mathbf{0},\boldsymbol{\Sigma}).$$

♡

B.5 Bootstrap 的渐近理论

令 $\{\mathbf{x}_1,\ldots,\mathbf{x}_n\}$ 是满足独立同分布的 n 个随机向量，$\{\boldsymbol{x}_1,\ldots,\boldsymbol{x}_n\}$ 是这 n 个随机向量的一组样本观测。对 $\{\boldsymbol{x}_1,\ldots,\boldsymbol{x}_n\}$ 进行 n 次有放回的随机抽样得到 Bootstrap 样本 $\{\boldsymbol{x}_1^*,\ldots,\boldsymbol{x}_n^*\}$。注意到 Bootstrap 样本的样本均值 $\bar{\boldsymbol{x}}_n^* \equiv \frac{1}{n}\sum_{i=1}^n \boldsymbol{x}_i^*$ 也是 n 个独立同分布的随机变量的样本观测值的平均，直观上，它应该依概率收敛到 $\mathbb{E}(\mathbf{x}_i)$。但是，Bootstrap 样本均值的渐近性质涉及到条件分布，这是因为 Bootstrap 是以给定的样本 $\{\boldsymbol{x}_1,\ldots,\boldsymbol{x}_n\}$ 为条件。为了区别于前文定义的依概率收敛，下面定义条件分布的依概率收敛：令 $\{\mathbf{z}_n^*, n\in\mathbb{N}\}$ 是随机向量序列，$\mathbf{z}$ 为一随机向量，如果，对任意的 $\varepsilon>0$，有：

$$\mathbb{P}^*\left[\|\mathbf{z}_n^*-\mathbf{z}\|>\varepsilon\right] \underset{p}{\to} 0, \quad n\to\infty$$

其中，$\mathbb{P}^*[\cdot]$ 表示条件概率，则称 $\{\mathbf{z}_n^*\}$ 依 Bootstrap 概率收敛到 $\mathbf{z}$，记为 $\mathbf{z}_n^* \underset{p^*}{\to} \mathbf{z}$。容易验证：如果 $\mathbf{z}_n \underset{p}{\to} \mathbf{z}$，则 $\mathbf{z}_n \underset{p^*}{\to} \mathbf{z}$。

除了依 Bootstrap 概率收敛，还可以定义依 Bootstrap 分布收敛：令 $\{\mathbf{z}_n^*, n\in\mathbb{N}\}$ 是随机向量序列，其条件分布为 $G_n^*(\boldsymbol{x}) = \mathbb{P}^*[\mathbf{z}_n^* \preceq \boldsymbol{x}]$。[2] 如果，对所有的 $\boldsymbol{x}$ 使得 $G(\boldsymbol{x}) = \mathbb{P}[\mathbf{z}\preceq\boldsymbol{x}]$ 连续，有 $G_n^*(\boldsymbol{x}) \underset{p}{\to} G(\boldsymbol{x})$，则称 $\{\mathbf{z}_n^*\}$ 依 Bootstrap 分布收敛到 $\mathbf{z}$，记为 $\mathbf{z}_n^* \underset{d^*}{\to} \mathbf{z}$。

对于 Bootstrap 样本均值，有如下的 Bootstrap 弱大数定律和中心极限定理：

- Bootstrap 弱大数定律：如果 $\mathbf{x}_i, i=1,\ldots,n$，相互独立且一致可积[3]，则有：$\bar{\boldsymbol{x}}_n^* - \bar{\boldsymbol{x}}_n \underset{p^*}{\to} \mathbf{0}$，$\bar{\boldsymbol{x}}_n^* \underset{p^*}{\to} \boldsymbol{\mu} = \mathbb{E}[\mathbf{x}_i]$，其中，$\bar{\boldsymbol{x}}_n$ 为原始样本的样本均值；
- Bootstrap 中心极限定理：如果 $\mathbf{x}_i$，$i=1,\ldots,n$，是 i.i.d. 的，$\mathbb{E}\|\mathbf{x}_i\|^2<\infty$，且 $\boldsymbol{\Sigma} = \mathrm{Var}[\mathbf{x}_i]$ 正定，则有：$\sqrt{n}\left(\bar{\boldsymbol{x}}_n^* - \bar{\boldsymbol{x}}_n\right) \underset{d^*}{\to} \mathcal{N}(\mathbf{0},\boldsymbol{\Sigma})$。

连续映射定理和 Delta 方法也有相应的 Bootstrap 版本：

[2] 对于向量 $\boldsymbol{a}$ 和 $\boldsymbol{b}$，$\boldsymbol{a}\preceq\boldsymbol{b}$ 表示 $\boldsymbol{a}$ 的每一个元素不大于 $\boldsymbol{b}$ 中对应位置上的元素。

[3] 令 $\mathbf{z}_n$ 是随机向量，如果

$$\lim_{M\to\infty}\limsup_{n\to\infty}\mathbb{E}\left[\|\mathbf{z}_n\|\,\mathbf{1}\left\{\|\mathbf{z}_n\|>M\right\}\right]=0, \quad n\to\infty,$$

则称 $\mathbf{z}_n$ 一致可积。

定理 B.9. Bootstrap 连续映射定理

- 如果 $\mathbf{z}_n^* \underset{p^*}{\to} \boldsymbol{c}$ 且 $\boldsymbol{g}(\cdot)$ 在 $\boldsymbol{c}$ 点连续，则有 $\boldsymbol{g}(\mathbf{z}_n^*) \underset{p^*}{\to} \boldsymbol{g}(\boldsymbol{c})$；
- 如果 $\mathbf{z}_n^* \underset{d^*}{\to} \mathbf{z}$，并且 $\boldsymbol{g}: \mathbb{R}^m \to \mathbb{R}^k$ 的不连续点构成的集合 $D_{\boldsymbol{g}}$ 满足 $\mathbb{P}^*[\mathbf{z}_n^* \in D_{\boldsymbol{g}}] = 0$，则有 $\boldsymbol{g}(\mathbf{z}_n^*) \underset{d^*}{\to} \boldsymbol{g}(\mathbf{z})$。

♡

定理 B.10. Bootstrap Delta 方法

如果 $\hat{\boldsymbol{\mu}} \underset{p}{\to} \boldsymbol{\mu}$，$\sqrt{n}\left(\hat{\boldsymbol{\mu}}^* - \hat{\boldsymbol{\mu}}\right) \underset{d^*}{\to} \xi$，并且 $\boldsymbol{g}(\cdot)$ 在 $\boldsymbol{\mu}$ 的邻域内连续可微，则有：

$$\sqrt{n}\left(\boldsymbol{g}\left(\hat{\boldsymbol{\mu}}^*\right) - \boldsymbol{g}(\hat{\boldsymbol{\mu}})\right) \underset{d^*}{\to} \mathbf{G}'\xi,$$

其中，$\mathbf{G}(\boldsymbol{x}) = \dfrac{\partial}{\partial \boldsymbol{x}} \boldsymbol{g}(\boldsymbol{x})'$，$\mathbf{G} = \mathbf{G}(\boldsymbol{\mu})$。

♡

前文提到计量经济学中的许多估计量都是平滑函数模型的特例，可以证明平滑函数模型具有如下性质：

定理 B.11. 平滑函数模型估计的 Bootstrap 渐近性质

设定理 B.6 的条件成立，并且，$\hat{\boldsymbol{\theta}}^* = \boldsymbol{g}(\hat{\boldsymbol{\mu}}^*)$，其中，$\hat{\boldsymbol{\mu}}^* = n^{-1}\sum_{i=1}^n \boldsymbol{h}(\boldsymbol{x}_i^*)$，则有；

$$\sqrt{n}\left(\hat{\boldsymbol{\theta}}^* - \hat{\boldsymbol{\theta}}\right) \underset{d^*}{\to} \mathcal{N}(\mathbf{0}, \boldsymbol{V}_{\boldsymbol{\theta}}), \quad n \to \infty,$$

其中，$\boldsymbol{V}_{\boldsymbol{\theta}} = \mathbf{G}'\boldsymbol{V}\mathbf{G}$，$\boldsymbol{V} = \mathbb{E}[(\boldsymbol{h}(\mathbf{x}) - \boldsymbol{\mu})(\boldsymbol{h}(\mathbf{x}) - \boldsymbol{\mu})']$，$\mathbf{G} = \mathbf{G}(\boldsymbol{\mu})$。

♡

此结论表明 Bootstrap 估计量 $\hat{\boldsymbol{\theta}}^*$ 的渐近分布与 $\hat{\boldsymbol{\theta}}$ 的渐近分布完全相同，可以通过 Bootstrap 分布获取与 $\hat{\boldsymbol{\theta}}$ 的分布相关的信息。因此，利用 Bootstrap 分布可以进行渐近正确（correct）的统计推断。

本节列出的大部分结论的证明都可以在 Hansen (2022a) 的第 10.31 节中找到。

B.6 多元正态分布及其性质

令 $\mathbf{x}$ 是 m 维随机向量，具有联合概率密度函数：

$$f(\boldsymbol{x}) = \frac{1}{(2\pi)^{m/2}(\det \boldsymbol{\Sigma})^{1/2}} \exp\left\{-\frac{1}{2}(\boldsymbol{x} - \boldsymbol{\mu})'\boldsymbol{\Sigma}^{-1}(\boldsymbol{x} - \boldsymbol{\mu})\right\}, \tag{B.11}$$

其中，$\boldsymbol{\mu}$ 是 m 维常数向量，$\boldsymbol{\Sigma}$ 是 m 阶正定矩阵，则称 $\mathbf{x}$ 服从均值为 $\boldsymbol{\mu}$，协方差矩阵为 $\boldsymbol{\Sigma}$ 的 m 元正态分布，记为 $\mathbf{x} \sim \mathcal{N}_m(\boldsymbol{\mu}, \boldsymbol{\Sigma})$。

多元正态分布具有如下常用的性质：（证明请参考 Johnson et al. (2007) 的第四章或李高荣，吴密霞 (2021) 的第三章）

1. 如果 $\mathbf{x} \sim \mathcal{N}_m(\boldsymbol{\mu}, \boldsymbol{\Sigma})$，则其任意线性组合 $\boldsymbol{a}'\mathbf{x}$ 服从一元正态分布 $\mathcal{N}(\boldsymbol{a}'\boldsymbol{\mu}, \boldsymbol{a}'\boldsymbol{\Sigma}\boldsymbol{a})$；反之，若对任意的 $\boldsymbol{a}$，$\boldsymbol{a}'\mathbf{x} \sim \mathcal{N}(\boldsymbol{a}'\boldsymbol{\mu}, \boldsymbol{a}'\boldsymbol{\Sigma}\boldsymbol{a})$，则 $\mathbf{x}$ 一定服从多元正态分布 $\mathcal{N}_m(\boldsymbol{\mu}, \boldsymbol{\Sigma})$；
2. 如果 $\mathbf{x} \sim \mathcal{N}_m(\boldsymbol{\mu}, \boldsymbol{\Sigma})$，$\boldsymbol{A}$ 是 $n \times m$ 维常数矩阵，则 $\boldsymbol{A}\mathbf{x} \sim \mathcal{N}_n(\boldsymbol{A}\boldsymbol{\mu}, \boldsymbol{A}\boldsymbol{\Sigma}\boldsymbol{A}')$；
3. 如果 $\mathbf{x} \sim \mathcal{N}_m(\boldsymbol{\mu}, \boldsymbol{\Sigma})$，$\boldsymbol{d}$ 是 m 维常数向量，则 $\mathbf{x} + \boldsymbol{d} \sim \mathcal{N}_m(\boldsymbol{\mu} + \boldsymbol{d}, \boldsymbol{\Sigma})$；
4. 如果 $\mathbf{x}$ 服从多元正态分布，则 $\mathbf{x}$ 的子集也服从多元正态分布。具体地，将 $\mathbf{x}$、$\boldsymbol{\mu}$ 和

$\boldsymbol{\Sigma}$ 按照如下方式进行分割：

$$\underset{(m\times 1)}{\mathbf{x}} = \begin{bmatrix} \underset{(q_1\times 1)}{\mathbf{x}_1} \\ \underset{(q_2\times 1)}{\mathbf{x}_2} \end{bmatrix}, \quad \underset{(m\times 1)}{\boldsymbol{\mu}} = \begin{bmatrix} \underset{(q_1\times 1)}{\boldsymbol{\mu}_1} \\ \underset{(q_2\times 1)}{\boldsymbol{\mu}_2} \end{bmatrix} \tag{B.12}$$

和

$$\underset{(m\times m)}{\boldsymbol{\Sigma}} = \begin{bmatrix} \underset{(q_1\times q_1)}{\boldsymbol{\Sigma}_{11}} & \underset{(q_1\times q_2)}{\boldsymbol{\Sigma}_{12}} \\ \underset{(q_2\times q_1)}{\boldsymbol{\Sigma}_{21}} & \underset{(q_2\times q_2)}{\boldsymbol{\Sigma}_{22}} \end{bmatrix}, \tag{B.13}$$

则有：$\mathbf{x}_1 \sim \mathcal{N}_{q_1}(\boldsymbol{\mu}_1, \boldsymbol{\Sigma}_{11})$，$\mathbf{x}_2 \sim \mathcal{N}_{q_2}(\boldsymbol{\mu}_2, \boldsymbol{\Sigma}_{22})$；

5. 如果 $\mathbf{x} \sim \mathcal{N}_m(\boldsymbol{\mu}, \boldsymbol{\Sigma})$，式 (B.12) 中的 $\mathbf{x}_1$ 和 $\mathbf{x}_2$ 相互独立当且仅当式 (B.13) 中的 $\boldsymbol{\Sigma}_{12} = \mathbf{0}$；
6. 如果 $\mathbf{x}_1 \sim \mathcal{N}_{q_1}(\boldsymbol{\mu}_1, \boldsymbol{\Sigma}_{11})$，$\mathbf{x}_2 \sim \mathcal{N}_{q_2}(\boldsymbol{\mu}_2, \boldsymbol{\Sigma}_{22})$，并且，$\mathbf{x}_1$ 和 $\mathbf{x}_2$ 相互独立，则 $\mathbf{x} = (\mathbf{x}_1', \mathbf{x}_2')'$ 服从多元正态分布，其期望为 $\boldsymbol{\mu} = (\boldsymbol{\mu}_1', \boldsymbol{\mu}_2')'$，协方差矩阵为由 $\boldsymbol{\Sigma}_{11}$ 和 $\boldsymbol{\Sigma}_{22}$ 构成的分块对角阵：
$$\boldsymbol{\Sigma} = \begin{bmatrix} \boldsymbol{\Sigma}_{11} & \mathbf{0} \\ \mathbf{0}' & \boldsymbol{\Sigma}_{22} \end{bmatrix};$$
7. 设 $\mathbf{x}_1, \ldots, \mathbf{x}_k$ 是相互独立的 k 个 m 维随机向量，如果对任意的 $1 \leqslant i \leqslant k$，$\mathbf{x}_i \sim \mathcal{N}_m(\boldsymbol{\mu}_i, \boldsymbol{\Sigma}_i)$，则有：
$$\sum_{i=1}^{k} \mathbf{x}_i \sim \mathcal{N}_m\left(\sum_{i=1}^{k} \boldsymbol{\mu}_i, \sum_{i=1}^{k} \boldsymbol{\Sigma}_i\right).$$

在计量经济学中，许多检验统计量（渐近）分布的推导需要用到如下关于二次型的概率分布的结论：

定理 B.12. 二次型的概率分布

令 $\mathbf{x}$ 是 m 维随机向量，如果 $\mathbf{x} \sim \mathcal{N}_m(\mathbf{0}, \mathbf{I}_m)$，并且，$\mathbf{A}$ 是对称幂等矩阵，则有 $\mathbf{x}'\boldsymbol{A}\mathbf{x}$ 服从卡方分布，其自由度为 $\operatorname{rank}(\boldsymbol{A})$。

定理 B.13. 平方马氏距离的概率分布

令 $\mathbf{x}$ 是 m 维随机向量，如果 $\mathbf{x} \sim \mathcal{N}_m(\boldsymbol{\mu}, \boldsymbol{\Sigma})$，并且，$\boldsymbol{\Sigma}$ 非奇异，则有 $(\mathbf{x}-\boldsymbol{\mu})'\boldsymbol{\Sigma}^{-1}(\mathbf{x}-\boldsymbol{\mu}) \sim \chi^2(m)$.

本节的最后给出多元正态分布的条件分布性质，它在卡尔曼滤波等计量方法中起到关键的作用：

定理 B.14. 多元正态分布的条件分布

令 $\mathbf{x} \sim \mathcal{N}_m(\boldsymbol{\mu}, \boldsymbol{\Sigma})$，将 $\boldsymbol{\mu}$ 和 $\boldsymbol{\Sigma}$ 按照 (B.12) 和 (B.13) 的方式分割，

- 若 $\boldsymbol{\Sigma}_{22}$ 非奇异，则以 $\mathbf{x}_2 = \boldsymbol{x}_2$ 为条件，$\mathbf{x}_1$ 的条件分布为：
$$\mathbf{x}_1 \mid \mathbf{x}_2 = \boldsymbol{x}_2 \sim \mathcal{N}_{q_1}(\boldsymbol{\mu}_{1|2}, \boldsymbol{\Sigma}_{1|2}), \tag{B.14}$$

其中，

$$\begin{aligned}\boldsymbol{\mu}_{1|2} &= \boldsymbol{\mu}_1 + \boldsymbol{\Sigma}_{12}\boldsymbol{\Sigma}_{22}^{-1}(\boldsymbol{x}_2 - \boldsymbol{\mu}_2),\\ \boldsymbol{\Sigma}_{1|2} &= \boldsymbol{\Sigma}_{11} - \boldsymbol{\Sigma}_{12}\boldsymbol{\Sigma}_{22}^{-1}\boldsymbol{\Sigma}_{21}.\end{aligned}$$

- 若 $\boldsymbol{\Sigma}_{11}$ 非奇异，则以 $\mathbf{x}_1 = \boldsymbol{x}_1$ 为条件，$\mathbf{x}_2$ 的条件分布为：

$$\mathbf{x}_2 \mid \mathbf{x}_1 = \boldsymbol{x}_1 \sim \mathcal{N}_{q_2}(\boldsymbol{\mu}_{2|1}, \boldsymbol{\Sigma}_{2|1}), \tag{B.15}$$

其中，

$$\begin{aligned}\boldsymbol{\mu}_{2|1} &= \boldsymbol{\mu}_2 + \boldsymbol{\Sigma}_{21}\boldsymbol{\Sigma}_{11}^{-1}(\boldsymbol{x}_1 - \boldsymbol{\mu}_1),\\ \boldsymbol{\Sigma}_{2|1} &= \boldsymbol{\Sigma}_{22} - \boldsymbol{\Sigma}_{21}\boldsymbol{\Sigma}_{11}^{-1}\boldsymbol{\Sigma}_{12}.\end{aligned}$$

♡

此定理的证明请参考 Johnson et al. (2007) 的 Result 4.6。

B.7 常用不等式

- Jensen 不等式：对任意的随机变量 $\mathbf{x}$，如果 $g(x)$ 是凸函数，则：

$$g(\mathbb{E}[\mathbf{x}]) \leqslant \mathbb{E}[g(\mathbf{x})];$$

若 $g(x)$ 是凹函数，则：

$$\mathbb{E}[g(\mathbf{x})] \leqslant g(\mathbb{E}[\mathbf{x}]).$$

- 期望不等式：对任意的随机向量 $\mathbf{y} \in \mathbb{R}^n$，$\mathbb{E}\|\mathbf{y}\| < \infty$，有：

$$\|\mathbb{E}[\mathbf{y}]\| \leqslant \mathbb{E}\|\mathbf{y}\|. \tag{B.16}$$

进一步，对任意的随机矩阵 $\mathbf{Y} \in \mathbb{R}^{m\times n}$，$\mathbb{E}\|\mathbf{Y}\| < \infty$，有：

$$\|\mathbb{E}[\mathbf{Y}]\| \leqslant \mathbb{E}\|\mathbf{Y}\|. \tag{B.17}$$

- Chebyshev 不等式：对任意的随机变量 $\mathrm{x} \in \mathbb{R}$ 以及任意的 $\varepsilon > 0$，

$$\mathbb{P}\left[|\mathrm{x} - \mathbb{E}(\mathrm{x})| > \varepsilon\right] \leqslant \frac{\mathrm{Var}[\mathrm{x}]}{\varepsilon^{-2}}.$$

- 一般形式的 Chebyshev 不等式：令 x 为随机变量，$g(x) > 0$ 是定义在 $\mathbb{R}$ 上的非递减函数，则有，对任意的 ε，

$$\mathbb{P}(\mathrm{x} \geqslant \varepsilon) \leqslant \frac{\mathbb{E}[g(\mathrm{x})]}{g(\varepsilon)}.$$

- Hölder 不等式：对任意的 $p > 1$ 和 $q > 1$ 使得 $\frac{1}{p} + \frac{1}{q} = 1$，以及任意的 $m \times n$ 维随机矩阵 $\mathbf{X}$ 和 $\mathbf{Y}$，

$$\mathbb{E}\left\|\mathbf{X}'\mathbf{Y}\right\| \leqslant (\mathbb{E}\|\mathbf{X}\|^p)^{1/p}\,(\mathbb{E}\|\mathbf{Y}\|^q)^{1/q}.$$

附录 C 凸优化基础

无论是最小二乘估计、极大似然估计还是广义矩估计，最终要解决的都是一个最优化问题。凸优化是最优化模型中较容易求解的一类优化问题，线性规划和二次规划等常见的优化问题都是凸优化的特例。在 20 世纪六七十年代，非线性优化问题得到学者的广泛关注，一些找到局部最优解的方法被提出，但是这些方法在寻找全局最优解问题上遇到困难。所以在当时形成了线性优化问题是容易处理的，而非线性优化问题通常较难处理的观念。到了 20 世纪八十年代后期，前苏联学者发现使最优化问题容易处理的关键性质并非是线性，而是凸性。现如今，求解凸优化问题的算法已经相对比较成熟，许多软件都提供了专门求解凸优化问题的程序包，例如，MATLAB 的 CVX、R 的 CVXR 以及 Python 的 CVXPY。对于大多数应用最优化技术的计量学者来说，通常的任务是将实践中遇到的具体优化问题通过某种方式转化为凸优化问题，再利用上述软件对问题进行求解。本附录对书中使用到的凸优化知识进行简要地介绍，想进一步了解相关知识的读者可以参考 Calafiore et al. (2014) 或刘浩洋，户将，李勇锋，文再文 (2020)。

C.1 凸集与凸函数

令 C 是 $\mathbb{R}^n$ 的子集，如果连接 C 中任意两点的线段仍然在 C 中，即，对任意的 $\boldsymbol{x}_1, \boldsymbol{x}_2 \in C$ 以及满足 $0 \leqslant \theta \leqslant 1$ 的 θ, 有：

$$\theta \boldsymbol{x}_1 + (1-\theta)\boldsymbol{x}_2 \in C,$$

则称 C 为凸集。图 C.1 中的后两幅图都是非凸集合的例子。

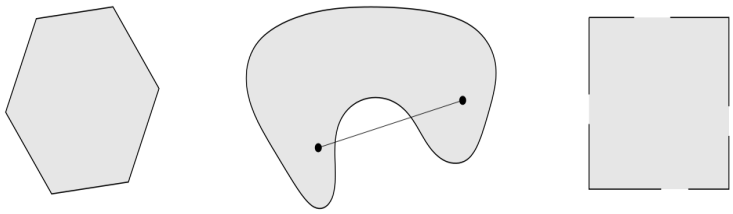

图 C.1: 凸集与非凸集合的例子（图片来源：Boyd et al. (2004) 中图 2.2）

令 f 是由 $\mathbb{R}^n$ 到 $\mathbb{R}$ 的映射，如果 $\mathbf{dom}\, f$ 是凸集，并且，对任意的 $\boldsymbol{x}, \boldsymbol{y} \in \mathbf{dom}\, f$ 以及满足 $0 \leqslant \theta \leqslant 1$ 的 θ，有：

$$f(\theta \boldsymbol{x} + (1-\theta)\boldsymbol{y}) \leqslant \theta f(\boldsymbol{x}) + (1-\theta) f(\boldsymbol{y}), \tag{C.1}$$

则称 f 为凸函数。如果 $-f$ 为凸函数，则称 f 为凹函数。

若对任意的 $\boldsymbol{x}, \boldsymbol{y} \in \mathbf{dom}\, f$ 且 $\boldsymbol{x} \neq \boldsymbol{y}$，$0 < \theta < 1$，有：

$$f(\theta \boldsymbol{x} + (1-\theta)\boldsymbol{y}) < \theta f(\boldsymbol{x}) + (1-\theta) f(\boldsymbol{y}), \tag{C.2}$$

则称 f 为严格凸函数。

图 C.2 给出了一典型的严格凸函数的图像，从图中可以看出，连接严格凸函数曲线上任意两点的线段必然位于这两点之间的函数曲线的上方。

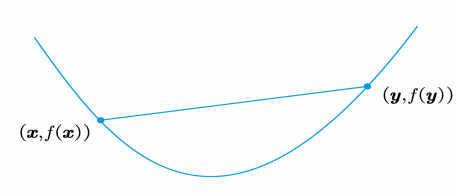

图 C.2: 凸函数

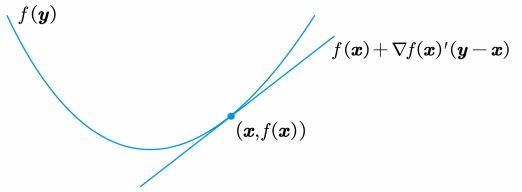

图 C.3: 凸函数的一阶条件

判定一函数是否为凸函数可以通过如下的一阶条件和二阶条件：

定理 C.1. 凸函数判定的一阶条件和二阶条件

设 $f : \mathbb{R}^n \to \mathbb{R}$ 是可微函数（即，对于开集 $\mathbf{dom}\, f$ 内的任意一点 $\boldsymbol{x}$，$\nabla f(\boldsymbol{x})$ 存在），则有：f 是凸函数当且仅当 $\mathbf{dom}\, f$ 是凸集且

$$f(\boldsymbol{y}) \geqslant f(\boldsymbol{x}) + \nabla f(\boldsymbol{x})'(\boldsymbol{y} - \boldsymbol{x}), \quad \forall\, \boldsymbol{x},\ \boldsymbol{y} \in \mathbf{dom}\, f.$$

若进一步假设 f 是二阶可微函数（即，对于开集 $\mathbf{dom}\, f$ 内的任意一点 $\boldsymbol{x}$，二阶海塞 $\nabla^2 f(\boldsymbol{x})$ 存在），则有：f 是凸函数当且仅当 $\mathbf{dom}\, f$ 是凸集且

$$\nabla^2 f(\boldsymbol{x}) \succeq \mathbf{0}, \quad \forall\, \boldsymbol{x} \in \mathbf{dom}\, f.$$

♡

此定理的证明可以参考 Bertsekas (2009) 的命题 1.1.7 和 1.1.10。图 C.3 说明了凸函数一阶条件的几何意义，即，过凸函数上任意一点的切线位于凸函数曲线的下方。此外，从一阶条件可以看出，若 $\nabla f(\boldsymbol{x}) = \mathbf{0}$，则有 $f(\boldsymbol{y}) \geqslant f(\boldsymbol{x})$，即，$f(\boldsymbol{x})$ 为 f 的全局最小值。

令 f 是由 $\mathbb{R}^n$ 到 $\mathbb{R}$ 的映射，f 的 α-下水平集（sublevel set）定义为：

$$C_\alpha = \{\boldsymbol{x} \in \mathbf{dom}\, f \mid f(\boldsymbol{x}) \leqslant \alpha\}.$$

对任意的 α，凸函数的 α-下水平集一定是凸集；逆命题不成立，例如，考虑函数 $-e^x$。f 的上方图（epigraph）定义为：

$$\mathbf{epi}\, f = \{(\boldsymbol{x}, t) \mid \boldsymbol{x} \in \mathbf{dom}\, f, f(\boldsymbol{x}) \leqslant t\} \subseteq \mathbf{R}^{n+1}.$$

f 是凸函数当且仅当它的上方图为凸集。

C.2 凸优化问题

标准的凸优化问题具有如下形式：

$$\begin{aligned} \min \quad & f_0(\boldsymbol{x}) \\ \text{s.t.} \quad & f_i(\boldsymbol{x}) \leqslant 0, \quad i = 1, \ldots, m, \\ & \boldsymbol{a}_j' \boldsymbol{x} = b_j, \quad j = 1, \ldots, p, \end{aligned} \tag{C.3}$$

其中，$f_0, \ldots, f_m$ 是凸函数。我们称 f_0 为目标函数，$f_i(\boldsymbol{x}) \leqslant 0$ 为不等式约束条件，$\boldsymbol{a}_j' \boldsymbol{x} = b_j$ 为等式约束条件。凸优化问题 (C.3) 的定义域定义为：

$$\mathcal{D} = \bigcap_{i=0}^{m} \mathbf{dom}\, f_i.$$

凸优化问题 (C.3) 的可行集（feasible set）定义为：

$$\mathcal{X} = \left\{ \boldsymbol{x} \mid f_i(\boldsymbol{x}) \leqslant 0,\ i = 1, \ldots, m;\ \boldsymbol{a}_j' \boldsymbol{x} = b_j,\ j = 1, \ldots, p \right\}.$$

容易验证：凸优化问题的可行集一定是凸集。因此，求解凸优化问题是在一个凸集上寻找一个凸目标函数的最小值。对于凸优化问题，任意的局部最优解也是全局最优解（证明请参考 Boyd et al. (2004) 的第 138 页）。

若凸优化问题的目标函数 f_0 可微，则有如下最优条件：（证明请参考 Boyd et al. (2004) 的第 139 页）

定理 C.2. 可微凸优化问题的最优条件

假设凸优化问题 (C.3) 的目标函数 f_0 可微，令 $\mathcal{X}$ 是此问题的可行集，则有：$\boldsymbol{x}$ 是最优解当且仅当 $\boldsymbol{x} \in \mathcal{X}$ 且

$$\nabla f_0(\boldsymbol{x})'(\boldsymbol{y} - \boldsymbol{x}) \geqslant 0, \quad \forall\, \boldsymbol{y} \in \mathcal{X}. \tag{C.4}$$

此定理有如下重要的推论：

- 对于无约束的凸优化问题，最优条件 (C.4) 简化为：

$$\nabla f_0(\boldsymbol{x}) = \boldsymbol{0}. \tag{C.5}$$

- 对于只有等式约束 $\boldsymbol{A}\boldsymbol{x} = \boldsymbol{b}$ 的凸优化问题，由最优条件 (C.4) 可以推出最优解满足：存在 $\boldsymbol{\lambda} \in \mathbb{R}^p$ 使得

$$\nabla f_0(\boldsymbol{x}) + \boldsymbol{A}'\boldsymbol{\lambda} = \boldsymbol{0}. \tag{C.6}$$

(C.6) 与 $\boldsymbol{A}\boldsymbol{x} = \boldsymbol{b}$ 一起构成了经典的拉格朗日乘数最优条件。

事实上，对于一般的凸优化问题，有如下的 Karush-Kuhn-Tucker (KKT) 最优条件：

定理 C.3. KKT 最优条件

考虑凸优化问题 (C.3)，假设 $f_0, f_1, \ldots, f_m$ 可微，$\mathcal{D}$ 的内点集 $\mathbf{int}\,\mathcal{D}$ 非空，并且，存在 $\boldsymbol{x} \in \mathbf{int}\,\mathcal{D}$ 使得：

$$f_i(\boldsymbol{x}) < 0, \quad i = 1, \ldots, m; \quad \boldsymbol{a}_j' \boldsymbol{x} = b_j, \quad j = 1, \ldots, p, \quad \text{（Slater 条件）}$$

则有：$\boldsymbol{x}^\star$ 是 (C.3) 的最优解，当且仅当，存在 m 维向量 $\boldsymbol{\lambda}^\star$ 和 p 维向量 $\boldsymbol{\nu}^\star$ 使得：

$$\begin{aligned}
f_i(\boldsymbol{x}^\star) &\leqslant 0, \quad i = 1, \ldots, m \\
\boldsymbol{a}_j' \boldsymbol{x}^\star &= b_j, \quad j = 1, \ldots, p \\
\lambda_i^\star &\geqslant 0, \quad i = 1, \ldots, m \\
\lambda_i^\star f_i(\boldsymbol{x}^\star) &= 0, \quad i = 1, \ldots, m \\
\nabla f_0(\boldsymbol{x}^\star) + \sum_{i=1}^{m} \lambda_i^\star \nabla f_i(\boldsymbol{x}^\star) + \sum_{j=1}^{p} \nu_j^\star \boldsymbol{a}_j &= \boldsymbol{0}.
\end{aligned}$$

参考文献

陈公宁, 2007. 矩阵理论与应用 [M]. 北京: 科学出版社.

方颖，赵扬, 2011. 寻找制度的工具变量：估计产权保护对中国经济增长的贡献 [J]. 经济研究(5): 138-148.

李高荣，吴密霞, 2021. 多元统计分析 [M]. 北京: 科学出版社.

李航, 2022. 机器学习方法 [M]. 北京: 清华大学出版社.

刘浩洋，户将，李勇锋，文再文, 2020. 最优化：建模、算法与理论 [M]. 北京: 高等教育出版社.

丘维声, 2015. 解析几何（第三版）[M]. 北京: 北京大学出版社.

苏淳，冯群强, 2020. 概率论（第三版）[M]. 北京: 科学出版社.

王松桂，史建红，尹素菊，吴密霞, 2004. 线性模型引论 [M]. 北京: 科学出版社.

ABADIE A, ATHEY S, IMBENS G W, et al., 2020. Sampling-based versus design-based uncertainty in regression analysis[J]. Econometrica, 88(1): 265-296.

ABADIE A, ATHEY S, IMBENS G W, et al., 2022. When should you adjust standard errors for clustering?[J]. arXiv preprint arXiv:1710.02926v3.

ABADIR K M, MAGNUS J R, 2005. Matrix algebra[M]. New York: Cambridge University Press.

ADRIAN T, BRUNNERMEIER M K, 2016. CoVaR[J]. American Economic Review, 106(7): 1705-1741.

AMEMIYA T, 1977. A note on a heteroscedastic model[J]. Journal of Econometrics, 6(3): 365-370.

ANDERSON T W, DARLING D A, 1954. A test of goodness of fit[J]. Journal of the American Statistical Association, 49(268): 765-769.

ANDREWS D W, 1991. Heteroskedasticity and autocorrelation consistent covariance matrix estimation[J]. Econometrica: 817-858.

ANGRIST J D, PISCHKE J S, 2008. Mostly harmless econometrics: An empiricist's companion[M]. Princeton: Princeton University Press.

ANSELIN L, 1988. Spatial econometrics: methods and models[M]. Netherlands: Kluwer Academic Publishers.

BAI J, 2009. Panel data models with interactive fixed effects[J]. Econometrica, 77(4): 1229-1279.

BALI T G, ENGLE R F, MURRAY S, 2016. Empirical asset pricing: The cross section of stock returns[M]. New Jersey: John Wiley & Sons.

BELL R M, MCCAFFREY D F, 2002. Bias reduction in standard errors for linear regression with multi-stage samples[J]. Survey Methodology, 28(2): 169-182.

BELSLEY D A, KUH E, WELSCH R E, 2004. Regression diagnostics: Identifying influential data and sources of collinearity[M]. New Jersey: John Wiley & Sons.

BERKOWITZ D, CANER M, FANG Y, 2012. The validity of instruments revisited[J]. Journal of Econometrics, 166 (2): 255-266.

BERTSEKAS D, 2009. Convex optimization theory[M]. New Hampshire: Athena Scientific.

BILLINGSLEY P, 1961. The Lindeberg-Levy theorem for martingales[J]. Proceedings of the American Mathematical Society, 12(5): 788-792.

BILLINGSLEY P, 1995. Probability and measure[M]. 3rd ed. New York: John Wiley & Sons.

BISHOP C M, 2006. Pattern recognition and machine learning[M]. New York: Springer.

BOX G E, PIERCE D A, 1970. Distribution of residual autocorrelations in autoregressive-integrated moving average time series models[J]. Journal of the American Statistical Association, 65(332): 1509-1526.

BOYD S, VANDENBERGHE L, 2004. Convex optimization[M]. Cambridge: Cambridge University Press.

BREDON G E, 2013. Topology and geometry[M]. New York: Springer.

BREUSCH T S, 1978. Testing for autocorrelation in dynamic linear models[J]. Australian economic papers, 17(31): 334-355.

BREUSCH T S, PAGAN A R, 1979. A simple test for heteroscedasticity and random coefficient variation[J]. Econometrica: 1287-1294.

BROCKWELL P J, DAVIS R A, 1991. Time series: theory and methods[M]. 2nd ed. New York: Springer Science & Business Media.

CAI Z, FAN J, YAO Q, 2000. Functional-coefficient regression models for nonlinear time series[J]. Journal of the American Statistical Association, 95(451): 941-956.

CALAFIORE G C, EL GHAOUI L, 2014. Optimization models[M]. Cambridge: Cambridge university press.

CAMERON A C, MILLER D L, 2015. A practitioner's guide to cluster-robust inference[J]. Journal of Human Resources, 50(2): 317-372.

CAMERON A C, TRIVEDI P K, 2005. Microeconometrics: methods and applications[M]. New York: Cambridge University Press.

CAMERON A C, GELBACH J B, MILLER D L, 2008. Bootstrap-based improvements for inference with clustered errors[J]. Review of Economics and Statistics, 90(3): 414-427.

CASELLA G, BERGER R L, 2002. Statistical inference[M]. California: Thomson Learning.

CERULLI G, 2015. Econometric evaluation of socio-economic programs theory and applications[M]. Berlin: Springer.

CHABI-YO F, RUENZI S, WEIGERT F, 2018. Crash sensitivity and the cross section of expected stock returns[J]. Journal of Financial and Quantitative Analysis, 53(3): 1059-1100.

CUNNINGHAM S, 2021. Causal inference: The mixtape[M]. New Haven: Yale University Press.

DAVIDSON R, FLACHAIRE E, 2008. The wild bootstrap, tamed at last[J]. Journal of Econometrics, 146(1): 162-169.

DUFLO E, DUPAS P, KREMER M, 2011. Peer effects, teacher incentives, and the impact of tracking: Evidence from a randomized evaluation in Kenya[J]. American Economic Review, 101(5): 1739-74.

EFRON B, 1979. Bootstrap Methods: Another Look at the Jackknife[J]. Annals of Statistics, 7(1): 1 - 26.

EFRON B, 1982. The Jackknife, the Bootstrap and other resampling plans[M]. Philadelphia: Society for Industrial and Applied Mathematics.

EFRON B, 1987. Better Bootstrap confidence intervals[J]. Journal of the American Statistical Association, 82(397): 171-185.

EFRON B, HASTIE T, 2016. Computer age statistical inference: Algorithms, evidence, and data science[M]. New York: Cambridge University Press.

FAMA E F, FRENCH K R, 1992. The cross-section of expected stock returns[J]. Journal of Finance, 47(2): 427-465.

FELLER W, 1971. An introduction to probability theory and its applications: volume 2[M]. 2nd ed. New York: John Wiley & Sons.

GARETH J, DANIELA W, TREVOR H, et al., 2021. An introduction to statistical learning: with applications in R[M]. 2nd ed. New York: Springer Science & Business Media.

GODFREY L G, 1978. Testing against general autoregressive and moving average error models when the regressors include lagged dependent variables[J]. Econometrica: 1293-1301.

GREENE W H, 2018. Econometric analysis[M]. 8th ed. New York: Pearson Education.

HALL P, HEYDE C C, 1980. Martingale limit theory and its application[M]. New York: Academic press.

HAMILTON J D, 1994. Time series analysis[M]. New Jersey: Princeton University Press.

HANSEN B E, 1992. Consistent covariance matrix estimation for dependent heterogeneous processes[J]. Econometrica: 967-972.

HANSEN B E, 2022a. Econometrics[M]. Princeton: Princeton University Press.

HANSEN B E, 2022b. Probability and statistics for economists[M]. Princeton: Princeton University Press.

HANSEN B E, 2022c. A modern Gauss-Markov theorem[J]. forthcoming in Econometrica.

HASTIE T, ROBERT T, FRIEDMAN J, 2016. The elements of statistical learning: Data mining, inference, and prediction[M]. 2nd ed. Berlin: Springer.

HAYASHI F, 2000. Econometrics[M]. Princeton: Princeton University Press.

HINKLEY D V, 1977. Jackknifing in unbalanced situations[J]. Technometrics, 19(3): 285-292.

HONG Y, 2020. Foundations of modern econometrics: A unified approach[M]. London: World Scientific.

HORN R A, JOHNSON C R, 2013. Matrix analysis[M]. New York: Cambridge University Press.

HORN S D, HORN R A, DUNCAN D B, 1975. Estimating heteroscedastic variances in linear models[J]. Journal of the American Statistical Association, 70(350): 380-385.

HOROWITZ J L, 2019. Bootstrap methods in econometrics[J]. Annual Review of Economics, 11: 193-224.

HUANG D, JIANG F, TU J, et al., 2015. Investor sentiment aligned: A powerful predictor of stock returns[J]. Review of Financial Studies, 28(3): 791-837.

JARQUE C M, BERA A K, 1980. Efficient tests for normality, homoscedasticity and serial independence of regression residuals[J]. Economics Letters, 6(3): 255-259.

JIANG L, WU K, ZHOU G, 2018. Asymmetry in stock comovements: An entropy approach[J]. Journal of Financial and Quantitative Analysis, 53(4): 1479-1507.

JOHNSON R A, WICHERN D W, 2007. Applied multivariate statistical analysis[M]. 6th ed. London: Pearson.

KARLIN S, TAYLOR H M, 1975. A first course in stochastic processes[M]. 2nd ed. New York: Academic press.

KOENKER R, 1981. A note on studentizing a test for heteroscedasticity[J]. Journal of Econometrics, 17(1): 107-112.

KOENKER R, 2005. Quantile regression[M]. New York: Cambridge University Press.

LI Q, RACINE J S, 2007. Nonparametric econometrics: theory and practice[M]. New Jersey: Princeton University Press.

LIN Z, BAI Z, 2010. Probability inequalities[M]. Beijing: Science Press Beijing and Springer.

LJUNG G M, BOX G E, 1978. On a measure of lack of fit in time series models[J]. Biometrika, 65(2): 297-303.

MACKINNON J G, 2006. Bootstrap methods in econometrics[J]. Economic Record, 82: S2-S18.

MACKINNON J G, WHITE H, 1985. Some heteroskedasticity-consistent covariance matrix estimators with improved finite sample properties[J]. Journal of Econometrics, 29(3): 305-325.

MACKINNON J G, NIELSEN M Ø, WEBB M D, 2022a. Cluster-robust inference: A guide to empirical practice[J]. Journal of Econometrics.

MACKINNON J G, NIELSEN M Ø, WEBB M D, 2022b. Fast and reliable jackknife and bootstrap methods for cluster-robust inference[R]. Queen's University: Queen's Economics Department Working Paper No.1485.

MACKINNON J G, NIELSEN M Ø, WEBB M D, 2022c. Leverage, influence, and the jackknife in clustered regression models: Reliable inference using summclust[J]. arXiv preprint arXiv:2205.03288.

MAMMEN E, 1993. Bootstrap and wild bootstrap for high dimensional linear models[J]. Annals of Statistics, 21(1): 255-285.

MARTIN V, HURN S, HARRIS D, 2013. Econometric modelling with time series: specification, estimation and testing[M]. New York: Cambridge University Press.

MURPHY K P, 2022. Probabilistic machine learning: An introduction[M]. Cambridge: MIT Press.

MURPHY K P, 2023. Probabilistic machine learning: Advanced topics[M]. Cambridge: MIT Press.

NEWEY W K, WEST K D, 1987. A simple, positive semi-definite, heteroskedasticity and autocorrelation consistent covariance matrix[J]. Econometrica, 55(3): 703-708.

PENROSE R, 1955. A generalized inverse for matrices[J]. Mathematical Proceedings of the Cambridge Philosophical Society, 51(3): 406–413.

PESARAN M H, 2006. Estimation and inference in large heterogeneous panels with a multifactor error structure[J]. Econometrica, 74(4): 967-1012.

PÖTSCHER B M, PREINERSTORFER D, 2022. A Modern Gauss-Markov Theorem? Really?[J]. arXiv preprint arXiv:2203.01425.

PUSTEJOVSKY J E, TIPTON E, 2018. Small-sample methods for cluster-robust variance estimation and hypothesis testing in fixed effects models[J]. Journal of Business & Economic Statistics, 36(4): 672-683.

ROBERTS M R, WHITED T M, 2013. Endogeneity in empirical corporate finance[M]//CONSTANTINIDES G M, HARRIS M, STULZ R M. Handbook of the Economics of Finance: 2A. Amsterdam: Elsevier.

RUDIN W, 1976. Principles of mathematical analysis[M]. New York: McGraw-hill.

SERFLING R J, 1980. Approximation theorems of mathematical statistics[M]. New York: John Wiley & Sons.

SHAO J, 2003. Mathematical statistics[M]. 2nd ed. New York: Springer Science & Business Media.

SHAO J, TU D, 1995. The Jackknife and Bootstrap[M]. New York: Springer.

SHAPIRO S S, WILK M B, 1965. An analysis of variance test for normality (complete samples)[J]. Biometrika, 52: 591-611.

STOCK J H, WATSON M W, 2020. Introduction to Econometrics[M]. 4 (Global Edition) ed. New York: Pearson.

STRANG G, 2016. Introduction to linear algebra[M]. 5th ed. Massachusetts: Wellesley-Cambridge Press.

THADEWALD T, BÜNING H, 2007. Jarque–Bera test and its competitors for testing normality–a power comparison[J]. Journal of Applied Statistics, 34(1): 87-105.

VAN DER VAART A W, 2000. Asymptotic statistics[M]. Cambridge: Cambridge university press.

VERBEEK M, 2021. Panel methods for finance: A guide to panel data econometrics for financial applications[M]. Berlin: De Gruyter.

WHITE H, 1980. A heteroskedasticity-consistent covariance matrix estimator and a direct test for heteroskedasticity[J]. Econometrica: 817-838.

WHITE H, 1982. Maximum likelihood estimation of misspecified models[J]. Econometrica: 1-25.

WHITE H, 2001. Asymptotic theory for econometricians[M]. Rev. ed. California: Academic Press.

WHITE H, DOMOWITZ I, 1984. Nonlinear regression with dependent observations[J]. Econometrica: 143-161.

WOOLDRIDGE J M, 2010. Econometric analysis of cross section and panel data[M]. Cambridge: The MIT Press.

WOOLDRIDGE J M, 2019. Introductory econometrics: a modern approach[M]. 7th ed. Boston: Cengage Learning.

WU C F J, 1986. Jackknife, bootstrap and other resampling methods in regression analysis[J]. Annals of Statistics, 14(4): 1261-1295.

XU Q H, CAI Z W, FANG Y, 2016. Panel data models with cross-sectional dependence: A selective review[J]. Applied Mathematics-A Journal of Chinese Universities, 31(2): 127-147.

YEUNG R W, 2002. A first course in information theory[M]. New York: Springer Science & Business Media.

索　　引

遍历, 47

长期方差, 71

迭代期望律, 3
独立同分布, 43

Gauss-Markov 定理, 25
广义回归模型, 41
广义最小二乘, 41
古典线性回归模型, 15

回归平方和, 24, 61

简单迭代期望律, 2
渐近正态性, 49
加权最小二乘, 43
可行广义最小二乘, 44

平稳, 47
谱分解定理, 158

球形扰动, 15, 41

条件期望, 2

无偏性, 25, 42

线性投影, 8

异方差稳健标准误, 68
一致性, 49

置信区间, 31
置信域, 37